



Faculdade de Medicina de São José do Rio Preto
Programa de Pós-Graduação em Ciências da Saúde

Marília Mazzi Moraes

**Investigação molecular e temporal da circulação
do SARS-CoV-2 no município de
São José do Rio Preto (SP)**

São José do Rio Preto

2024

Marília Mazzi Moraes

**Investigação molecular e temporal da circulação
do SARS-CoV-2 no município de
São José do Rio Preto (SP)**

Tese apresentada à Faculdade de
Medicina de São José do Rio Preto para
obtenção do Título de Doutora no Curso
de Pós-Graduação em Ciências da Saúde

Orientador: Prof. Dr. Maurício Lacerda Nogueira
Coorientador: Prof. Dr. Guilherme R. F. Campos

São José do Rio Preto
2024

Moraes, Marília Mazzi

Investigação molecular e temporal da circulação do SARS-CoV-2 no
município de São José do Rio Preto (SP).

Tese – Faculdade de Medicina de São José do Rio Preto – FAMERP

Orientador: Prof. Dr. Maurício Lacerda Nogueira

1. SARS-CoV-2; 2. Vigilância genômica; 3. São José do Rio Preto.

Marília Mazzi Moraes

**Investigação molecular e temporal da circulação
do SARS-CoV-2 no município de
São José do Rio Preto (SP)**

**BANCA EXAMINADORA
TESE PARA OBTANÇÃO DO GRAU DE
DOUTORA**

Presidente e Orientador: Prof. Dr. Maurício Lacerda Nogueira

2º Examinador: Profa. Dra. Ana Carolina Bernardes Terzian

3º Examinador: Profa. Dra. Cintia Bittar Oliva

4º Examinador: Prof. Dr. Fábio Sossai Possebon

5º Examinador: Profa. Dra. Leila Sabrina Ullmann

Suplentes: Profa. Dra. Ana Beatriz Bortolozo de Oliveira

Profa. Dra. Milene Rocha Ribeiro

São José do Rio Preto, 09/05/2024.

Sumário

| | |
|-----------------------------------|------|
| Dedicatória | i |
| Agradecimentos | ii |
| Lista de Figuras | iii |
| Lista de Tabelas | v |
| Lista de Abreviaturas | vi |
| Resumo | viii |
| Abstract | x |
| Introdução | 1 |
| Justificativa | 9 |
| Objetivos | 11 |
| Materiais e Métodos | 12 |
| Resultados | 27 |
| Discussão | 44 |
| Conclusões | 50 |
| Referências Bibliográficas | 51 |
| Apêndice 1 | 81 |
| Apêndice 2 | 208 |
| Apêndice 3 | 235 |

Dedicatória

Aos meus pais, que não mediram
esforços para que eu chegassem até aqui.

Esta conquista é nossa.

Agradecimentos

- ❖ Ao meu orientador Prof. Dr. Maurício Lacerda Nogueira pela confiança e oportunidade. Sua generosidade não tem tamanho.
- ❖ Ao meu orientador no exterior Prof. Dr. Nikos Vasilakis por ter me acolhido melhor do que eu poderia imaginar.
- ❖ Ao meu coorientador Prof. Dr. Guilherme R. F. Campos por todos os ensinamentos, conselhos e amizade.
- ❖ A todos os colaboradores deste trabalho, em especial à Cecília.
- ❖ Aos meus amigos de sanduíche Alice, Natalia, Adam, Vidyleison, Rafael, Karen, Rosie, Kristin, Yasmeen, Deyse, Pierina, Luciana, Maxueli, Giovana, Manuel, Tilu e Ryan por tornarem a experiência ainda mais especial.
- ❖ Aos meus amigos de laboratório Thayza, Tayna, Rafael, Bruno, Tamires, Júlia, e Gabriel por trazerem leveza aos dias mais difíceis. Levo vocês para além do trabalho.
- ❖ Ao Maurício, que esteve ao meu lado na maior parte desta caminhada.
- ❖ Aos meus pais, Jane e Romero, por todo amor, pelo apoio e pela paciência. Vocês são o meu maior exemplo.

Lista de Figuras

| | |
|--|----|
| Figura 1. Representação do genoma do SARS-CoV-2, evidenciando as proteínas não-estruturais, estruturais e acessórias. | 3 |
| Figura 2. Ciclo viral do SARS-CoV-2, com destaque para as etapas do processo. | 8 |
| Figura 3. Comparação entre número de casos novos de COVID-19 em São José do Rio Preto e número de amostras selecionadas para o estudo por mês. | 27 |
| Figura 4. Fluxograma das etapas experimentais deste estudo, salientando o número de amostras e de genomas em cada uma delas. | 29 |
| Figura 5. Número total de amostras utilizadas em cada etapa deste estudo. | 30 |
| Figura 6. Número de amostras por mês utilizadas em cada etapa do presente trabalho. | 30 |
| Figura 7. Dados sociodemográficos da população cujas amostras foram utilizadas neste estudo. | 31 |
| Figura 8. Linhagens que circularam em São José do Rio Preto de março a novembro de 2020, segundo classificação dada pelo Pangolin v1.21 (https://pangolin.cog-uk.io/). | 32 |
| Figura 9. Distribuição geográfica das linhagens de SARS-CoV-2 detectadas em São José do Rio Preto de março a novembro de 2020. O endereço dos pacientes e as datas de coletas das amostras foram utilizadas na confecção dos mapas no software QGIS v.3.36.0-1 (http://qgis.org). | 34 |
| Figura 10. Distribuição mensal das linhagens de SARS-CoV-2 detectadas em São José do Rio Preto de março a novembro de 2020. | 35 |

| | |
|---|----|
| Figura 11. Árvore filogenética de Máxima Verossimilhança (ML) de SARS-CoV-2 de São José do Rio Preto no ano de 2020. | 37 |
| Figura 12. Árvore filogenética de Máxima Credibilidade de Clado (MCC) de Zeta. | 39 |
| Figura 13. Dispersão espaço-temporal de B.1.1.28 no Brasil. | 41 |
| Figura 14. Dispersão espaço-temporal de B.1.1.33 no Brasil. | 42 |
| Figura 15. Dispersão espaço-temporal de Zeta no Brasil. | 43 |

Lista de Tabelas

| | |
|---|-----|
| Tabela 1. Dataset utilizado na análise filogenética de SARS-CoV-2 em São José do Rio Preto no ano de 2020. | 81 |
| Tabela 2. Dataset utilizado na análise filogenética de Zeta. | 108 |
| Tabela 3. Dataset utilizado na análise filogeográfica de B.1.1.28. | 133 |
| Tabela 4. Dataset utilizado na análise filogeográfica de B.1.1.33. | 158 |
| Tabela 5. Dataset utilizado na análise filogeográfica de Zeta. | 183 |
| Tabela 6. Genomas completos de SARS-CoV-2 gerados no presente trabalho. | 208 |

Lista de Abreviaturas

| | |
|-----------|---|
| cDNA | DNA complementar |
| Ct | Cycle threshold |
| CPP1 HT | COVIDSeq Primer Pool 1 |
| CPP2 HT | COVIDSeq Primer Pool 2 |
| dNTPs | Desoxirribonucleotídeos fosfatados |
| DVM | Vesícula de membrana dupla |
| ACE2 | Enzima conversora de angiotensina 2 |
| E | Envelope |
| ERGIC | Compartimento intermediário retículo endoplasmático-complexo de Golgi |
| gRNA | RNA genômico |
| HB | Hospital de Base de São José do Rio Preto |
| HCoVs | Coronavírus que podem causar doenças em humanos |
| HCoV-229E | <i>Alphacoronavirus chicagoense</i> |
| HCoV-OC43 | <i>Betacoronavirus graverdinis</i> |
| HCoV-NL63 | <i>Alphacoronavirus amsterdamense</i> |
| HCoV-HKU1 | <i>Betacoronavirus hongkongense</i> |
| INF | Interferon |
| iRNA | RNA de interferência |
| M | Membrana |
| MERS-CoV | <i>Betacoronavirus camelii</i> |
| ML | Máxima Verossimilhança |
| mRNA | RNA mensageiro |

| | |
|------------|--|
| N | Nucleocapsídeo |
| Nsp | Proteína não-estrutural |
| ORF | Open Reading Frame |
| PCR | Reação em cadeia da polimerase |
| RE | Retículo endoplasmático |
| RBD | Domínio de ligação ao receptor |
| RTC | Complexo de replicação e transcrição |
| RT-PCR | Reação em cadeia da polimerase de transcrição reversa |
| RT-qPCR | Reação em cadeia da polimerase de transcrição reversa em tempo real/quantitativa |
| S | Espícula |
| SARS-CoV | <i>Betacoronavirus pandemicum</i> |
| SARS-CoV-2 | <i>Severe acute respiratory syndrome 2</i> |
| SNP | Polimorfismo de nucleotídeo único |
| sgRNA | RNA subgenômico |
| UTR | Região não-traduzida |
| VOI | Variante de Interesse |
| VOC | Variante de Preocupação |
| +ssRNA | RNA simples fita de polaridade positiva |

Resumo

Introdução: O SARS-CoV-2 é um dos sete coronavírus capazes de causar doenças em humanos. O vírus foi detectado pela primeira vez no final de 2019 em Wuhan – China e de lá se dispersou para o resto do mundo meses depois, causando a pandemia de COVID-19. A doença normalmente se apresenta de forma leve. Idosos e portadores de comorbidades são considerados grupos de risco para a forma grave da COVID-19. O Brasil foi um país bastante impactado pela pandemia. São José do Rio Preto, município do noroeste paulista, foi o terceiro em número de casos de COVID-19 e óbitos em decorrência da infecção no estado. O Hospital de Base, centro de saúde referência para a região, está localizado na cidade. Apesar de haver diversos estudos após a emergência das VOIs e VOCs, pouco se sabe sobre a história evolutiva do SARS-CoV-2 no início de 2020 no Brasil. **Objetivo:** Este estudo teve como objetivo compreender a dinâmica de circulação do SARS-CoV-2 em São José do Rio Preto, uma cidade importante no contexto da pandemia no estado de São Paulo, de março e novembro de 2020 por meio de vigilância genômica. **Materiais e Métodos:** Para tal, foram utilizadas amostras de secreção nasofaríngea de pacientes residentes em São José do Rio Preto com diagnóstico molecular positivo para COVID-19 entre março e novembro de 2020. O RNA viral das amostras foi extraído e em seguida foi feita reação de RT-qPCR para determinação do *Cycle threshold* (Ct). As amostras foram então selecionadas com base no Ct para as etapas de preparo de biblioteca e sequenciamento. Os genomas obtidos foram montados e aqueles com cobertura maior ou igual a 90% foram utilizados nas análises filogenéticas e filogeográficas. Além disso, foram criados mapas a partir da análise de geoprocessamento. **Resultados:** Ao todo, 627 genomas completos de SARS-CoV-2 foram gerados no presente trabalho. Entre março e novembro de 2020, as linhagens

B.1.1.28, B.1.1.33, B.1.1, N.9, Zeta, B.1, B.1.212, B.1.499, N.3 e P.7 estavam circulando em São José do Rio Preto. Além de serem as mais prevalentes durante o período do estudo, B.1.1.28 e B.1.1.33 foram as primeiras a serem introduzidas no município. Zeta e N.9 foram detectadas em março e abril, respectivamente. As linhagens B.1.1.28, B.1.1.33 e Zeta se dispersaram em períodos diferentes da região sudeste do Brasil para as demais. Os eventos de exportação de B.1.1.28 e B.1.1.33 de São José do Rio Preto ocorreram majoritariamente para a região sudeste, já os de Zeta para a região nordeste.

Conclusões: Este estudo gerou a maior parte dos genomas de SARS-CoV-2 de São José do Rio Preto do ano de 2020. Foi detectada a circulação de 10 linhagens diferentes na cidade de março a novembro de 2020. Os dados obtidos mostraram que a origem de Zeta foi anterior a julho de 2020, como proposto na literatura, dado que sua primeira detecção ocorreu em março de 2020. São José do Rio Preto contribuiu para a disseminação de B.1.1.28, B.1.1.33 e Zeta ao longo do território brasileiro.

Palavras-chave: SARS-CoV-2, vigilância genômica, São José do Rio Preto.

Abstract

Introduction: SARS-CoV-2 is one of the seven coronaviruses that can cause human infection. The virus was detected for the first time in Wuhan – China at the end of 2019 and months later spread worldwide, causing the COVID-19 pandemic. The disease usually causes mild symptoms. The presence of comorbidities and advanced age are risk factors for severe COVID-19. Brazil was strongly affected by the pandemic. São José do Rio Preto, a medium-sized city in the Northwest region of São Paulo, was the third city in the State in number of COVID-19 cases and deaths. The municipality harbors Hospital de Base, which is a reference health center in São Paulo State. Although much is known about the course of the pandemic from the emergence of the VOIs and VOCs, very little information is available about the SARS-CoV-2 spread and evolution in early 2020 in Brazil. **Objectives:** This study aimed to investigate the dynamic circulation of SARS-CoV-2 in São José do Rio Preto, an important city in the context of the pandemic in São Paulo State, from March to November 2020 through genomic surveillance. **Materials and Methods:** We used nasopharyngeal COVID-19 positive samples collected from São José do Rio Preto residents from March to November 2020. RNA was extracted and then RT-qPCR was performed to determine the cycle threshold (Ct). Samples were selected for library preparation and sequencing based on the Ct values. The generated genomes were assembled and those with 90% above coverage were used for phylogenetic and phylogeography analyses. Besides, maps were created after geoprocessing analysis. **Results:** Overall, the present study generated 627 SARS-CoV-2 whole genomes. The lineages B.1.1.28, B.1.1.33, B.1.1, N.9, Zeta, B.1, B.1.212, B.1.499, N.3, and P.7 were circulating in São José do Rio Preto between March and November 2020. B.1.1.28 and B.1.1.33 were the first lineages introduced and the most prevalent ones in the city during

the study period. Zeta and N.9 were detected in March and April, respectively. The lineages B.1.1.28, B.1.1.33, and Zeta disseminated across Brazil in different periods from the southeast region. Exportation events of B.1.1.28 and B.1.1.33 occurred mostly from São José do Rio Preto to the southeast region, while Zeta was exported essentially from São José do Rio Preto to the northeast region. **Conclusions:** This study generated most of the SARS-CoV-2 genomes from São José do Rio Preto from 2020. A total of 10 different lineages were detected in the municipality from March to November 2020. The data obtained showed Zeta originated before July 2020, as proposed in scientific literature, since the VOI's first detection was in March 2020. São José do Rio Preto contributed to B.1.1.28, B.1.1.33, and Zeta spread across Brazil.

Keywords: SARS-CoV-2, genomic surveillance, São José do Rio Preto.

Introdução

- **Coronavírus**

Os coronavírus pertencem à família *Coronaviridae*, subfamília *Orthocoronavirinae*. Esta última é composta pelos gêneros *Alphacoronavirus*, *Betacoronavirus*, *Gammacoronavirus* e *Deltacoronavirus*.⁽¹⁾ Os *Alpha* e *Betacoronavirus* infectam mamíferos, incluindo o homem, enquanto os *Gamma* e *Deltacoronavirus* infectam aves.^(2,3) São sete os coronavírus que podem causar doenças em humanos (HCoVs): HCoV-229E (*Alphacoronavirus chicagoense*)⁽⁴⁾, HCoV-OC43 (*Betacoronavirus gravedinis*)⁽⁵⁾, SARS-CoV (*Betacoronavirus pandemicum*)⁽⁶⁾, HCoV-NL63 (*Alphacoronavirus amsterdamense*)⁽⁷⁾, HCoV-HKU1 (*Betacoronavirus hongkongense*)⁽⁸⁾, MERS-CoV (*Betacoronavirus cameli*)⁽⁹⁾ e SARS-CoV-2 (*Severe acute respiratory syndrome 2*)⁽¹⁰⁾.

A origem dos HCoVs pode ser considerada zoonótica. Animais silvestres atuam como seus hospedeiros primários e transmitem os HCoVs a seus hospedeiros secundários. É nestes últimos que ocorrem as adaptações que propiciam o transbordamento para o hospedeiro terciário, o homem.^(11, 3, 12) Trabalhos mostraram que HCoV-229E, HCoV-NL63, SARS-CoV, MERS-CoV e SARS-CoV-2 apresentam parentesco filogenético com coronavírus detectados em morcegos^(13, 14, 15, 16) e que coronavírus isolados de roedores são ancestrais de HCoV-OC43 e de HCoV-HKU1.^(17, 18) Vacas, civetas e dromedários são os hospedeiros secundários de HCoV-OC43, SARS-CoV e MERS-CoV, respectivamente.
 (19, 20, 21) Alpacas e dromedários são os prováveis hospedeiros secundários de HCoV-229E.
 (22, 23, 3) Há indícios de que os pangolins são os hospedeiros secundários do SARS-CoV-2.^(24, 25, 26)

Os *Alphacoronavirus* HCoV-NL63 e HCoV-229E e os *Betacoronavirus* HCoV-OC43 e HCoV-HKU1 são endêmicos no mundo todo e, em geral, causam infecções leves no trato respiratório superior.^(28, 29) Quadros mais graves já foram observados em infecções por HCoV-NL63 em imunodeprimidos e crianças.^(30, 31) Os *Betacoronavirus* SARS-CoV, MERS-CoV e SARS-CoV-2 são causadores de infecções respiratórias de maior gravidade e que podem envolver diferentes sistemas do organismo^(32, 33, 34), bem como de infecções assintomáticas em menor frequência.^(35, 36, 37)

- **SARS-CoV-2**
- **Epidemiologia**

O SARS-CoV-2 foi detectado pela primeira vez no final de 2019 em Wuhan – China, após um surto de pneumonia.⁽¹⁰⁾ Em poucos meses o vírus se dispersou pelo mundo e em março de 2020, a Organização Mundial da Saúde (OMS) decretou estado de pandemia.⁽³⁸⁾ O SARS-CoV-2 é transmitido via gotículas respiratórias e aerossóis.^(39, 40) Recentemente, foi mostrado que superfícies contaminadas com tais gotículas são fontes improváveis de contágio.⁽⁴¹⁾ Há poucas evidências de transmissão oral-fecal e vertical do vírus.^(42, 43) Seu período de incubação é de aproximadamente cinco dias e os doentes geralmente se recuperam em até sete dias.^(39, 40)

A infecção causada pelo SARS-CoV-2 foi chamada de COVID-19. Casos leves e moderados da doença são caracterizados principalmente por febre, tosse, cefaleia, mialgia e dor de garganta. Outros sintomas recorrentes são anosmia e ageusia. Diarreia e vômito são observados em menor frequência.^(44, 45, 46, 47) A evolução para quadros graves ocorre normalmente uma semana após o início da infecção.⁽⁴⁸⁾ Idade avançada e presença de comorbidades como diabetes, hipertensão, obesidade, câncer, e doenças crônicas são fatores de risco.^(49, 50, 51, 52, 53) A COVID-19 grave é uma doença inflamatória que acomete

diferentes órgãos do corpo, incluindo, além dos pulmões, órgãos como coração, fígado, rins, cérebro e sistema circulatório.⁽⁴⁸⁾

Os casos assintomáticos de COVID-19 são de grande importância epidemiológica, uma vez que contribuem para uma transmissão silenciosa da doença.^(54, 55) A COVID-19 pode gerar sequelas tardias, as quais perduram por meses após o início da infecção, entre elas fadiga, dores nas articulações, dispneia, dores no peito, anosmia, ageusia e até distúrbios do sono.^(56, 57, 58, 59, 60, 61)

• Genoma

O SARS-CoV-2 é um vírus envelopado cujo material genético é um RNA simples fita de polaridade positiva (+ssRNA) de cerca de 30 Kb. Seu genoma é composto por 13 *Open Reading Frames* (ORFs) que ficam entre a UTR cap 5' e a UTR poliadenilada 3'. As 16 Nsp's são produzidas a partir da clivagem promovida por proteases virais das poliproteínas pp1a e pp1ab, codificadas pelas ORF1a e ORF1b, respectivamente.^(2, 17, 18, 27) As proteínas acessórias 3a, 3b, 6, 7a, 7b, 8 e 9b e as quatro proteínas estruturais S, E, M e N do vírus são codificadas pelas demais ORFs (Figura 1).^(62, 63, 64)

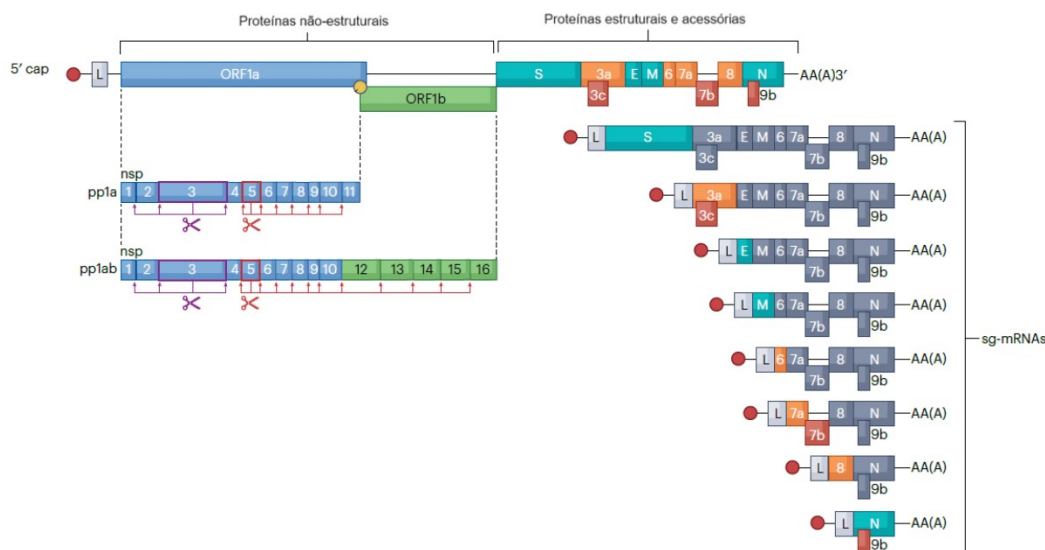


Figura 1. Representação do genoma do SARS-CoV-2, evidenciando as proteínas não-estruturais, estruturais e acessórias. Fonte: Steiner et al. (2024) modificado.

As Nsp's têm funções variadas. Nsp1 inibe os mecanismos de resposta imune celular, como a produção de interferon (IFN), à medida que promove inibição da tradução de proteínas e degradação de RNA mensageiro (mRNA) do hospedeiro.^(65, 66, 67, 68) Um estudo recente revelou que Nsp2 pode contribuir para a expressão de citocinas e quimiocinas via ativação de NF-κB.⁽⁶⁹⁾

Dado sua função proteolítica, Nsp3 atua no processamento de poliproteínas.⁽⁷⁰⁾ Nsp3, Nsp4 e Nsp6 auxiliam na formação da organela de replicação do SARS-CoV-2 ao promoverem a formação de vesículas de membrana dupla e de conectores que as ligam ao retículo endoplasmático (RE) da célula hospedeira.^(71, 72, 73) Nsp5 atua na replicação viral por clivar poliproteínas essenciais para o processo, e na evasão do sistema imune do hospedeiro por diminuir a produção de IFN via clivagem de NF-κB.^(74, 75)

Nsp7 e Nsp8 são cofatores da RNA polimerase dependente de RNA (RdRp) Nsp12, ambas se ligam ao RNA e promovem sua acomodação no complexo de replicação do SARS-CoV-2.^(76, 77) Nsp9 apresenta afinidade por oligonucleotídeos, o que faz com que ela se ligue ao RNA viral e participe de seu processo de síntese.^(78, 79) Nsp10 é cofator de Nsp14 e de Nsp16, estimulando as atividades exoribonuclease da primeira e metiltransferase da segunda.^(80, 81, 82) Nsp13 tem função helicase^(83, 84) e Nsp15 endonuclease.^(85, 86) Nsp11 é uma proteína intrinsecamente desordenada, mas sua função ainda não foi bem compreendida.⁽⁸⁷⁾

Quanto às proteínas acessórias, a maioria auxilia na evasão do sistema imune do hospedeiro. Além de atuar como canal iônico, 3a também promove indução de apoptose, afeta o processo de autofagia promovido pelos lisossomos e intensifica a tempestade de citocinas durante a infecção viral.^(88, 89, 90, 91, 92) As proteínas 3b, 6, 7a, 7b e 9b são antagonistas de INF.^(93, 94, 95, 96) Desregulação da apresentação de抗ígenos via MHC-I,

intensificação da resposta inflamatória via citocinas e antagonismo de INF são funções da proteína 8. ⁽⁹⁷⁾

M é a proteína estrutural mais abundante do SARS-CoV-2. Ela é formada pelos domínios C-terminal, transmembrana (TM1, TM2 e TM3) e N-terminal. Uma de suas funções é recrutar S, E e N ao compartimento intermediário retículo endoplasmático-complexo de Golgi (ERGIC) ⁽⁹⁸⁾, local onde ocorre a montagem de novas partículas virais que serão liberadas da célula. ⁽⁹⁹⁾ Além de ser importante para o processo de replicação, estudos também mostraram que M inibe a produção de IFN por meio de diferentes mecanismos. ^(100, 101, 102)

Entre as proteínas estruturais, E é a menor delas. Ela é uma proteína integral de membrana constituída por três domínios: C-terminal, transmembrana (TM) e N-terminal. Apenas uma pequena quantidade de E forma o envelope viral, a maior parte da proteína expressa durante a infecção pelo SARS-CoV-2 fica no ERGIC, auxiliando nas etapas de montagem e de liberação de novas partículas virais. ^(103, 104) Quando sofre oligomerização, E forma canais iônicos em bicamadas lipídicas. ^(105, 106) Sua atuação na resposta imune está associada à regulação da ativação e da inativação do inflamossoma NLRP3. ⁽¹⁰⁷⁾

Os domínios N-terminal, C-terminal e intrinsecamente desordenados dos monômeros que constituem a proteína N possuem carga positiva. O nucleocapsídeo é formado com a ligação de vários destes monômeros ao RNA viral, que é negativamente carregado. ^(108, 109) Além de promover o empacotamento do material genético, N também auxilia na montagem de novas partículas virais por meio de interações com a proteína M. ⁽¹¹⁰⁾ Em relação à evasão do sistema imune do hospedeiro, N atua como antagonista de RNA de interferência (iRNA) e de INF. ^(111, 112)

Na superfície da partícula viral está a proteína S. Ela é composta por três monômeros, sendo cada um formado por duas subunidades: S1 e S2 (2). Em S1 está localizado o Domínio de ligação ao receptor (RBD), o qual se liga à Enzima conversora de angiotensina 2 (ACE2), proteína expressa em diferentes tipos celulares do hospedeiro e receptor para o SARS-CoV-2.^(113, 114) A subunidade S2 possui um domínio transmembrana e outro citoplasmático, que é responsável pelas interações com a membrana celular.⁽¹¹⁵⁾ Por ser o principal alvo dos anticorpos neutralizantes, a proteína S é considerada a mais antigênica do SARS-CoV-2.^(116, 117) A maioria das vacinas utilizadas atualmente para a prevenção da COVID-19 foram desenvolvidas com base em S.^(118, 119, 120)

- **Ciclo viral**

A primeira etapa do ciclo viral do SARS-CoV-2 consiste na entrada do vírion na célula hospedeira por meio da ligação da proteína S aos receptores ACE2. A distribuição destes últimos em tecidos e tipos celulares específicos é determinante para o tropismo viral.⁽¹²¹⁾ A subunidade S2 da proteína S então sofre clivagem mediada por TMPRSS2 ou catepsina L. A entrada do vírion se dá via fusão de membrana quando ocorre o primeiro caso e via endocitose quando ocorre o segundo.^(122, 123) Em seguida, ocorre a etapa de desnudamento e o genoma viral é liberado no citoplasma da célula.⁽¹²¹⁾

A tradução do RNA genômico (gRNA) pela maquinaria do hospedeiro gera as poliproteínas pp1a e pp1ab.⁽¹²⁴⁾ Proteases virais então clivam ambas e produzem as 16 Nsp. Nsp1 é liberada no citoplasma e as demais Nsp se unem para formar os chamados complexos de replicação e transcrição (RTCs).^(125, 126) A reorganização das membranas do RE pelas proteínas Nsp3, Nsp4 e Nsp6 gera as organelas de replicação, como vesículas de membrana dupla (DVMs), nas quais os RTCs ficam ancorados. As organelas de

replicação proporcionam um ambiente adequado para a síntese de gRNA dado que concentram metabólitos, cofatores e enzimas virais, além de oferecerem proteção frente ao sistema imunológico.^(72, 73, 64) Ativada pelos cofatores Nsp7 e Nsp8, a RdRp Nsp12 replica o gRNA enquanto Nsp13, Nsp14 e Nsp16 auxiliam durante o processo com suas respectivas funções de helicase, exoribonuclease e metiltransferase.^(76, 77, 83, 84, 81, 82) A produção de RNA subgenômico (sgRNA) é concomitante à replicação. Após a síntese dos segmentos de sgRNA, estes sofrem tradução e geram as proteínas acessórias.^(76, 127, 128)

A etapa de empacotamento ocorre com a formação do nuclecapsídeo viral.^(72, 129) As interações entre as proteínas N e M, e o recrutamento de E e S promovido por M culminam na montagem de novas partículas virais no ERGIC, as quais sofrem maturação no complexo de Golgi e, por fim, são liberadas via exocitose (Figura 2).^(98, 130, 131, 132)

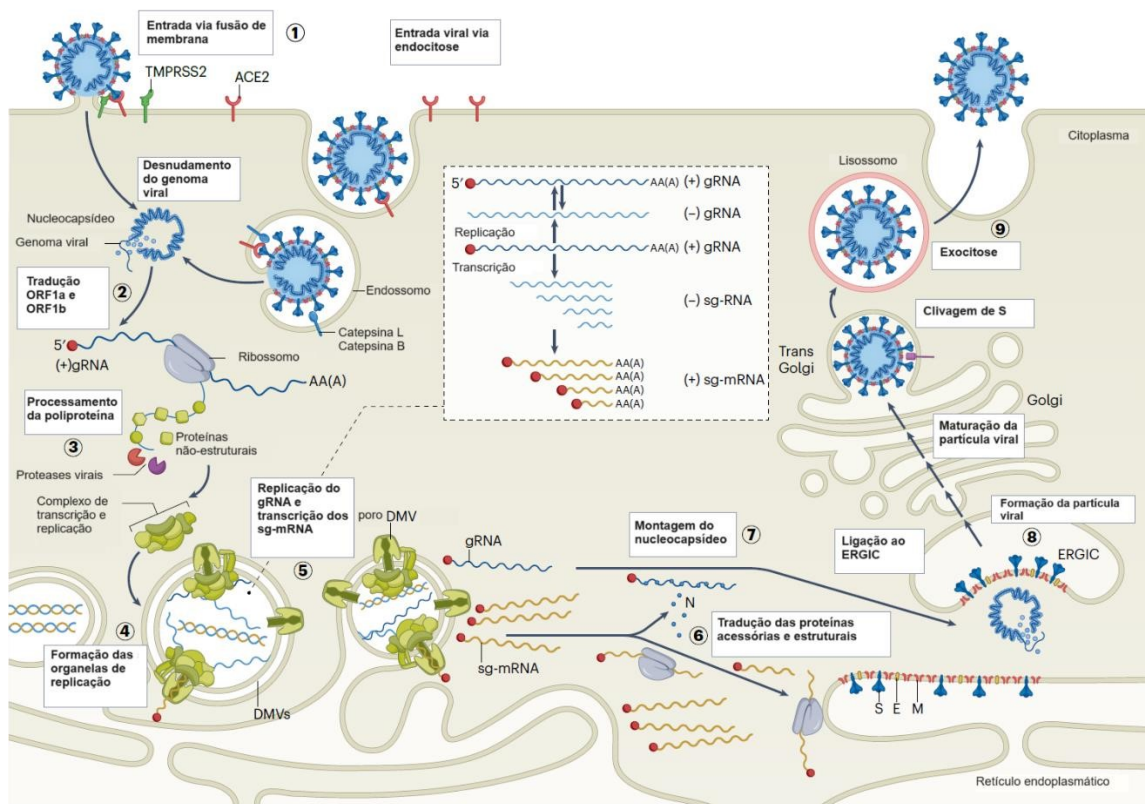


Figura 2. Ciclo viral do SARS-CoV-2, com destaque para as etapas do processo. Fonte: Steiner et al. (2024) modificado.

- **Mutações, linhagens e variantes**

A atividade exoribonuclease da proteína Nsp14 não impede completamente a ocorrência de mutações no genoma do SARS-CoV-2, mas diminui a frequência com que elas ocorrem em comparação com outros vírus de RNA.⁽⁸¹⁾ As taxas de mutação do SARS-CoV-2 variaram de acordo com o local e com o período dos estudos ao longo da pandemia.^(133, 134, 135, 136, 137) As mutações podem ocorrer tanto nas regiões do genoma que codificam as proteínas estruturais, quanto as não-estruturais. Entre as mutações encontradas no vírus, pode haver troca, inserção ou deleção de nucleotídeos. O primeiro tipo pode ou não culminar em alterações de aminoácidos e é observado principalmente na proteína S.^(138, 139) Já o último, pode variar de um aminoácido a *ORFs* completas.⁽¹⁴⁰⁾

O SARS-CoV-2 é classificado em linhagens com base em análises genômicas. Tais linhagens não representam todas as mudanças evolutivas do vírus, mas sim alterações genéticas associadas a importantes aspectos epidemiológicos e eventos biológicos.⁽¹⁴¹⁾ Neste contexto destacam-se as variantes, as quais exibem pequenas divergências genéticas que podem ter impacto positivo ou negativo no *fitness* viral, o que pode resultar em alterações relevantes de aspectos clínicos e epidemiológicos da COVID-19.^(142, 143)

Aquelas variantes consideradas pela OMS como capazes de promover impactos no âmbito da saúde pública devido a mutações que alteraram características como transmissibilidade, patogenicidade e evasão ao sistema imunológico, foram chamadas de Variantes de Interesse (VOIs) e Variantes de Preocupação (VOCs).⁽¹⁴⁴⁾ A VOI Zeta teve origem no Brasil e ganhou destaque no cenário da pandemia no país no final de 2020.⁽¹⁴⁵⁾ A VOC Gamma, também originada no país, foi responsável por grande parte dos casos de COVID-19 e de óbitos em decorrência da doença no início do ano de 2021.^(146, 147)

○ **Justificativa**

Até maio de 2023, quando a OMS decretou o fim da pandemia, mais de 765 milhões de casos de COVID-19 e mais de 6,9 milhões de óbitos pela infecção foram registrados no mundo.⁽¹⁴⁸⁾ O Brasil foi bastante impactado pela pandemia, chegando a ser considerado o segundo país do planeta em número de casos de COVID-19.⁽¹⁴⁹⁾

A maior parte dos casos de COVID-19 e de óbitos em decorrência da doença ocorreram na região sudeste do Brasil, essencialmente no estado de São Paulo.⁽¹⁵⁰⁾ Localizada no noroeste paulista, São José do Rio Preto foi uma cidade importante no contexto da pandemia de COVID-19 no estado. O município foi o terceiro em número de casos e de óbitos em São Paulo, além disso, o Hospital de Base de São José do Rio Preto

(HB) foi o centro de saúde com a segunda maior unidade de terapia intensiva de COVID-19 no Brasil. ^(151, 152)

O SARS-CoV-2 se comportou de maneiras diferentes de acordo com o local e o período da pandemia. Apesar de haver muitos estudos após a emergência das VOIs e VOCs, há pouco conhecimento sobre a história evolutiva do SARS-CoV-2 no início de 2020 no Brasil. Este estudo buscou entender a dinâmica de circulação do vírus no município de São José do Rio Preto entre os meses de março e novembro de 2020, período que compreende o primeiro ano da pandemia de COVID-19.

Objetivos

- **Objetivo geral**

Investigar a dinâmica de circulação do SARS-CoV-2 em São José do Rio Preto entre março e novembro de 2020.

- **Objetivos específicos**

- Observar como ocorreu a introdução do SARS-CoV-2 no município;
- Identificar quais linhagens do vírus estavam circulando durante o período de estudo;
- Detectar a introdução de Variantes de Interesse (VOIs) e de Preocupação (VOCs) no município;
- Investigar a relação filogenética entre as linhagens e variantes identificadas;
- Determinar o papel de São José do Rio Preto na dispersão das linhagens e variantes detectadas na cidade.

Materiais e Métodos

○ Avaliação ética

O presente trabalho foi submetido e aprovado pelo Comitê de Ética e Pesquisa (CEP) da Faculdade de Medicina de São José do Rio Preto (FAMERP) sob número - CAAE 31588920.0.0000.5415.

○ Local do estudo

São José do Rio Preto fica a 442 Km de São Paulo, capital do estado. A cidade possui uma área de 431.944 km² e tem uma população estimada em 480.393 mil habitantes, segundo o último censo.⁽¹⁵³⁾ Localizado no município, o Hospital de Base (HB) é referência para os outros mais de 100 municípios que compõem o 15º Departamento Regional de Saúde (DRS XV)⁽¹⁵³⁾.

○ Amostras

O Laboratório de Pesquisas em Virologia (LPV) possui um banco de amostras de secreção nasofaríngea de pacientes que procuraram o sistema de saúde local e que tiveram diagnóstico molecular positivo para COVID-19 realizado pelo HB entre março e novembro de 2020. Entre as quase 50 mil amostras do banco, foram selecionadas aleatoriamente para o presente trabalho apenas amostras de pacientes residentes em São José do Rio Preto que tiveram diagnóstico molecular positivo para COVID-19 entre março e novembro de 2020. Todas as amostras ficaram armazenadas a -80°C no LPV até sua utilização.

○ Extração do RNA viral

O RNA viral foi extraído das amostras de secreção nasofaríngea com o *Quick-RNA™ Viral Kit* (Zymo Research), conforme orientações do fabricante e adaptações. Um volume de 200 µL de cada amostra foi adicionado a 200 µL de RNA *Shield* para a

inativação do material infeccioso em tubo de polipropileno de 1,5 mL. A solução foi então homogeneizada em Vortex-Genie 2 (Scientific Industries, EUA) por 15 segundos e em seguida colocada em centrífuga Hermle Z 216 MK (Hermle Labortechnik, Alemanha) a 20.000 x g por 10 segundos. O preparo do *Viral RNA Buffer*, utilizado na etapa de lise celular, consistiu na adição de 250 µL de β-mercaptoetanol a cada 50 mL do mesmo para que, dessa forma, a integridade do RNA viral fosse mantida durante o processo e sua degradação por RNases fosse evitada. Um total de 800 µL do *Viral RNA Buffer* foi adicionado aos 400 µL da solução em tubo de 1,5 mL. Posteriormente, 630 µL da solução foram adicionados à membrana de sílica da *Zymo-Spin™ IC colum* acoplada a um tubo coletor fornecido pelo fabricante para que ocorresse a adsorção do RNA viral. O tubo coletor foi então centrifugado por dois minutos a 20.000 x g e em seguida o sobrenadante foi descartado. Os dois passos anteriores foram repetidos, garantindo assim a adsorção do RNA e a eliminação de proteínas e outros contaminantes que pudessesem inibir processos posteriores. O preparo do *Viral Wash Buffer*, utilizado na etapa de lavagem, consistiu na adição 24 mL de etanol 100% a cada 6 mL do mesmo. Um volume de 500 µL do *Viral Wash Buffer* foi adicionado à coluna acoplada ao tubo coletor, o qual foi logo depois centrifugado por um minuto a 20.000 x g. O passo foi repetido uma vez mais. Na etapa final de lavagem foram adicionados 500 µL de etanol 100% à coluna acoplada ao tubo coletor, que foi mais uma vez centrifugado por um minuto a 20.000 x g. Todo o processo de lavagem aumenta significativamente a pureza do RNA viral e garante a remoção de contaminantes, sem afetar sua afinidade à *Zymo-Spin™ IC colum*. Por fim, 25 µL de água livre de DNAses e RNases, que previne possíveis contaminações e degradações, foram adicionados à membrana da coluna acoplada a um tubo de polipropileno de 1,5 mL, o qual foi centrifugado por quatro minutos a 20.000 x g. O RNA foi então estocado a -80°C.

- **Detecção viral**

A confirmação de detecção de RNA viral nas amostras dos pacientes com diagnóstico prévio positivo para COVID-19 se deu via reação em cadeia da polimerase de transcrição reversa em tempo real/quantitativa (RT-qPCR). A mesma foi feita segundo as instruções do fabricante do *Allplex™ 2019-nCoV Assay* (Seegene Brazil, Brasil). Para cada amostra cujo volume de 5 µL de RNA viral foi extraído foram utilizados 5 µL do reagente de amplificação e detecção *MuDT Oligo Mix* (MOM), 5 µL de *Real-time One Step Buffer 5X* concentrado contendo desoxirribonucleotídeos fosfatados (dNTPs), 2 µL do *Real-time One-step Enzyme* contendo as enzimas transcriptase reversa e DNA polimerase e 5 µL de água livre de DNases e RNases. Os 17 µL totais foram então distribuídos por poço em microplaca óptica de 96 poços (Axygen, EUA), a qual foi selada (Axygen, EUA) e colocada em termociclador *QuantStudio 5 Real-Time PCR System* (Thermo Fisher Scientific, EUA). A incubação ocorreu a 50°C por 20 minutos, 95°C por 15 minutos, depois a 94°C por 15 segundos, 58°C por 30 segundos durante 45 ciclos e 94°C por 15 segundos durante 44 ciclos. A presença de sinal fluorescente emitida pelos fluoróforos FAM, Cal Red 610/ Texas Red e Quasar 670/CY5 indicavam a amplificação dos genes E, RdRP e N, respectivamente. Conforme instruções do kit, um *Cycle threshold* (Ct) abaixo de 40 de pelo menos um dos três genes confirmava a detecção de RNA de SARS-CoV-2 na amostra. Os valores de Ct para o alvo E foram registrados.

- **Sequenciamento do genoma viral**

O sequenciamento completo do genoma viral foi feito conforme a metodologia de sequenciamento de nova geração (NGS) utilizando a plataforma Illumina.⁽¹⁵⁵⁾

- **Preparo da biblioteca**

A biblioteca foi preparada com o *QIAseq SARS-CoV-2 Primer Panel* (QIAGEN, Alemanha) e o *Illumina CovidSeq Test* (Illumina, EUA), seguindo as orientações dos fabricantes.

- * *QIAseq SARS-CoV-2 Primer Panel* (QIAGEN)

Na reação em cadeia da polimerase de transcrição reversa (RT-PCR) para a síntese do DNA complementar (cDNA) 5 µL de RNA viral, 1 µL de *RP primer* 11X diluído e 6 µL de água livre de nucleases foram adicionados por poço em placa de 96 poços (Axygen, EUA). A placa foi coberta com selo (Axygen, EUA) e incubada a 65°C por cinco minutos e 4°C por um minuto em termociclador *Verit 96-Well Thermal Cycler* (Applied Biosystems - Thermo Fisher Scientific, EUA). Aos 12 µL totais foram adicionados 4 µL de *Multimodal RT Buffer* 5X concentrado, 1 µL de inibidor de RNase, 1 µL de *EZ Reverse Transcriptase* e 2 µL de água livre de nucleases. Novamente selada, a placa foi incubada a 42 °C por 40 minutos, 70 °C por 15 minutos e 4 °C por um minuto. O cDNA obtido foi então amplificado por reação em cadeia da polimerase (PCR): 2,5 µL de cDNA, 3 µL de *QIAseq SARS-CoV-2 pool 1*, 12,5 µL de *QIAseq HiFi MM* 2X concentrado, e 7 µL de água livre de nucleases foram adicionados por poço em placa de 96 poços. O mesmo preparo foi feito para outros 2,5 µL de cDNA, alterando-se apenas o *QIAseq SARS-CoV-2 pool 1* pelo *QIAseq SARS-CoV-2 pool 2*. Por fim, as placas foram seladas e incubadas a 98 °C por 2 minutos, depois a 98 °C por 20 segundos e 65 °C por 5 minutos durante 35 ciclos. Cada *pool 1* foi combinado com o seu respectivo *pool 2* em nova placa de 96 poços. Aos 50 µL totais foram adicionados 50 µL de *AxyPrep MAG PCR Clean-Up* (Axygen, EUA) para purificação do DNA por poço de placa, a qual foi selada, agitada em

vórtex Kasvi *basic* K45-2810 (Kasvi, Brasil) por 15 segundos e incubada a temperatura ambiente por 5 minutos. A placa foi colocada sobre estante magnética por 2 minutos e o sobrenadante de cada poço foi retirado. Um volume de 200 µL de etanol 80% foi adicionado a cada poço da placa, ainda em estante magnética, e retirado logo em seguida. A lavagem foi repetida uma vez mais. Dado que o DNA é negativamente carregado e as beads magnéticas positivamente carregadas, ambos se associam. Os ímãs da estante magnética atraem as beads magnéticas ligadas ao DNA e fazem com que as impurezas da reação se concentrem no sobrenadante. A lavagem é feita para aumentar a pureza do DNA e garantir a remoção dos contaminantes. A placa foi retirada da estante magnética e um volume de 30 µL de *Buffer EB* foi adicionado a cada poço para que ocorresse a separação do DNA das beads magnéticas. A placa foi agitada por 15 segundos, incubada a temperatura ambiente por 2 minutos e colocada novamente sobre estante magnética. Ao final, as beads magnéticas foram novamente atraídas pelo ímã da estante e 28 µL do sobrenadante foram transferidos para nova placa de 96 poços.

A concentração de cada biblioteca foi determinada no *Qubit 2.0 Fluorometer* (Thermo Fisher Scientific, EUA) com o *Qubit™ dsDNA HS Assay Kit* (Thermo Fisher Scientific, EUA), segundo orientações do fabricante. Primeiro, foram preparadas soluções padrão contendo 10 µL de *Qubit® dsDNA HS Standard #1/#2* e 190 µL de *Qubit® dsDNA HS Buffer* 1:200 mais *Qubit® dsDNA HS Reagent*. Para cada biblioteca foi preparada uma solução contendo 198 µL de *Qubit® dsDNA HS Buffer* 1:200 mais *Qubit® dsDNA HS Reagent* e 2 µL de biblioteca. O volume total das soluções foi transferido para diferentes *Qubit® assay tubes*. As soluções padrão foram colocadas no equipamento, seguidas das soluções contendo cada biblioteca. Após a leitura, cada

biblioteca foi diluída a uma concentração comum de 10 ng/ μ L em *Buffer EB* em nova placa de 96 poços.

A fragmentação das bibliotecas ocorreu de forma enzimática. Em placa de 96 poços foram adicionados 12 μ L de cada biblioteca, 5 μ L de *FX Buffer 10X* concentrado, 2,5 μ L de *FX enhancer* e 20,5 μ L de água livre de nucleases. A placa selada foi incubada em termociclador a 4 °C por um minuto, 32 °C por 14 minutos e 65 °C por 30 minutos. Um volume de 10 μ L de *FX enzyme mix* foi adicionado a cada poço, a placa foi selada e incubada a 4 °C por um minuto.

A preparação da reação de ligação dos adaptadores incluiu a adição de 50 μ L de biblioteca fragmentada, 5 μ L de *QIASeq Dual-Index Y-Adapters*, 20 μ L de *Ligation buffer 5X* concentrado, 10 μ L de DNA ligase e 15 μ L de água livre de nucleases em cada poço de placa de 96 poços. A placa foi então selada e incubada primeiro a 20 °C por 15 minutos para que ocorresse a ligação dos adaptadores, e depois a 65 °C por 20 minutos para que a enzima que promoveu a ligação fosse inativada. Logo em seguida, foram adicionados 80 μ L de *AxyPrep MAG PCR Clean-Up* por poço da placa, que foi incubada a temperatura ambiente por cinco minutos e depois colocada sobre estante magnética por dois minutos. Após o descarte do sobrenadante foram feitas duas lavagens com 200 μ L de etanol 80%. Todo o resíduo de etanol 80% foi descartado, a placa foi retirada da estante magnética e 52,5 μ L de *Buffer EB* foram adicionados a cada poço para eluição. A placa foi colocada novamente sobre estante magnética e 50 μ L do eluído foram transferidos para nova placa de 96 poços. Aos 50 μ L de biblioteca ligada a adaptadores em cada poço foram adicionados 50 μ L de *AxyPrep MAG PCR Clean-Up* para nova purificação. A placa foi incubada a temperatura ambiente por cinco minutos e colocada sobre estante magnética

por dois minutos. Após o descarte do sobrenadante, novamente foram feitas duas lavagens com 200 µL de etanol 80%. Todo o resíduo de etanol 80% foi descartado e 26 µL *Buffer EB* foram adicionados a cada poço para eluição. Um volume de 23,5 µL do sobrenadante de cada poço foi transferido para nova placa de 96 poços.

Cada biblioteca ligada a adaptadores e purificada com beads magnéticas foi submetida à reação de PCR para fins de amplificação. Aos 19,5 µL de biblioteca em cada poço de placa de 96 poços foram adicionados 25 µL de *HiFi PCR Master Mix* 2X concentrado, 1,5 µL *Primer Mix* a 10 µM cada e 4 µL de água livre de nucleases. A placa foi selada e incubada em termociclador a 98 °C por dois minutos, depois a 98 °C por 20 segundos e 60 °C por 30 segundos durante 12 ciclos, 72 °C por 30 segundos e 72 °C por um minuto. Após a amplificação, cada biblioteca passou por nova purificação. Um volume de 50 µL de *AxyPrep MAG PCR Clean-Up* foi adicionado a cada poço da placa de 96 poços, a qual foi incubada a temperatura ambiente por cinco minutos e em seguida colocada sobre estante magnética por dois minutos. Foram feitas duas lavagens com 200 µL de etanol 80%, cujo resíduo foi descartado. Um volume de 25 µL de *Buffer EB* foram adicionados a cada poço. Por fim, 23 µL de biblioteca dos sobrenadantes de cada poço foram transferidos para tubo de polipropileno de 1,5 mL.

* *Illumina CovidSeq Test* (Illumina, EUA)

A síntese do cDNA se deu a partir da reação de RT-PCR. Em um primeiro momento, 8,5 µL de *Elution Prime Fragment 3HC Mix* e 8,5 µL de RNA viral foram adicionados por poço em placa de 96 poços, que foi selada, colocada em centrífuga para *spin* Axygen (Axygen, EUA) por 10 segundos e incubada em termociclador a 65 °C por três minutos. Em seguida, foi preparado um *mix* contendo 9 µL de *First Strand Mix HT* e

1 µL de *Reverse Transcriptase HT* (RVT HT), dos quais 8 µL foram adicionados a cada poço da placa. A mesma foi selada, centrifugada por 10 segundos e incubada em termociclador a 25 °C por cinco minutos, 50 °C por 10 minutos e 80 °C por 5 minutos. O cDNA produzido foi amplicado via PCR. Um volume de 5 µL de cDNA, 15 µL de *Illumina PCR Mix* (IPM HT), 4,3 µL de *COVIDSeq Primer Pool 1* (CPP1 HT) e 4,7 µL de água livre de nucleases foram adicionados em cada poço de nova placa de 96 poços. O mesmo preparo foi feito para outros 2,5 µL de cDNA, alterando-se apenas o CPP1 HT pelo *COVIDSeq Primer Pool 2* (CPP2 HT). As placas foram então seladas, centrifugadas por 10 segundos e incubadas a 98°C por 3 minutos, depois a 98 °C por 15 segundos e 6 °C por 5 minutos durante 35 ciclos. Um volume de 10 µL de *pool 1* foi combinado com o mesmo volume de seu respectivo *pool 2* em nova placa de 96 poços.

Na etapa de tagmentação ocorreu a fragmentação enzimática aleatória dos amplicons e a ligação dos adaptadores 5' e 3' às extremidades dos mesmos. Na reação foram utilizados 3,33 µL de *Enrichment BLT HT*, 10 µL de *Tagmentation Buffer* e 16,66 µL de água livre de nucleases em cada poço da placa de 96 poços contendo os 20 µL da combinação dos produtos de PCR. A placa foi então selada, centrifugada por 10 segundos e incubadas a 55 °C por cinco minutos.

A purificação da biblioteca tagmentada também foi feita com beads magnéticas. A placa foi retirada do termociclador, centrifugada por 10 segundos e em seguida foram adicionados 10 µL de *Stop Tagmentation Buffer* em cada poço. A placa foi selada, incubada a temperatura ambiente por cinco minutos e centrifugada novamente por 10 segundos. A mesma foi colocada sobre estante magnética por três minutos e em seguida os sobrenadantes foram descartados dos poços. Um volume de 100 µL de *Tagmentation*

Wash Buffer foi adicionado por poço e em seguida a placa foi selada, agitada por 1 minuto e recolocada sobre estante magnética por 3 minutos. O sobrenadante de cada poço foi descartado e o mesmo procedimento de lavagem foi repetido uma vez mais.

O próximo passo foi a amplificação da biblioteca fragmentada e purificada e a adição dos *Index adapters* (*IDT for Illumina-PCR Index Set 1, 2, 3, 4*). Inicialmente, foi preparado um *mix* contendo 24 µL de *Enhanced PCR Mix HT* e 24 µL de água livre de nucleases. Um volume de 40 µL do *mix* e mais 10 µL de *Index adapter* foram adicionados à cada poço de biblioteca de DNA purificada. A placa de 96 poços foi selada e centrifugada por 10 segundos. Por fim, a mesma foi incubada a 72 °C por três minutos, 98 °C por três minutos, depois a 98 °C por 20 segundos, 60 °C por 30 segundos, 72 °C por um minuto durante 7 ciclos e 72 °C por três minutos.

Após ser retirada do termociclador, a placa foi centrifugada por 10 segundos e foi feita a união das 96 bibliotecas por placa. Um volume de 5 µL das bibliotecas das colunas de 1 a 12 foram colocadas em uma única fileira de nova placa de 96 poços. Para a reação de purificação, 55 µL dos 60 µL de cada poço da fileira foram transferidos para tubo de polipropileno de 1,5 mL. Ao tubo foram adicionados 396 µL *Illumina Tune Beads*. O tubo foi agitado por 15 segundos, incubado a temperatura ambiente por cinco minutos e colocado sobre estante magnética por cinco minutos. O sobrenadante foi descartado e foi feita a lavagem com 1 mL de etanol 80%. Passados 30 segundos, todo o etanol foi descartado e o procedimento foi repetido uma vez mais. O tubo foi retirado da estante magnética e 55 µL do *Ressuspension Buffer* foram adicionados ao mesmo, que foi agitado por 15 segundos, centrifugado a 20.000 x g por 10 segundos e incubado a temperatura ambiente por dois minutos. Ao final, o tubo foi colocado em estante magnética por dois

minutos e 50 µL do sobrenadante contendo as bibliotecas foram transferidos para novo tubo de polipropileno de 1,5 mL.

- **Avaliação dos amplicons**

O tamanho dos amplicons das bibliotecas preparadas com o *QIAseq SARS-CoV-2 Primer Panel* (QIAGEN, Alemanha) e o *Illumina CovidSeq Test* (Illumina, EUA) foi verificado no *Agilent 4150 TapeStation* (Agilent Technologies Inc, EUA).

- **Normalização**

A concentração das bibliotecas foi determinada no *Qubit 2.0 Fluorometer* (Thermo Fisher Scientific, EUA) com o *Qubit™ dsDNA HS Assay Kit* (Thermo Fisher Scientific, EUA), conforme orientações do fabricante. Primeiro, foram preparadas soluções padrão contendo 10 µL de *Qubit® dsDNA HS Standard #1/#2* e 190 µL de *Qubit® dsDNA HS Buffer* 1:200 mais *Qubit® dsDNA HS Reagent*. Para cada biblioteca foi preparada uma solução contendo 198 µL de *Qubit® dsDNA HS Buffer* 1:200 mais *Qubit® dsDNA HS Reagent* e 2 µL de biblioteca. O volume total das soluções foi transferido para diferentes *Qubit® assay tubes*. As soluções padrão foram colocadas no equipamento, seguidas da solução contendo as bibliotecas. As concentrações e os tamanhos dos amplicons obtidos nas etapas anteriores foram utilizados no cálculo de molaridade das bibliotecas: concentração da biblioteca $\times 10^6 / 660 \times$ tamanho médio da biblioteca. Por fim, as bibliotecas foram diluídas a 4 nM em água livre de nucleases em tubo de polipropileno de 1,5 mL.

- **Desnaturação e diluição**

As etapas de desnaturação e diluição das bibliotecas e da biblioteca controle *Illumina PhyX* foram feitas com o *300-cycle MiSeq Reagent Kit v3* (Illumina, EUA).

Inicialmente, foi preparada uma solução estoque de hidróxido de sódio a 1 N em tubo de polipropileno de 15 mL com a adição de 0,6 g de hidróxido de sódio e 15 mL de água livre de nucleases. Para o preparo da solução de hidróxido de sódio a 0,2 N utilizada na etapa de desnaturação, 200 µL da solução estoque de hidróxido de sódio a 1 N foram adicionados a 800 µL de água livre de nucleases. Um volume de 5 µL da solução de hidróxido de sódio a 0,2 N e 5 µL de biblioteca foram adicionados a tubo de polipropileno de 1,5 mL. O tubo foi agitado por 15 segundos, centrifugado a 20.000 x g por um minuto e incubado a temperatura ambiente por 5 minutos. Um volume de 990 µL de *Hybridization Buffer* foi adicionado ao mesmo, resultando em uma biblioteca desnaturada numa concentração de 20 pM. A biblioteca foi então diluída em tubo de polipropileno de 1,5 mL a 10 pM utilizando-se 300 µL da biblioteca a 20 pM e 300 µL de *Hybridization Buffer*.

A primeira etapa do preparo da biblioteca de controle *Illumina PhyX* (Illumina, EUA) consistiu na sua diluição a 4 nM: 10 µL de biblioteca *PhyX* a 10 nM mais 3 µL de tampão Tris-Cl, pH 8,5 0,1 % Tween 20 em tubo de polipropileno de 1,5 mL. A desnaturação da biblioteca de *PhyX* ocorreu da mesma forma que a das bibliotecas: 5 µL da solução de hidróxido de sódio a 0,2 N e 5 µL de biblioteca foram adicionados a novo tubo de polipropileno de 1,5 mL, o qual foi agitado por 15 segundos, centrifugado a 20.000 x g por um minuto e incubado a temperatura ambiente por 5 minutos. Um volume de 990 µL de *Hybridization Buffer* foi adicionado ao tubo, resultando em uma biblioteca de *PhyX* desnaturada numa concentração de 20 pM.

Um volume de 394 µL de biblioteca desnaturada foi combinado com 6 µL de biblioteca *PhyX* desnaturada em tubo de polipropileno de 1,5 mL. O volume total de 600 µL foi então colocado no cartucho.

- **Corrida**

O sequenciamento foi feito no sistema *MiSeq* (Illumina, EUA) e os reagentes usados nesta etapa faziam parte do *300-cycle MiSeq Reagent Kit v3* (Illumina, EUA). A *flow cell* foi lavada com água ultrapura e seca utilizando lenço *Kimwipes KIMTECH* (Kimberly-Clark Professional, EUA). O cartucho do *300-cycle MiSeq Reagent Kit v3* foi colocado no equipamento, seguido do tampão de lavagem e da *flow cell*.

Sequências de oligonucleotídeos complementares aos adaptadores ligados aos amplicons das bibliotecas ficam aderidas à *flow cell*, um substrato de vidro em que nanopoços são gravados com um espaçamento ideal para ocorrer a amplificação por ponte. As bibliotecas se hibridizam na superfície da *flow cell* e cada fragmento ligado à mesma é amplificado, gerando grupos clonais. Durante a reação de sequenciamento, bases nitrogenadas formadas por dNTPs marcados são incorporadas aos grupos clonais. Cada base emite um sinal fluorescente diferente ao ser incorporada, o qual é gravado e reconhecido pelo *MiSeq*. Esse último processo se repete inúmeras vezes, gerando *reads* de diferentes tamanhos.⁽¹⁵⁵⁾

- **Montagem dos genomas virais**

O ARTIC Nextflow pipeline (<https://github.com/connor-lab/ncov2019-artic-nf/tree/illumina>) foi utilizado para montar os genomas virais.

A remoção de porções com qualidade abaixo de 20 e de adaptadores das *reads*, bem como de sequências de tamanho menor que 20 pares de base (bp), foi feita pelo TrimGalore (<https://github.com/FelixKrueger/TrimGalore>). As *reads* trimadas foram

alinhadas ao genoma referência de SARS-CoV-2 (número de acesso GISAID: NC_045512.2). A remoção dos primers e a geração das sequências consenso foram feitas pelo iVar (<https://andersen-lab.github.io/ivar/html/manualpage.html>), considerando as *reads* com tamanho acima de 30 bp e qualidade maior que 20.

- **Análise de cobertura**

A medida de cobertura descreve a porcentagem de nucleotídeos sequenciados ao longo do genoma.⁽¹⁵⁶⁾ A checagem da cobertura das sequências foi feita pelo Nextclade v2.14.0 (<https://clades.nextstrain.org/>).⁽¹⁵⁷⁾ Uma vez que a precisão da classificação de variantes é afetada pela uniformidade da cobertura, apenas as sequências com cobertura acima de 90% foram usadas nas análises deste estudo.

- **Classificação de linhagens**

O Pangolin v1.21 (<https://cov-lineages.org/resources/pangolin.html>) foi utilizado para classificar em linhagens os genomas obtidos após a montagem.⁽¹⁵⁸⁾ Os arquivos no formato fasta contendo as sequências consensus foram carregados na ferramenta on-line. Em seguida, apenas as sequências com mais de 10.000 bp e com quantidade de Ns menor que 50% foram mapeadas com o genoma referência de SARS-CoV-2 usando o minimap2 v2.17 (<https://github.com/lh3/minimap2>).⁽¹⁵⁹⁾ A trimagem ocorreu de maneira que restasse a região codificadora dos genomas e Ns nas extremidades 5' e 3' em falta. Ao final, o modelo de *machine learning* pangoLEARN⁽¹⁶⁰⁾, considerando os polimorfismos de nucleotídeo único (SNPs), atribuiu a linhagem mais provável a cada sequência.

- **Alinhamento**

O alinhamento foi feito no MAFFT v. 7.520 (<https://mafft.cbrc.jp/alignment/software/>).⁽¹⁶¹⁾ Dentre os três algoritmos progressivos

disponíveis, a estratégia auto selecionou o mais adequado para cada *dataset* criado para as análises levando em conta suas características (Apêndice 1: Tabelas 1-4).

- **Análises filogenética e filogeográfica**

As árvores filogenéticas de Máxima Verossimilhança (ML) foram feitas com o IQ-TREE v2.2.0 (<http://www.iqtree.org/>)⁽¹⁶²⁾. O modelo evolutivo foi selecionado pelo *ModelFinder*⁽¹⁶³⁾ e os valores de suporte dos ramos foram obtidos a partir de dois testes com 1.000 replicatas: *Ultrafast Bootstrap* (UFBoot)⁽¹⁶⁴⁾ e *SH-like approximate likelihood ratio test* (SHaLRT)⁽¹⁶⁵⁾. Na metodologia ML, diferentes árvores filogenéticas são construídas a partir do alinhamento das sequências e com base no modelo evolutivo empregado. A árvore mais verossímil, que representa o evento estudado da forma mais provável como ocorreu na realidade, é então gerada.⁽¹⁶⁶⁾

O TreeTime⁽¹⁶⁷⁾ foi utilizado para transformar as árvores ML em árvores datadas, considerando a taxa média constante de $8,0 \times 10^{-4}$ substituições de nucleotídeos por sítio por ano do SARS-CoV-2.⁽¹⁶⁸⁾ O sinal temporal das árvores ML foi verificado com o TempEst v1.5.3 (<http://tree.bio.ed.ac.uk/software/tempest/>).⁽¹⁷⁰⁾ A topologia final das árvores de B.1.1.28, B.1.1.33 e Zeta foi utilizada para inferir o número de eventos de exportação das linhagens ocorridos entre as cinco regiões do Brasil e São José do Rio Preto usando o TreeTime mugration v0.9.3.

As análises Bayesianas foram feitas com o auxílio do pacote de programas BEAST v1.10.4 (<https://beast.community/>)⁽¹⁶⁹⁾ e baseadas em estudos anteriores.^(168, 172, 173) A metodologia de Monte Carlo via cadeias de Markov (MCMC) foi empregada na inferência Bayesiana. Com ela, a árvore mais provável, levando em consideração todos os tamanhos de ramos, todos os valores de parâmetros para modelos evolutivos e suas combinações, é estimada pela probabilidade posterior por aproximação por meio de

amostragem por Cadeias Markovianas. Dessa forma, é permitido que pequenas mudanças aleatórias sejam ser feitas nos parâmetros da análise, podendo ou não serem aceitas, de acordo com a probabilidade.⁽¹⁶⁶⁾

A seleção de parâmetros incluiu o modelo de substituição nucleotídica *General Time Reversible* com sítios invariáveis e parâmetros de distribuição Gamma (GTR+I+G) e relógio molecular estrito. O modelo de distribuição selecionado para modelar a dispersão filogenética de B.1.1.28, B.1.1.33 e Zeta ao longo das cinco regiões brasileiras e de São José do Rio Preto foi o *Cauchy*, com um *jitter window size* de 0.01. A quantidade de cadeias utilizadas na análise MCMC foi de 250 milhões e a amostragem correspondeu a 10% do valor de cadeias. As árvores de Máxima Credibilidade de Clado (MCC) foram sintetizadas com o Tracer v1.7.2 (<https://github.com/beast-dev/tracer/releases/tag/v1.7.2>)⁽¹⁷⁴⁾ e o LogCombiner v1.10.4 (<https://beast.community/logcombiner>), após descarte de 10% de *burn-in*. Por fim, as informações geradas foram extraídas pelo pacote SERAPHIM do RStudio 4.2.3 (<https://posit.co/download/rstudio-desktop/>).

- **Geoprocessamento**

Foi preparado um banco de dados contendo as linhagens de SARS-CoV-2 detectadas, as coordenadas geográficas dos endereços dos pacientes, e as datas de coleta das amostras utilizadas neste estudo. As malhas usadas na confecção dos mapas estão disponíveis no site do Instituto Brasileiro de Geografia e Estatística (IBGE) e são de livre acesso (<https://www.ibge.gov.br/geociencias/organizacao-do-territorio/malhas-territoriais/15774-malhas.html>). Os mapas foram gerados no QGIS v.3.36.0-1 (<http://qgis.org>).

Resultados

A seleção de amostras para este estudo ocorreu em meio à pandemia de COVID-19 e de forma aleatória. A fim de se estabelecer uma relação entre o número de amostras selecionadas e o número de casos novos de COVID-19 por mês em São José do Rio Preto, foi feita uma análise comparativa entre as duas variáveis. Dessa forma, foi possível verificar que a proporção de amostras selecionadas não seguiu a mesma proporção de casos novos de COVID-19 no município a partir do mês de julho de 2020 (Figura 3).

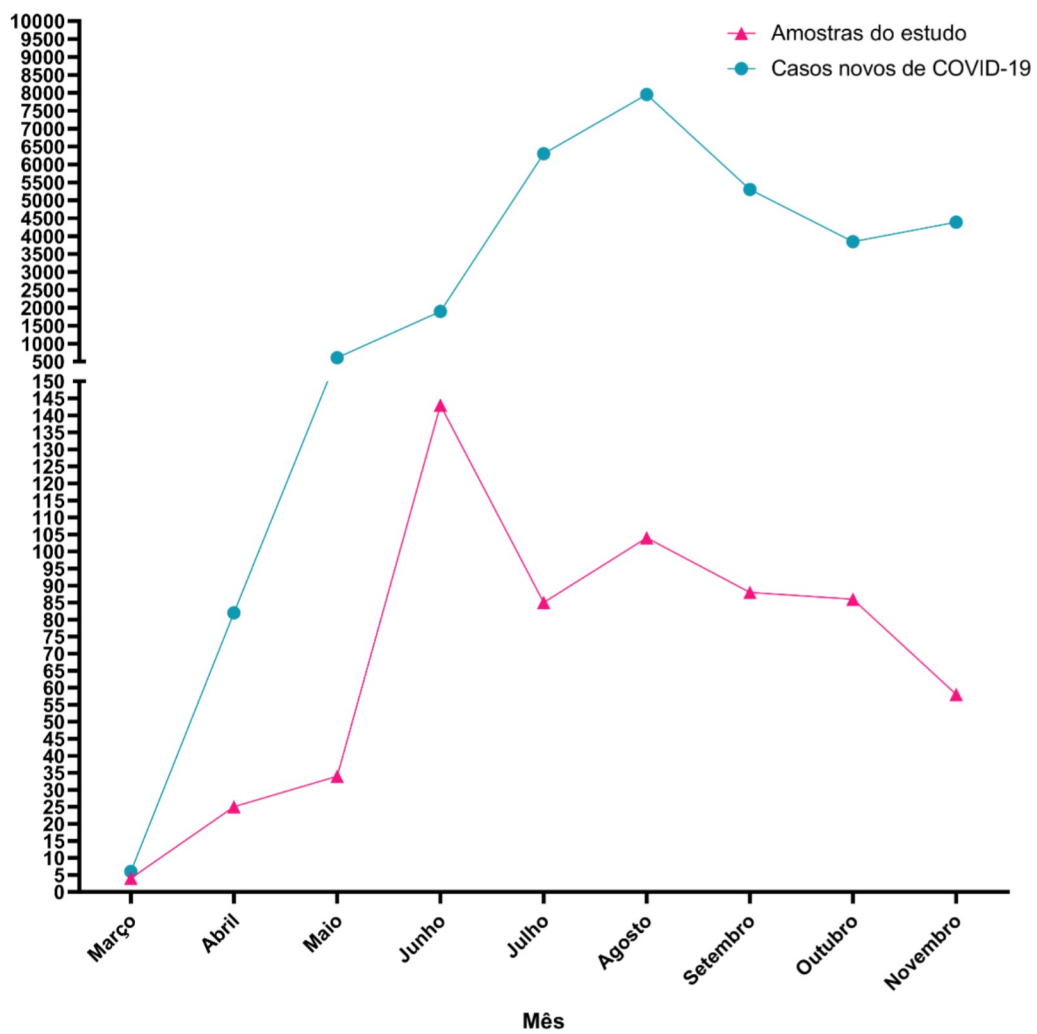


Figura 3. Comparação entre número de casos novos de COVID-19 em São José do Rio Preto e número de amostras selecionadas para o estudo por mês. Fonte: Ministério da Saúde, 2024 (https://infoms.saude.gov.br/extensions/covid-19_html/covid-19_html.html).

Ao todo, 962 amostras de secreção nasofaríngea passaram pela etapa de extração de RNA viral. A presença de RNA se confirmou em 941 amostras após a reação de RT-qPCR. O número de ciclos necessário para a amplificação do gene E do SARS-CoV-2 ao nível detectável (*Cycle threshold (Ct)*) foi levado em consideração para a seleção das amostras utilizadas nas reações seguintes. Das 962 amostras, 915 tiveram Ct inferior ou igual a 34, 26 tiveram Ct superior ou igual a 34 e em 21 o Ct foi indetectável (Figura 4).

Entre as 915 amostras que apresentaram Ct inferior a 34, 864 foram selecionadas para seguirem para as etapas de preparo de biblioteca e sequenciamento. Foi possível fazer a montagem dos genomas detectados em 837 amostras. Por fim, foi feita a verificação da cobertura para cada um dos 837 genomas montados. Cinco genomas apresentaram cobertura insuficiente para análise, 205 apresentaram cobertura abaixo de 90% e 627 apresentaram cobertura acima de 90%. Apenas os últimos foram utilizados nas análises seguintes do presente trabalho (Figuras 5 e 6).

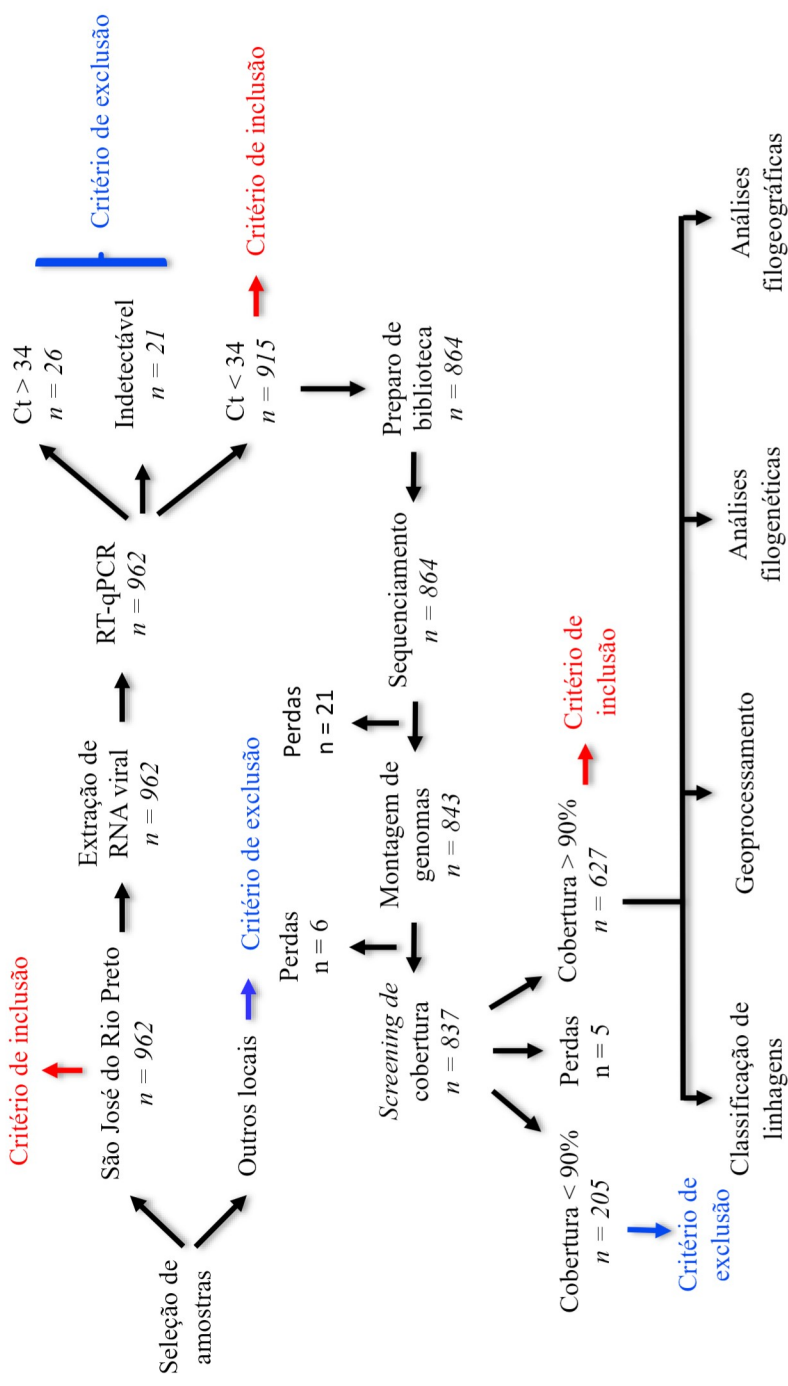


Figura 4. Fluxograma das etapas experimentais deste estudo, salientando o número de amostras e de genomas em cada uma delas.

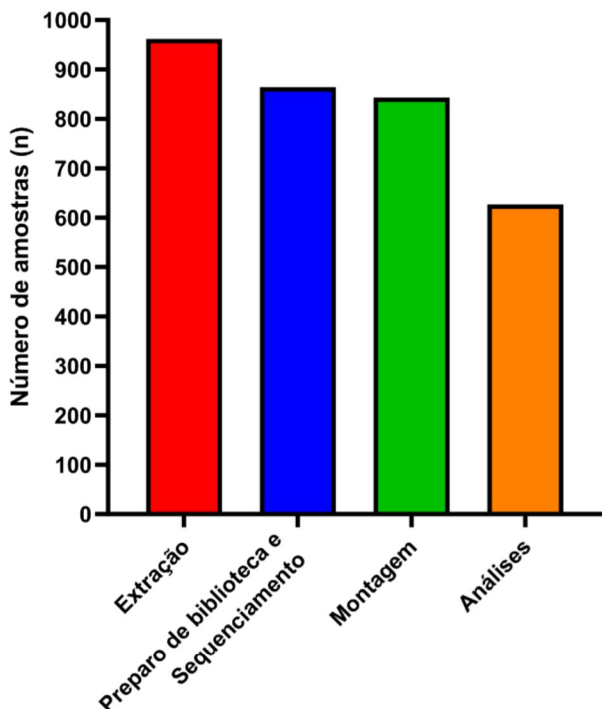


Figura 5. Número total de amostras utilizadas em cada etapa deste estudo.

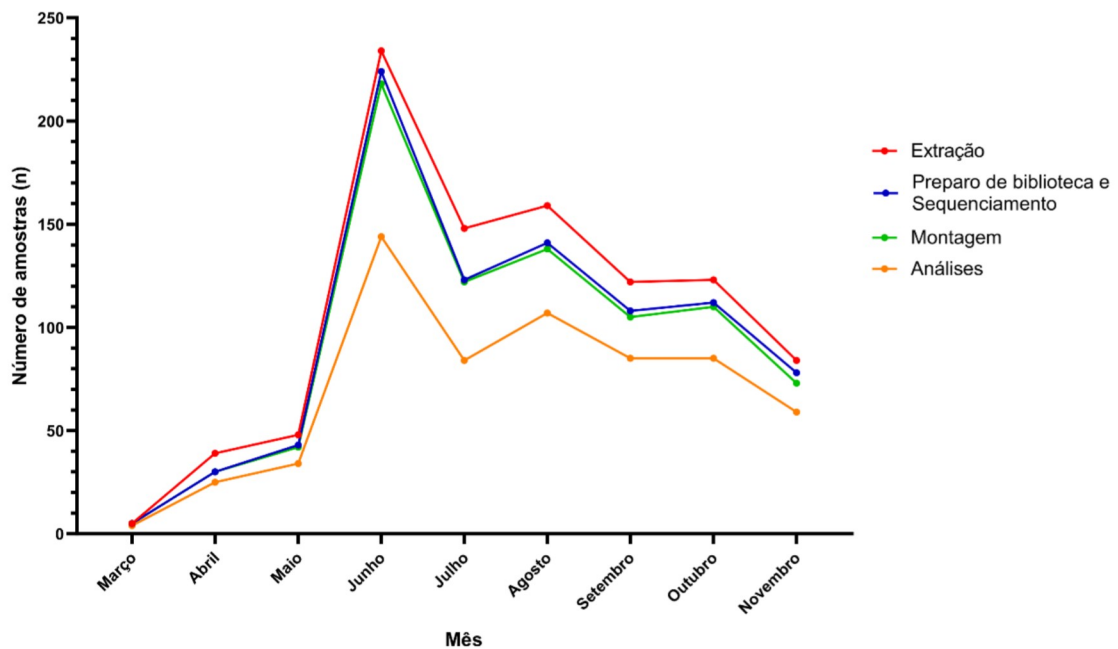


Figura 6. Número de amostras por mês utilizadas em cada etapa do presente trabalho.

Os 627 genomas gerados no presente trabalho (Apêndice 2: Tabela 6) representam 91,67% de todos os genomas de SARS-CoV-2 de São José do Rio Preto sequenciados no ano 2020 depositados no GISAID (<https://gisaid.org/>). Do total de amostras do estudo, 293 eram de homens (n = 46.73%) e 334 de mulheres (n = 53.27%). A idade dos pacientes variou de um a 94 anos de idade, e a maior parte da população do estudo pertencia ao grupo de 40-44 anos de idade (Figura 7).

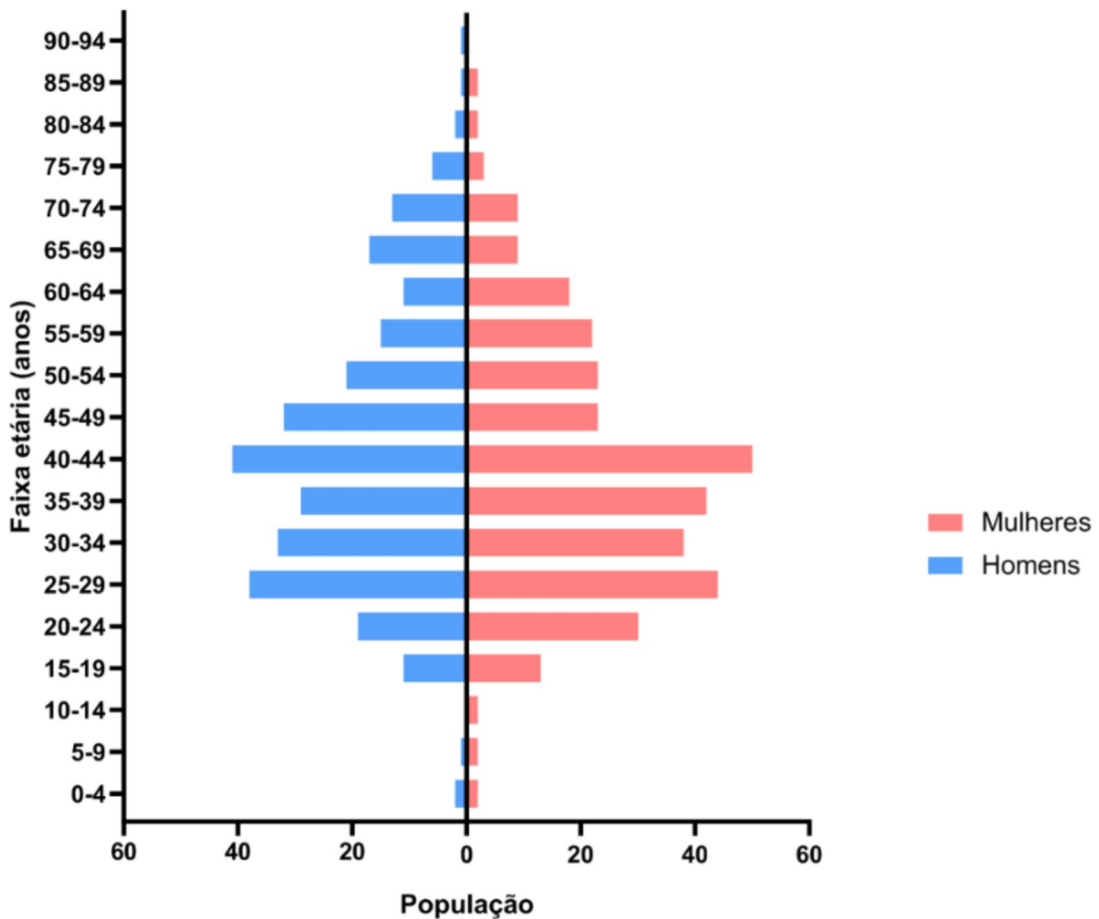


Figura 7. Dados sociodemográficos da população cujas amostras foram utilizadas neste estudo.

De acordo com a classificação feita pelo Pangolin v1.21 (<https://pangolin.cog-uk.io/>), 10 linhagens de SARS-CoV-2 estavam circulando em São José do Rio Preto durante o período do estudo. A mais prevalente foi a linhagem B.1.1.28 (61,40%) seguida das linhagens B.1.1.33 (26,00%), B.1.1 (6,06%), N.9 (2,07%), Zeta (1,75%), B.1 (1,60%), B.1.212 (0,16%), B.1.499 (0,16%), N.3 (0,16%) e P.7 (0,16%) (Figura 8).

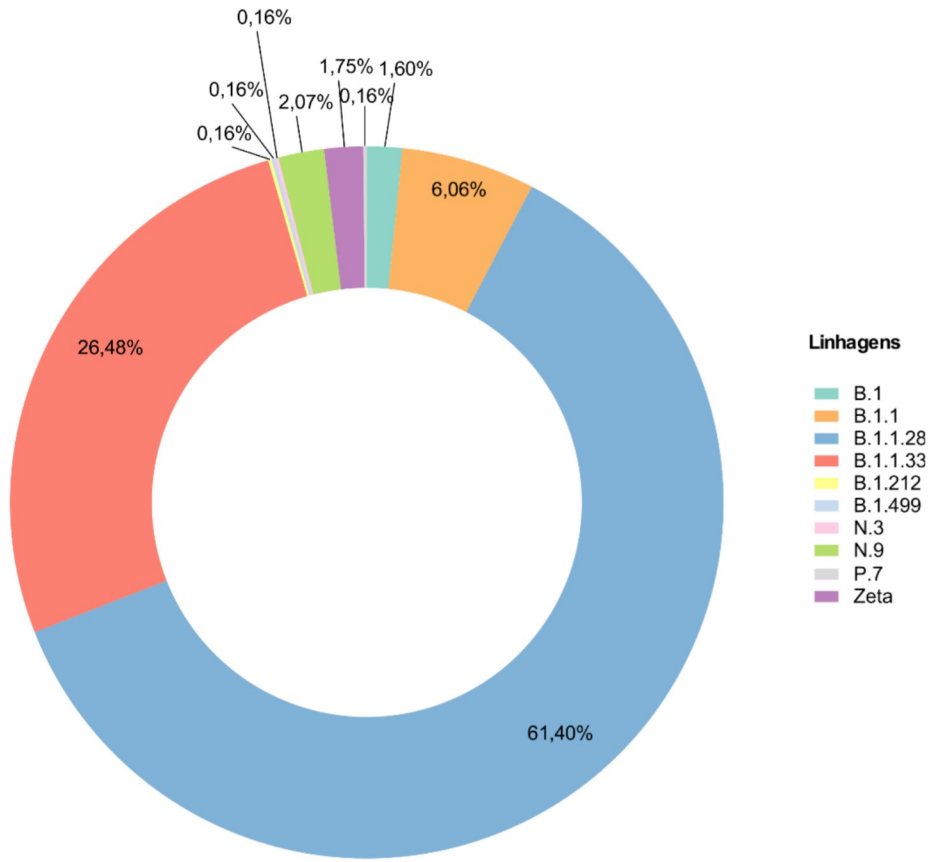


Figura 8. Linhagens que circularam em São José do Rio Preto de março a novembro de 2020, segundo classificação dada pelo Pangolin v1.21 (<https://pangolin.cog-uk.io/>).

Para avaliar a distribuição geográfica das linhagens de SARS-CoV-2 detectadas em São José do Rio Preto de março a novembro de 2020 foi feita uma análise de geoprocessamento, que incluiu apenas as amostras cujos endereços dos pacientes estavam disponíveis. Além disso, também foi feita uma análise das linhagens detectadas em cada mês. Foi possível observar que B.1.1.28 e B.1.1.33 foram as únicas linhagens detectadas no município durante os nove meses que compreenderam o estudo. As demais foram detectadas em meses esporádicos. Curiosamente, Zeta e N.9 já estavam circulando na cidade em março e abril, respectivamente (Figuras 9 e 10).

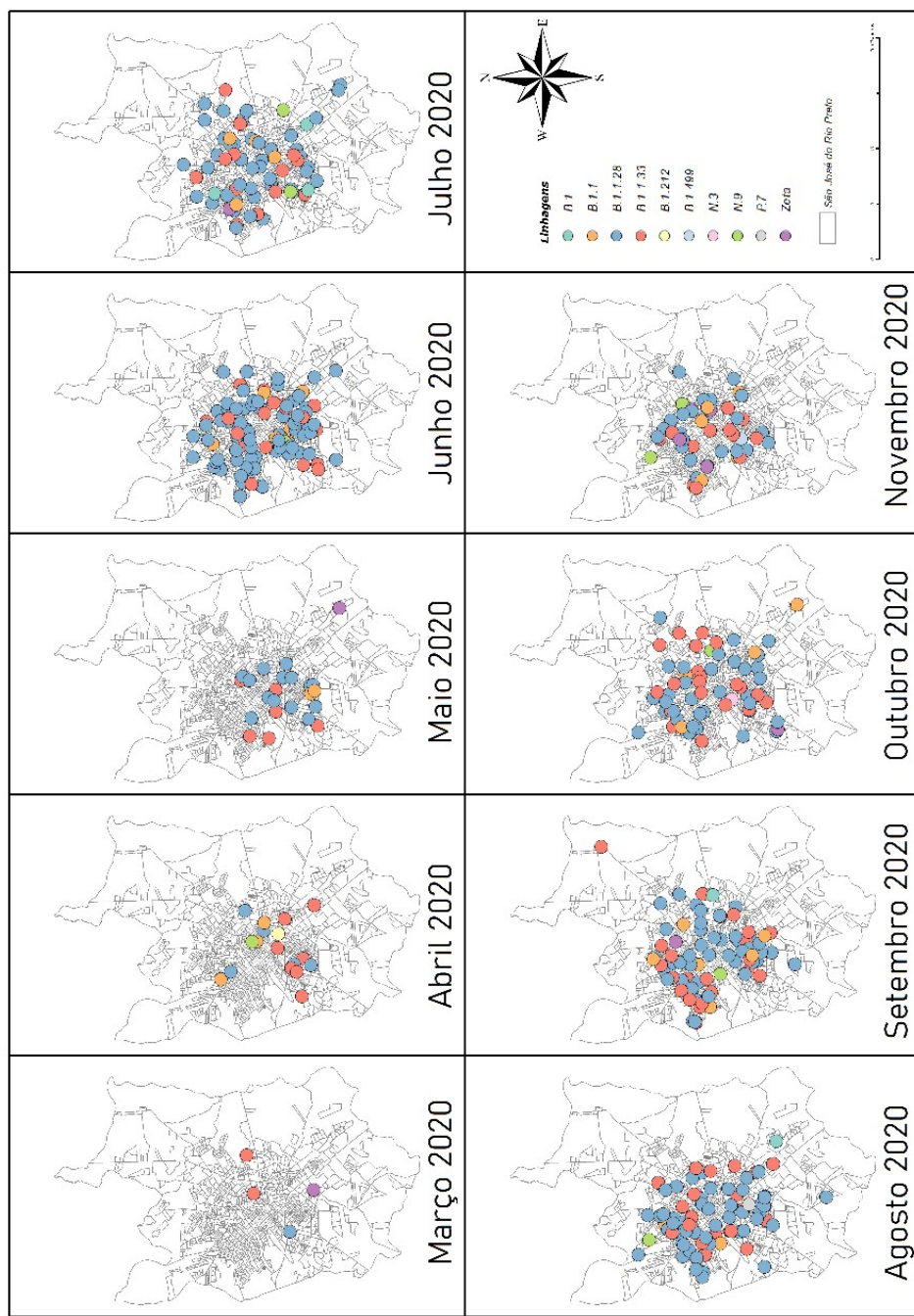


Figura 9. Distribuição geográfica das linhagens de SARS-CoV-2 detectadas em São José do Rio Preto de março a novembro de 2020. O endereço dos pacientes e as datas de coletas das amostras foram utilizadas na confecção dos mapas no software QGIS v.3.36.0-1 (<http://qgis.org>).

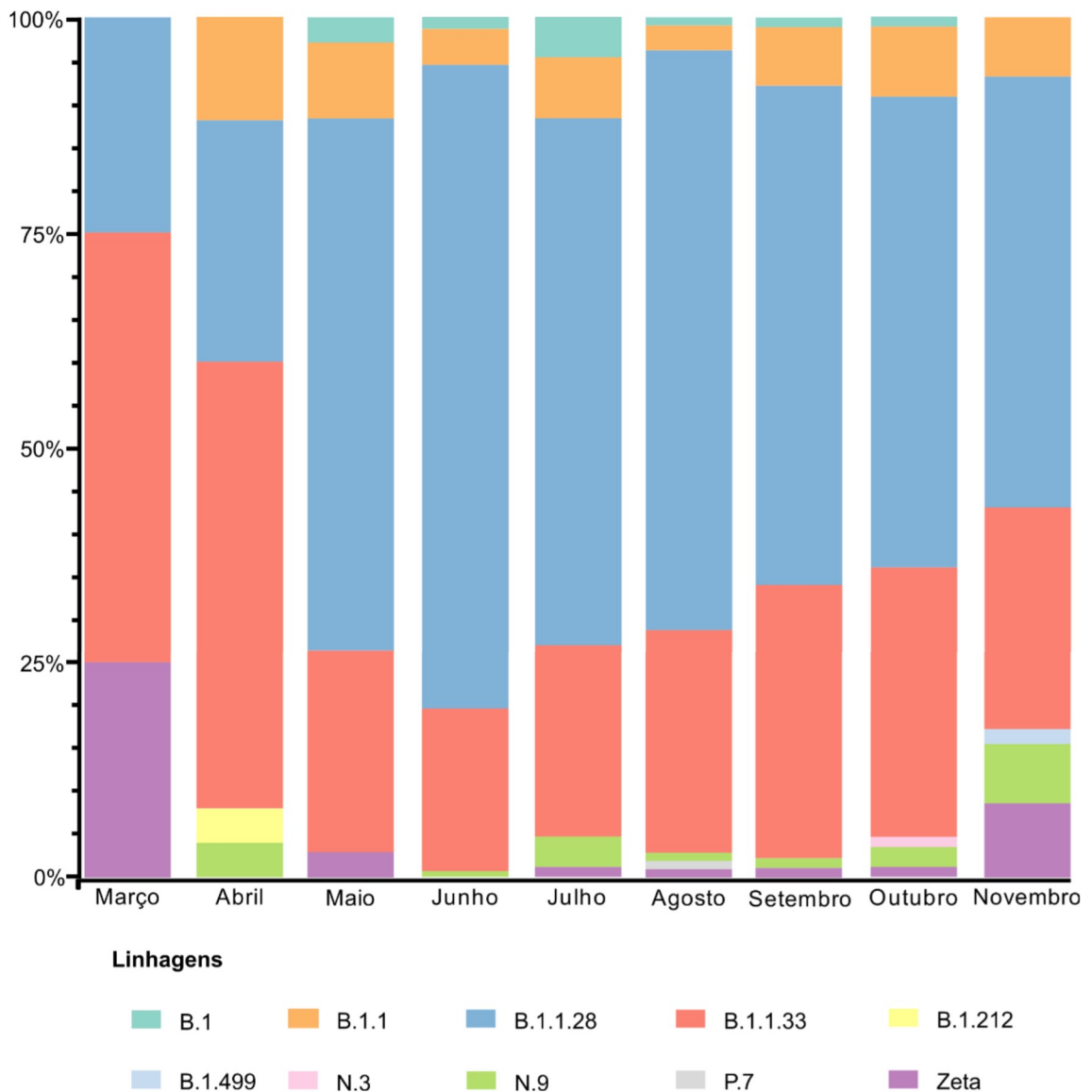


Figura 10. Distribuição mensal das linhagens de SARS-CoV-2 detectadas em São José do Rio Preto de março a novembro de 2020.

A história evolutiva do SARS-CoV-2 em São José do Rio Preto ao longo do ano de 2020 foi estuda por meio de uma análise filogenética de Máxima Verossimilhança (ML) feita com o IQ-TREE v2.2.0 (<http://www.iqtree.org/>). Para tal, foram utilizados 620 genomas gerados no presente trabalho e 38 genomas recuperadas no GISAID (<https://gisaid.org/>), incluindo o primeiro genoma de SARS-CoV-2 detectado no Brasil e o genoma referência de SARS-CoV-2 (Apêndice 1: Tabela 1). É possível observar a formação de dois clados principais na árvore gerada, um deles composto pelas linhagens B.1, B.1.1, B.1.128, Zeta e P.7, e outro pelas linhagens B.1, B.1.1, B.1.1.33, N.9 e N.3. Zeta e P.7 são descendentes de B.1.1.28 e B.1.1.33 é ancestral de N.9 e N.3. A linhagem B.1 deu origem às linhagens B.1.1 subsequentes, o que explica suas amplas distribuições pelos clados que formam a árvore. As linhagens B.1.1.28 e B.1.1.33 foram as primeiras a serem introduzidas na cidade (Figura 11).

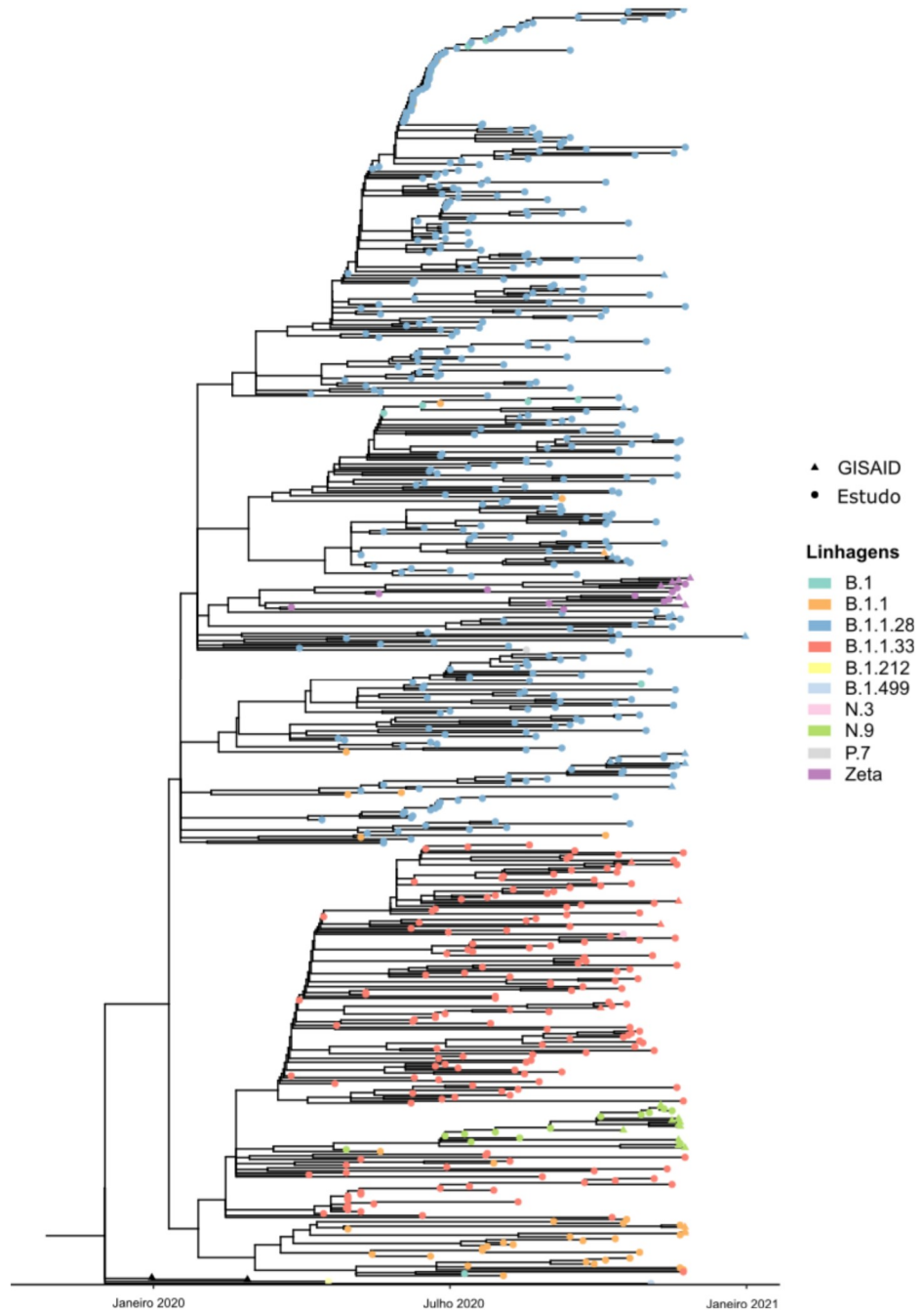


Figura 11. Árvore filogenética de Máxima Verossimilhança (ML) de SARS-CoV-2 de São José do Rio Preto no ano de 2020. Ao todo, foram utilizados 658 genomas de SARS-CoV-2. A análise foi feita no IQ-TREE 1.6.12 utilizando o modelo de substituição nucleotídica GTR+F+I+R4, inferido pelo *ModelFinder*. Os valores de suporte de ramos foram determinados a partir dos testes *Ultrafast Bootstrap* (*UFBoot*) e *SH-like Aproximate Likelihood-ratio* (*SH-aLRT*). As pontas dos ramos foram coloridas de acordo com a linhagem determinada pelo Pangolin v1.21 (<https://pangolin.cog-uk.io/>). Triângulos e círculos representam genomas recuperados no GISAID (<https://gisaid.org/>) e gerados neste estudo, respectivamente. O primeiro genoma de SARS-CoV-2 detectado no Brasil e o genoma referência de SARS-CoV-2 estão destacados em preto.

Uma análise filogenética de Máxima Credibilidade de Clado (MCC) apenas com sequências de Zeta foi feita com o BEAST v1.10.4 (<https://beast.community/>) com a finalidade de se explorar a história evolutiva da VOI Zeta no Brasil. Para a construção da árvore foram utilizados 11 genomas de SARS-CoV-2 gerados no presente trabalho e outros 573 genomas do vírus recuperados no GISAID (<https://gisaid.org/>), incluindo genomas de diferentes capitais do Brasil, o primeiro genoma de SARS-CoV-2 detectado no país e o genoma referência de SARS-CoV-2 (Apêndice 1: Tabela 2). A árvore gerada mostra que o primeiro genoma de Zeta detectado no Brasil pertence ao grupo de genomas obtidos neste estudo (Figura 12).

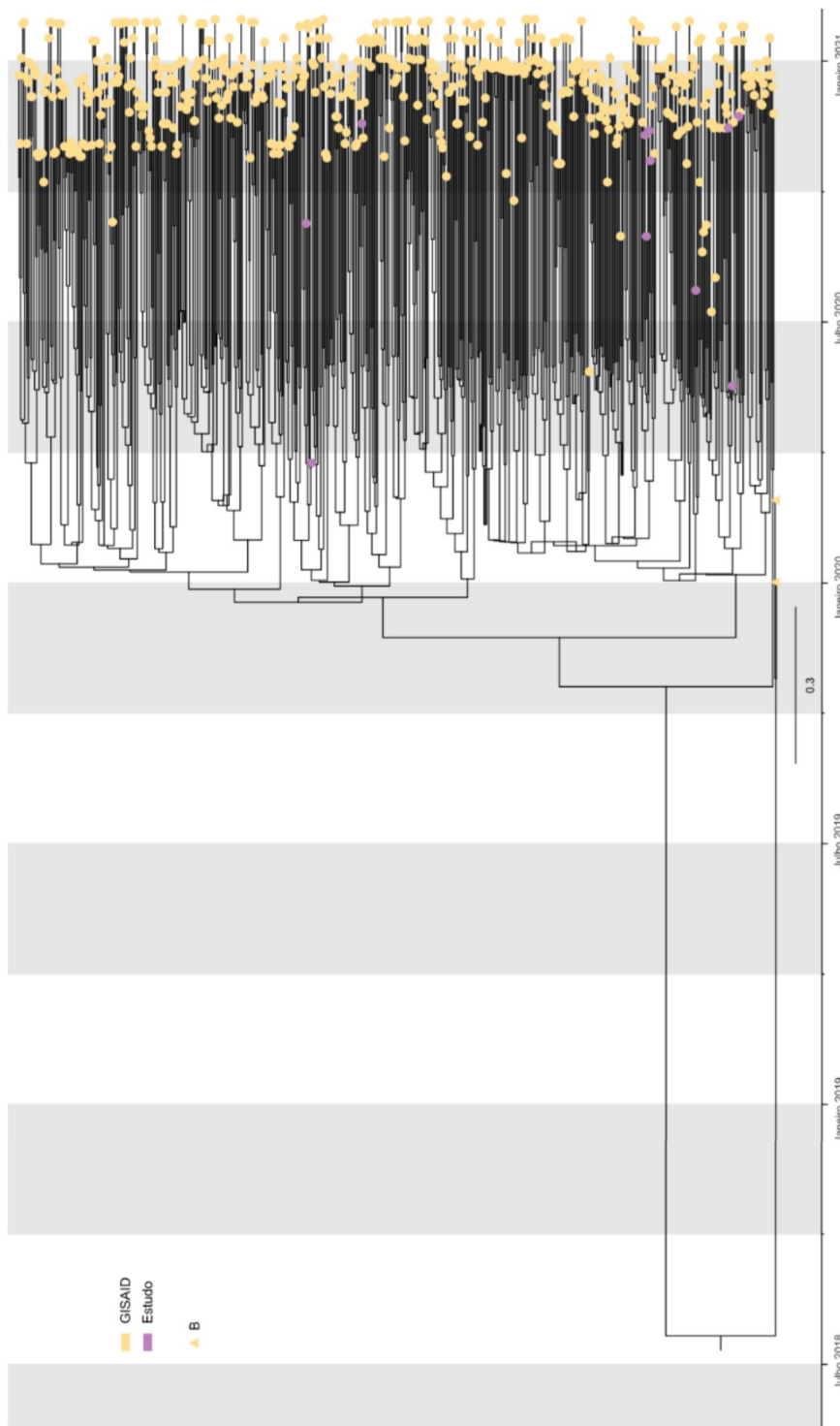


Figura 12. Árvore filogenética de Máxima Credibilidade de Clado (MCC) de Zeta. Ao todo, foram utilizados 584 genomas para a construção da árvore. A análise foi feita com o BEAST v1.10.4 (<https://beast.community/>). As cores representam os genomas recuperados no GISAID (<https://gisaid.org/>) e gerados neste estudo. Triângulos indicam o primeiro genoma de SARS-CoV-2 detectado no Brasil e o genoma referência de SARS-CoV-2.

As análises filogeográficas foram feitas a fim de se compreender melhor como ocorreu a dispersão das linhagens B.1.1.28, B.1.1.33 e Zeta no Brasil. B.1.1.28 e B.1.1.33 foram as linhagens que mais circularam em São José do Rio Preto, e Zeta foi uma VOI importante no cenário da pandemia do município. Para tal, foram utilizados genomas gerados neste estudo e outros recuperados no GISAID (<https://gisaid.org/>) de capitais do Brasil correspondentes às três linhagens (Apêndice 1: Tabelas 3-5). Também foram feitas análises de eventos de exportação das três linhagens entre as cinco regiões do Brasil e São José do Rio Preto.

A linhagem B.1.1.28 se disseminou por todo o Brasil. Apesar de seu movimento ter se dado pelas cinco regiões do país, sua circulação foi observada essencialmente na região sudeste. Os eventos de troca de B.1.128 ocorreram majoritariamente entre as regiões sul e sudeste. É possível notar que São José do Rio Preto contribuiu para a dispersão da linhagem especialmente na região sudeste (Figura 13).

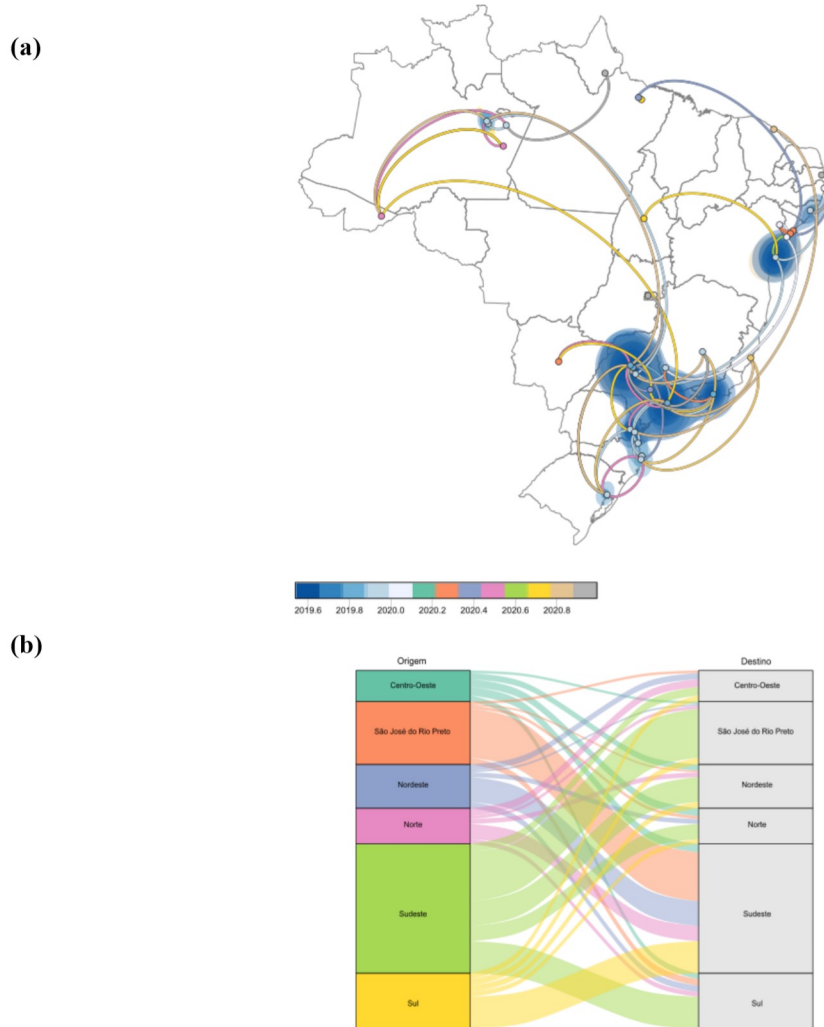


Figura 13. Dispersão espaço-temporal de B.1.1.28 no Brasil. **(a)** Os círculos representam os nós da árvore que sintetiza o resultado da inferência bayesiana feita no BEAST v1.10.4 (<https://beast.community/>) e são coloridos de acordo com o tempo de ocorrência inferido. As áreas sombreadas representam o intervalo de densidade posterior maior que 80% e a incerteza das estimativas filogeográficas para cada nó da árvore. Linhas curvas sólidas indicam as ligações entre os nós e a direção do movimento. A análise envolveu 382 sequências do presente trabalho e outras 224 recuperadas no GISAID (<https://gisaid.org/>), totalizando 606 sequências (Apêndice 1: Tabela 3). **(b)** Número de trocas de B.1.1.28 entre as regiões brasileiras, incluindo o local do estudo.

A linhagem B.1.1.33 também se dispersou por todo o Brasil e se moveu principalmente entre as regiões sul, sudeste e nordeste. Os eventos de exportação de B.1.1.33 ocorreram mais frequentemente entre as regiões sudeste, nordeste e sul. Nota-se uma predominância de exportações de B.1.1.33 de São José do Rio Preto para as regiões sudeste, centro-oeste e nordeste (Figura 14).

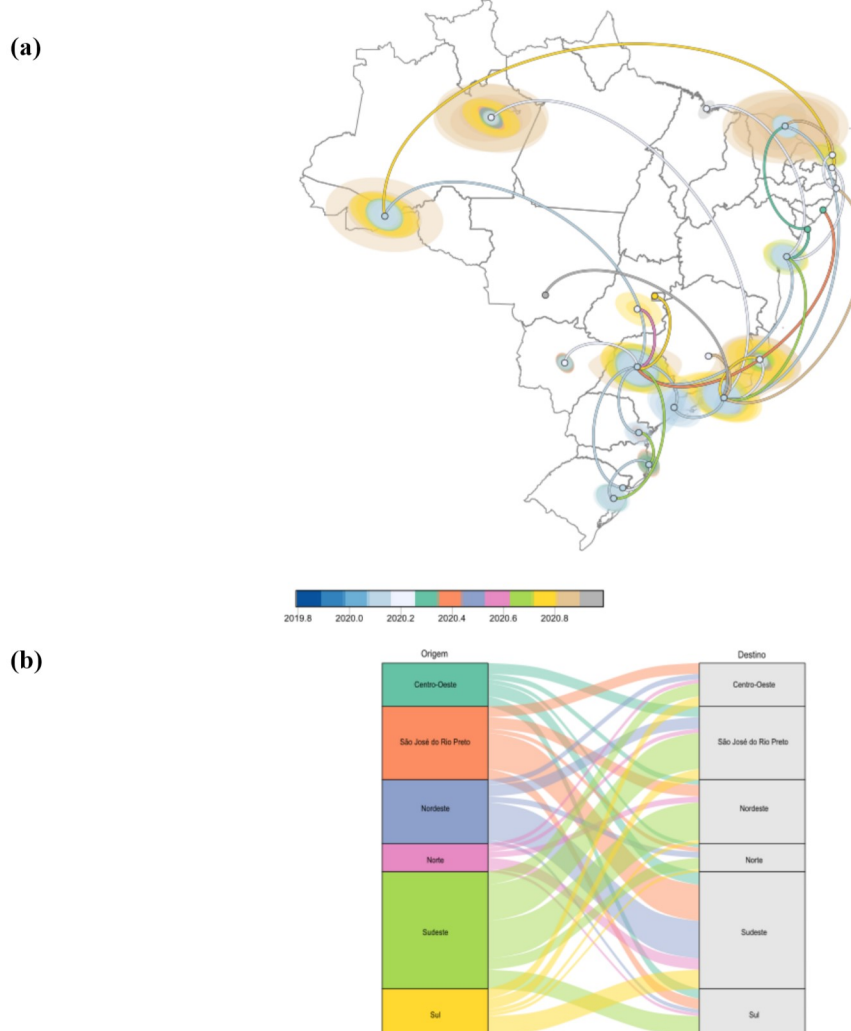


Figura 14. Dispersão espaço-temporal de B.1.1.33 no Brasil. **(a)** Os círculos representam os nós da árvore que sintetiza o resultado da inferência bayesiana feita no BEAST v1.10.4 (<https://beast.community/>) e são coloridos de acordo com o tempo de ocorrência inferido. As áreas sombreadas representam o intervalo de densidade posterior maior que 80% e a incerteza das estimativas filogeográficas para cada nó da árvore. Linhas curvas sólidas indicam as ligações entre os nós e a direção do movimento. A análise envolveu 163 sequências do presente trabalho e outras 435 recuperadas no GISAID (<https://gisaid.org/>), totalizando 598 sequências (Apêndice 1: Tabela 4). **(b)** Número de trocas de B.1.1.33 entre as regiões brasileiras, incluindo o local do estudo.

Em comparação com B.1.1.28 e B.1.1.33, Zeta apresentou a disseminação mais intensa ao longo do território brasileiro. A análise revelou que a VOI estava circulando pelo país já no início do ano de 2020. São José do Rio Preto exportou Zeta para as cinco regiões do Brasil, especialmente para as regiões nordeste, sul e sudeste. Também é possível observar que a circulação da VOI no país ocorreu principalmente entre as regiões sudeste e sul (Figura 15).

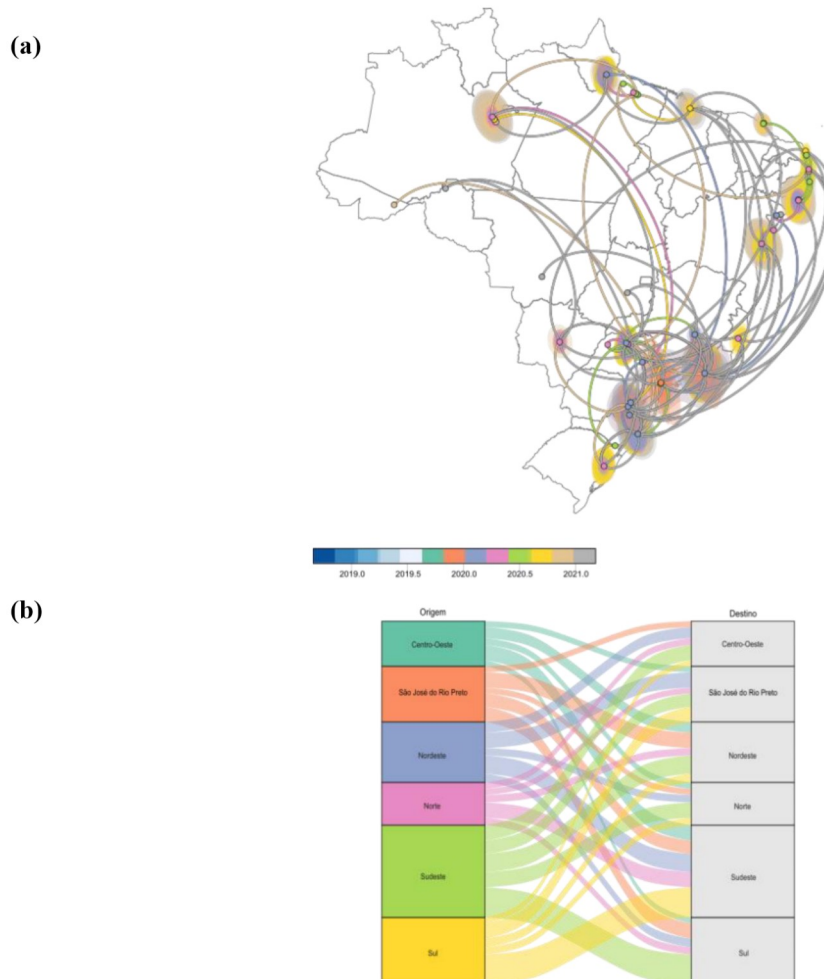


Figura 15. Dispersão espaço-temporal de Zeta no Brasil. **(a)** Os círculos representam os nós da árvore que sintetiza o resultado da inferência bayesiana feita no BEAST v1.10.4 (<https://beast.community/>) e são coloridos de acordo com o tempo de ocorrência inferido. As áreas sombreadas representam o intervalo de densidade posterior maior que 80% e a incerteza das estimativas filogeográficas para cada nó da árvore. Linhas curvas sólidas indicam as ligações entre os nós e a direção do movimento. A análise envolveu 11 sequências do presente trabalho e outras 571 recuperadas no GISAID (<https://gisaid.org/>), totalizando 582 sequências (Apêndice 1: Tabela 5). **(b)** Número de trocas de Zeta entre as regiões brasileiras, incluindo o local do estudo.

Discussão

De fevereiro a dezembro de 2020, 36.185 casos de COVID-19 e 1.386 óbitos em decorrência da doença foram confirmados em São José do Rio Preto.⁽¹⁷⁵⁾ Uma vez que a única forma de combate ao SARS-CoV-2 nesse período era a adoção de medidas de contenção não-farmacológicas, o município promoveu a partir de março de 2020 ações como o uso obrigatório de máscaras, a proibição de aglomerações e o fechamento de escolas. Entretanto, os índices de isolamento na cidade começaram a cair a partir de julho de 2020, e em agosto foram registrados os maiores números de casos de COVID-19 e óbitos pela doença.⁽¹⁷⁶⁾

Esperava-se que a proporção do número de amostras selecionadas para o presente trabalho acompanhasse o número de casos novos de COVID-19 em São José do Rio Preto por mês, o que não ocorreu (Figura 3). Apesar de terem sido armazenadas a -80°C, as amostras podem ter perdido viabilidade devido à forma como foram transportadas até o local de armazenamento, ao tempo de armazenamento e ao número de vezes que passaram por descongelamento^(177, 178) (Figuras 5 e 6). Em um estudo feito com o mesmo kit de detecção de RNA viral utilizado no presente trabalho, o gene E mostrou-se mais sensível para detecção quando comparado aos genes N e RdRp após 50 dias de armazenamento a -20° das amostras de secreção oro e nasofaríngea testadas. Além disso, foram observadas diferenças significativas nos valores de Ct para o gene E nos diferentes tempos de testagem das amostras do dia 0 ao dia 50 de armazenamento a -20°C.⁽¹⁷⁹⁾ A triagem de amostras feita com base no Ct do gene E foi fundamental para a etapa de sequenciamento deste estudo, visto que o valor de Ct está diretamente relacionado com a cobertura de genomas de SARS-CoV-2 sequenciados.⁽¹⁸⁰⁾

Homens, mulheres e crianças são afetados de formas diferentes pela infecção causada pelo SARS-CoV-2. Crianças estão mais protegidas da forma grave da COVID-19 quando comparadas aos adultos. No início da pandemia, a maioria das crianças menores de 18 anos apresentava a forma leve da doença e casos de internação eram raros.^(181, 182, 183, 184) A emergência da síndrome inflamatória multissistêmica pós-infecção a partir de abril de 2020 aumentou as internações, especialmente para crianças do sexo masculino, com asma, obesas e com idade entre cinco e onze anos.⁽¹⁸⁵⁾ Quanto aos adultos, homens são mais hospitalizados e apresentam maior risco de morte.^(186, 187, 188) Em contrapartida, mulheres têm maior risco de desenvolver as chamadas condições pós-covid, sinais e sintomas que persistem ao menos por 12 semanas após uma infecção aguda e sem causa aparente.^(189, 61) Das amostras utilizadas neste estudo, 53.27% eram de mulheres, sendo que a maior parte delas tinha de 40 a 44 anos de idade (Figura 7). O maior número de diagnóstico de mulheres pode estar relacionado com a prevalência do gênero em profissões na área da saúde e em trabalhos informais, o que aumenta o risco de contágio.

Até a emergência do SARS-CoV, o uso de antivirais e de vacinas não era considerado no tratamento de infecções por HCoVs. Aqueles conhecidos até então, HCoV-229E e HCoV-OC43, causavam resfriados comuns, o que demandava apenas cuidados paliativos.^(190, 191) Estudos envolvendo SARS-CoV e MERS-CoV contribuíram para o desenvolvimento de terapias farmacológicas e vacinais para o tratamento do SARS-CoV-2 utilizadas hoje.^(192, 193, 194, 195, 196) Atualmente, existem seis medicamentos aprovados pela Agência Nacional de Vigilância Sanitária (Anvisa) para tratamento da COVID-19: Remdesivir, Sotrovimabe, Baricitinibe, Paxlovid (nirmatrelvir + ritonavir), Molnupiravir e Tocilizumabe.⁽¹⁹⁷⁾ A vacinação contra a doença teve início em 2020, mas

disparidades entre os países fizeram com que políticas públicas de imunização fossem adotadas em diferentes períodos da pandemia.⁽¹⁹⁸⁾ No Brasil, a vacinação teve início em 2021 e seus efeitos positivos já puderam ser observados poucos meses depois.^(199, 200, 201)

A falta de tratamento para a COVID-19 aliada às elevadas taxas de transmissão do SARS-CoV-2 e às mutações espontâneas no genoma do vírus que ocorrem durante sua replicação podem ter contribuído para a maior diversidade de linhagens observada em diferentes locais do mundo no primeiro ano da pandemia.^(202, 203, 204, 205, 206, 207) De março a novembro de 2020, o presente trabalho identificou a circulação de 10 linhagens de SARS-CoV-2 em São José do Rio Preto: B.1.1.28, B.1.1.33, B.1.1, N.9, Zeta, B.1, B.1.212, B.1.499, N.3 e P.7. Juntas, B.1.1.28 e B.1.1.33 representaram mais de 87% dos genomas de SARS-CoV-2 detectados no município (Figura 8). As duas linhagens foram as mais prevalentes no início da pandemia no Brasil⁽¹⁴⁹⁾ e as primeiras a serem introduzidas em São José do Rio Preto (Figura 11). A circulação de linhagens ancestrais, como B.1 e B.1.1, foi diminuindo à medida que a circulação de VOIs foi aumentando em São José do Rio Preto^(168, 201) (Figuras 10).

Zeta foi detectada pela primeira vez em outubro de 2020 no estado do Rio de Janeiro. A linhagem B.1.1.28 é sua precursora e por meio de análises filogenéticas estimou-se que a divergência entre as duas ocorreu em meados de julho de 2020.⁽¹⁴⁵⁾ Zeta é considerada uma VOI por apresentar a mutação sinônima ORF1ab C11824U e as mutações não-sinônicas ORF1ab L3468V, S E484K e N A119S, cujos estudos indicam ter impacto na patogenicidade viral e na evasão ao sistema imune do hospedeiro.^(208, 209) Ao realizar o sequenciamento de 305 genomas de SARS-CoV-2, Banho e colaboradores (2022)⁽²⁰¹⁾ mostraram que a circulação de Zeta se tornou prevalente em São José do Rio Preto nos meses de janeiro e fevereiro de 2021. A análise filogenética com sequências de

Zeta do presente trabalho e de outros locais do Brasil sugere que sua origem ocorreu antes de julho de 2020 como proposto, dado que a VOI estava circulando desde março de 2020 em São José do Rio Preto (Figuras 9, 10 e 12).

N.9 foi detectada em São José do Rio Preto em abril de 2020, meses antes de quando teve sua origem estimada a partir da linhagem B.1.1.33 e de quando foi detectada pela primeira vez no estado de São Paulo, em novembro de 2020⁽²¹⁰⁾ (Figura 10). São quatro as mutações não-sinônimas definidoras de N.9: ORF1a A1711V, ORF1a F36L, S:E484K e ORF7b E33A.⁽²¹¹⁾ Ainda segundo Banho e colaboradores (2022)⁽²⁰¹⁾, N.9 era a linhagem mais prevalente em São José do Rio Preto nos meses de outubro, novembro e dezembro de 2020. Neste estudo, B.1.1.28 foi a linhagem que mais circulou em São José do Rio Preto nos meses de outubro e novembro de 2020, entretanto, a perda de amostras nas etapas de extração, preparo de biblioteca, sequenciamento e montagem pode ser considerada uma limitação deste resultado (Figuras 5 e 6).

Estudos retrospectivos revelam que a introdução de um novo vírus ou de uma nova linhagem viral em um determinado local pode ocorrer meses ou até anos antes de sua primeira detecção.^(212, 213, 214) Mais recentemente, mutações nos genomas de SARS-CoV-2 que foram se tornar dominantes nos genomas de VOIs e VOCs foram observadas por Gularde e colaboradores (2022)⁽²¹⁵⁾ antes de suas emergências. O presente trabalho revelou a detecção de Zeta e N.9 em São José do Rio Preto meses antes de as duas se tornarem prevalentes no cenário epidemiológico brasileiro (Figuras 9 e 10), indicando a importância de uma vigilância genômica constante e não apenas durante a ocorrência de emergências em saúde pública.

A primeira VOC identificada durante a pandemia foi Alpha, seguida de Beta, Gamma, Delta e Omicron.^(216, 217, 146, 218, 219) Gamma foi a VOC de maior destaque no

cenário epidemiológico brasileiro, sendo responsável por um aumento significativo no número de casos de COVID-19 e óbitos pela doença no início de 2021 em diferentes locais do Brasil, entre eles São José do Rio Preto.^(146, 147, 201) Este trabalho não identificou nenhuma VOC circulando em São José do Rio Preto entre março e novembro de 2020 (Figura 8).

A introdução do SARS-CoV-2 no Brasil ocorreu em fevereiro de 2020, na cidade de São Paulo.⁽²²⁰⁾ Até meados de abril de 2020 as linhagens que majoritariamente circulavam no país haviam sido importadas.^(149, 168) A partir desse período, o Brasil passou a se comportar não mais como importador, mas sim como exportador de linhagens de SARS-CoV-2 para outros países, o que se intensificou com a emergência de Zeta e Gamma. Dentro do país, as regiões com os maiores números de casos de COVID-19 e óbitos em decorrência da doença foram as que mais contribuíram para a movimentação do vírus ao longo do território.⁽¹⁶⁸⁾ São José do Rio Preto se comportou como exportador das linhagens B.1.1.28, B.1.1.33 e Zeta para as cinco regiões do Brasil (Figuras 13 (b), 14 (b) e 15 (b)). As análises de dispersão de B.1.1.28 e B.1.1.33 mostraram como as duas linhagens se disseminaram da região sudeste para as demais (Figuras 13 (a) e 14 (a)). Diferentemente do que se observou para Zeta⁽¹⁶⁸⁾, a análise de dispersão da linhagem feita neste estudo revelou que sua disseminação ocorreu do estado de São Paulo para os demais, logo no início do ano de 2020 (Figura 15 (a)).

A vigilância genômica é uma ferramenta fundamental para a tomada de decisões no âmbito da saúde pública, como pode ser notado mais recentemente com a pandemia de COVID-19. O monitoramento da circulação dos vírus permite uma compreensão de sua evolução e de sua distribuição espacial ao longo do tempo em um determinado local. O presente trabalho trouxe importantes achados ao traçar a história evolutiva do SARS-

CoV-2 em São José do Rio Preto de março a novembro de 2020, período em que poucos estudos sobre o vírus ocorreram no Brasil.

Conclusões

- ✓ Este estudo gerou 91,67% dos genomas de SARS-CoV-2 de São José do Rio Preto depositados no GISAID (<https://gisaid.org/>) no ano de 2020.
- ✓ De março a novembro de 2020 foi detectada a circulação de 10 linhagens de SARS-CoV-2 no município: B.1.1.28, B.1.1.33, B.1.1, N.9, Zeta, B.1, B.1.212, B.1.499, N.3 e P.7.
- ✓ A linhagem B.1.1.28 foi a mais prevalente, seguida de B.1.1.33.
- ✓ B.1.1.28 e B.1.1.33 foram as primeiras linhagens a serem introduzidas em São José do Rio Preto.
- ✓ A origem de Zeta provavelmente ocorreu antes de março de 2020, mês que a VOI foi detectada pela primeira vez.
- ✓ N.9 foi detectada pela primeira vez em abril de 2020.
- ✓ São José do Rio Preto contribuiu para a disseminação das linhagens B.1.1.28, B.1.1.33 e Zeta para todas as regiões do Brasil.

Referências Bibliográficas

1. Coronaviridae Study Group of the International Committee on Taxonomy of Viruses. The species Severe acute respiratory syndrome-related coronavirus: classifying 2019-nCoV and naming it SARS-CoV-2. *Nature Microbiology*. 2020 Mar;5:536–544.
2. Masters PS, Perlman S. Coronaviridae. *Fields virology*. 2013 May;1:825-58.
3. Corman VM, Muth D, Niemeyer D, Drosten C. Hosts and sources of endemic human coronaviruses. *Advances in virus research*. 2018 Jan 1;100:163-88.
4. Hamre D, Procknow JJ. A new virus isolated from the human respiratory tract. *Proceedings of the society for experimental biology and medicine*. 1966 Jan;121(1):190-3.
5. McIntosh K, Dees JH, Becker WB, Kapikian AZ, Chanock RM. Recovery in tracheal organ cultures of novel viruses from patients with respiratory disease. *Proceedings of the National Academy of Sciences*. 1967 Apr;57(4):933-40.
6. Peng GW, He JF, Lin JY, Zhou DH, Yu DW, Liang WJ, Li LH, Guo RN, Luo HM, Xu RH. Epidemiological study on severe acute respiratory syndrome in Guangdong province. *Zhonghua liu xing bing xue za zhi= Zhonghua liuxingbingxue zazhi*. 2003 May 1;24(5):350-2.
7. Van Der Hoek L, Pyrc K, Jebbink MF, Vermeulen-Oost W, Berkhout RJ, Wolthers KC, Wertheim-van Dillen PM, Kaandorp J, Spaargaren J, Berkhout B. Identification of a new human coronavirus. *Nature medicine*. 2004 Apr 1;10(4):368-73.
8. Woo PC, Lau SK, Chu CM, Chan KH, Tsui HW, Huang Y, Wong BH, Poon RW, Cai JJ, Luk WK, Poon LL. Characterization and complete genome sequence of a novel coronavirus, coronavirus HKU1, from patients with pneumonia. *Journal of virology*. 2005 Jan 15;79(2):884-95.

9. Zaki AM, Van Boheemen S, Bestebroer TM, Osterhaus AD, Fouchier RA. Isolation of a novel coronavirus from a man with pneumonia in Saudi Arabia. *New England Journal of Medicine*. 2012 Nov 8;367(19):1814-20.
10. Zhu N, Zhang D, Wang W, Li X, Yang B, Song J, Zhao X, Huang B, Shi W, Lu R, Niu P. A novel coronavirus from patients with pneumonia in China, 2019. *New England journal of medicine*. 2020 Feb 20;382(8):727-33.
11. Plowright RK, Parrish CR, McCallum H, Hudson PJ, Ko AI, Graham AL, Lloyd-Smith JO. Pathways to zoonotic spillover. *Nature Reviews Microbiology*. 2017 Aug;15(8):502-10.
12. Cui J, Li F, Shi ZL. Origin and evolution of pathogenic coronaviruses. *Nature reviews microbiology*. 2019 Mar;17(3):181-92.
13. Vijaykrishna D, Smith GJ, Zhang JX, Peiris JS, Chen H, Guan Y. Evolutionary insights into the ecology of coronaviruses. *Journal of virology*. 2007 Apr 15;81(8):4012-20.
14. Woo PC, Lau SK, Huang Y, Yuen KY. Coronavirus diversity, phylogeny and interspecies jumping. *Experimental Biology and medicine*. 2009 Oct;234(10):1117-27.
15. Drexler JF, Corman VM, Drosten C. Ecology, evolution and classification of bat coronaviruses in the aftermath of SARS. *Antiviral research*. 2014 Jan 1;101:45-56.
16. Wu F, Zhao S, Yu B, Chen YM, Wang W, Song ZG, Hu Y, Tao ZW, Tian JH, Pei YY, Yuan ML. A new coronavirus associated with human respiratory disease in China. *Nature*. 2020 Mar;579(7798):265-9.
17. Su S, Wong G, Shi W, Liu J, Lai AC, Zhou J, Liu W, Bi Y, Gao GF. Epidemiology, genetic recombination, and pathogenesis of coronaviruses. *Trends in microbiology*. 2016 Jun 1;24(6):490-502.

18. Forni D, Cagliani R, Clerici M, Sironi M. Molecular evolution of human coronavirus genomes. *Trends in microbiology*. 2017 Jan 1;25(1):35-48.
19. Vijgen L, Keyaerts E, Moës E, Thoelen I, Wollants E, Lemey P, Vandamme AM, Van Ranst M. Complete genomic sequence of human coronavirus OC43: molecular clock analysis suggests a relatively recent zoonotic coronavirus transmission event. *Journal of virology*. 2005 Feb 1;79(3):1595-604.
20. Yu D, Li H, Xu R, He J. Prevalence of IgG antibody to SARS-associated coronavirus in animal traders-Guangdong Province, China, 2003. *MMWR: Morbidity & Mortality Weekly Report*. 2003;52(41):986-.
21. Reusken CB, Haagmans BL, Müller MA, Gutierrez C, Godeke GJ, Meyer B, Muth D, Raj VS, Smits-De Vries L, Corman VM, Drexler JF. Middle East respiratory syndrome coronavirus neutralising serum antibodies in dromedary camels: a comparative serological study. *The Lancet infectious diseases*. 2013 Oct 1;13(10):859-66.
22. Crossley BM, Barr BC, Magdesian KG, Ing M, Mora D, Jensen D, Loretti AP, McConnell T, Mock R. Identification of a novel coronavirus possibly associated with acute respiratory syndrome in alpacas (*Vicugna pacos*) in California, 2007. *Journal of veterinary diagnostic investigation*. 2010 Jan;22(1):94-7.
23. Crossley BM, Mock RE, Callison SA, Hietala SK. Identification and characterization of a novel alpaca respiratory coronavirus most closely related to the human coronavirus 229E. *Viruses*. 2012 Dec 12;4(12):3689-700.
24. Xiao K, Zhai J, Feng Y, Zhou N, Zhang X, Zou JJ, Li N, Guo Y, Li X, Shen X, Zhang Z. Isolation of SARS-CoV-2-related coronavirus from Malayan pangolins. *Nature*. 2020 Jul;583(7815):286-9.

25. Lam TT, Jia N, Zhang YW, Shum MH, Jiang JF, Zhu HC, Tong YG, Shi YX, Ni XB, Liao YS, Li WJ. Identifying SARS-CoV-2-related coronaviruses in Malayan pangolins. *Nature*. 2020 Jul;583(7815):282-5.
26. Zhao J, Cui W, Tian BP. The potential intermediate hosts for SARS-CoV-2. *Frontiers in microbiology*. 2020 Sep 30;11:580137.
27. Chan JF, Kok KH, Zhu Z, Chu H, To KK, Yuan S, Yuen KY. Genomic characterization of the 2019 novel human-pathogenic coronavirus isolated from a patient with atypical pneumonia after visiting Wuhan. *Emerging microbes & infections*. 2020 Jan 1;9(1):221-36.
28. Owusu M, Annan A, Corman VM, Larbi R, Anti P, Drexler JF, Agbenyega O, Adu-Sarkodie Y, Drosten C. Human coronaviruses associated with upper respiratory tract infections in three rural areas of Ghana. *PloS one*. 2014 Jul 31;9(7):e99782.
29. Annan A, Ebach F, Corman VM, Krumkamp R, Adu-Sarkodie Y, Eis-Hübinger AM, Kruppa T, Simon A, May J, Evans J, Panning M. Similar virus spectra and seasonality in paediatric patients with acute respiratory disease, Ghana and Germany. *Clinical Microbiology and Infection*. 2016 Apr 1;22(4):340-6.
30. Mayer K, Nellessen C, Hahn-Ast C, Schumacher M, Pietzonka S, Eis-Hübinger AM, Drosten C, Brossart P, Wolf D. Fatal outcome of human coronavirus NL63 infection despite successful viral elimination by IFN-alpha in a patient with newly diagnosed ALL. *European Journal of Haematology*. 2016 Aug;97(2):208-10.
31. Konca C, Korukluoglu G, Tekin M, Almis H, Bucak IH, Uygun H, Altas AB, Bayrakdar F. The first infant death associated with human coronavirus NL63 infection. *The Pediatric Infectious Disease Journal*. 2017 Feb 1;36(2):231-3.

32. Gu J, Korteweg C. Pathology and pathogenesis of severe acute respiratory syndrome. The American journal of pathology. 2007 Apr 1;170(4):1136-47.
33. Algahtani H, Subahi A, Shirah B. Neurological complications of Middle East respiratory syndrome coronavirus: a report of two cases and review of the literature. Case reports in neurological medicine. 2016 Oct;2016.
34. Synowiec A, Szczepański A, Barreto-Duran E, Lie LK, Pyrc K. Severe acute respiratory syndrome coronavirus 2 (SARS-CoV-2): a systemic infection. Clinical microbiology reviews. 2021 Mar 17;34(2):10-128.
35. Wilder-Smith A, Teleman MD, Heng BH, Earnest A, Ling AE, Leo YS. Asymptomatic SARS coronavirus infection among healthcare workers, Singapore. Emerging infectious diseases. 2005 Jul;11(7):1142.
36. Memish ZA, Zumla AI, Assiri A. Middle East respiratory syndrome coronavirus infections in health care workers. New England Journal of Medicine. 2013 Aug 29;369(9):884-6.
37. Zhao D, Wang M, Wang M, Zhao Y, Zheng Z, Li X, Zhang Y, Wang T, Zeng S, Hu W, Yu W. Asymptomatic infection by SARS-CoV-2 in healthcare workers: A study in a large teaching hospital in Wuhan, China. International Journal of Infectious Diseases. 2020 Oct 1;99:219-25.
38. Organizaçāo Mundial da Saúde [Internet]. Geneva: WHO; 2020 [citado em 12 de março de 2024]. Disponível em: <https://www.who.int/director-general/speeches/detail/who-director-general-s-opening-remarks-at-the-media-briefing-on-covid-19---11-march-2020>.
39. Lauer SA, Grantz KH, Bi Q, Jones FK, Zheng Q, Meredith HR, Azman AS, Reich NG, Lessler J. The incubation period of coronavirus disease 2019 (COVID-19) from

- publicly reported confirmed cases: estimation and application. Annals of internal medicine. 2020 May 5;172(9):577-82.
40. Li Q, Guan X, Wu P, Wang X, Zhou L, Tong Y, Ren R, Leung KS, Lau EH, Wong JY, Xing X. Early transmission dynamics in Wuhan, China, of novel coronavirus–infected pneumonia. New England journal of medicine. 2020 Mar 26;382(13):1199-207.
41. Sammartino JC, Colaneri M, Bassoli C, Ceresini M, Piralla A, Ferrari A, Percivalle E, Baldanti F, Bruno R, Mondelli MU. Real-life lack of evidence of viable SARS-CoV-2 transmission via inanimate surfaces: The SURFACE study. Journal of Infection and Public Health. 2023 May 1;16(5):736-40.
42. Termansen MB, Frische S. Fecal-oral transmission of SARS-CoV-2. A systematic review of evidence from epidemiological and experimental studies. American Journal of Infection Control. 2023 Apr 28.
43. Moreno SC, To J, Chun H, Ngai IM. Vertical transmission of COVID-19 to the neonate. Infectious diseases in obstetrics and gynecology. 2020 Nov 12;2020:1-5.
44. Weng CH, Saal A, Butt WW, Chan PA. Characteristics and clinical outcomes of COVID-19 in Hispanic/Latino patients in a community setting: A retrospective cohort study. Journal of Medical Virology. 2021 Jan;93(1):115.
45. Fu L, Wang B, Yuan T, Chen X, Ao Y, Fitzpatrick T, Li P, Zhou Y, Lin YF, Duan Q, Luo G. Clinical characteristics of coronavirus disease 2019 (COVID-19) in China: a systematic review and meta-analysis. Journal of Infection. 2020 Jun 1;80(6):656-65.
46. Lechien JR, Chiesa-Estomba CM, Place S, Van Laethem Y, Cabaraux P, Mat Q, Huet K, Plzak J, Horoi M, Hans S, Rosaria Barillari M. Clinical and epidemiological characteristics of 1420 European patients with mild-to-moderate coronavirus disease 2019. Journal of internal medicine. 2020 Sep;288(3):335-44.

47. Yang X, Yu Y, Xu J, Shu H, Liu H, Wu Y, Zhang L, Yu Z, Fang M, Yu T, Wang Y. Clinical course and outcomes of critically ill patients with SARS-CoV-2 pneumonia in Wuhan, China: a single-centered, retrospective, observational study. *The lancet respiratory medicine*. 2020 May 1;8(5):475-81.
48. Lamers MM, Haagmans BL. SARS-CoV-2 pathogenesis. *Nature reviews microbiology*. 2022 May;20(5):270-84.
49. Zhou F, Yu T, Du R, Fan G, Liu Y, Liu Z, Xiang J, Wang Y, Song B, Gu X, Guan L. Clinical course and risk factors for mortality of adult inpatients with COVID-19 in Wuhan, China: a retrospective cohort study. *The lancet*. 2020 Mar 28;395(10229):1054-62.
50. Cai Q, Chen F, Wang T, Luo F, Liu X, Wu Q, He Q, Wang Z, Liu Y, Liu L, Chen J. Obesity and COVID-19 severity in a designated hospital in Shenzhen, China. *Diabetes care*. 2020 Jul 1;43(7):1392-8.
51. Kumar A, Arora A, Sharma P, Anikhindi SA, Bansal N, Singla V, Khare S, Srivastava A. Is diabetes mellitus associated with mortality and severity of COVID-19? A meta-analysis. *Diabetes & Metabolic Syndrome: Clinical Research & Reviews*. 2020 Jul 1;14(4):535-45.
52. Lee KA, Ma W, Sikavi DR, Drew DA, Nguyen LH, Bowyer RC, Cardoso MJ, Fall T, Freidin MB, Gomez M, Graham M. Cancer and risk of COVID-19 through a general community survey. *The oncologist*. 2021 Jan 1;26(1):e182-5.
53. O'Driscoll M, Ribeiro Dos Santos G, Wang L, Cummings DA, Azman AS, Paireau J, Fontanet A, Cauchemez S, Salje H. Age-specific mortality and immunity patterns of SARS-CoV-2. *Nature*. 2021 Feb;590(7844):140-5.

54. Kim GU, Kim MJ, Ra SH, Lee J, Bae S, Jung J, Kim SH. Clinical characteristics of asymptomatic and symptomatic patients with mild COVID-19. Clinical microbiology and infection. 2020 Jul 1;26(7):948-e1.
55. Rasmussen AL, Popescu SV. SARS-CoV-2 transmission without symptoms. Science. 2021 Mar 19;371(6535):1206-7.
56. Nalbandian A, Sehgal K, Gupta A, Madhavan MV, McGroder C, Stevens JS, Cook JR, Nordvig AS, Shalev D, Sehrawat TS, Ahluwalia N. Post-acute COVID-19 syndrome. Nature medicine. 2021 Apr;27(4):601-15.
57. Carfi A, Bernabei R, Landi F. Persistent symptoms in patients after acute COVID-19. Jama. 2020 Aug 11;324(6):603-5.
58. Arnold DT, Hamilton FW, Milne A, Morley AJ, Viner J, Attwood M, Noel A, Gunning S, Hatrick J, Hamilton S, Elvers KT. Patient outcomes after hospitalisation with COVID-19 and implications for follow-up: results from a prospective UK cohort. Thorax. 2021 Apr 1;76(4):399-401.
59. Moreno-Pérez O, Merino E, Leon-Ramirez JM, Andres M, Ramos JM, Arenas-Jiménez J, Asensio S, Sanchez R, Ruiz-Torregrosa P, Galan I, Scholz A. Post-acute COVID-19 syndrome. Incidence and risk factors: A Mediterranean cohort study. Journal of Infection. 2021 Mar 1;82(3):378-83.
60. Huang C, Huang L, Wang Y, Li X, Ren L, Gu X, Kang L, Guo L, Liu M, Zhou X, Luo J. 6-month consequences of COVID-19 in patients discharged from hospital: a cohort study. The Lancet. 2023 Jun 17;401(10393):e21-33.
61. da Silva NS, de Araújo NK, Dos Santos KA, de Souza KS, de Araújo JN, Cruz MS, Parra EJ, Silbiger VN, Luchessi AD. Post-Covid condition and clinic characteristics

- associated with SARS-CoV-2 infection: a 2-year follow-up to Brazilian cases. *Scientific Reports.* 2023 Aug 26;13(1):13973.
62. Chan JF, Kok KH, Zhu Z, Chu H, To KK, Yuan S, Yuen KY. Genomic characterization of the 2019 novel human-pathogenic coronavirus isolated from a patient with atypical pneumonia after visiting Wuhan. *Emerging microbes & infections.* 2020 Jan 1;9(1):221-36.
63. Romano M, Ruggiero A, Squeglia F, Maga G, Berisio R. A structural view of SARS-CoV-2 RNA replication machinery: RNA synthesis, proofreading and final capping. *Cells.* 2020 May 20;9(5):1267.
64. Steiner S, Kratzel A, Barut GT, Lang RM, Aguiar Moreira E, Thomann L, Kelly JN, Thiel V. SARS-CoV-2 biology and host interactions. *Nature Reviews Microbiology.* 2024 Jan 15:1-20.
65. Thoms M, Buschauer R, Ameismeier M, Koepke L, Denk T, Hirschenberger M, Kratzat H, Hayn M, Mackens-Kiani T, Cheng J, Straub JH. Structural basis for translational shutdown and immune evasion by the Nsp1 protein of SARS-CoV-2. *Science.* 2020 Sep 4;369(6508):1249-55.
66. Shen Z, Zhang G, Yang Y, Li M, Yang S, Peng G. Lysine 164 is critical for SARS-CoV-2 Nsp1 inhibition of host gene expression. *The Journal of general virology.* 2021 Jan;102(1).
67. Nakagawa K, Makino S. Mechanisms of coronavirus nsp1-mediated control of host and viral gene expression. *Cells.* 2021 Feb 2;10(2):300.
68. Frolov I, Agback T, Palchevska O, Dominguez F, Lomzov A, Agback P, Frolova EI. All Domains of SARS-CoV-2 nsp1 Determine Translational Shutoff and Cytotoxicity of the Protein. *Journal of Virology.* 2023 Mar 30;97(3):e01865-22.

69. Lacasse É, Gudimard L, Dubuc I, Gravel A, Allaey I, Boilard É, Flamand L. SARS-CoV-2 Nsp2 Contributes to Inflammation by Activating NF-κB. *Viruses*. 2023 Jan 24;15(2):334.
70. Lei J, Kusov Y, Hilgenfeld R. Nsp3 of coronaviruses: Structures and functions of a large multi-domain protein. *Antiviral research*. 2018 Jan 1;149:58-74.
71. Neuman BW. Bioinformatics and functional analyses of coronavirus nonstructural proteins involved in the formation of replicative organelles. *Antiviral research*. 2016 Nov 1;135:97-107.
72. Wolff G, Melia CE, Snijder EJ, Bárcena M. Double-membrane vesicles as platforms for viral replication. *Trends in microbiology*. 2020 Dec 1;28(12):1022-33.
73. Ricciardi S, Guarino AM, Giaquinto L, Polishchuk EV, Santoro M, Di Tullio G, Wilson C, Panariello F, Soares VC, Dias SS, Santos JC. The role of NSP6 in the biogenesis of the SARS-CoV-2 replication organelle. *Nature*. 2022 Jun 23;606(7915):761-8.
74. Anand K, Ziebuhr J, Wadhwani P, Mesters JR, Hilgenfeld R. Coronavirus main proteinase (3CLpro) structure: basis for design of anti-SARS drugs. *Science*. 2003 Jun 13;300(5626):1763-7.
75. Chen J, Li Z, Guo J, Xu S, Zhou J, Chen Q, Tong X, Wang D, Peng G, Fang L, Xiao S. SARS-CoV-2 nsp5 exhibits stronger catalytic activity and interferon antagonism than its SARS-CoV ortholog. *Journal of Virology*. 2022 Apr 27;96(8):e00037-22.
76. Gao Y, Yan L, Huang Y, Liu F, Zhao Y, Cao L, Wang T, Sun Q, Ming Z, Zhang L, Ge J. Structure of the RNA-dependent RNA polymerase from COVID-19 virus. *Science*. 2020 May 15;368(6492):779-82.

77. Wilamowski M, Hammel M, Leite W, Zhang Q, Kim Y, Weiss KL, Jedrzejczak R, Rosenberg DJ, Fan Y, Wower J, Bierma JC. Transient and stabilized complexes of Nsp7, Nsp8, and Nsp12 in SARS-CoV-2 replication. *Biophysical journal.* 2021 Aug 3;120(15):3152-65.
78. Littler DR, Gully BS, Colson RN, Rossjohn J. Crystal structure of the SARS-CoV-2 non-structural protein 9, Nsp9. *Iscience.* 2020 Jul 24;23(7).
79. El-Kamand S, Du Plessis MD, Breen N, Johnson L, Beard S, Kwan AH, Richard DJ, Cubeddu L, Gamsjaeger R. A distinct ssDNA/RNA binding interface in the Nsp9 protein from SARS-CoV-2. *Proteins: Structure, Function, and Bioinformatics.* 2022 Jan;90(1):176-85.
80. Subissi L, Posthuma CC, Collet A, Zevenhoven-Dobbe JC, Gorbalenya AE, Decroly E, Snijder EJ, Canard B, Imbert I. One severe acute respiratory syndrome coronavirus protein complex integrates processive RNA polymerase and exonuclease activities. *Proceedings of the National Academy of Sciences.* 2014 Sep 16;111(37):E3900-9.
81. Ogando NS, Zevenhoven-Dobbe JC, van der Meer Y, Bredenbeek PJ, Posthuma CC, Snijder EJ. The enzymatic activity of the nsp14 exoribonuclease is critical for replication of MERS-CoV and SARS-CoV-2. *Journal of virology.* 2020 Nov 9;94(23):10-128.
82. Lin S, Chen H, Ye F, Chen Z, Yang F, Zheng Y, Cao Y, Qiao J, Yang S, Lu G. Crystal structure of SARS-CoV-2 nsp10/nsp16 2'-O-methylase and its implication on antiviral drug design. *Signal transduction and targeted therapy.* 2020 Jul 29;5(1):131.
83. Mickolajczyk KJ, Shelton PM, Grasso M, Cao X, Warrington SE, Aher A, Liu S, Kapoor TM. Force-dependent stimulation of RNA unwinding by SARS-CoV-2 nsp13 helicase. *Biophysical journal.* 2021 Mar 16;120(6):1020-30.

84. Newman JA, Douangamath A, Yadzani S, Yosaatmadja Y, Aimon A, Brandão-Neto J, Dunnett L, Gorrie-Stone T, Skyner R, Fearon D, Schapira M. Structure, mechanism and crystallographic fragment screening of the SARS-CoV-2 NSP13 helicase. *Nature communications.* 2021 Aug 11;12(1):4848.
85. Kim Y, Jedrzejczak R, Maltseva NI, Wilamowski M, Endres M, Godzik A, Michalska K, Joachimiak A. Crystal structure of Nsp15 endoribonuclease NendoU from SARS-CoV-2. *Protein Science.* 2020 Jul;29(7):1596-605.
86. Kim Y, Wower J, Maltseva N, Chang C, Jedrzejczak R, Wilamowski M, Kang S, Nicolaescu V, Randall G, Michalska K, Joachimiak A. Tipiracil binds to uridine site and inhibits Nsp15 endoribonuclease NendoU from SARS-CoV-2. *Communications biology.* 2021 Feb 9;4(1):193.
87. Gadhave K, Kumar P, Kumar A, Bhardwaj T, Garg N, Giri R. Conformational dynamics of 13 amino acids long NSP11 of SARS-CoV-2 under membrane mimetics and different solvent conditions. *Microbial Pathogenesis.* 2021 Sep 1;158:105041.
88. Miao G, Zhao H, Li Y, Ji M, Chen Y, Shi Y, Bi Y, Wang P, Zhang H. ORF3a of the COVID-19 virus SARS-CoV-2 blocks HOPS complex-mediated assembly of the SNARE complex required for autolysosome formation. *Developmental cell.* 2021 Feb 22;56(4):427-42.
89. Ren Y, Shu T, Wu DI, Mu J, Wang C, Huang M, Han Y, Zhang XY, Zhou W, Qiu Y, Zhou X. The ORF3a protein of SARS-CoV-2 induces apoptosis in cells. *Cellular & molecular immunology.* 2020 Aug;17(8):881-3.
90. Azad GK, Khan PK. Variations in Orf3a protein of SARS-CoV-2 alter its structure and function. *Biochemistry and biophysics reports.* 2021 Jul 1;26:100933.

91. Wong NA, Saier Jr MH. The SARS-coronavirus infection cycle: a survey of viral membrane proteins, their functional interactions and pathogenesis. International journal of molecular sciences. 2021 Jan 28;22(3):1308.
92. Kaivola J, Nyman TA, Matikainen S. Inflammasomes and SARS-CoV-2 infection. Viruses. 2021 Dec 14;13(12):2513.
93. Konno Y, Kimura I, Uriu K, Fukushi M, Irie T, Koyanagi Y, Sauter D, Gifford RJ, Nakagawa S, Sato K. SARS-CoV-2 ORF3b is a potent interferon antagonist whose activity is increased by a naturally occurring elongation variant. Cell reports. 2020 Sep 22;32(12).
94. Miorin L, Kehrer T, Sanchez-Aparicio MT, Zhang K, Cohen P, Patel RS, Cupic A, Makio T, Mei M, Moreno E, Danziger O. SARS-CoV-2 Orf6 hijacks Nup98 to block STAT nuclear import and antagonize interferon signaling. Proceedings of the National Academy of Sciences. 2020 Nov 10;117(45):28344-54.
95. Xia H, Cao Z, Xie X, Zhang X, Chen JY, Wang H, Menachery VD, Rajsbaum R, Shi PY. Evasion of type I interferon by SARS-CoV-2. Cell reports. 2020 Oct 6;33(1).
96. Han L, Zhuang MW, Deng J, Zheng Y, Zhang J, Nan ML, Zhang XJ, Gao C, Wang PH. SARS-CoV-2 ORF9b antagonizes type I and III interferons by targeting multiple components of the RIG-I/MDA-5-MAVS, TLR3-TRIF, and cGAS-STING signaling pathways. Journal of Medical Virology. 2021 Sep;93(9):5376-89.
97. Arduini A, Laprise F, Liang C. SARS-CoV-2 ORF8: A Rapidly Evolving Immune and Viral Modulator in COVID-19. Viruses. 2023 Mar 29;15(4):871.
98. Fehr AR, Perlman S. Coronaviruses: an overview of their replication and pathogenesis. Coronaviruses: methods and protocols. 2015:1-23.

99. Zhang Z, Nomura N, Muramoto Y, Ekimoto T, Uemura T, Liu K, Yui M, Kono N, Aoki J, Ikeguchi M, Noda T. Structure of SARS-CoV-2 membrane protein essential for virus assembly. *Nature communications*. 2022 Aug 5;13(1):4399.
100. Zheng Y, Zhuang MW, Han L, Zhang J, Nan ML, Zhan P, Kang D, Liu X, Gao C, Wang PH. Severe acute respiratory syndrome coronavirus 2 (SARS-CoV-2) membrane (M) protein inhibits type I and III interferon production by targeting RIG-I/MDA-5 signaling. *Signal transduction and targeted therapy*. 2020 Dec 28;5(1):299.
101. Mu J, Fang Y, Yang Q, Shu T, Wang A, Huang M, Jin L, Deng F, Qiu Y, Zhou X. SARS-CoV-2 N protein antagonizes type I interferon signaling by suppressing phosphorylation and nuclear translocation of STAT1 and STAT2. *Cell discovery*. 2020 Sep 15;6(1):65.
102. Sui L, Zhao Y, Wang W, Wu P, Wang Z, Yu Y, Hou Z, Tan G, Liu Q. SARS-CoV-2 membrane protein inhibits type I interferon production through ubiquitin-mediated degradation of TBK1. *Frontiers in immunology*. 2021 May 18;12:662989.
103. Schoeman D, Fielding BC. Coronavirus envelope protein: current knowledge. *Virology journal*. 2019 Dec;16(1):1-22.
104. Kuzmin A, Orekhov P, Astashkin R, Gordeliy V, Gushchin I. Structure and dynamics of the SARS-CoV-2 envelope protein monomer. *Proteins: Structure, Function, and Bioinformatics*. 2022 May;90(5):1102-14.
105. Wilson L, Mckinlay C, Gage P, Ewart G. SARS coronavirus E protein forms cation-selective ion channels. *Virology*. 2004 Dec 5;330(1):322-31.
106. Mandala VS, McKay MJ, Shcherbakov AA, Dregni AJ, Kolocouris A, Hong M. Structure and drug binding of the SARS-CoV-2 envelope protein transmembrane domain in lipid bilayers. *Nature structural & molecular biology*. 2020 Dec;27(12):1202-8.

107. Yalcinkaya M, Liu W, Islam MN, Kotini AG, Gusarova GA, Fidler TP, Papapetrou EP, Bhattacharya J, Wang N, Tall AR. Modulation of the NLRP3 inflammasome by Sars-CoV-2 Envelope protein. *Scientific reports.* 2021 Dec 24;11(1):24432.
108. Dinesh DC, Chalupska D, Silhan J, Koutna E, Nencka R, Veverka V, Boura E. Structural basis of RNA recognition by the SARS-CoV-2 nucleocapsid phosphoprotein. *PLoS pathogens.* 2020 Dec 2;16(12):e1009100.
109. Bai Z, Cao Y, Liu W, Li J. The SARS-CoV-2 nucleocapsid protein and its role in viral structure, biological functions, and a potential target for drug or vaccine mitigation. *Viruses.* 2021 Jun 10;13(6):1115.
110. Cubuk J, Alston JJ, Incicco JJ, Singh S, Stuchell-Brereton MD, Ward MD, Zimmerman MI, Vithani N, Griffith D, Wagoner JA, Bowman GR. The SARS-CoV-2 nucleocapsid protein is dynamic, disordered, and phase separates with RNA. *Nature communications.* 2021 Mar 29;12(1):1936.
111. Mu J, Xu J, Zhang L, Shu T, Wu D, Huang M, Ren Y, Li X, Geng Q, Xu Y, Qiu Y. SARS-CoV-2-encoded nucleocapsid protein acts as a viral suppressor of RNA interference in cells. *Science China Life Sciences.* 2020 Sep;63:1413-6.
112. Chen K, Xiao F, Hu D, Ge W, Tian M, Wang W, Pan P, Wu K, Wu J. SARS-CoV-2 nucleocapsid protein interacts with RIG-I and represses RIG-mediated IFN- β production. *Viruses.* 2020 Dec 30;13(1):47.
113. Zhou P, Yang XL, Wang XG, Hu B, Zhang L, Zhang W, Si HR, Zhu Y, Li B, Huang CL, Chen HD. A pneumonia outbreak associated with a new coronavirus of probable bat origin. *nature.* 2020 Mar;579(7798):270-3.

114. Wang Q, Zhang Y, Wu L, Niu S, Song C, Zhang Z, Lu G, Qiao C, Hu Y, Yuen KY, Wang Q. Structural and functional basis of SARS-CoV-2 entry by using human ACE2. *Cell.* 2020 May 14;181(4):894-904.
115. Verma J, Subbarao N. A comparative study of human betacoronavirus spike proteins: structure, function and therapeutics. *Archives of Virology.* 2021 Mar;166(3):697-714.
116. Liu L, Wang P, Nair MS, Yu J, Rapp M, Wang Q, Luo Y, Chan JF, Sahi V, Figueroa A, Guo XV. Potent neutralizing antibodies against multiple epitopes on SARS-CoV-2 spike. *Nature.* 2020 Aug 20;584(7821):450-6.
117. Robbiani DF, Gaebler C, Muecksch F, Lorenzi JC, Wang Z, Cho A, Agudelo M, Barnes CO, Gazumyan A, Finkin S, Hägglöf T. Convergent antibody responses to SARS-CoV-2 in convalescent individuals. *Nature.* 2020 Aug 20;584(7821):437-42.
118. Krammer F. SARS-CoV-2 vaccines in development. *Nature.* 2020 Oct;586(7830):516-27.
119. Samrat SK, Tharappel AM, Li Z, Li H. Prospect of SARS-CoV-2 spike protein: Potential role in vaccine and therapeutic development. *Virus research.* 2020 Oct 15;288:1981411.
120. Martínez-Flores D, Zepeda-Cervantes J, Cruz-Reséndiz A, Aguirre-Sampieri S, Sampieri A, Vaca L. SARS-CoV-2 vaccines based on the spike glycoprotein and implications of new viral variants. *Frontiers in immunology.* 2021 Jul 12;12:701501.
121. Jackson CB, Farzan M, Chen B, Choe H. Mechanisms of SARS-CoV-2 entry into cells. *Nature reviews Molecular cell biology.* 2022 Jan;23(1):3-20.
122. Hoffmann M, Kleine-Weber H, Schroeder S, Krüger N, Herrler T, Erichsen S, Schiergens TS, Herrler G, Wu NH, Nitsche A, Müller MA. SARS-CoV-2 cell entry

- depends on ACE2 and TMPRSS2 and is blocked by a clinically proven protease inhibitor. *cell.* 2020 Apr 16;181(2):271-80.
123. Zhao MM, Yang WL, Yang FY, Zhang L, Huang WJ, Hou W, Fan CF, Jin RH, Feng YM, Wang YC, Yang JK. Cathepsin L plays a key role in SARS-CoV-2 infection in humans and humanized mice and is a promising target for new drug development. *Signal transduction and targeted therapy.* 2021 Mar 27;6(1):134.
124. Bhatt PR, Scaiola A, Loughran G, Leibundgut M, Kratzel A, Meurs R, Dreos R, O'Connor KM, McMillan A, Bode JW, Thiel V. Structural basis of ribosomal frameshifting during translation of the SARS-CoV-2 RNA genome. *Science.* 2021 Jun 18;372(6548):1306-13.
125. Fisher T, Gluck A, Narayanan K, Kuroda M, Nachshon A, Hsu JC, Halfmann PJ, Yahalom-Ronen Y, Tamir H, Finkel Y, Schwartz M. Parsing the role of NSP1 in SARS-CoV-2 infection. *Cell reports.* 2022 Jun 14;39(11).
126. Snijder EJ, Decroly E, Ziebuhr J. The nonstructural proteins directing coronavirus RNA synthesis and processing. *Advances in virus research.* 2016 Jan 1;96:59-126.
127. Wang Q, Wu J, Wang H, Gao Y, Liu Q, Mu A, Ji W, Yan L, Zhu Y, Zhu C, Fang X. Structural basis for RNA replication by the SARS-CoV-2 polymerase. *Cell.* 2020 Jul 23;182(2):417-28.
128. Hillen HS, Kokic G, Farnung L, Dienemann C, Tegunov D, Cramer P. Structure of replicating SARS-CoV-2 polymerase. *Nature.* 2020 Aug 6;584(7819):154-6.
129. Cong Y, Ulasli M, Schepers H, Mauthe M, V'kovski P, Kriegenburg F, Thiel V, de Haan CA, Reggiori F. Nucleocapsid protein recruitment to replication-transcription complexes plays a crucial role in coronaviral life cycle. *Journal of virology.* 2020 Jan 31;94(4):10-128.

130. Ghosh S, Dellibovi-Ragheb TA, Kerviel A, Pak E, Qiu Q, Fisher M, Takvorian PM, Bleck C, Hsu VW, Fehr AR, Perlman S. β -Coronaviruses use lysosomes for egress instead of the biosynthetic secretory pathway. *Cell.* 2020 Dec 10;183(6):1520-35.
131. Yao H, Song Y, Chen Y, Wu N, Xu J, Sun C, Zhang J, Weng T, Zhang Z, Wu Z, Cheng L. Molecular architecture of the SARS-CoV-2 virus. *Cell.* 2020 Oct 29;183(3):730-8.
132. Lu S, Ye Q, Singh D, Cao Y, Diedrich JK, Yates III JR, Villa E, Cleveland DW, Corbett KD. The SARS-CoV-2 nucleocapsid phosphoprotein forms mutually exclusive condensates with RNA and the membrane-associated M protein. *Nature communications.* 2021 Jan 21;12(1):502.
133. Li X, Wang W, Zhao X, Zai J, Zhao Q, Li Y, Chaillon A. Transmission dynamics and evolutionary history of 2019-nCoV. *Journal of medical virology.* 2020 May;92(5):501-11.
134. Motayo BO, Oluwasemowo OO, Olusola BA, Akinduti PA, Arege OT, Obafemi YD, Faneye AO, Isibor PO, Aworunse OS, Oranusi SU. Evolution and genetic diversity of SARS-CoV-2 in Africa using whole genome sequences. *International Journal of Infectious Diseases.* 2021 Feb 1;103:282-7.
135. Shen S, Zhang Z, He F. The phylogenetic relationship within SARS-CoV-2s: An expanding basal clade. *Molecular Phylogenetics and Evolution.* 2021 Apr 1;157:107017.
136. Wang S, Xu X, Wei C, Li S, Zhao J, Zheng Y, Liu X, Zeng X, Yuan W, Peng S. Molecular evolutionary characteristics of SARS-CoV-2 emerging in the United States. *Journal of medical virology.* 2022 Jan;94(1):310-7.

137. Ashraf J, Bukhari SA, Kanji A, Iqbal T, Yameen M, Nisar MI, Khan W, Hasan Z. Substitution spectra of SARS-CoV-2 genome from Pakistan reveals insights into the evolution of variants across the pandemic. *Scientific Reports.* 2023 Nov 28;13(1):20955.
138. Zhang L, Jackson CB, Mou H, Ojha A, Peng H, Quinlan BD, Rangarajan ES, Pan A, Vanderheiden A, Suthar MS, Li W. SARS-CoV-2 spike-protein D614G mutation increases virion spike density and infectivity. *Nature communications.* 2020 Nov 26;11(1):6013.
139. Starr TN, Greaney AJ, Hilton SK, Ellis D, Crawford KH, Dingens AS, Navarro MJ, Bowen JE, Tortorici MA, Walls AC, King NP. Deep mutational scanning of SARS-CoV-2 receptor binding domain reveals constraints on folding and ACE2 binding. *cell.* 2020 Sep 3;182(5):1295-310.
140. McCarthy KR, Rennick LJ, Nambulli S, Robinson-McCarthy LR, Bain WG, Haidar G, Duprex WP. Recurrent deletions in the SARS-CoV-2 spike glycoprotein drive antibody escape. *Science.* 2021 Mar 12;371(6534):1139-42.
141. Rambaut A, Holmes EC, O'Toole Á, Hill V, McCrone JT, Ruis C, du Plessis L, Pybus OG. A dynamic nomenclature proposal for SARS-CoV-2 lineages to assist genomic epidemiology. *Nature microbiology.* 2020 Nov;5(11):1403-7.
142. Plante JA, Liu Y, Liu J, Xia H, Johnson BA, Lokugamage KG, Zhang X, Muruato AE, Zou J, Fontes-Garfias CR, Mirchandani D. Spike mutation D614G alters SARS-CoV-2 fitness. *Nature.* 2021 Apr;592(7852):116-21.
143. Freitas AR, Giovanetti M, Alcantara LC. Emerging variants of SARS-CoV-2 and its public health implications. *InterAmerican Journal of Medicine and Health.* 2021 Feb 8;4.

144. Organização Mundial da Saúde [Internet]. Geneva: WHO; 2021 [citado em 12 de março de 2024]. Disponível em: <https://www.who.int/activities/tracking-SARS-CoV-2-variants>.
145. Voloch CM, da Silva Francisco Jr R, de Almeida LG, Cardoso CC, Brustolini OJ, Gerber AL, Guimarães AP, Mariani D, da Costa RM, Ferreira Jr OC, Covid19-UFRJ Workgroup. Genomic characterization of a novel SARS-CoV-2 lineage from Rio de Janeiro, Brazil. *Journal of virology*. 2021 Apr 26;95(10):10-128.
146. Faria NR, Mellan TA, Whittaker C, Claro IM, Candido DD, Mishra S, Crispim MA, Sales FC, Hawryluk I, McCrone JT, Hulswit RJ. Genomics and epidemiology of the P. 1 SARS-CoV-2 lineage in Manaus, Brazil. *Science*. 2021 May 21;372(6544):815-21.
147. Naveca FG, Nascimento V, de Souza VC, Corado AD, Nascimento F, Silva G, Costa Á, Duarte D, Pessoa K, Mejía M, Brandão MJ. COVID-19 in Amazonas, Brazil, was driven by the persistence of endemic lineages and P. 1 emergence. *Nature medicine*. 2021 Jul;27(7):1230-8.
148. Organização Mundial da Saúde [Internet]. Geneva: WHO; 2023 [citado em 12 de março de 2024]. Disponível em: <https://www.who.int/news-room/speeches/item/who-director-general-s-opening-remarks-at-the-media-briefing---5-may-2023>.
149. Candido DS, Claro IM, De Jesus JG, Souza WM, Moreira FR, Dellicour S, Mellan TA, Du Plessis L, Pereira RH, Sales FC, Manuli ER. Evolution and epidemic spread of SARS-CoV-2 in Brazil. *Science*. 2020 Sep 4;369(6508):1255-60.
150. Ministério da Saúde [Internet]. COVID-19 no Brasil [citado em 12 de março de 2024]. Disponível em: https://infoms.saude.gov.br/extensions/covid-19_html/covid-19_html.html.

151. Governo do estado de São Paulo [Internet]. Seade Coronavírus [citado em 12 de março de 2024]. Disponível em: <https://coronavirus.seade.gov.br/>.
152. Hospital de Base [https://www.hospitaldebase.com.br/]. O hospital [citado em 12 de março de 2024]. Disponível em: <https://www.hospitaldebase.com.br/o-hospital>.
153. Instituto Brasileiro de Geografia e Estatística [http://www.ibge.gov.br]. Brasil / São Paulo / São José do Rio Preto / Panorama [acesso em dezembro de 2023]. Disponível em: <https://cidades.ibge.gov.br/brasil/sp/sao-jose-do-rio-preto/panorama>.
154. Hospital de Base [https://www.hospitaldebase.com.br/]. Institucional / O hospital [acesso em dezembro de 2023. Disponível em: <https://www.hospitaldebase.com.br/o-hospital>.
155. Illumina [https://www.illumina.com/]. An introduction to Next-Generation Sequencing Technology. 2017 [acesso em dezembro de 2023]. Disponível em: <https://www.illumina.com/science/technology/next-generation-sequencing.html>.
156. Illumina [https://www.illumina.com/]. Definitions and key concepts in next-generation sequencing [acesso em maio de 2023]. Disponível em: <https://www.illumina.com/science/technology/next-generation-sequencing/beginners/glossary.html>.
157. Aksamentov I, Roemer C, Hodcroft EB, Neher RA. Nextclade: clade assignment, mutation calling and quality control for viral genomes. Journal of open source software. 2021 Nov 30;6(67):3773.
158. O'Toole Á, Scher E, Underwood A, Jackson B, Hill V, McCrone JT, Colquhoun R, Ruis C, Abu-Dahab K, Taylor B, Yeats C. Assignment of epidemiological lineages in an emerging pandemic using the pangolin tool. Virus evolution. 2021 Sep 1;7(2):veab064.

159. Li H. Minimap2: pairwise alignment for nucleotide sequences. *Bioinformatics*. 2018 Sep 15;34(18):3094-100.
160. Pedregosa F, Varoquaux G, Gramfort A, Michel V, Thirion B, Grisel O, Blondel M, Prettenhofer P, Weiss R, Dubourg V, Vanderplas J. Scikit-learn: Machine learning in Python. *the Journal of machine Learning research*. 2011 Nov 1;12:2825-30.
161. Katoh K, Standley DM. MAFFT: iterative refinement and additional methods. *Multiple sequence alignment methods*. 2014;131-46.
162. Minh BQ, Schmidt HA, Chernomor O, Schrempf D, Woodhams MD, Von Haeseler A, Lanfear R. IQ-TREE 2: new models and efficient methods for phylogenetic inference in the genomic era. *Molecular biology and evolution*. 2020 May 1;37(5):1530-4.
163. Kalyaanamoorthy S, Minh BQ, Wong TK, Von Haeseler A, Jermiin LS. ModelFinder: fast model selection for accurate phylogenetic estimates. *Nature methods*. 2017 Jun;14(6):587-9.
164. Hoang DT, Chernomor O, Von Haeseler A, Minh BQ, Vinh LS. UFBoot2: improving the ultrafast bootstrap approximation. *Molecular biology and evolution*. 2018 Feb 1;35(2):518-22.
165. Guindon S, Dufayard JF, Lefort V, Anisimova M, Hordijk W, Gascuel O. New algorithms and methods to estimate maximum-likelihood phylogenies: assessing the performance of PhyML 3.0. *Systematic biology*. 2010 Mar 29;59(3):307-21.
166. Caldart ET, Mata H, Canal CW, Ravazzolo AP. Análise filogenética: conceitos básicos e suas utilizações como ferramenta para virologia e epidemiologia molecular. *Acta Scientiae Veterinariae*. 2016;44:1-20.
167. Sagulenko P, Puller V, Neher RA. TreeTime: Maximum-likelihood phylodynamic analysis. *Virus evolution*. 2018 Jan;4(1):vex042.

168. Giovanetti M, Slavov SN, Fonseca V, Wilkinson E, Tegally H, Patané JS, Viala VL, San EJ, Rodrigues ES, Santos EV, Aburjaile F. Genomic epidemiology of the SARS-CoV-2 epidemic in Brazil. *Nature Microbiology*. 2022 Sep;7(9):1490-500.
169. Suchard MA, Lemey P, Baele G, Ayres DL, Drummond AJ, Rambaut A. Bayesian phylogenetic and phylodynamic data integration using BEAST 1.10. *Virus evolution*. 2018 Jan;4(1):vey016.
170. Rambaut A, Lam TT, Max Carvalho L, Pybus OG. Exploring the temporal structure of heterochronous sequences using TempEst (formerly Path-O-Gen). *Virus evolution*. 2016 Jan 1;2(1):vew007.
171. Sagulenko P, Puller V, Neher RA. TreeTime: Maximum-likelihood phylodynamic analysis. *Virus evolution*. 2018 Jan;4(1):vex042.
172. Lemey P, Hong SL, Hill V, Baele G, Poletto C, Colizza V, O'toole Á, McCrone JT, Andersen KG, Worobey M, Nelson MI. Accommodating individual travel history and unsampled diversity in Bayesian phylogeographic inference of SARS-CoV-2. *Nature communications*. 2020 Oct 9;11(1):5110.
173. Nie Q, Li X, Chen W, Liu D, Chen Y, Li H, Li D, Tian M, Tan W, Zai J. Phylogenetic and phylodynamic analyses of SARS-CoV-2. *Virus research*. 2020 Oct 2;287:198098.
174. Rambaut A, Drummond AJ, Xie D, Baele G, Suchard MA. Posterior summarization in Bayesian phylogenetics using Tracer 1.7. *Systematic biology*. 2018 Sep 1;67(5):901-4.
175. Ministério da Saúde [https://www.gov.br/saude/pt-br]. COVID-19 no Brasil [citado em 12 de março de 2024]. Disponível em: https://infoms.saude.gov.br/extensions/covid-19_html/covid-19_html.html.

176. Governo do estado de São Paulo [<https://www.saopaulo.sp.gov.br/>]. Adesão ao isolamento social em SP [citado em 12 de março de 2024]. Disponível em: <https://www.saopaulo.sp.gov.br/coronavirus/isolamento/>.
177. Basso D, Aita A, Navaglia F, Franchin E, Fioretto P, Moz S, Bozzato D, Zambon CF, Martin B, Dal Prà C, Crisanti A. SARS-CoV-2 RNA identification in nasopharyngeal swabs: issues in pre-analytics. Clinical Chemistry and Laboratory Medicine (CCLM). 2020 Aug 27;58(9):1579-86.
178. de Oliveira PS, de Oliveira Silva B, e Silva RP, Galdino LV, de Carvalho VM, de Almeida AR, da Rosa MM, de Melo Rêgo MJ, da Rocha Pitta MG, Pereira MC. Evaluation of long-term stability of SARS-CoV-2 nucleic acid extracted from human nasopharyngeal samples. Journal of Virological Methods. 2022 Jul 1;305:114529.
179. Sabino BD, Alonso FD, Machado AC, Junior AC, Venceslau MT, Knackfuss FB, Brandão Varella R. Stability of SARS-CoV-2 respiratory samples in non-freezing condition: importance for tropical countries under heavy diagnostic demand. Clinical Chemistry and Laboratory Medicine (CCLM). 2023 May 25;61(6):e78-80.
180. Pillay S, Giandhari J, Tegally H, Wilkinson E, Chimukangara B, Lessells R, Moosa Y, Mattison S, Gazy I, Fish M, Singh L. Whole genome sequencing of SARS-CoV-2: adapting Illumina protocols for quick and accurate outbreak investigation during a pandemic. Genes (Basel) 11: 949.
181. Lu X, Zhang L, Du H, Zhang J, Li YY, Qu J, Zhang W, Wang Y, Bao S, Li Y, Wu C. SARS-CoV-2 infection in children. New England Journal of Medicine. 2020 Apr 23;382(17):1663-5.
182. Grasselli G, Zangrillo A, Zanella A, Antonelli M, Cabrini L, Castelli A, Cereda D, Coluccello A, Foti G, Fumagalli R, Iotti G. Baseline characteristics and outcomes of 1591

- patients infected with SARS-CoV-2 admitted to ICUs of the Lombardy Region, Italy. *Jama.* 2020 Apr 28;323(16):1574-81.
183. Götzinger F, Santiago-García B, Noguera-Julián A, Lanaspa M, Lancella L, Carducci FI, Gabrovska N, Velizarova S, Prunk P, Osterman V, Krivec U. COVID-19 in children and adolescents in Europe: a multinational, multicentre cohort study. *The Lancet Child & Adolescent Health.* 2020 Sep 1;4(9):653-61.
184. Chou J, Thomas PG, Randolph AG. Immunology of SARS-CoV-2 infection in children. *Nature immunology.* 2022 Feb;23(2):177-85.
185. Rhedin S, Lundholm C, Horne A, Smew AI, Osvald EC, Haddadi A, Alfvén T, Kahn R, Król P, Brew BH, Almqvist C. Risk factors for multisystem inflammatory syndrome in children—A population-based cohort study of over 2 million children. *The Lancet Regional Health—Europe.* 2022 Aug 1;19.
186. Jin JM, Bai P, He W, Wu F, Liu XF, Han DM, Liu S, Yang JK. Gender differences in patients with COVID-19: focus on severity and mortality. *Frontiers in public health.* 2020 Apr 29;8:545030.
187. Ciarambino T, Para O, Giordano M. Immune system and COVID-19 by sex differences and age. *Women's Health.* 2021 Jun;17:17455065211022262.
188. Kharroubi SA, Diab-El-Harake M. Sex-differences in COVID-19 diagnosis, risk factors and disease comorbidities: A large US-based cohort study. *Frontiers in public health.* 2022 Nov 17;10:1029190.
189. Zaher K, Basingab F, Alrahimi J, Basahel K, Aldahlawi A. Gender differences in response to COVID-19 infection and vaccination. *Biomedicines.* 2023 Jun 9;11(6):1677.

190. Owusu M, Annan A, Corman VM, Larbi R, Anti P, Drexler JF, Agbenyega O, Adu-Sarkodie Y, Drosten C. Human coronaviruses associated with upper respiratory tract infections in three rural areas of Ghana. *PLoS one.* 2014 Jul 31;9(7):e99782.
191. Annan A, Ebach F, Corman VM, Krumkamp R, Adu-Sarkodie Y, Eis-Hübingen AM, Kruppa T, Simon A, May J, Evans J, Panning M. Similar virus spectra and seasonality in paediatric patients with acute respiratory disease, Ghana and Germany. *Clinical Microbiology and Infection.* 2016 Apr 1;22(4):340-6.
192. Gao W, Tamin A, Soloff A, D'Aiuto L, Nwanegbo E, Robbins PD, Bellini WJ, Barratt-Boyes S, Gambotto A. Effects of a SARS-associated coronavirus vaccine in monkeys. *The Lancet.* 2003 Dec 6;362(9399):1895-6.
193. Zeng F, Chow KY, Hon CC, Law KM, Yip CW, Chan KH, Peiris JS, Leung FC. Characterization of humoral responses in mice immunized with plasmid DNAs encoding SARS-CoV spike gene fragments. *Biochemical and biophysical research communications.* 2004 Mar 19;315(4):1134-9.
194. Yang ZY, Kong WP, Huang Y, Roberts A, Murphy BR, Subbarao K, Nabel GJ. A DNA vaccine induces SARS coronavirus neutralization and protective immunity in mice. *Nature.* 2004 Apr 1;428(6982):561-4.
195. Tan EL, Ooi EE, Lin CY, Tan HC, Ling AE, Lim B, Stanton LW. Inhibition of SARS coronavirus infection in vitro with clinically approved antiviral drugs. *Emerging infectious diseases.* 2004 Apr;10(4):581.
196. Wang L, Shi W, Joyce MG, Modjarrad K, Zhang Y, Leung K, Lees CR, Zhou T, Yassine HM, Kanekiyo M, Yang ZY. Evaluation of candidate vaccine approaches for MERS-CoV. *Nature communications.* 2015 Jul 28;6(1):7712.

197. Agência Nacional de Vigilância Sanitária [<https://www.gov.br/anvisa/pt-br>]. Medicamentos aprovados para tratamento da Covid-19 [citado em 12 de março de 2024]. Disponível em: [\[https://www.gov.br/anvisa/pt-br/assuntos/paf/coronavirus/medicamentos\]](https://www.gov.br/anvisa/pt-br/assuntos/paf/coronavirus/medicamentos).
198. Larsen SL, Shin I, Joseph J, West H, Anorga R, Mena GE, Mahmud AS, Martinez PP. Quantifying the impact of SARS-CoV-2 temporal vaccination trends and disparities on disease control. *Science Advances*. 2023 Aug 2;9(31):eadh9920.
199. Victora CG, Castro MC, Gurzenda S, Medeiros AC, França GV, Barros AJ. Estimating the early impact of vaccination against COVID-19 on deaths among elderly people in Brazil: Analyses of routinely-collected data on vaccine coverage and mortality. *EClinicalMedicine*. 2021 Aug 1;38.
200. Estofolete CF, Banho CA, Campos GR, Marques BD, Sacchetto L, Ullmann LS, Possebon FS, Machado LF, Syrio JD, Araújo Junior JP, Bittar C. Case study of two post vaccination SARS-CoV-2 infections with P1 variants in CoronaVac vaccinees in Brazil. *Viruses*. 2021 Jun 26;13(7):1237.
201. Banho CA, Sacchetto L, Campos GR, Bittar C, Possebon FS, Ullmann LS, Marques BD, da Silva GC, Moraes MM, Parra MC, Negri AF. Impact of SARS-CoV-2 Gamma lineage introduction and COVID-19 vaccination on the epidemiological landscape of a Brazilian city. *Communications medicine*. 2022 Apr 13;2(1):41.
202. Vöhringer HS, Sanderson T, Sinnott M, De Maio N, Nguyen T, Goater R, Schwach F, Harrison I, Hellewell J, Ariani CV, Gonçalves S. Genomic reconstruction of the SARS-CoV-2 epidemic in England. *Nature*. 2021 Dec 16;600(7889):506-11.
203. Benslimane FM, Al Khatib HA, Al-Jamal O, Albatesh D, Boughattas S, Ahmed AA, Bensaad M, Younuskunju S, Mohamoud YA, Al Badr M, Mohamed AA. One year of

- SARS-CoV-2: genomic characterization of COVID-19 outbreak in Qatar. *Frontiers in cellular and infection microbiology*. 2021 Nov 17;11:768883.
204. Dhar MS, Marwal R, Vs R, Ponnusamy K, Jolly B, Bhoyar RC, Sardana V, Naushin S, Rophina M, Mellan TA, Mishra S. Genomic characterization and epidemiology of an emerging SARS-CoV-2 variant in Delhi, India. *Science*. 2021 Nov 19;374(6570):995-9.
205. Flores-Alanis A, Delgado G, Espinosa-Camacho LF, Rodríguez-Gómez F, Cruz-Rangel A, Sandner-Miranda L, Cravioto A, Morales-Espinosa R. Two years of evolutionary dynamics of SARS-CoV-2 in Mexico, with emphasis on the variants of concern. *Frontiers in Microbiology*. 2022 Jul 5;13:886585.
206. Morang'a CM, Ngori JM, Gyamfi J, Amuzu DS, Nuertey BD, Soglo PM, Appiah V, Asante IA, Owusu-Oduro P, Armoo S, Adu-Gyasi D. Genetic diversity of SARS-CoV-2 infections in Ghana from 2020-2021. *Nature Communications*. 2022 May 6;13(1):2494.
207. Jimenez-Silva C, Rivero R, Douglas J, Bouckaert R, Villabona-Arenas CJ, Atkins KE, Gastelbondo B, Calderon A, Guzman C, Echeverri-De la Hoz D, Muñoz M. Genomic epidemiology of SARS-CoV-2 variants during the first two years of the pandemic in Colombia. *Communications Medicine*. 2023 Jul 13;3(1):97.
208. Nonaka CK, Franco MM, Gräf T, de Lorenzo Barcia CA, de Ávila Mendonça RN, De Sousa KA, Neiva LM, Fosenga V, Mendes AV, de Aguiar RS, Giovanetti M. Genomic evidence of SARS-CoV-2 reinfection involving E484K spike mutation, Brazil. *Emerging infectious diseases*. 2021 May;27(5):1522.
209. Jangra S, Ye C, Rathnasinghe R, Stadlbauer D, Alshammary H, Amoako AA, Awawda MH, Beach KF, Bermúdez-González MC, Chernet RL, Eaker LQ. SARS-CoV-2 spike E484K mutation reduces antibody neutralisation. *The Lancet Microbe*. 2021 Jul 1;2(7):e283-4.

210. Resende PC, Delatorre E, Gräf T, Mir D, Motta FC, Appolinario LR, Paixão AC, Mendonça AC, Ogrzewalska M, Caetano B, Wallau GL. Evolutionary dynamics and dissemination pattern of the SARS-CoV-2 lineage B. 1.1. 33 during the early pandemic phase in Brazil. *Frontiers in microbiology*. 2021 Feb 17;11:615280.
211. Resende PC, Gräf T, Paixão AC, Appolinario L, Lopes RS, Mendonça AC, da Rocha AS, Motta FC, Neto LG, Khouri R, de Oliveira CI. A potential SARS-CoV-2 variant of interest (VOI) harboring mutation E484K in the Spike protein was identified within lineage B. 1.1. 33 circulating in Brazil. *Viruses*. 2021 Apr 21;13(5):724.
212. Smith GJ, Bahl J, Vijaykrishna D, Zhang J, Poon LL, Chen H, Webster RG, Peiris JM, Guan Y. Dating the emergence of pandemic influenza viruses. *Proceedings of the National Academy of Sciences*. 2009 Jul 14;106(28):11709-12.
213. Drumond BP, Mondini A, Schmidt DJ, Bronzoni RV, Bosch I, Nogueira ML. Circulation of different lineages of Dengue virus 2, genotype American/Asian in Brazil: dynamics and molecular and phylogenetic characterization. *PloS one*. 2013 Mar 22;8(3):e59422.
214. Metsky HC, Matranga CB, Wohl S, Schaffner SF, Freije CA, Winnicki SM, West K, Qu J, Baniecki ML, Gladden-Young A, Lin AE. Zika virus evolution and spread in the Americas. *Nature*. 2017 Jun 15;546(7658):411-5.
215. Gularde JS, da Silva MS, Filippi M, Demoliner M, Schallenberger K, Hansen AW, de Abreu Góes Pereira VM, Heldt FH, Girardi V, Weber MN, de Almeida PR. Viral isolation allows characterization of early samples of SARS-CoV-2 lineage B1. 1.33 with unique mutations (S: H655Y and T63N) circulating in Southern Brazil in 2020. *Brazilian Journal of Microbiology*. 2022 Sep;53(3):1313-9.

216. Rambaut, A. et al. Preliminary Genomic Characterisation of an Emergent SARS-CoV-2 Lineage in the UK Defined by a Novel Set of Spike Mutations (Virological, 2020); <https://virological.org/t/preliminary-genomic-characterisation-of-an-emergent-sars-cov-2-lineage-in-the-uk-defined-by-a-novel-set-of-spike-mutations/563>.
217. Tegally H, Wilkinson E, Lessells RJ, Giandhari J, Pillay S, Msomi N, Mlisana K, Bhiman JN, von Gottberg A, Walaza S, Fonseca V. Sixteen novel lineages of SARS-CoV-2 in South Africa. *Nature medicine*. 2021 Mar;27(3):440-6.
218. Mlcochova P, Kemp SA, Dhar MS, Papa G, Meng B, Ferreira IA, Datir R, Collier DA, Albecka A, Singh S, Pandey R. SARS-CoV-2 B. 1.617. 2 Delta variant replication and immune evasion. *Nature*. 2021 Nov 4;599(7883):114-9.
219. Thakur V, Ratho RK. OMICRON (B. 1.1. 529): a new SARS-CoV-2 variant of concern mounting worldwide fear. *Journal of medical virology*. 2022 May;94(5):1821-4.
220. Araujo DB, Machado RR, Amgarten DE, Malta FD, de Araujo GG, Monteiro CO, Candido ED, Soares CP, de Menezes FG, Pires AC, Santana RA. SARS-CoV-2 isolation from the first reported patients in Brazil and establishment of a coordinated task network. *Memórias do Instituto Oswaldo Cruz*. 2020 Oct 23;115.

Apêndice 1

- **Datasets utilizados nas análises filogenéticas e filogeográficas deste estudo**

Tabela 1. Dataset utilizado na análise filogenética de SARS-CoV-2 em São José do Rio Preto no ano de 2020.

| ID de acesso GISAID | Data de coleta | Local |
|---------------------|----------------|-----------------------|
| EPI_ISL_18631971 | 25/03/2020 | São José do Rio Preto |
| EPI_ISL_18631972 | 27/03/2020 | São José do Rio Preto |
| EPI_ISL_18631973 | 30/03/2020 | São José do Rio Preto |
| EPI_ISL_18631974 | 30/03/2020 | São José do Rio Preto |
| EPI_ISL_18631975 | 05/04/2020 | São José do Rio Preto |
| EPI_ISL_18631976 | 06/04/2020 | São José do Rio Preto |
| EPI_ISL_18631977 | 13/04/2020 | São José do Rio Preto |
| EPI_ISL_18631978 | 14/04/2020 | São José do Rio Preto |
| EPI_ISL_18631979 | 14/04/2020 | São José do Rio Preto |
| EPI_ISL_18631980 | 17/04/2020 | São José do Rio Preto |
| EPI_ISL_18631981 | 21/04/2020 | São José do Rio Preto |
| EPI_ISL_18631982 | 22/04/2020 | São José do Rio Preto |
| EPI_ISL_18631983 | 23/04/2020 | São José do Rio Preto |
| EPI_ISL_18631984 | 27/04/2020 | São José do Rio Preto |
| EPI_ISL_18631985 | 27/04/2020 | São José do Rio Preto |
| EPI_ISL_18631986 | 28/04/2020 | São José do Rio Preto |
| EPI_ISL_18631987 | 28/04/2020 | São José do Rio Preto |
| EPI_ISL_18631988 | 28/04/2020 | São José do Rio Preto |

| | | |
|------------------|------------|-----------------------|
| EPI_ISL_18631989 | 28/04/2020 | São José do Rio Preto |
| EPI_ISL_18631990 | 28/04/2020 | São José do Rio Preto |
| EPI_ISL_18631991 | 29/04/2020 | São José do Rio Preto |
| EPI_ISL_18631992 | 30/04/2020 | São José do Rio Preto |
| EPI_ISL_18631993 | 30/04/2020 | São José do Rio Preto |
| EPI_ISL_18631994 | 30/04/2020 | São José do Rio Preto |
| EPI_ISL_18631995 | 30/04/2020 | São José do Rio Preto |
| EPI_ISL_18631996 | 29/04/2020 | São José do Rio Preto |
| EPI_ISL_18631997 | 30/04/2020 | São José do Rio Preto |
| EPI_ISL_18631998 | 30/04/2020 | São José do Rio Preto |
| EPI_ISL_18631999 | 30/04/2020 | São José do Rio Preto |
| EPI_ISL_18632000 | 01/05/2020 | São José do Rio Preto |
| EPI_ISL_18632001 | 08/05/2020 | São José do Rio Preto |
| EPI_ISL_18632002 | 07/05/2020 | São José do Rio Preto |
| EPI_ISL_18632003 | 07/05/2020 | São José do Rio Preto |
| EPI_ISL_18632004 | 07/05/2020 | São José do Rio Preto |
| EPI_ISL_18632005 | 07/05/2020 | São José do Rio Preto |
| EPI_ISL_18632006 | 07/05/2020 | São José do Rio Preto |
| EPI_ISL_18632007 | 07/05/2020 | São José do Rio Preto |
| EPI_ISL_18632008 | 10/05/2020 | São José do Rio Preto |
| EPI_ISL_18632009 | 10/05/2020 | São José do Rio Preto |
| EPI_ISL_18632010 | 10/05/2020 | São José do Rio Preto |
| EPI_ISL_18632011 | 10/05/2020 | São José do Rio Preto |
| EPI_ISL_18632013 | 11/05/2020 | São José do Rio Preto |

| | | |
|------------------|------------|-----------------------|
| EPI_ISL_18632014 | 15/05/2020 | São José do Rio Preto |
| EPI_ISL_18632015 | 15/05/2020 | São José do Rio Preto |
| EPI_ISL_18632016 | 15/05/2020 | São José do Rio Preto |
| EPI_ISL_18632017 | 15/05/2020 | São José do Rio Preto |
| EPI_ISL_18632018 | 15/05/2020 | São José do Rio Preto |
| EPI_ISL_18632019 | 19/05/2020 | São José do Rio Preto |
| EPI_ISL_18632020 | 18/05/2020 | São José do Rio Preto |
| EPI_ISL_18632021 | 18/05/2020 | São José do Rio Preto |
| EPI_ISL_18632022 | 19/05/2020 | São José do Rio Preto |
| EPI_ISL_18632023 | 19/05/2020 | São José do Rio Preto |
| EPI_ISL_18632024 | 19/05/2020 | São José do Rio Preto |
| EPI_ISL_18632025 | 19/05/2020 | São José do Rio Preto |
| EPI_ISL_18632026 | 20/05/2020 | São José do Rio Preto |
| EPI_ISL_18632027 | 22/05/2020 | São José do Rio Preto |
| EPI_ISL_18632028 | 21/05/2020 | São José do Rio Preto |
| EPI_ISL_18632029 | 21/05/2020 | São José do Rio Preto |
| EPI_ISL_18632030 | 21/05/2020 | São José do Rio Preto |
| EPI_ISL_18632031 | 21/05/2020 | São José do Rio Preto |
| EPI_ISL_18632032 | 30/05/2020 | São José do Rio Preto |
| EPI_ISL_18632033 | 30/05/2020 | São José do Rio Preto |
| EPI_ISL_18632034 | 01/06/2020 | São José do Rio Preto |
| EPI_ISL_18632035 | 01/06/2020 | São José do Rio Preto |
| EPI_ISL_18632036 | 02/06/2020 | São José do Rio Preto |
| EPI_ISL_18632037 | 02/06/2020 | São José do Rio Preto |

| | | |
|------------------|------------|-----------------------|
| EPI_ISL_18632038 | 02/06/2020 | São José do Rio Preto |
| EPI_ISL_18632039 | 03/06/2020 | São José do Rio Preto |
| EPI_ISL_18632040 | 02/06/2020 | São José do Rio Preto |
| EPI_ISL_18632041 | 03/06/2020 | São José do Rio Preto |
| EPI_ISL_18632042 | 01/06/2020 | São José do Rio Preto |
| EPI_ISL_18632043 | 04/06/2020 | São José do Rio Preto |
| EPI_ISL_18632044 | 04/06/2020 | São José do Rio Preto |
| EPI_ISL_18632045 | 04/06/2020 | São José do Rio Preto |
| EPI_ISL_18632046 | 06/06/2020 | São José do Rio Preto |
| EPI_ISL_18632047 | 06/06/2020 | São José do Rio Preto |
| EPI_ISL_18632048 | 07/06/2020 | São José do Rio Preto |
| EPI_ISL_18632049 | 07/06/2020 | São José do Rio Preto |
| EPI_ISL_18632050 | 07/06/2020 | São José do Rio Preto |
| EPI_ISL_18632051 | 07/06/2020 | São José do Rio Preto |
| EPI_ISL_18632052 | 07/06/2020 | São José do Rio Preto |
| EPI_ISL_18632053 | 08/06/2020 | São José do Rio Preto |
| EPI_ISL_18632054 | 08/06/2020 | São José do Rio Preto |
| EPI_ISL_18632055 | 05/06/2020 | São José do Rio Preto |
| EPI_ISL_18632056 | 08/06/2020 | São José do Rio Preto |
| EPI_ISL_18632057 | 08/06/2020 | São José do Rio Preto |
| EPI_ISL_18632058 | 08/06/2020 | São José do Rio Preto |
| EPI_ISL_18632059 | 08/06/2020 | São José do Rio Preto |
| EPI_ISL_18632060 | 08/06/2020 | São José do Rio Preto |
| EPI_ISL_18632061 | 08/06/2020 | São José do Rio Preto |

| | | |
|------------------|------------|-----------------------|
| EPI_ISL_18632062 | 08/06/2020 | São José do Rio Preto |
| EPI_ISL_18632063 | 09/06/2020 | São José do Rio Preto |
| EPI_ISL_18632064 | 08/06/2020 | São José do Rio Preto |
| EPI_ISL_18632065 | 08/06/2020 | São José do Rio Preto |
| EPI_ISL_18632066 | 09/06/2020 | São José do Rio Preto |
| EPI_ISL_18632067 | 09/06/2020 | São José do Rio Preto |
| EPI_ISL_18632068 | 09/06/2020 | São José do Rio Preto |
| EPI_ISL_18632069 | 09/06/2020 | São José do Rio Preto |
| EPI_ISL_18632070 | 09/06/2020 | São José do Rio Preto |
| EPI_ISL_18632071 | 10/06/2020 | São José do Rio Preto |
| EPI_ISL_18632072 | 10/06/2020 | São José do Rio Preto |
| EPI_ISL_18632073 | 16/06/2020 | São José do Rio Preto |
| EPI_ISL_18632074 | 11/06/2020 | São José do Rio Preto |
| EPI_ISL_18632075 | 11/06/2020 | São José do Rio Preto |
| EPI_ISL_18632076 | 12/06/2020 | São José do Rio Preto |
| EPI_ISL_18632077 | 11/06/2020 | São José do Rio Preto |
| EPI_ISL_18632078 | 12/06/2020 | São José do Rio Preto |
| EPI_ISL_18632079 | 12/06/2020 | São José do Rio Preto |
| EPI_ISL_18632080 | 12/06/2020 | São José do Rio Preto |
| EPI_ISL_18632081 | 12/06/2020 | São José do Rio Preto |
| EPI_ISL_18632082 | 13/06/2020 | São José do Rio Preto |
| EPI_ISL_18632083 | 15/06/2020 | São José do Rio Preto |
| EPI_ISL_18632084 | 14/06/2020 | São José do Rio Preto |
| EPI_ISL_18632085 | 14/06/2020 | São José do Rio Preto |

| | | |
|------------------|------------|-----------------------|
| EPI_ISL_18632086 | 13/06/2020 | São José do Rio Preto |
| EPI_ISL_18632087 | 14/06/2020 | São José do Rio Preto |
| EPI_ISL_18632088 | 15/06/2020 | São José do Rio Preto |
| EPI_ISL_18632089 | 15/06/2020 | São José do Rio Preto |
| EPI_ISL_18632090 | 16/06/2020 | São José do Rio Preto |
| EPI_ISL_18632091 | 16/06/2020 | São José do Rio Preto |
| EPI_ISL_18632092 | 16/06/2020 | São José do Rio Preto |
| EPI_ISL_18632093 | 17/06/2020 | São José do Rio Preto |
| EPI_ISL_18632094 | 17/06/2020 | São José do Rio Preto |
| EPI_ISL_18632095 | 17/06/2020 | São José do Rio Preto |
| EPI_ISL_18632096 | 17/06/2020 | São José do Rio Preto |
| EPI_ISL_18632097 | 17/06/2020 | São José do Rio Preto |
| EPI_ISL_18632098 | 17/06/2020 | São José do Rio Preto |
| EPI_ISL_18632099 | 17/06/2020 | São José do Rio Preto |
| EPI_ISL_18632100 | 18/06/2020 | São José do Rio Preto |
| EPI_ISL_18632101 | 18/06/2020 | São José do Rio Preto |
| EPI_ISL_18632102 | 18/06/2020 | São José do Rio Preto |
| EPI_ISL_18632103 | 18/06/2020 | São José do Rio Preto |
| EPI_ISL_18632104 | 18/06/2020 | São José do Rio Preto |
| EPI_ISL_18632105 | 18/06/2020 | São José do Rio Preto |
| EPI_ISL_18632106 | 18/06/2020 | São José do Rio Preto |
| EPI_ISL_18632107 | 18/06/2020 | São José do Rio Preto |
| EPI_ISL_18632108 | 19/06/2020 | São José do Rio Preto |
| EPI_ISL_18632109 | 20/06/2020 | São José do Rio Preto |

| | | |
|------------------|------------|-----------------------|
| EPI_ISL_18632110 | 20/06/2020 | São José do Rio Preto |
| EPI_ISL_18632111 | 19/06/2020 | São José do Rio Preto |
| EPI_ISL_18632112 | 19/06/2020 | São José do Rio Preto |
| EPI_ISL_18632113 | 19/06/2020 | São José do Rio Preto |
| EPI_ISL_18632114 | 19/06/2020 | São José do Rio Preto |
| EPI_ISL_18632115 | 21/06/2020 | São José do Rio Preto |
| EPI_ISL_18632116 | 20/06/2020 | São José do Rio Preto |
| EPI_ISL_18637327 | 20/06/2020 | São José do Rio Preto |
| EPI_ISL_18632117 | 20/06/2020 | São José do Rio Preto |
| EPI_ISL_18632118 | 22/06/2020 | São José do Rio Preto |
| EPI_ISL_18632119 | 22/06/2020 | São José do Rio Preto |
| EPI_ISL_18632120 | 22/06/2020 | São José do Rio Preto |
| EPI_ISL_18632121 | 22/06/2020 | São José do Rio Preto |
| EPI_ISL_18632122 | 22/06/2020 | São José do Rio Preto |
| EPI_ISL_18632123 | 22/06/2020 | São José do Rio Preto |
| EPI_ISL_18632124 | 22/06/2020 | São José do Rio Preto |
| EPI_ISL_18632125 | 22/06/2020 | São José do Rio Preto |
| EPI_ISL_18632126 | 22/06/2020 | São José do Rio Preto |
| EPI_ISL_18632127 | 22/06/2020 | São José do Rio Preto |
| EPI_ISL_18632128 | 23/06/2020 | São José do Rio Preto |
| EPI_ISL_18632129 | 24/06/2020 | São José do Rio Preto |
| EPI_ISL_18632130 | 23/06/2020 | São José do Rio Preto |
| EPI_ISL_18632131 | 23/06/2020 | São José do Rio Preto |
| EPI_ISL_18632132 | 19/06/2020 | São José do Rio Preto |

| | | |
|------------------|------------|-----------------------|
| EPI_ISL_18632133 | 23/06/2020 | São José do Rio Preto |
| EPI_ISL_18632134 | 06/08/2020 | São José do Rio Preto |
| EPI_ISL_18632135 | 24/06/2020 | São José do Rio Preto |
| EPI_ISL_18632136 | 24/06/2020 | São José do Rio Preto |
| EPI_ISL_18632137 | 24/06/2020 | São José do Rio Preto |
| EPI_ISL_18632138 | 24/06/2020 | São José do Rio Preto |
| EPI_ISL_18632139 | 24/06/2020 | São José do Rio Preto |
| EPI_ISL_18632140 | 24/06/2020 | São José do Rio Preto |
| EPI_ISL_18632141 | 24/06/2020 | São José do Rio Preto |
| EPI_ISL_18632142 | 25/06/2020 | São José do Rio Preto |
| EPI_ISL_18632143 | 25/06/2020 | São José do Rio Preto |
| EPI_ISL_18632144 | 25/06/2020 | São José do Rio Preto |
| EPI_ISL_18632145 | 26/06/2020 | São José do Rio Preto |
| EPI_ISL_18632146 | 25/06/2020 | São José do Rio Preto |
| EPI_ISL_18632147 | 25/06/2020 | São José do Rio Preto |
| EPI_ISL_18632148 | 25/06/2020 | São José do Rio Preto |
| EPI_ISL_18632149 | 25/06/2020 | São José do Rio Preto |
| EPI_ISL_18632150 | 26/06/2020 | São José do Rio Preto |
| EPI_ISL_18632151 | 26/06/2020 | São José do Rio Preto |
| EPI_ISL_18632152 | 26/06/2020 | São José do Rio Preto |
| EPI_ISL_18632153 | 26/06/2020 | São José do Rio Preto |
| EPI_ISL_18632154 | 26/06/2020 | São José do Rio Preto |
| EPI_ISL_18632155 | 26/06/2020 | São José do Rio Preto |
| EPI_ISL_18632156 | 28/06/2020 | São José do Rio Preto |

| | | |
|------------------|------------|-----------------------|
| EPI_ISL_18632157 | 28/06/2020 | São José do Rio Preto |
| EPI_ISL_18632158 | 28/06/2020 | São José do Rio Preto |
| EPI_ISL_18632159 | 27/06/2020 | São José do Rio Preto |
| EPI_ISL_18632160 | 28/06/2020 | São José do Rio Preto |
| EPI_ISL_18632161 | 28/06/2020 | São José do Rio Preto |
| EPI_ISL_18632162 | 28/06/2020 | São José do Rio Preto |
| EPI_ISL_18632163 | 28/06/2020 | São José do Rio Preto |
| EPI_ISL_18632164 | 28/06/2020 | São José do Rio Preto |
| EPI_ISL_18632165 | 27/06/2020 | São José do Rio Preto |
| EPI_ISL_18632166 | 27/06/2020 | São José do Rio Preto |
| EPI_ISL_18632167 | 27/06/2020 | São José do Rio Preto |
| EPI_ISL_18632168 | 28/06/2020 | São José do Rio Preto |
| EPI_ISL_18632169 | 27/06/2020 | São José do Rio Preto |
| EPI_ISL_18632170 | 29/06/2020 | São José do Rio Preto |
| EPI_ISL_18632171 | 29/06/2020 | São José do Rio Preto |
| EPI_ISL_18632172 | 29/06/2020 | São José do Rio Preto |
| EPI_ISL_18632173 | 30/06/2020 | São José do Rio Preto |
| EPI_ISL_18632174 | 29/06/2020 | São José do Rio Preto |
| EPI_ISL_18632175 | 29/06/2020 | São José do Rio Preto |
| EPI_ISL_18637328 | 29/06/2020 | São José do Rio Preto |
| EPI_ISL_18632176 | 01/07/2020 | São José do Rio Preto |
| EPI_ISL_18632177 | 01/07/2020 | São José do Rio Preto |
| EPI_ISL_18632178 | 01/07/2020 | São José do Rio Preto |
| EPI_ISL_18632179 | 01/07/2020 | São José do Rio Preto |

| | | |
|------------------|------------|-----------------------|
| EPI_ISL_18632180 | 01/07/2020 | São José do Rio Preto |
| EPI_ISL_18632181 | 02/07/2020 | São José do Rio Preto |
| EPI_ISL_18632182 | 05/07/2020 | São José do Rio Preto |
| EPI_ISL_18632183 | 06/07/2020 | São José do Rio Preto |
| EPI_ISL_18632184 | 06/07/2020 | São José do Rio Preto |
| EPI_ISL_18632185 | 06/07/2020 | São José do Rio Preto |
| EPI_ISL_18632186 | 06/07/2020 | São José do Rio Preto |
| EPI_ISL_18632187 | 06/07/2020 | São José do Rio Preto |
| EPI_ISL_18632188 | 08/07/2020 | São José do Rio Preto |
| EPI_ISL_18632189 | 08/07/2020 | São José do Rio Preto |
| EPI_ISL_18632190 | 08/07/2020 | São José do Rio Preto |
| EPI_ISL_18632191 | 08/07/2020 | São José do Rio Preto |
| EPI_ISL_18632192 | 09/07/2020 | São José do Rio Preto |
| EPI_ISL_18632193 | 09/07/2020 | São José do Rio Preto |
| EPI_ISL_18632194 | 10/07/2020 | São José do Rio Preto |
| EPI_ISL_18632195 | 10/07/2020 | São José do Rio Preto |
| EPI_ISL_18632196 | 11/07/2020 | São José do Rio Preto |
| EPI_ISL_18632197 | 13/07/2020 | São José do Rio Preto |
| EPI_ISL_18632198 | 12/07/2020 | São José do Rio Preto |
| EPI_ISL_18632199 | 12/07/2020 | São José do Rio Preto |
| EPI_ISL_18632200 | 12/07/2020 | São José do Rio Preto |
| EPI_ISL_18632201 | 11/07/2020 | São José do Rio Preto |
| EPI_ISL_18632202 | 11/07/2020 | São José do Rio Preto |
| EPI_ISL_18632203 | 13/07/2020 | São José do Rio Preto |

| | | |
|------------------|------------|-----------------------|
| EPI_ISL_18632204 | 13/07/2020 | São José do Rio Preto |
| EPI_ISL_18632205 | 13/07/2020 | São José do Rio Preto |
| EPI_ISL_18632206 | 13/07/2020 | São José do Rio Preto |
| EPI_ISL_18632207 | 08/07/2020 | São José do Rio Preto |
| EPI_ISL_18632208 | 13/07/2020 | São José do Rio Preto |
| EPI_ISL_18632209 | 13/07/2020 | São José do Rio Preto |
| EPI_ISL_18632210 | 13/07/2020 | São José do Rio Preto |
| EPI_ISL_18632211 | 15/07/2020 | São José do Rio Preto |
| EPI_ISL_18632212 | 12/07/2020 | São José do Rio Preto |
| EPI_ISL_18632213 | 14/07/2020 | São José do Rio Preto |
| EPI_ISL_18632214 | 14/07/2020 | São José do Rio Preto |
| EPI_ISL_18632215 | 14/07/2020 | São José do Rio Preto |
| EPI_ISL_18632216 | 15/07/2020 | São José do Rio Preto |
| EPI_ISL_18632217 | 15/07/2020 | São José do Rio Preto |
| EPI_ISL_18632218 | 15/07/2020 | São José do Rio Preto |
| EPI_ISL_18632219 | 15/07/2020 | São José do Rio Preto |
| EPI_ISL_18632220 | 16/07/2020 | São José do Rio Preto |
| EPI_ISL_18632221 | 16/07/2020 | São José do Rio Preto |
| EPI_ISL_18632222 | 17/07/2020 | São José do Rio Preto |
| EPI_ISL_18632223 | 19/07/2020 | São José do Rio Preto |
| EPI_ISL_18632224 | 20/07/2020 | São José do Rio Preto |
| EPI_ISL_18632225 | 20/07/2020 | São José do Rio Preto |
| EPI_ISL_18632226 | 20/07/2020 | São José do Rio Preto |
| EPI_ISL_18632227 | 20/07/2020 | São José do Rio Preto |

| | | |
|------------------|------------|-----------------------|
| EPI_ISL_18632228 | 20/07/2020 | São José do Rio Preto |
| EPI_ISL_18632229 | 20/07/2020 | São José do Rio Preto |
| EPI_ISL_18632230 | 20/07/2020 | São José do Rio Preto |
| EPI_ISL_18632231 | 21/07/2020 | São José do Rio Preto |
| EPI_ISL_18632232 | 21/07/2020 | São José do Rio Preto |
| EPI_ISL_18632233 | 21/07/2020 | São José do Rio Preto |
| EPI_ISL_18632234 | 21/07/2020 | São José do Rio Preto |
| EPI_ISL_18632235 | 21/07/2020 | São José do Rio Preto |
| EPI_ISL_18632236 | 21/07/2020 | São José do Rio Preto |
| EPI_ISL_18632237 | 21/07/2020 | São José do Rio Preto |
| EPI_ISL_18632239 | 23/07/2020 | São José do Rio Preto |
| EPI_ISL_18632240 | 23/07/2020 | São José do Rio Preto |
| EPI_ISL_18632241 | 25/07/2020 | São José do Rio Preto |
| EPI_ISL_18632242 | 24/07/2020 | São José do Rio Preto |
| EPI_ISL_18632243 | 24/07/2020 | São José do Rio Preto |
| EPI_ISL_18632244 | 24/07/2020 | São José do Rio Preto |
| EPI_ISL_18632245 | 26/07/2020 | São José do Rio Preto |
| EPI_ISL_18632246 | 24/07/2020 | São José do Rio Preto |
| EPI_ISL_18632247 | 26/07/2020 | São José do Rio Preto |
| EPI_ISL_18632248 | 26/07/2020 | São José do Rio Preto |
| EPI_ISL_18632249 | 28/07/2020 | São José do Rio Preto |
| EPI_ISL_18632250 | 28/07/2020 | São José do Rio Preto |
| EPI_ISL_18632251 | 28/07/2020 | São José do Rio Preto |
| EPI_ISL_18632252 | 28/07/2020 | São José do Rio Preto |

| | | |
|------------------|------------|-----------------------|
| EPI_ISL_18632253 | 29/07/2020 | São José do Rio Preto |
| EPI_ISL_18632254 | 29/07/2020 | São José do Rio Preto |
| EPI_ISL_18632255 | 29/07/2020 | São José do Rio Preto |
| EPI_ISL_18632256 | 29/07/2020 | São José do Rio Preto |
| EPI_ISL_18632257 | 29/07/2020 | São José do Rio Preto |
| EPI_ISL_18632258 | 29/07/2020 | São José do Rio Preto |
| EPI_ISL_18632259 | 29/07/2020 | São José do Rio Preto |
| EPI_ISL_18632260 | 02/08/2020 | São José do Rio Preto |
| EPI_ISL_18632261 | 02/08/2020 | São José do Rio Preto |
| EPI_ISL_18632262 | 02/08/2020 | São José do Rio Preto |
| EPI_ISL_18632263 | 02/08/2020 | São José do Rio Preto |
| EPI_ISL_18632264 | 03/08/2020 | São José do Rio Preto |
| EPI_ISL_18632265 | 03/08/2020 | São José do Rio Preto |
| EPI_ISL_18632266 | 04/08/2020 | São José do Rio Preto |
| EPI_ISL_18632267 | 03/08/2020 | São José do Rio Preto |
| EPI_ISL_18632268 | 03/08/2020 | São José do Rio Preto |
| EPI_ISL_18632269 | 04/08/2020 | São José do Rio Preto |
| EPI_ISL_18632270 | 31/07/2020 | São José do Rio Preto |
| EPI_ISL_18632271 | 03/08/2020 | São José do Rio Preto |
| EPI_ISL_18632272 | 05/08/2020 | São José do Rio Preto |
| EPI_ISL_18632273 | 05/08/2020 | São José do Rio Preto |
| EPI_ISL_18632274 | 05/08/2020 | São José do Rio Preto |
| EPI_ISL_18632275 | 05/08/2020 | São José do Rio Preto |
| EPI_ISL_18632276 | 06/08/2020 | São José do Rio Preto |

| | | |
|------------------|------------|-----------------------|
| EPI_ISL_18632277 | 06/08/2020 | São José do Rio Preto |
| EPI_ISL_18632278 | 06/08/2020 | São José do Rio Preto |
| EPI_ISL_18632279 | 07/08/2020 | São José do Rio Preto |
| EPI_ISL_18632280 | 07/08/2020 | São José do Rio Preto |
| EPI_ISL_18632281 | 07/08/2020 | São José do Rio Preto |
| EPI_ISL_18632282 | 07/08/2020 | São José do Rio Preto |
| EPI_ISL_18632283 | 07/08/2020 | São José do Rio Preto |
| EPI_ISL_18632284 | 07/08/2020 | São José do Rio Preto |
| EPI_ISL_18632285 | 09/08/2020 | São José do Rio Preto |
| EPI_ISL_18632286 | 10/08/2020 | São José do Rio Preto |
| EPI_ISL_18632287 | 09/08/2020 | São José do Rio Preto |
| EPI_ISL_18632288 | 10/08/2020 | São José do Rio Preto |
| EPI_ISL_18632289 | 10/08/2020 | São José do Rio Preto |
| EPI_ISL_18632290 | 11/08/2020 | São José do Rio Preto |
| EPI_ISL_18632291 | 12/08/2020 | São José do Rio Preto |
| EPI_ISL_18632292 | 12/08/2020 | São José do Rio Preto |
| EPI_ISL_18632293 | 12/08/2020 | São José do Rio Preto |
| EPI_ISL_18632294 | 12/08/2020 | São José do Rio Preto |
| EPI_ISL_18632295 | 12/08/2020 | São José do Rio Preto |
| EPI_ISL_18632296 | 13/08/2020 | São José do Rio Preto |
| EPI_ISL_18632297 | 13/08/2020 | São José do Rio Preto |
| EPI_ISL_18632298 | 13/08/2020 | São José do Rio Preto |
| EPI_ISL_18632299 | 17/08/2020 | São José do Rio Preto |
| EPI_ISL_18632300 | 17/08/2020 | São José do Rio Preto |

| | | |
|------------------|------------|-----------------------|
| EPI_ISL_18632301 | 17/08/2020 | São José do Rio Preto |
| EPI_ISL_18632302 | 17/08/2020 | São José do Rio Preto |
| EPI_ISL_18632303 | 17/08/2020 | São José do Rio Preto |
| EPI_ISL_18632304 | 18/08/2020 | São José do Rio Preto |
| EPI_ISL_18632305 | 18/08/2020 | São José do Rio Preto |
| EPI_ISL_18632306 | 18/08/2020 | São José do Rio Preto |
| EPI_ISL_18632307 | 18/08/2020 | São José do Rio Preto |
| EPI_ISL_18632308 | 18/08/2020 | São José do Rio Preto |
| EPI_ISL_18632309 | 18/08/2020 | São José do Rio Preto |
| EPI_ISL_18632310 | 18/08/2020 | São José do Rio Preto |
| EPI_ISL_18632311 | 18/08/2020 | São José do Rio Preto |
| EPI_ISL_18632312 | 18/08/2020 | São José do Rio Preto |
| EPI_ISL_18632313 | 18/08/2020 | São José do Rio Preto |
| EPI_ISL_18632314 | 18/08/2020 | São José do Rio Preto |
| EPI_ISL_18632315 | 18/08/2020 | São José do Rio Preto |
| EPI_ISL_18632316 | 18/08/2020 | São José do Rio Preto |
| EPI_ISL_18632317 | 18/08/2020 | São José do Rio Preto |
| EPI_ISL_18632318 | 19/08/2020 | São José do Rio Preto |
| EPI_ISL_18632319 | 19/08/2020 | São José do Rio Preto |
| EPI_ISL_18632320 | 19/08/2020 | São José do Rio Preto |
| EPI_ISL_18632321 | 19/08/2020 | São José do Rio Preto |
| EPI_ISL_18632322 | 19/08/2020 | São José do Rio Preto |
| EPI_ISL_18632323 | 19/08/2020 | São José do Rio Preto |
| EPI_ISL_18637329 | 19/08/2020 | São José do Rio Preto |

| | | |
|------------------|------------|-----------------------|
| EPI_ISL_18632324 | 19/08/2020 | São José do Rio Preto |
| EPI_ISL_18632325 | 19/08/2020 | São José do Rio Preto |
| EPI_ISL_18632326 | 19/08/2020 | São José do Rio Preto |
| EPI_ISL_18632328 | 20/08/2020 | São José do Rio Preto |
| EPI_ISL_18632329 | 20/08/2020 | São José do Rio Preto |
| EPI_ISL_18632330 | 20/08/2020 | São José do Rio Preto |
| EPI_ISL_18632331 | 20/08/2020 | São José do Rio Preto |
| EPI_ISL_18632332 | 21/08/2020 | São José do Rio Preto |
| EPI_ISL_18632333 | 22/08/2020 | São José do Rio Preto |
| EPI_ISL_18632334 | 22/08/2020 | São José do Rio Preto |
| EPI_ISL_18632335 | 22/08/2020 | São José do Rio Preto |
| EPI_ISL_18632336 | 22/08/2020 | São José do Rio Preto |
| EPI_ISL_18632337 | 22/08/2020 | São José do Rio Preto |
| EPI_ISL_18632338 | 24/08/2020 | São José do Rio Preto |
| EPI_ISL_18632339 | 24/08/2020 | São José do Rio Preto |
| EPI_ISL_18632340 | 24/08/2020 | São José do Rio Preto |
| EPI_ISL_18632341 | 24/08/2020 | São José do Rio Preto |
| EPI_ISL_18632342 | 26/08/2020 | São José do Rio Preto |
| EPI_ISL_18632343 | 26/08/2020 | São José do Rio Preto |
| EPI_ISL_18632344 | 26/08/2020 | São José do Rio Preto |
| EPI_ISL_18637330 | 26/08/2020 | São José do Rio Preto |
| EPI_ISL_18632345 | 26/08/2020 | São José do Rio Preto |
| EPI_ISL_18632346 | 28/08/2020 | São José do Rio Preto |
| EPI_ISL_18632347 | 28/08/2020 | São José do Rio Preto |

| | | |
|------------------|------------|-----------------------|
| EPI_ISL_18632348 | 28/08/2020 | São José do Rio Preto |
| EPI_ISL_18632349 | 29/09/2020 | São José do Rio Preto |
| EPI_ISL_18632350 | 29/09/2020 | São José do Rio Preto |
| EPI_ISL_18632351 | 29/09/2020 | São José do Rio Preto |
| EPI_ISL_18632352 | 31/08/2020 | São José do Rio Preto |
| EPI_ISL_18632353 | 31/08/2020 | São José do Rio Preto |
| EPI_ISL_18632354 | 31/08/2020 | São José do Rio Preto |
| EPI_ISL_18632355 | 31/08/2020 | São José do Rio Preto |
| EPI_ISL_18632356 | 31/08/2020 | São José do Rio Preto |
| EPI_ISL_18632357 | 31/08/2020 | São José do Rio Preto |
| EPI_ISL_18632358 | 31/08/2020 | São José do Rio Preto |
| EPI_ISL_18632359 | 31/08/2020 | São José do Rio Preto |
| EPI_ISL_18632360 | 31/08/2020 | São José do Rio Preto |
| EPI_ISL_18632361 | 31/08/2020 | São José do Rio Preto |
| EPI_ISL_18632362 | 31/08/2020 | São José do Rio Preto |
| EPI_ISL_18632363 | 31/08/2020 | São José do Rio Preto |
| EPI_ISL_18632364 | 31/08/2020 | São José do Rio Preto |
| EPI_ISL_18632365 | 01/09/2020 | São José do Rio Preto |
| EPI_ISL_18632366 | 01/09/2020 | São José do Rio Preto |
| EPI_ISL_18632367 | 01/09/2020 | São José do Rio Preto |
| EPI_ISL_18632368 | 01/09/2020 | São José do Rio Preto |
| EPI_ISL_18632369 | 02/09/2020 | São José do Rio Preto |
| EPI_ISL_18632370 | 03/09/2020 | São José do Rio Preto |
| EPI_ISL_18632371 | 03/09/2020 | São José do Rio Preto |

| | | |
|------------------|------------|-----------------------|
| EPI_ISL_18632372 | 03/09/2020 | São José do Rio Preto |
| EPI_ISL_18632374 | 03/09/2020 | São José do Rio Preto |
| EPI_ISL_18632375 | 17/09/2020 | São José do Rio Preto |
| EPI_ISL_18632376 | 03/09/2020 | São José do Rio Preto |
| EPI_ISL_18632377 | 05/09/2020 | São José do Rio Preto |
| EPI_ISL_18632378 | 05/09/2020 | São José do Rio Preto |
| EPI_ISL_18632379 | 05/09/2020 | São José do Rio Preto |
| EPI_ISL_18632380 | 08/09/2020 | São José do Rio Preto |
| EPI_ISL_18632381 | 07/09/2020 | São José do Rio Preto |
| EPI_ISL_18632382 | 07/09/2020 | São José do Rio Preto |
| EPI_ISL_18632383 | 07/09/2020 | São José do Rio Preto |
| EPI_ISL_18632384 | 07/09/2020 | São José do Rio Preto |
| EPI_ISL_18632385 | 07/09/2020 | São José do Rio Preto |
| EPI_ISL_18632386 | 09/09/2020 | São José do Rio Preto |
| EPI_ISL_18632387 | 08/09/2020 | São José do Rio Preto |
| EPI_ISL_18632388 | 08/09/2020 | São José do Rio Preto |
| EPI_ISL_18632389 | 08/09/2020 | São José do Rio Preto |
| EPI_ISL_18632390 | 08/09/2020 | São José do Rio Preto |
| EPI_ISL_18632391 | 08/09/2020 | São José do Rio Preto |
| EPI_ISL_18632392 | 08/09/2020 | São José do Rio Preto |
| EPI_ISL_18632393 | 08/09/2020 | São José do Rio Preto |
| EPI_ISL_18632394 | 09/09/2020 | São José do Rio Preto |
| EPI_ISL_18632395 | 09/09/2020 | São José do Rio Preto |
| EPI_ISL_18632396 | 09/09/2020 | São José do Rio Preto |

| | | |
|------------------|------------|-----------------------|
| EPI_ISL_18632397 | 09/09/2020 | São José do Rio Preto |
| EPI_ISL_18632398 | 11/09/2020 | São José do Rio Preto |
| EPI_ISL_18632399 | 11/09/2020 | São José do Rio Preto |
| EPI_ISL_18632400 | 10/09/2020 | São José do Rio Preto |
| EPI_ISL_18632401 | 11/09/2020 | São José do Rio Preto |
| EPI_ISL_18632402 | 11/09/2020 | São José do Rio Preto |
| EPI_ISL_18632403 | 13/09/2020 | São José do Rio Preto |
| EPI_ISL_18632404 | 13/09/2020 | São José do Rio Preto |
| EPI_ISL_18632405 | 12/09/2020 | São José do Rio Preto |
| EPI_ISL_18632406 | 12/09/2020 | São José do Rio Preto |
| EPI_ISL_18632407 | 12/09/2020 | São José do Rio Preto |
| EPI_ISL_18632408 | 12/09/2020 | São José do Rio Preto |
| EPI_ISL_18632409 | 13/09/2020 | São José do Rio Preto |
| EPI_ISL_18632410 | 13/09/2020 | São José do Rio Preto |
| EPI_ISL_18632411 | 13/09/2020 | São José do Rio Preto |
| EPI_ISL_18632412 | 12/09/2020 | São José do Rio Preto |
| EPI_ISL_18632413 | 12/09/2020 | São José do Rio Preto |
| EPI_ISL_18632414 | 14/09/2020 | São José do Rio Preto |
| EPI_ISL_18632415 | 14/09/2020 | São José do Rio Preto |
| EPI_ISL_18632416 | 14/09/2020 | São José do Rio Preto |
| EPI_ISL_18632417 | 14/09/2020 | São José do Rio Preto |
| EPI_ISL_18632418 | 14/09/2020 | São José do Rio Preto |
| EPI_ISL_18632419 | 14/09/2020 | São José do Rio Preto |
| EPI_ISL_18632420 | 14/09/2020 | São José do Rio Preto |

| | | |
|------------------|------------|-----------------------|
| EPI_ISL_18632421 | 16/09/2020 | São José do Rio Preto |
| EPI_ISL_18632422 | 17/09/2020 | São José do Rio Preto |
| EPI_ISL_18632423 | 17/09/2020 | São José do Rio Preto |
| EPI_ISL_18632424 | 17/09/2020 | São José do Rio Preto |
| EPI_ISL_18632425 | 18/09/2020 | São José do Rio Preto |
| EPI_ISL_18632426 | 18/09/2020 | São José do Rio Preto |
| EPI_ISL_18632427 | 19/09/2020 | São José do Rio Preto |
| EPI_ISL_18632428 | 19/09/2020 | São José do Rio Preto |
| EPI_ISL_18632429 | 20/09/2020 | São José do Rio Preto |
| EPI_ISL_18632430 | 20/09/2020 | São José do Rio Preto |
| EPI_ISL_18632431 | 20/09/2020 | São José do Rio Preto |
| EPI_ISL_18632432 | 21/09/2020 | São José do Rio Preto |
| EPI_ISL_18632433 | 21/09/2020 | São José do Rio Preto |
| EPI_ISL_18632434 | 21/09/2020 | São José do Rio Preto |
| EPI_ISL_18632435 | 21/09/2020 | São José do Rio Preto |
| EPI_ISL_18632436 | 21/09/2020 | São José do Rio Preto |
| EPI_ISL_18632437 | 21/09/2020 | São José do Rio Preto |
| EPI_ISL_18632438 | 21/09/2020 | São José do Rio Preto |
| EPI_ISL_18632439 | 21/09/2020 | São José do Rio Preto |
| EPI_ISL_18632440 | 23/09/2020 | São José do Rio Preto |
| EPI_ISL_18632441 | 22/09/2020 | São José do Rio Preto |
| EPI_ISL_18632442 | 22/09/2020 | São José do Rio Preto |
| EPI_ISL_18632443 | 22/09/2020 | São José do Rio Preto |
| EPI_ISL_18632444 | 23/09/2020 | São José do Rio Preto |

| | | |
|------------------|------------|-----------------------|
| EPI_ISL_18632445 | 24/09/2020 | São José do Rio Preto |
| EPI_ISL_18632446 | 23/09/2020 | São José do Rio Preto |
| EPI_ISL_18632447 | 23/09/2020 | São José do Rio Preto |
| EPI_ISL_18632448 | 23/09/2020 | São José do Rio Preto |
| EPI_ISL_18632449 | 23/09/2020 | São José do Rio Preto |
| EPI_ISL_18632450 | 02/10/2020 | São José do Rio Preto |
| EPI_ISL_18632451 | 02/10/2020 | São José do Rio Preto |
| EPI_ISL_18632452 | 02/10/2020 | São José do Rio Preto |
| EPI_ISL_18632453 | 05/10/2020 | São José do Rio Preto |
| EPI_ISL_18632454 | 05/10/2020 | São José do Rio Preto |
| EPI_ISL_18632455 | 05/10/2020 | São José do Rio Preto |
| EPI_ISL_18632456 | 05/10/2020 | São José do Rio Preto |
| EPI_ISL_18632457 | 05/10/2020 | São José do Rio Preto |
| EPI_ISL_18632458 | 08/10/2020 | São José do Rio Preto |
| EPI_ISL_18632459 | 05/10/2020 | São José do Rio Preto |
| EPI_ISL_18632460 | 06/10/2020 | São José do Rio Preto |
| EPI_ISL_18632461 | 07/10/2020 | São José do Rio Preto |
| EPI_ISL_18632462 | 07/10/2020 | São José do Rio Preto |
| EPI_ISL_18632463 | 07/10/2020 | São José do Rio Preto |
| EPI_ISL_18632464 | 08/10/2020 | São José do Rio Preto |
| EPI_ISL_18632465 | 08/10/2020 | São José do Rio Preto |
| EPI_ISL_18632466 | 09/10/2020 | São José do Rio Preto |
| EPI_ISL_18632467 | 09/10/2020 | São José do Rio Preto |
| EPI_ISL_18632468 | 09/10/2020 | São José do Rio Preto |

| | | |
|------------------|------------|-----------------------|
| EPI_ISL_18632469 | 09/10/2020 | São José do Rio Preto |
| EPI_ISL_18632470 | 09/10/2020 | São José do Rio Preto |
| EPI_ISL_18632471 | 11/10/2020 | São José do Rio Preto |
| EPI_ISL_18632472 | 11/10/2020 | São José do Rio Preto |
| EPI_ISL_18632473 | 12/10/2020 | São José do Rio Preto |
| EPI_ISL_18632474 | 11/10/2020 | São José do Rio Preto |
| EPI_ISL_18632475 | 11/10/2020 | São José do Rio Preto |
| EPI_ISL_18632476 | 12/10/2020 | São José do Rio Preto |
| EPI_ISL_18632477 | 12/10/2020 | São José do Rio Preto |
| EPI_ISL_18632478 | 12/10/2020 | São José do Rio Preto |
| EPI_ISL_18632479 | 12/10/2020 | São José do Rio Preto |
| EPI_ISL_18632480 | 14/10/2020 | São José do Rio Preto |
| EPI_ISL_18632481 | 13/10/2020 | São José do Rio Preto |
| EPI_ISL_18632482 | 08/10/2020 | São José do Rio Preto |
| EPI_ISL_18632483 | 13/10/2020 | São José do Rio Preto |
| EPI_ISL_18632484 | 13/10/2020 | São José do Rio Preto |
| EPI_ISL_18632485 | 13/10/2020 | São José do Rio Preto |
| EPI_ISL_18632486 | 27/10/2020 | São José do Rio Preto |
| EPI_ISL_18632487 | 13/10/2020 | São José do Rio Preto |
| EPI_ISL_18632488 | 13/10/2020 | São José do Rio Preto |
| EPI_ISL_18632489 | 15/10/2020 | São José do Rio Preto |
| EPI_ISL_18632490 | 15/10/2020 | São José do Rio Preto |
| EPI_ISL_18632491 | 15/10/2020 | São José do Rio Preto |
| EPI_ISL_18632492 | 16/10/2020 | São José do Rio Preto |

| | | |
|------------------|------------|-----------------------|
| EPI_ISL_18632493 | 16/10/2020 | São José do Rio Preto |
| EPI_ISL_18632494 | 16/10/2020 | São José do Rio Preto |
| EPI_ISL_18632495 | 17/10/2020 | São José do Rio Preto |
| EPI_ISL_18632496 | 16/10/2020 | São José do Rio Preto |
| EPI_ISL_18632497 | 18/10/2020 | São José do Rio Preto |
| EPI_ISL_18632498 | 17/10/2020 | São José do Rio Preto |
| EPI_ISL_18632499 | 17/10/2020 | São José do Rio Preto |
| EPI_ISL_18632500 | 18/10/2020 | São José do Rio Preto |
| EPI_ISL_18632501 | 20/10/2020 | São José do Rio Preto |
| EPI_ISL_18632502 | 19/10/2020 | São José do Rio Preto |
| EPI_ISL_18632503 | 19/10/2020 | São José do Rio Preto |
| EPI_ISL_18632504 | 19/10/2020 | São José do Rio Preto |
| EPI_ISL_18632505 | 19/10/2020 | São José do Rio Preto |
| EPI_ISL_18632506 | 19/10/2020 | São José do Rio Preto |
| EPI_ISL_18632507 | 20/10/2020 | São José do Rio Preto |
| EPI_ISL_18632508 | 20/10/2020 | São José do Rio Preto |
| EPI_ISL_18632509 | 20/10/2020 | São José do Rio Preto |
| EPI_ISL_18632510 | 20/10/2020 | São José do Rio Preto |
| EPI_ISL_18632511 | 21/10/2020 | São José do Rio Preto |
| EPI_ISL_18632512 | 21/10/2020 | São José do Rio Preto |
| EPI_ISL_18632513 | 21/10/2020 | São José do Rio Preto |
| EPI_ISL_18632514 | 21/10/2020 | São José do Rio Preto |
| EPI_ISL_18637331 | 23/10/2020 | São José do Rio Preto |
| EPI_ISL_18632515 | 23/10/2020 | São José do Rio Preto |

| | | |
|------------------|------------|-----------------------|
| EPI_ISL_18632516 | 23/10/2020 | São José do Rio Preto |
| EPI_ISL_18632517 | 23/10/2020 | São José do Rio Preto |
| EPI_ISL_18632518 | 23/10/2020 | São José do Rio Preto |
| EPI_ISL_18632519 | 25/10/2020 | São José do Rio Preto |
| EPI_ISL_18632520 | 27/10/2020 | São José do Rio Preto |
| EPI_ISL_18632521 | 26/10/2020 | São José do Rio Preto |
| EPI_ISL_18632522 | 26/10/2020 | São José do Rio Preto |
| EPI_ISL_18632523 | 26/10/2020 | São José do Rio Preto |
| EPI_ISL_18632524 | 26/10/2020 | São José do Rio Preto |
| EPI_ISL_18632525 | 26/10/2020 | São José do Rio Preto |
| EPI_ISL_18632526 | 26/10/2020 | São José do Rio Preto |
| EPI_ISL_18632527 | 27/10/2020 | São José do Rio Preto |
| EPI_ISL_18632528 | 27/10/2020 | São José do Rio Preto |
| EPI_ISL_18632530 | 28/10/2020 | São José do Rio Preto |
| EPI_ISL_18632531 | 29/10/2020 | São José do Rio Preto |
| EPI_ISL_18632532 | 30/10/2020 | São José do Rio Preto |
| EPI_ISL_18632533 | 30/10/2020 | São José do Rio Preto |
| EPI_ISL_18632534 | 01/11/2020 | São José do Rio Preto |
| EPI_ISL_18632535 | 01/11/2020 | São José do Rio Preto |
| EPI_ISL_18632536 | 01/11/2020 | São José do Rio Preto |
| EPI_ISL_18632537 | 02/11/2020 | São José do Rio Preto |
| EPI_ISL_18632538 | 02/11/2020 | São José do Rio Preto |
| EPI_ISL_18632539 | 03/11/2020 | São José do Rio Preto |
| EPI_ISL_18632540 | 04/11/2020 | São José do Rio Preto |

| | | |
|------------------|------------|-----------------------|
| EPI_ISL_18632541 | 04/11/2020 | São José do Rio Preto |
| EPI_ISL_18632542 | 04/11/2020 | São José do Rio Preto |
| EPI_ISL_18632543 | 04/11/2020 | São José do Rio Preto |
| EPI_ISL_18632544 | 05/11/2020 | São José do Rio Preto |
| EPI_ISL_18632545 | 17/11/2020 | São José do Rio Preto |
| EPI_ISL_18632546 | 05/11/2020 | São José do Rio Preto |
| EPI_ISL_18632548 | 11/11/2020 | São José do Rio Preto |
| EPI_ISL_18632549 | 11/11/2020 | São José do Rio Preto |
| EPI_ISL_18632550 | 11/11/2020 | São José do Rio Preto |
| EPI_ISL_18632551 | 11/11/2020 | São José do Rio Preto |
| EPI_ISL_18632552 | 11/11/2020 | São José do Rio Preto |
| EPI_ISL_18632553 | 12/11/2020 | São José do Rio Preto |
| EPI_ISL_18632554 | 12/11/2020 | São José do Rio Preto |
| EPI_ISL_18632555 | 13/11/2020 | São José do Rio Preto |
| EPI_ISL_18632556 | 13/11/2020 | São José do Rio Preto |
| EPI_ISL_18632557 | 13/11/2020 | São José do Rio Preto |
| EPI_ISL_18632558 | 15/11/2020 | São José do Rio Preto |
| EPI_ISL_18632559 | 15/11/2020 | São José do Rio Preto |
| EPI_ISL_18632560 | 14/11/2020 | São José do Rio Preto |
| EPI_ISL_18632561 | 15/11/2020 | São José do Rio Preto |
| EPI_ISL_18632562 | 15/11/2020 | São José do Rio Preto |
| EPI_ISL_18632563 | 16/11/2020 | São José do Rio Preto |
| EPI_ISL_18632564 | 16/11/2020 | São José do Rio Preto |
| EPI_ISL_18632565 | 13/10/2020 | São José do Rio Preto |

| | | |
|------------------|------------|-----------------------|
| EPI_ISL_18632566 | 16/11/2020 | São José do Rio Preto |
| EPI_ISL_18632567 | 17/11/2020 | São José do Rio Preto |
| EPI_ISL_18632568 | 17/11/2020 | São José do Rio Preto |
| EPI_ISL_18632569 | 18/11/2020 | São José do Rio Preto |
| EPI_ISL_18632570 | 18/11/2020 | São José do Rio Preto |
| EPI_ISL_18632571 | 18/11/2020 | São José do Rio Preto |
| EPI_ISL_18632572 | 18/11/2020 | São José do Rio Preto |
| EPI_ISL_18632573 | 18/11/2020 | São José do Rio Preto |
| EPI_ISL_18632574 | 18/11/2020 | São José do Rio Preto |
| EPI_ISL_18632575 | 18/11/2020 | São José do Rio Preto |
| EPI_ISL_18632576 | 18/11/2020 | São José do Rio Preto |
| EPI_ISL_18632577 | 20/11/2020 | São José do Rio Preto |
| EPI_ISL_18632578 | 20/11/2020 | São José do Rio Preto |
| EPI_ISL_18632579 | 20/11/2020 | São José do Rio Preto |
| EPI_ISL_18632580 | 20/11/2020 | São José do Rio Preto |
| EPI_ISL_18632581 | 20/11/2020 | São José do Rio Preto |
| EPI_ISL_18632582 | 20/11/2020 | São José do Rio Preto |
| EPI_ISL_18632584 | 22/11/2020 | São José do Rio Preto |
| EPI_ISL_18632585 | 21/11/2020 | São José do Rio Preto |
| EPI_ISL_18632586 | 21/11/2020 | São José do Rio Preto |
| EPI_ISL_18632587 | 22/11/2020 | São José do Rio Preto |
| EPI_ISL_18632588 | 22/11/2020 | São José do Rio Preto |
| EPI_ISL_18632589 | 23/11/2020 | São José do Rio Preto |
| EPI_ISL_18632590 | 23/11/2020 | São José do Rio Preto |

| | | |
|------------------|------------|-----------------------|
| EPI_ISL_18632591 | 23/11/2020 | São José do Rio Preto |
| EPI_ISL_18632592 | 23/11/2020 | São José do Rio Preto |
| EPI_ISL_16224955 | 14/08/2020 | São José do Rio Preto |
| EPI_ISL_2008936 | 24/11/2020 | São José do Rio Preto |
| EPI_ISL_2008937 | 31/12/2020 | São José do Rio Preto |
| EPI_ISL_2008942 | 09/11/2020 | São José do Rio Preto |
| EPI_ISL_2008943 | 09/11/2020 | São José do Rio Preto |
| EPI_ISL_2107299 | 09/11/2020 | São José do Rio Preto |
| EPI_ISL_2107300 | 24/11/2020 | São José do Rio Preto |
| EPI_ISL_2344289 | 27/11/2020 | São José do Rio Preto |
| EPI_ISL_2344321 | 16/11/2020 | São José do Rio Preto |
| EPI_ISL_2344382 | 11/11/2020 | São José do Rio Preto |
| EPI_ISL_2544877 | 09/11/2020 | São José do Rio Preto |
| EPI_ISL_2544878 | 16/11/2020 | São José do Rio Preto |
| EPI_ISL_2544879 | 16/11/2020 | São José do Rio Preto |
| EPI_ISL_2544880 | 16/11/2020 | São José do Rio Preto |
| EPI_ISL_2544881 | 16/11/2020 | São José do Rio Preto |
| EPI_ISL_2544882 | 20/11/2020 | São José do Rio Preto |
| EPI_ISL_2544883 | 20/11/2020 | São José do Rio Preto |
| EPI_ISL_2544884 | 20/11/2020 | São José do Rio Preto |
| EPI_ISL_2544885 | 20/11/2020 | São José do Rio Preto |
| EPI_ISL_2544886 | 20/11/2020 | São José do Rio Preto |
| EPI_ISL_2544887 | 20/11/2020 | São José do Rio Preto |
| EPI_ISL_2544888 | 20/11/2020 | São José do Rio Preto |

| | | |
|-----------------|------------|-----------------------|
| EPI_ISL_2544890 | 21/11/2020 | São José do Rio Preto |
| EPI_ISL_2544892 | 21/11/2020 | São José do Rio Preto |
| EPI_ISL_2544893 | 24/11/2020 | São José do Rio Preto |
| EPI_ISL_2544895 | 24/11/2020 | São José do Rio Preto |
| EPI_ISL_2544896 | 24/11/2020 | São José do Rio Preto |
| EPI_ISL_2544897 | 24/11/2020 | São José do Rio Preto |
| EPI_ISL_2544898 | 24/11/2020 | São José do Rio Preto |
| EPI_ISL_3048947 | 03/10/2020 | São José do Rio Preto |
| EPI_ISL_3048948 | 05/10/2020 | São José do Rio Preto |
| EPI_ISL_3048949 | 09/10/2020 | São José do Rio Preto |
| EPI_ISL_3048950 | 10/10/2020 | São José do Rio Preto |
| EPI_ISL_3048951 | 17/10/2020 | São José do Rio Preto |
| EPI_ISL_3048952 | 17/10/2020 | São José do Rio Preto |
| EPI_ISL_3048953 | 22/10/2020 | São José do Rio Preto |
| EPI_ISL_413016 | 28/02/2020 | São Paulo |
| EPI_ISL_402124 | 31/12/2019 | Wuhan |

Tabela 2. Dataset utilizado na análise filogenética de Zeta.

| ID de acesso GISAID | Data de coleta | Local |
|---------------------|----------------|-------------|
| EPI_ISL_12402053 | 09/12/2020 | Salvador |
| EPI_ISL_2241499 | 18/12/2020 | João Pessoa |
| EPI_ISL_2241530 | 21/12/2020 | Recife |
| EPI_ISL_1499299 | 02/11/2020 | Belém |
| EPI_ISL_2245070 | 17/12/2020 | Macapá |

| | | |
|------------------|------------|----------------|
| EPI_ISL_2248776 | 21/12/2020 | São Luís |
| EPI_ISL_2614114 | 21/12/2020 | Rio de Janeiro |
| EPI_ISL_2614126 | 28/12/2020 | Rio de Janeiro |
| EPI_ISL_2614383 | 09/12/2020 | Rio de Janeiro |
| EPI_ISL_2629610 | 11/12/2020 | Rio de Janeiro |
| EPI_ISL_2629628 | 17/12/2020 | Rio de Janeiro |
| EPI_ISL_3190290 | 01/12/2020 | Rio de Janeiro |
| EPI_ISL_3190287 | 25/11/2020 | Rio de Janeiro |
| EPI_ISL_3190292 | 03/12/2020 | Rio de Janeiro |
| EPI_ISL_3190295 | 28/12/2020 | Rio de Janeiro |
| EPI_ISL_3190288 | 01/12/2020 | Rio de Janeiro |
| EPI_ISL_2248775 | 20/12/2020 | São Luís |
| EPI_ISL_1239126 | 18/12/2020 | Vitória |
| EPI_ISL_1239115 | 27/12/2020 | Vitória |
| EPI_ISL_11356603 | 22/12/2020 | Belém |
| EPI_ISL_717953 | 04/11/2020 | Rio de Janeiro |
| EPI_ISL_13131776 | 14/12/2020 | Salvador |
| EPI_ISL_1068223 | 21/12/2020 | Manaus |
| EPI_ISL_13229344 | 30/12/2020 | Salvador |
| EPI_ISL_2308418 | 23/11/2020 | Maceió |
| EPI_ISL_2308422 | 06/12/2020 | Maceió |
| EPI_ISL_3434808 | 31/12/2020 | Maceió |
| EPI_ISL_3434812 | 09/12/2020 | Maceió |
| EPI_ISL_3434807 | 26/12/2020 | Maceió |

| | | |
|------------------|------------|----------------|
| EPI_ISL_2344275 | 17/11/2020 | Curitiba |
| EPI_ISL_2344236 | 10/12/2020 | Curitiba |
| EPI_ISL_833161 | 26/11/2020 | São Paulo |
| EPI_ISL_13833484 | 11/09/2020 | Vitória |
| EPI_ISL_13833485 | 03/11/2020 | Vitória |
| EPI_ISL_717951 | 04/11/2020 | Rio de Janeiro |
| EPI_ISL_2645646 | 30/12/2020 | Maceió |
| EPI_ISL_12173804 | 15/12/2020 | Salvador |
| EPI_ISL_12173811 | 08/12/2020 | Salvador |
| EPI_ISL_12173810 | 15/12/2020 | Salvador |
| EPI_ISL_12173817 | 15/12/2020 | Salvador |
| EPI_ISL_12173823 | 15/12/2020 | Salvador |
| EPI_ISL_2677266 | 12/12/2020 | Florianópolis |
| EPI_ISL_2677276 | 26/12/2020 | Florianópolis |
| EPI_ISL_2677297 | 16/12/2020 | Florianópolis |
| EPI_ISL_2157575 | 16/12/2020 | Rio de Janeiro |
| EPI_ISL_6208349 | 02/11/2020 | Rio de Janeiro |
| EPI_ISL_6208348 | 30/10/2020 | Rio de Janeiro |
| EPI_ISL_717922 | 29/10/2020 | Rio de Janeiro |
| EPI_ISL_2245086 | 31/12/2020 | São Luís |
| EPI_ISL_2245071 | 26/12/2020 | Macapá |
| EPI_ISL_2245072 | 28/12/2020 | Macapá |
| EPI_ISL_2245067 | 05/12/2020 | Macapá |
| EPI_ISL_2245068 | 05/12/2020 | Macapá |

| | | |
|-----------------|------------|----------------|
| EPI_ISL_2245065 | 19/11/2020 | Macapá |
| EPI_ISL_2245066 | 19/11/2020 | Macapá |
| EPI_ISL_2248784 | 22/11/2020 | Macapá |
| EPI_ISL_2248786 | 15/12/2020 | Macapá |
| EPI_ISL_2308408 | 02/12/2020 | Maceió |
| EPI_ISL_2308440 | 22/12/2020 | Maceió |
| EPI_ISL_2308431 | 01/12/2020 | Maceió |
| EPI_ISL_2308435 | 29/11/2020 | Maceió |
| EPI_ISL_2308425 | 14/12/2020 | Maceió |
| EPI_ISL_2308419 | 23/11/2020 | Maceió |
| EPI_ISL_2344251 | 04/12/2020 | Campo Grande |
| EPI_ISL_2344273 | 26/09/2020 | Curitiba |
| EPI_ISL_2344237 | 29/12/2020 | Cuiabá |
| EPI_ISL_2344235 | 22/10/2020 | Curitiba |
| EPI_ISL_2344234 | 15/12/2020 | Campo Grande |
| EPI_ISL_2344246 | 12/12/2020 | São Paulo |
| EPI_ISL_2344425 | 01/09/2020 | Curitiba |
| EPI_ISL_2344440 | 04/12/2020 | Curitiba |
| EPI_ISL_2344461 | 01/12/2020 | Porto Alegre |
| EPI_ISL_2443608 | 26/10/2020 | Rio de Janeiro |
| EPI_ISL_2443669 | 18/12/2020 | Rio de Janeiro |
| EPI_ISL_2443668 | 14/12/2020 | Rio de Janeiro |
| EPI_ISL_2443667 | 08/12/2020 | Rio de Janeiro |
| EPI_ISL_2443666 | 04/12/2020 | Rio de Janeiro |

| | | |
|-----------------|------------|----------------|
| EPI_ISL_2443663 | 19/11/2020 | Rio de Janeiro |
| EPI_ISL_2443633 | 09/11/2020 | Rio de Janeiro |
| EPI_ISL_2443670 | 28/12/2020 | Rio de Janeiro |
| EPI_ISL_2443674 | 14/11/2020 | Porto Alegre |
| EPI_ISL_2466123 | 02/12/2020 | Rio de Janeiro |
| EPI_ISL_2466122 | 10/12/2020 | Rio de Janeiro |
| EPI_ISL_717932 | 29/10/2020 | Rio de Janeiro |
| EPI_ISL_2491720 | 15/12/2020 | Salvador |
| EPI_ISL_2491752 | 26/10/2020 | Salvador |
| EPI_ISL_2491764 | 15/12/2020 | Salvador |
| EPI_ISL_2491766 | 09/12/2020 | Salvador |
| EPI_ISL_2491765 | 09/12/2020 | Salvador |
| EPI_ISL_2491719 | 14/12/2020 | Salvador |
| EPI_ISL_7455335 | 05/11/2020 | Rio de Janeiro |
| EPI_ISL_2308448 | 07/12/2020 | Maceió |
| EPI_ISL_717923 | 05/11/2020 | Rio de Janeiro |
| EPI_ISL_717925 | 09/10/2020 | Rio de Janeiro |
| EPI_ISL_717927 | 27/10/2020 | Rio de Janeiro |
| EPI_ISL_717931 | 27/10/2020 | Rio de Janeiro |
| EPI_ISL_717934 | 29/10/2020 | Rio de Janeiro |
| EPI_ISL_717936 | 29/10/2020 | Rio de Janeiro |
| EPI_ISL_717935 | 29/10/2020 | Rio de Janeiro |
| EPI_ISL_717942 | 03/11/2020 | Rio de Janeiro |
| EPI_ISL_717944 | 03/11/2020 | Rio de Janeiro |

| | | |
|-----------------|------------|----------------|
| EPI_ISL_717947 | 03/11/2020 | Rio de Janeiro |
| EPI_ISL_717946 | 03/11/2020 | Rio de Janeiro |
| EPI_ISL_717949 | 03/11/2020 | Rio de Janeiro |
| EPI_ISL_717948 | 03/11/2020 | Rio de Janeiro |
| EPI_ISL_717939 | 29/10/2020 | Rio de Janeiro |
| EPI_ISL_717950 | 03/11/2020 | Rio de Janeiro |
| EPI_ISL_717952 | 04/11/2020 | Rio de Janeiro |
| EPI_ISL_717954 | 04/11/2020 | Rio de Janeiro |
| EPI_ISL_717956 | 05/11/2020 | Rio de Janeiro |
| EPI_ISL_792562 | 13/10/2020 | João Pessoa |
| EPI_ISL_792639 | 21/11/2020 | Maceió |
| EPI_ISL_792642 | 04/12/2020 | Maceió |
| EPI_ISL_2344428 | 18/12/2020 | Curitiba |
| EPI_ISL_2344456 | 19/11/2020 | Curitiba |
| EPI_ISL_2344460 | 10/12/2020 | Porto Alegre |
| EPI_ISL_861677 | 23/12/2020 | São Paulo |
| EPI_ISL_861676 | 23/12/2020 | São Paulo |
| EPI_ISL_943610 | 18/11/2020 | Porto Alegre |
| EPI_ISL_944090 | 18/11/2020 | Porto Alegre |
| EPI_ISL_1060922 | 31/12/2020 | Manaus |
| EPI_ISL_1060923 | 15/12/2020 | Manaus |
| EPI_ISL_1060917 | 21/12/2020 | Manaus |
| EPI_ISL_1060919 | 23/12/2020 | Manaus |
| EPI_ISL_1060886 | 22/12/2020 | Manaus |

| | | |
|-----------------|------------|----------------|
| EPI_ISL_1061032 | 16/12/2020 | Manaus |
| EPI_ISL_1068115 | 28/12/2020 | Manaus |
| EPI_ISL_1068153 | 23/12/2020 | Manaus |
| EPI_ISL_1068145 | 09/12/2020 | Manaus |
| EPI_ISL_2603497 | 29/10/2020 | Rio de Janeiro |
| EPI_ISL_2603490 | 28/12/2020 | Rio de Janeiro |
| EPI_ISL_2603485 | 28/12/2020 | Rio de Janeiro |
| EPI_ISL_2603481 | 29/12/2020 | Rio de Janeiro |
| EPI_ISL_2603483 | 28/12/2020 | Rio de Janeiro |
| EPI_ISL_2603484 | 28/12/2020 | Rio de Janeiro |
| EPI_ISL_2603480 | 29/12/2020 | Rio de Janeiro |
| EPI_ISL_2603478 | 30/12/2020 | Rio de Janeiro |
| EPI_ISL_2614513 | 26/12/2020 | São Paulo |
| EPI_ISL_2614382 | 09/12/2020 | Rio de Janeiro |
| EPI_ISL_2614070 | 21/12/2020 | Rio de Janeiro |
| EPI_ISL_2614098 | 02/11/2020 | Rio de Janeiro |
| EPI_ISL_2614096 | 30/10/2020 | Rio de Janeiro |
| EPI_ISL_2614102 | 06/11/2020 | Rio de Janeiro |
| EPI_ISL_2614100 | 05/11/2020 | Rio de Janeiro |
| EPI_ISL_2614106 | 03/12/2020 | Rio de Janeiro |
| EPI_ISL_2614109 | 18/12/2020 | Rio de Janeiro |
| EPI_ISL_2614108 | 16/12/2020 | Rio de Janeiro |
| EPI_ISL_2614110 | 18/12/2020 | Rio de Janeiro |
| EPI_ISL_2614113 | 21/12/2020 | Rio de Janeiro |

| | | |
|-----------------|------------|----------------|
| EPI_ISL_2614112 | 21/12/2020 | Rio de Janeiro |
| EPI_ISL_2614111 | 21/12/2020 | Rio de Janeiro |
| EPI_ISL_2614118 | 23/12/2020 | Rio de Janeiro |
| EPI_ISL_2614117 | 23/12/2020 | Rio de Janeiro |
| EPI_ISL_2614116 | 22/12/2020 | Rio de Janeiro |
| EPI_ISL_2614119 | 23/12/2020 | Rio de Janeiro |
| EPI_ISL_2614125 | 28/12/2020 | Rio de Janeiro |
| EPI_ISL_2614123 | 28/12/2020 | Rio de Janeiro |
| EPI_ISL_2614128 | 28/12/2020 | Rio de Janeiro |
| EPI_ISL_2614127 | 28/12/2020 | Rio de Janeiro |
| EPI_ISL_2614131 | 30/12/2020 | Rio de Janeiro |
| EPI_ISL_2614130 | 30/12/2020 | Rio de Janeiro |
| EPI_ISL_1213456 | 03/12/2020 | João Pessoa |
| EPI_ISL_1239133 | 28/12/2020 | Vitória |
| EPI_ISL_2443664 | 19/11/2020 | Rio de Janeiro |
| EPI_ISL_2629597 | 11/12/2020 | Rio de Janeiro |
| EPI_ISL_2629639 | 18/12/2020 | Rio de Janeiro |
| EPI_ISL_2629637 | 18/12/2020 | Rio de Janeiro |
| EPI_ISL_2629636 | 18/12/2020 | Rio de Janeiro |
| EPI_ISL_2629633 | 18/12/2020 | Rio de Janeiro |
| EPI_ISL_2629641 | 18/12/2020 | Rio de Janeiro |
| EPI_ISL_2629604 | 11/12/2020 | Rio de Janeiro |
| EPI_ISL_2629609 | 11/12/2020 | Rio de Janeiro |
| EPI_ISL_2629601 | 11/12/2020 | Rio de Janeiro |

| | | |
|-----------------|------------|----------------|
| EPI_ISL_2629623 | 24/12/2020 | Rio de Janeiro |
| EPI_ISL_2629622 | 15/12/2020 | Rio de Janeiro |
| EPI_ISL_2645641 | 29/12/2020 | Maceió |
| EPI_ISL_2645635 | 04/12/2020 | Maceió |
| EPI_ISL_2645576 | 08/12/2020 | Vitória |
| EPI_ISL_2661897 | 26/12/2020 | Fortaleza |
| EPI_ISL_2661900 | 28/12/2020 | Fortaleza |
| EPI_ISL_2661821 | 16/11/2020 | Porto Alegre |
| EPI_ISL_2677281 | 26/12/2020 | Florianópolis |
| EPI_ISL_2677283 | 28/12/2020 | Florianópolis |
| EPI_ISL_2677282 | 28/12/2020 | Florianópolis |
| EPI_ISL_2677270 | 22/12/2020 | Florianópolis |
| EPI_ISL_2677272 | 27/12/2020 | Florianópolis |
| EPI_ISL_2677273 | 28/12/2020 | Florianópolis |
| EPI_ISL_2677277 | 26/12/2020 | Florianópolis |
| EPI_ISL_2677260 | 24/12/2020 | Florianópolis |
| EPI_ISL_2677263 | 31/12/2020 | Florianópolis |
| EPI_ISL_2677262 | 31/12/2020 | Florianópolis |
| EPI_ISL_2677265 | 24/12/2020 | Florianópolis |
| EPI_ISL_2677264 | 29/12/2020 | Florianópolis |
| EPI_ISL_2677267 | 28/12/2020 | Florianópolis |
| EPI_ISL_2677269 | 28/12/2020 | Florianópolis |
| EPI_ISL_2677268 | 24/12/2020 | Florianópolis |
| EPI_ISL_2677258 | 31/12/2020 | Florianópolis |

| | | |
|-----------------|------------|----------------|
| EPI_ISL_2677257 | 30/12/2020 | Florianópolis |
| EPI_ISL_2677259 | 26/12/2020 | Florianópolis |
| EPI_ISL_2677233 | 04/11/2020 | Florianópolis |
| EPI_ISL_2677302 | 28/12/2020 | Florianópolis |
| EPI_ISL_2677301 | 29/12/2020 | Florianópolis |
| EPI_ISL_2677304 | 29/12/2020 | Florianópolis |
| EPI_ISL_2677303 | 28/12/2020 | Florianópolis |
| EPI_ISL_2677306 | 29/12/2020 | Florianópolis |
| EPI_ISL_2677305 | 30/12/2020 | Florianópolis |
| EPI_ISL_2677140 | 20/11/2020 | Florianópolis |
| EPI_ISL_2777369 | 26/11/2020 | Manaus |
| EPI_ISL_2777361 | 03/12/2020 | Manaus |
| EPI_ISL_2777379 | 23/12/2020 | Manaus |
| EPI_ISL_2777386 | 23/12/2020 | Manaus |
| EPI_ISL_2603482 | 29/12/2020 | Rio de Janeiro |
| EPI_ISL_2603486 | 28/12/2020 | Rio de Janeiro |
| EPI_ISL_2603492 | 09/11/2020 | Rio de Janeiro |
| EPI_ISL_2603496 | 29/10/2020 | Rio de Janeiro |
| EPI_ISL_2603491 | 23/12/2020 | Rio de Janeiro |
| EPI_ISL_2614071 | 27/12/2020 | Rio de Janeiro |
| EPI_ISL_2614129 | 29/12/2020 | Rio de Janeiro |
| EPI_ISL_2614107 | 11/12/2020 | Rio de Janeiro |
| EPI_ISL_2614120 | 27/12/2020 | Rio de Janeiro |
| EPI_ISL_2614121 | 27/12/2020 | Rio de Janeiro |

| | | |
|------------------|------------|----------------|
| EPI_ISL_2629598 | 11/12/2020 | Rio de Janeiro |
| EPI_ISL_2629606 | 11/12/2020 | Rio de Janeiro |
| EPI_ISL_2629607 | 11/12/2020 | Rio de Janeiro |
| EPI_ISL_2629620 | 14/12/2020 | Rio de Janeiro |
| EPI_ISL_2629647 | 21/12/2020 | Rio de Janeiro |
| EPI_ISL_2629650 | 22/12/2020 | Rio de Janeiro |
| EPI_ISL_2629638 | 18/12/2020 | Rio de Janeiro |
| EPI_ISL_2629648 | 21/12/2020 | Rio de Janeiro |
| EPI_ISL_2629649 | 22/12/2020 | Rio de Janeiro |
| EPI_ISL_2629651 | 23/12/2020 | Rio de Janeiro |
| EPI_ISL_12402023 | 18/12/2020 | Salvador |
| EPI_ISL_2645640 | 29/12/2020 | Maceió |
| EPI_ISL_2614543 | 29/05/2020 | São Paulo |
| EPI_ISL_2645573 | 18/12/2020 | Vitória |
| EPI_ISL_2645636 | 25/12/2020 | Maceió |
| EPI_ISL_2645643 | 17/12/2020 | Maceió |
| EPI_ISL_2645644 | 15/12/2020 | Maceió |
| EPI_ISL_2645555 | 07/11/2020 | Vitória |
| EPI_ISL_2983311 | 08/12/2020 | São Luís |
| EPI_ISL_2983323 | 28/12/2020 | São Luís |
| EPI_ISL_2983322 | 27/12/2020 | São Luís |
| EPI_ISL_1068108 | 10/12/2020 | Manaus |
| EPI_ISL_2298745 | 23/12/2020 | Fortaleza |
| EPI_ISL_2298760 | 11/12/2020 | Macapá |

| | | |
|------------------|------------|----------------|
| EPI_ISL_3046139 | 05/12/2020 | Recife |
| EPI_ISL_1060891 | 17/12/2020 | Manaus |
| EPI_ISL_1060905 | 23/12/2020 | Manaus |
| EPI_ISL_1060921 | 02/12/2020 | Manaus |
| EPI_ISL_3048837 | 29/12/2020 | Porto Alegre |
| EPI_ISL_3048828 | 11/12/2020 | Porto Alegre |
| EPI_ISL_12402079 | 17/12/2020 | Salvador |
| EPI_ISL_12402088 | 17/12/2020 | Salvador |
| EPI_ISL_12402100 | 22/12/2020 | Salvador |
| EPI_ISL_12402105 | 22/12/2020 | Salvador |
| EPI_ISL_2344253 | 09/10/2020 | Porto Alegre |
| EPI_ISL_2661889 | 17/12/2020 | Fortaleza |
| EPI_ISL_2661803 | 12/12/2020 | Porto Alegre |
| EPI_ISL_2661902 | 28/12/2020 | Fortaleza |
| EPI_ISL_2677280 | 26/12/2020 | Florianópolis |
| EPI_ISL_2677298 | 11/12/2020 | Florianópolis |
| EPI_ISL_2677261 | 28/12/2020 | Florianópolis |
| EPI_ISL_2677295 | 18/12/2020 | Florianópolis |
| EPI_ISL_2677278 | 26/12/2020 | Florianópolis |
| EPI_ISL_2677256 | 22/12/2020 | Florianópolis |
| EPI_ISL_717924 | 29/10/2020 | Rio de Janeiro |
| EPI_ISL_717945 | 03/11/2020 | Rio de Janeiro |
| EPI_ISL_2248785 | 02/12/2020 | Rio de Janeiro |
| EPI_ISL_2241540 | 22/12/2020 | Salvador |

| | | |
|------------------|------------|----------------|
| EPI_ISL_2241525 | 27/11/2020 | João Pessoa |
| EPI_ISL_12173841 | 02/12/2020 | Salvador |
| EPI_ISL_2731468 | 04/12/2020 | Maceió |
| EPI_ISL_6633842 | 21/08/2020 | Campo Grande |
| EPI_ISL_6633748 | 19/11/2020 | Campo Grande |
| EPI_ISL_6633660 | 03/08/2020 | Campo Grande |
| EPI_ISL_6633688 | 09/10/2020 | Campo Grande |
| EPI_ISL_1469782 | 22/10/2020 | Porto Alegre |
| EPI_ISL_1469715 | 22/10/2020 | Porto Alegre |
| EPI_ISL_1499203 | 10/11/2020 | São Paulo |
| EPI_ISL_7743970 | 30/12/2020 | Florianópolis |
| EPI_ISL_7743969 | 29/12/2020 | Florianópolis |
| EPI_ISL_12173852 | 09/12/2020 | Salvador |
| EPI_ISL_2758710 | 13/12/2020 | Curitiba |
| EPI_ISL_8004612 | 16/11/2020 | Rio de Janeiro |
| EPI_ISL_8004613 | 16/11/2020 | Rio de Janeiro |
| EPI_ISL_8004627 | 09/12/2020 | Rio de Janeiro |
| EPI_ISL_8004626 | 08/12/2020 | Rio de Janeiro |
| EPI_ISL_8004619 | 24/11/2020 | Rio de Janeiro |
| EPI_ISL_8004616 | 19/11/2020 | Rio de Janeiro |
| EPI_ISL_8004615 | 17/11/2020 | Rio de Janeiro |
| EPI_ISL_8004618 | 25/11/2020 | Rio de Janeiro |
| EPI_ISL_8004623 | 04/12/2020 | Rio de Janeiro |
| EPI_ISL_8004622 | 04/12/2020 | Rio de Janeiro |

| | | |
|-----------------|------------|----------------|
| EPI_ISL_8004625 | 08/12/2020 | Rio de Janeiro |
| EPI_ISL_8004624 | 08/12/2020 | Rio de Janeiro |
| EPI_ISL_8004620 | 24/11/2020 | Rio de Janeiro |
| EPI_ISL_8005465 | 20/11/2020 | Curitiba |
| EPI_ISL_8005467 | 01/12/2020 | Curitiba |
| EPI_ISL_8005472 | 07/12/2020 | Curitiba |
| EPI_ISL_8005479 | 23/12/2020 | Curitiba |
| EPI_ISL_8005200 | 21/12/2020 | Curitiba |
| EPI_ISL_8005206 | 30/12/2020 | Curitiba |
| EPI_ISL_8005205 | 29/12/2020 | Curitiba |
| EPI_ISL_8005202 | 18/12/2020 | Curitiba |
| EPI_ISL_8005203 | 25/12/2020 | Curitiba |
| EPI_ISL_8005169 | 21/11/2020 | Curitiba |
| EPI_ISL_8005180 | 28/11/2020 | Curitiba |
| EPI_ISL_8005170 | 21/11/2020 | Curitiba |
| EPI_ISL_8005197 | 20/12/2020 | Curitiba |
| EPI_ISL_8005199 | 22/12/2020 | Curitiba |
| EPI_ISL_8005194 | 16/12/2020 | Curitiba |
| EPI_ISL_8005196 | 19/12/2020 | Curitiba |
| EPI_ISL_2777389 | 22/12/2020 | Manaus |
| EPI_ISL_8005160 | 11/11/2020 | Curitiba |
| EPI_ISL_8005161 | 12/11/2020 | Curitiba |
| EPI_ISL_8005164 | 15/11/2020 | Curitiba |
| EPI_ISL_8005189 | 05/12/2020 | Curitiba |

| | | |
|------------------|------------|----------------|
| EPI_ISL_8005168 | 19/11/2020 | Curitiba |
| EPI_ISL_8005188 | 05/12/2020 | Curitiba |
| EPI_ISL_8005163 | 14/11/2020 | Curitiba |
| EPI_ISL_8005171 | 23/11/2020 | Curitiba |
| EPI_ISL_8005172 | 23/11/2020 | Curitiba |
| EPI_ISL_8005175 | 24/11/2020 | Curitiba |
| EPI_ISL_8005157 | 05/11/2020 | Curitiba |
| EPI_ISL_8005178 | 26/11/2020 | Curitiba |
| EPI_ISL_8005478 | 22/12/2020 | Curitiba |
| EPI_ISL_9754679 | 26/10/2020 | Rio de Janeiro |
| EPI_ISL_8005179 | 28/11/2020 | Curitiba |
| EPI_ISL_8005480 | 29/12/2020 | Curitiba |
| EPI_ISL_2645642 | 17/12/2020 | Maceió |
| EPI_ISL_2603488 | 28/12/2020 | Rio de Janeiro |
| EPI_ISL_2661901 | 28/12/2020 | Fortaleza |
| EPI_ISL_2466124 | 27/11/2020 | Rio de Janeiro |
| EPI_ISL_2614105 | 14/11/2020 | Rio de Janeiro |
| EPI_ISL_2614122 | 28/12/2020 | Rio de Janeiro |
| EPI_ISL_2443671 | 28/12/2020 | Rio de Janeiro |
| EPI_ISL_2983313 | 10/12/2020 | São Luís |
| EPI_ISL_8004621 | 03/12/2020 | Rio de Janeiro |
| EPI_ISL_1060878 | 23/12/2020 | Manaus |
| EPI_ISL_2344442 | 05/11/2020 | Rio de Janeiro |
| EPI_ISL_12838758 | 04/12/2020 | Salvador |

| | | |
|------------------|------------|----------------|
| EPI_ISL_12838750 | 07/12/2020 | Salvador |
| EPI_ISL_14253344 | 05/11/2020 | Rio de Janeiro |
| EPI_ISL_14316915 | 16/11/2020 | Rio de Janeiro |
| EPI_ISL_8005463 | 09/11/2020 | Curitiba |
| EPI_ISL_8005181 | 28/11/2020 | Curitiba |
| EPI_ISL_8005464 | 17/11/2020 | Curitiba |
| EPI_ISL_3190291 | 01/12/2020 | Rio de Janeiro |
| EPI_ISL_3190289 | 01/12/2020 | Rio de Janeiro |
| EPI_ISL_8005190 | 05/12/2020 | Curitiba |
| EPI_ISL_7743971 | 30/12/2020 | Florianópolis |
| EPI_ISL_7743968 | 28/12/2020 | Florianópolis |
| EPI_ISL_16893921 | 29/10/2020 | Belém |
| EPI_ISL_16893922 | 12/11/2020 | Belém |
| EPI_ISL_7743972 | 30/12/2020 | Florianópolis |
| EPI_ISL_7743967 | 28/12/2020 | Florianópolis |
| EPI_ISL_2603479 | 29/12/2020 | Rio de Janeiro |
| EPI_ISL_8005192 | 07/12/2020 | Curitiba |
| EPI_ISL_2614097 | 30/10/2020 | Rio de Janeiro |
| EPI_ISL_2614115 | 22/12/2020 | Rio de Janeiro |
| EPI_ISL_2614124 | 28/12/2020 | Rio de Janeiro |
| EPI_ISL_7803800 | 15/10/2020 | Florianópolis |
| EPI_ISL_8005468 | 02/12/2020 | Curitiba |
| EPI_ISL_8005184 | 30/11/2020 | Curitiba |
| EPI_ISL_4675979 | 29/12/2020 | Florianópolis |

| | | |
|------------------|------------|----------------|
| EPI_ISL_12402111 | 23/12/2020 | Salvador |
| EPI_ISL_8005173 | 23/11/2020 | Curitiba |
| EPI_ISL_717930 | 27/10/2020 | Rio de Janeiro |
| EPI_ISL_717943 | 03/11/2020 | Rio de Janeiro |
| EPI_ISL_717928 | 27/10/2020 | Rio de Janeiro |
| EPI_ISL_717941 | 30/10/2020 | Rio de Janeiro |
| EPI_ISL_717933 | 29/10/2020 | Rio de Janeiro |
| EPI_ISL_717955 | 05/11/2020 | Rio de Janeiro |
| EPI_ISL_717957 | 05/11/2020 | Rio de Janeiro |
| EPI_ISL_3369438 | 22/12/2020 | Belém |
| EPI_ISL_1469735 | 22/10/2020 | Porto Alegre |
| EPI_ISL_792560 | 06/11/2020 | Manaus |
| EPI_ISL_2157573 | 03/12/2020 | Rio de Janeiro |
| EPI_ISL_3190283 | 09/11/2020 | Rio de Janeiro |
| EPI_ISL_3190285 | 13/11/2020 | Rio de Janeiro |
| EPI_ISL_6633631 | 09/09/2020 | Campo Grande |
| EPI_ISL_6633694 | 10/07/2020 | Campo Grande |
| EPI_ISL_6633714 | 04/09/2020 | Campo Grande |
| EPI_ISL_6633771 | 09/12/2020 | Campo Grande |
| EPI_ISL_6633732 | 11/12/2020 | Campo Grande |
| EPI_ISL_6633746 | 02/12/2020 | Campo Grande |
| EPI_ISL_3434805 | 10/12/2020 | Maceió |
| EPI_ISL_3434806 | 11/12/2020 | Maceió |
| EPI_ISL_6633701 | 16/11/2020 | Campo Grande |

| | | |
|------------------|------------|-----------------------|
| EPI_ISL_13498034 | 09/11/2020 | Rio Branco |
| EPI_ISL_2677279 | 27/12/2020 | Florianópolis |
| EPI_ISL_2661886 | 15/12/2020 | Fortaleza |
| EPI_ISL_2661878 | 20/11/2020 | Fortaleza |
| EPI_ISL_8005477 | 18/12/2020 | Curitiba |
| EPI_ISL_2677296 | 07/12/2020 | Florianópolis |
| EPI_ISL_18631971 | 25/03/2020 | São José do Rio Preto |
| EPI_ISL_18632020 | 18/05/2020 | São José do Rio Preto |
| EPI_ISL_18632242 | 24/07/2020 | São José do Rio Preto |
| EPI_ISL_18632364 | 31/08/2020 | São José do Rio Preto |
| EPI_ISL_18632394 | 09/09/2020 | São José do Rio Preto |
| EPI_ISL_18637331 | 23/10/2020 | São José do Rio Preto |
| EPI_ISL_18632548 | 11/11/2020 | São José do Rio Preto |
| EPI_ISL_18632555 | 13/11/2020 | São José do Rio Preto |
| EPI_ISL_18632558 | 15/11/2020 | São José do Rio Preto |
| EPI_ISL_18632571 | 18/11/2020 | São José do Rio Preto |
| EPI_ISL_18632591 | 23/11/2020 | São José do Rio Preto |
| EPI_ISL_1785613 | 16/01/2021 | São José do Rio Preto |
| EPI_ISL_2008942 | 09/11/2020 | São José do Rio Preto |
| EPI_ISL_2013854 | 16/01/2021 | São José do Rio Preto |
| EPI_ISL_2156152 | 16/01/2021 | São José do Rio Preto |
| EPI_ISL_2156261 | 16/01/2021 | São José do Rio Preto |
| EPI_ISL_2344289 | 27/11/2020 | São José do Rio Preto |
| EPI_ISL_2344321 | 16/11/2020 | São José do Rio Preto |

| | | |
|------------------|------------|-----------------------|
| EPI_ISL_2344449 | 25/01/2021 | São José do Rio Preto |
| EPI_ISL_2543759 | 16/01/2021 | São José do Rio Preto |
| EPI_ISL_2544839 | 16/01/2021 | São José do Rio Preto |
| EPI_ISL_2544840 | 16/01/2021 | São José do Rio Preto |
| EPI_ISL_2544843 | 16/01/2021 | São José do Rio Preto |
| EPI_ISL_2544844 | 16/01/2021 | São José do Rio Preto |
| EPI_ISL_2544845 | 16/01/2021 | São José do Rio Preto |
| EPI_ISL_2544846 | 16/01/2021 | São José do Rio Preto |
| EPI_ISL_2544847 | 16/01/2021 | São José do Rio Preto |
| EPI_ISL_2544850 | 16/01/2021 | São José do Rio Preto |
| EPI_ISL_2544852 | 16/01/2021 | São José do Rio Preto |
| EPI_ISL_2544861 | 26/01/2021 | São José do Rio Preto |
| EPI_ISL_2544863 | 26/01/2021 | São José do Rio Preto |
| EPI_ISL_2544865 | 26/01/2021 | São José do Rio Preto |
| EPI_ISL_2544866 | 26/01/2021 | São José do Rio Preto |
| EPI_ISL_2544867 | 26/01/2021 | São José do Rio Preto |
| EPI_ISL_2544868 | 26/01/2021 | São José do Rio Preto |
| EPI_ISL_2544869 | 26/01/2021 | São José do Rio Preto |
| EPI_ISL_2544872 | 26/01/2021 | São José do Rio Preto |
| EPI_ISL_2544883 | 20/11/2020 | São José do Rio Preto |
| EPI_ISL_2544886 | 20/11/2020 | São José do Rio Preto |
| EPI_ISL_2544898 | 24/11/2020 | São José do Rio Preto |
| EPI_ISL_1068259 | 04/01/2021 | Manaus |
| EPI_ISL_11396739 | 29/01/2021 | Macapá |

| | | |
|------------------|------------|----------------|
| EPI_ISL_1182555 | 30/01/2021 | Belo Horizonte |
| EPI_ISL_1182561 | 18/01/2021 | Belo Horizonte |
| EPI_ISL_1182563 | 17/01/2021 | Curitiba |
| EPI_ISL_1182574 | 04/01/2021 | Belo Horizonte |
| EPI_ISL_1182575 | 03/01/2021 | Curitiba |
| EPI_ISL_1213310 | 29/01/2021 | Rio de Janeiro |
| EPI_ISL_1213312 | 29/01/2021 | Rio de Janeiro |
| EPI_ISL_1213314 | 29/01/2021 | Rio de Janeiro |
| EPI_ISL_1213315 | 29/01/2021 | Natal |
| EPI_ISL_1213319 | 29/01/2021 | Natal |
| EPI_ISL_1213320 | 29/01/2021 | Natal |
| EPI_ISL_1213322 | 29/01/2021 | Natal |
| EPI_ISL_1213329 | 28/01/2021 | Natal |
| EPI_ISL_1213424 | 18/01/2021 | Rio de Janeiro |
| EPI_ISL_1213425 | 18/01/2021 | Rio de Janeiro |
| EPI_ISL_12140047 | 04/01/2021 | João Pessoa |
| EPI_ISL_1239139 | 15/01/2021 | Belo Horizonte |
| EPI_ISL_1465257 | 31/01/2021 | São Luís |
| EPI_ISL_1465264 | 15/01/2021 | São Luís |
| EPI_ISL_1465275 | 02/01/2021 | São Luís |
| EPI_ISL_1493596 | 18/01/2021 | Porto Velho |
| EPI_ISL_1493600 | 04/01/2021 | Porto Velho |
| EPI_ISL_1494966 | 28/01/2021 | Belo Horizonte |
| EPI_ISL_1533995 | 29/01/2021 | Rio de Janeiro |

| | | |
|------------------|------------|----------------|
| EPI_ISL_16960173 | 16/01/2021 | Recife |
| EPI_ISL_16960220 | 28/01/2021 | Recife |
| EPI_ISL_16960221 | 28/01/2021 | Recife |
| EPI_ISL_16960224 | 29/01/2021 | Recife |
| EPI_ISL_16981114 | 01/01/2021 | São Paulo |
| EPI_ISL_16981115 | 01/01/2021 | Rio de Janeiro |
| EPI_ISL_16981132 | 16/01/2021 | Recife |
| EPI_ISL_16981136 | 16/01/2021 | São Paulo |
| EPI_ISL_16981179 | 28/01/2021 | Recife |
| EPI_ISL_16981180 | 28/01/2021 | Recife |
| EPI_ISL_16981181 | 28/01/2021 | São Paulo |
| EPI_ISL_16981182 | 28/01/2021 | Rio de Janeiro |
| EPI_ISL_16981183 | 29/01/2021 | Recife |
| EPI_ISL_16981184 | 29/01/2021 | Rio de Janeiro |
| EPI_ISL_16981185 | 29/01/2021 | Rio de Janeiro |
| EPI_ISL_17997135 | 15/01/2021 | Porto Alegre |
| EPI_ISL_2221860 | 03/01/2021 | Recife |
| EPI_ISL_2241573 | 15/01/2021 | João Pessoa |
| EPI_ISL_2241584 | 15/01/2021 | Aracaju |
| EPI_ISL_2245073 | 02/01/2021 | Macapá |
| EPI_ISL_2248779 | 01/01/2021 | São Luís |
| EPI_ISL_2248787 | 04/01/2021 | Macapá |
| EPI_ISL_2249360 | 15/01/2021 | Porto Alegre |
| EPI_ISL_2249372 | 18/01/2021 | Porto Alegre |

| | | |
|-----------------|------------|----------------|
| EPI_ISL_2249374 | 17/01/2021 | Porto Alegre |
| EPI_ISL_2249377 | 31/01/2021 | Rio de Janeiro |
| EPI_ISL_2298793 | 16/01/2021 | Macapá |
| EPI_ISL_2298799 | 18/01/2021 | Macapá |
| EPI_ISL_2298800 | 28/01/2021 | Macapá |
| EPI_ISL_2298803 | 30/01/2021 | Macapá |
| EPI_ISL_2308410 | 18/01/2021 | Maceió |
| EPI_ISL_2308412 | 02/01/2021 | Maceió |
| EPI_ISL_2308420 | 31/01/2021 | Maceió |
| EPI_ISL_2308423 | 01/01/2021 | Maceió |
| EPI_ISL_2308430 | 02/01/2021 | Maceió |
| EPI_ISL_2308441 | 31/01/2021 | Maceió |
| EPI_ISL_2308449 | 02/01/2021 | Maceió |
| EPI_ISL_2308461 | 04/01/2021 | Maceió |
| EPI_ISL_2348595 | 04/01/2021 | Goiânia |
| EPI_ISL_2443578 | 04/01/2021 | Rio de Janeiro |
| EPI_ISL_2443580 | 15/01/2021 | Rio de Janeiro |
| EPI_ISL_2466227 | 01/01/2021 | Natal |
| EPI_ISL_2491744 | 29/01/2021 | Salvador |
| EPI_ISL_2491750 | 28/01/2021 | Salvador |
| EPI_ISL_2491776 | 28/01/2021 | Salvador |
| EPI_ISL_2491777 | 29/01/2021 | Salvador |
| EPI_ISL_2614132 | 02/01/2021 | Rio de Janeiro |
| EPI_ISL_2614133 | 03/01/2021 | Rio de Janeiro |

| | | |
|-----------------|------------|----------------|
| EPI_ISL_2614134 | 03/01/2021 | Rio de Janeiro |
| EPI_ISL_2614135 | 04/01/2021 | Rio de Janeiro |
| EPI_ISL_2614136 | 04/01/2021 | Rio de Janeiro |
| EPI_ISL_2614137 | 04/01/2021 | Rio de Janeiro |
| EPI_ISL_2614138 | 04/01/2021 | Rio de Janeiro |
| EPI_ISL_2614170 | 18/01/2021 | Rio de Janeiro |
| EPI_ISL_2614171 | 18/01/2021 | Rio de Janeiro |
| EPI_ISL_2614172 | 18/01/2021 | Rio de Janeiro |
| EPI_ISL_2614188 | 28/01/2021 | Rio de Janeiro |
| EPI_ISL_2614190 | 29/01/2021 | Rio de Janeiro |
| EPI_ISL_2629625 | 02/01/2021 | Rio de Janeiro |
| EPI_ISL_2629654 | 04/01/2021 | Rio de Janeiro |
| EPI_ISL_2629655 | 04/01/2021 | Rio de Janeiro |
| EPI_ISL_2629657 | 04/01/2021 | Rio de Janeiro |
| EPI_ISL_2629683 | 18/01/2021 | Rio de Janeiro |
| EPI_ISL_2629684 | 18/01/2021 | Rio de Janeiro |
| EPI_ISL_2629692 | 29/01/2021 | Rio de Janeiro |
| EPI_ISL_2629693 | 29/01/2021 | Rio de Janeiro |
| EPI_ISL_2629694 | 29/01/2021 | Rio de Janeiro |
| EPI_ISL_2629695 | 29/01/2021 | Rio de Janeiro |
| EPI_ISL_2677109 | 28/01/2021 | Florianópolis |
| EPI_ISL_2677110 | 30/01/2021 | Florianópolis |
| EPI_ISL_2677111 | 31/01/2021 | Florianópolis |
| EPI_ISL_2677112 | 31/01/2021 | Florianópolis |

| | | |
|-----------------|------------|---------------|
| EPI_ISL_2677230 | 02/01/2021 | Florianópolis |
| EPI_ISL_2677231 | 04/01/2021 | Florianópolis |
| EPI_ISL_2677232 | 02/01/2021 | Florianópolis |
| EPI_ISL_2677246 | 01/01/2021 | Florianópolis |
| EPI_ISL_2677247 | 02/01/2021 | Florianópolis |
| EPI_ISL_2677249 | 02/01/2021 | Florianópolis |
| EPI_ISL_2677250 | 01/01/2021 | Florianópolis |
| EPI_ISL_2677251 | 01/01/2021 | Florianópolis |
| EPI_ISL_2677315 | 15/01/2021 | Florianópolis |
| EPI_ISL_2677316 | 18/01/2021 | Florianópolis |
| EPI_ISL_2677317 | 18/01/2021 | Florianópolis |
| EPI_ISL_2777497 | 02/01/2021 | Manaus |
| EPI_ISL_2777500 | 02/01/2021 | Manaus |
| EPI_ISL_2983086 | 03/01/2021 | Macapá |
| EPI_ISL_2983087 | 03/01/2021 | Macapá |
| EPI_ISL_2983088 | 04/01/2021 | Macapá |
| EPI_ISL_2983113 | 15/01/2021 | Macapá |
| EPI_ISL_2983115 | 15/01/2021 | Macapá |
| EPI_ISL_2983116 | 15/01/2021 | Macapá |
| EPI_ISL_2983118 | 16/01/2021 | Macapá |
| EPI_ISL_2983119 | 16/01/2021 | Macapá |
| EPI_ISL_2983120 | 17/01/2021 | Macapá |
| EPI_ISL_2983121 | 17/01/2021 | Macapá |
| EPI_ISL_2983122 | 18/01/2021 | Macapá |

| | | |
|-----------------|------------|----------------|
| EPI_ISL_2983123 | 18/01/2021 | Macapá |
| EPI_ISL_2983124 | 18/01/2021 | Macapá |
| EPI_ISL_2983128 | 29/01/2021 | Macapá |
| EPI_ISL_2983129 | 30/01/2021 | Macapá |
| EPI_ISL_2983130 | 30/01/2021 | Macapá |
| EPI_ISL_3031282 | 15/01/2021 | Belo Horizonte |
| EPI_ISL_3031283 | 15/01/2021 | Belo Horizonte |
| EPI_ISL_3031284 | 15/01/2021 | Belo Horizonte |
| EPI_ISL_3031285 | 18/01/2021 | Belo Horizonte |
| EPI_ISL_3031286 | 18/01/2021 | Belo Horizonte |
| EPI_ISL_3031287 | 18/01/2021 | Belo Horizonte |
| EPI_ISL_3031288 | 18/01/2021 | Belo Horizonte |
| EPI_ISL_3031289 | 18/01/2021 | Belo Horizonte |
| EPI_ISL_3031296 | 18/01/2021 | Belo Horizonte |
| EPI_ISL_3061898 | 29/01/2021 | Florianópolis |
| EPI_ISL_3434801 | 04/01/2021 | Maceió |
| EPI_ISL_5104483 | 02/01/2021 | Goiânia |
| EPI_ISL_8005482 | 04/01/2021 | Curitiba |
| EPI_ISL_8005487 | 15/01/2021 | Curitiba |
| EPI_ISL_8005491 | 18/01/2021 | Curitiba |
| EPI_ISL_8005494 | 30/01/2021 | Curitiba |
| EPI_ISL_8005495 | 31/01/2021 | Curitiba |
| EPI_ISL_861684 | 02/01/2021 | São Paulo |
| EPI_ISL_861685 | 02/01/2021 | São Paulo |

| | | |
|----------------|------------|-----------|
| EPI_ISL_906070 | 18/01/2021 | Manaus |
| EPI_ISL_413016 | 28/02/2020 | São Paulo |
| EPI_ISL_402124 | 31/12/2019 | Wuhan |

Tabela 3. Dataset utilizado na análise filogeográfica de B.1.1.28.

| ID de acesso GISAID | Data de coleta | Local |
|---------------------|----------------|--------------|
| EPI_ISL_1040830 | 02/10/2020 | Campo Grande |
| EPI_ISL_1040850 | 22/07/2020 | Campo Grande |
| EPI_ISL_1060903 | 16/11/2020 | Manaus |
| EPI_ISL_1060916 | 06/11/2020 | Manaus |
| EPI_ISL_1068093 | 01/09/2020 | Manaus |
| EPI_ISL_1068101 | 08/10/2020 | Manaus |
| EPI_ISL_1068127 | 04/11/2020 | Manaus |
| EPI_ISL_1068146 | 09/12/2020 | Manaus |
| EPI_ISL_1068148 | 11/12/2020 | Manaus |
| EPI_ISL_1068152 | 23/12/2020 | Manaus |
| EPI_ISL_1068208 | 24/07/2020 | Manaus |
| EPI_ISL_1068217 | 19/05/2020 | Manaus |
| EPI_ISL_1117408 | 02/06/2020 | Recife |
| EPI_ISL_1121329 | 03/07/2020 | Campo Grande |
| EPI_ISL_1139054 | 17/05/2020 | Campo Grande |
| EPI_ISL_1171620 | 14/08/2020 | São Paulo |
| EPI_ISL_1213453 | 04/12/2020 | João Pessoa |
| EPI_ISL_12173801 | 23/07/2020 | Salvador |

| | | |
|------------------|------------|----------------|
| EPI_ISL_12173802 | 03/08/2020 | Salvador |
| EPI_ISL_12173813 | 05/07/2020 | Salvador |
| EPI_ISL_12173833 | 17/08/2020 | Salvador |
| EPI_ISL_12173843 | 14/07/2020 | Salvador |
| EPI_ISL_12173855 | 17/07/2020 | Salvador |
| EPI_ISL_12173857 | 05/08/2020 | Salvador |
| EPI_ISL_12173858 | 23/11/2020 | Salvador |
| EPI_ISL_12838761 | 13/07/2020 | Salvador |
| EPI_ISL_12838765 | 11/08/2020 | Salvador |
| EPI_ISL_12838766 | 21/08/2020 | Salvador |
| EPI_ISL_13017802 | 09/07/2020 | Belo Horizonte |
| EPI_ISL_13131770 | 03/12/2020 | Salvador |
| EPI_ISL_13131778 | 04/12/2020 | Salvador |
| EPI_ISL_13229335 | 18/08/2020 | Salvador |
| EPI_ISL_13229339 | 14/09/2020 | Salvador |
| EPI_ISL_13229343 | 13/07/2020 | Salvador |
| EPI_ISL_13229368 | 20/07/2020 | Salvador |
| EPI_ISL_13229374 | 12/08/2020 | Salvador |
| EPI_ISL_13229377 | 17/07/2020 | Salvador |
| EPI_ISL_13229379 | 02/10/2020 | Salvador |
| EPI_ISL_13229383 | 16/07/2020 | Salvador |
| EPI_ISL_13229384 | 16/07/2020 | Salvador |
| EPI_ISL_13229389 | 08/07/2020 | Salvador |
| EPI_ISL_13497917 | 05/09/2020 | Rio Branco |

| | | |
|------------------|------------|-----------------------|
| EPI_ISL_13497983 | 08/09/2020 | Rio Branco |
| EPI_ISL_13497990 | 05/09/2020 | Rio Branco |
| EPI_ISL_13498082 | 21/11/2020 | Rio Branco |
| EPI_ISL_13498129 | 18/07/2020 | Rio Branco |
| EPI_ISL_1469560 | 02/08/2020 | Porto Alegre |
| EPI_ISL_1469604 | 01/10/2020 | Porto Alegre |
| EPI_ISL_1469625 | 22/07/2020 | Porto Alegre |
| EPI_ISL_1469692 | 11/09/2020 | Porto Alegre |
| EPI_ISL_1469723 | 05/11/2020 | Porto Alegre |
| EPI_ISL_1469748 | 01/07/2020 | Porto Alegre |
| EPI_ISL_1469783 | 24/08/2020 | Porto Alegre |
| EPI_ISL_1469845 | 07/08/2020 | Porto Alegre |
| EPI_ISL_1494970 | 11/12/2020 | Belo Horizonte |
| EPI_ISL_16224955 | 14/08/2020 | São José do Rio Preto |
| EPI_ISL_1661251 | 09/11/2020 | Manaus |
| EPI_ISL_17674964 | 12/12/2020 | Belo Horizonte |
| EPI_ISL_2008937 | 31/12/2020 | São José do Rio Preto |
| EPI_ISL_2107300 | 24/11/2020 | São José do Rio Preto |
| EPI_ISL_2196360 | 12/08/2020 | Florianópolis |
| EPI_ISL_2196362 | 18/06/2020 | Curitiba |
| EPI_ISL_2245069 | 06/12/2020 | Macapá |
| EPI_ISL_2249404 | 24/11/2020 | Rio de Janeiro |
| EPI_ISL_2298865 | 01/12/2020 | Manaus |
| EPI_ISL_2308469 | 16/12/2020 | Maceió |

| | | |
|-----------------|------------|-----------------------|
| EPI_ISL_2344233 | 19/11/2020 | Curitiba |
| EPI_ISL_2344242 | 17/11/2020 | Curitiba |
| EPI_ISL_2344244 | 09/12/2020 | Curitiba |
| EPI_ISL_2344250 | 10/11/2020 | Belo Horizonte |
| EPI_ISL_2344256 | 23/10/2020 | São Paulo |
| EPI_ISL_2344263 | 04/12/2020 | São Paulo |
| EPI_ISL_2344272 | 19/11/2020 | Curitiba |
| EPI_ISL_2344382 | 11/11/2020 | São José do Rio Preto |
| EPI_ISL_2344438 | 01/12/2020 | Brasília |
| EPI_ISL_2344439 | 04/12/2020 | São Paulo |
| EPI_ISL_2344450 | 17/09/2020 | Curitiba |
| EPI_ISL_2344454 | 13/10/2020 | Porto Alegre |
| EPI_ISL_2344458 | 09/11/2020 | Curitiba |
| EPI_ISL_2443595 | 24/09/2020 | Rio de Janeiro |
| EPI_ISL_2443635 | 11/11/2020 | Rio de Janeiro |
| EPI_ISL_2491693 | 05/07/2020 | Salvador |
| EPI_ISL_2491723 | 01/09/2020 | Salvador |
| EPI_ISL_2544878 | 16/11/2020 | São José do Rio Preto |
| EPI_ISL_2544879 | 16/11/2020 | São José do Rio Preto |
| EPI_ISL_2544880 | 16/11/2020 | São José do Rio Preto |
| EPI_ISL_2544895 | 24/11/2020 | São José do Rio Preto |
| EPI_ISL_2551528 | 13/10/2020 | Belo Horizonte |
| EPI_ISL_2557400 | 17/10/2020 | Rio de Janeiro |
| EPI_ISL_2603505 | 22/09/2020 | Rio de Janeiro |

| | | |
|-----------------|------------|----------------|
| EPI_ISL_2603512 | 17/09/2020 | Rio de Janeiro |
| EPI_ISL_2603516 | 21/08/2020 | Rio de Janeiro |
| EPI_ISL_2603517 | 05/08/2020 | Rio de Janeiro |
| EPI_ISL_2603520 | 01/07/2020 | Rio de Janeiro |
| EPI_ISL_2603526 | 13/06/2020 | Porto Alegre |
| EPI_ISL_2614095 | 21/10/2020 | Rio de Janeiro |
| EPI_ISL_2629608 | 11/12/2020 | Rio de Janeiro |
| EPI_ISL_2629634 | 18/12/2020 | Rio de Janeiro |
| EPI_ISL_2645549 | 16/10/2020 | Vitória |
| EPI_ISL_2645551 | 20/10/2020 | Vitória |
| EPI_ISL_2645637 | 20/05/2020 | Maceió |
| EPI_ISL_2645638 | 22/04/2020 | Maceió |
| EPI_ISL_2661819 | 15/08/2020 | Porto Alegre |
| EPI_ISL_2661879 | 21/11/2020 | Fortaleza |
| EPI_ISL_2677096 | 01/06/2020 | Florianópolis |
| EPI_ISL_2677234 | 16/12/2020 | Florianópolis |
| EPI_ISL_2677307 | 21/09/2020 | Florianópolis |
| EPI_ISL_2731485 | 11/08/2020 | Rio de Janeiro |
| EPI_ISL_2731503 | 24/09/2020 | Rio de Janeiro |
| EPI_ISL_2758692 | 10/07/2020 | Curitiba |
| EPI_ISL_2758769 | 19/08/2020 | Curitiba |
| EPI_ISL_2758775 | 09/08/2020 | Curitiba |
| EPI_ISL_2777371 | 03/12/2020 | Manaus |
| EPI_ISL_2821285 | 01/06/2020 | Recife |

| | | |
|-----------------|------------|-----------------------|
| EPI_ISL_3048812 | 18/08/2020 | Porto Alegre |
| EPI_ISL_3048949 | 09/10/2020 | São José do Rio Preto |
| EPI_ISL_3048950 | 10/10/2020 | São José do Rio Preto |
| EPI_ISL_3048952 | 17/10/2020 | São José do Rio Preto |
| EPI_ISL_3061901 | 23/09/2020 | Florianópolis |
| EPI_ISL_3190280 | 06/10/2020 | Rio de Janeiro |
| EPI_ISL_3243093 | 03/08/2020 | Rio de Janeiro |
| EPI_ISL_3243095 | 08/04/2020 | Curitiba |
| EPI_ISL_3243102 | 12/06/2020 | Curitiba |
| EPI_ISL_3356370 | 06/10/2020 | Belém |
| EPI_ISL_3356371 | 06/10/2020 | Belém |
| EPI_ISL_3434944 | 23/10/2020 | Rio de Janeiro |
| EPI_ISL_3434945 | 17/08/2020 | Rio de Janeiro |
| EPI_ISL_416036 | 05/03/2020 | São Paulo |
| EPI_ISL_427292 | 18/03/2020 | Maceió |
| EPI_ISL_4297852 | 04/05/2020 | São Paulo |
| EPI_ISL_4297869 | 15/05/2020 | São Paulo |
| EPI_ISL_4297870 | 14/05/2020 | São Paulo |
| EPI_ISL_4297891 | 07/04/2020 | São Paulo |
| EPI_ISL_4463732 | 22/04/2020 | São Paulo |
| EPI_ISL_468315 | 12/04/2020 | São Paulo |
| EPI_ISL_468321 | 22/04/2020 | São Paulo |
| EPI_ISL_471545 | 22/03/2020 | São Paulo |
| EPI_ISL_500483 | 08/04/2020 | Recife |

| | | |
|-----------------|------------|----------------|
| EPI_ISL_502875 | 24/06/2020 | Recife |
| EPI_ISL_515524 | 01/04/2020 | São Paulo |
| EPI_ISL_515529 | 24/03/2020 | São Paulo |
| EPI_ISL_515547 | 20/03/2020 | São Paulo |
| EPI_ISL_515553 | 16/04/2020 | São Paulo |
| EPI_ISL_515566 | 23/04/2020 | São Paulo |
| EPI_ISL_523957 | 04/04/2020 | São Paulo |
| EPI_ISL_523965 | 19/03/2020 | São Paulo |
| EPI_ISL_523980 | 02/04/2020 | São Paulo |
| EPI_ISL_523981 | 10/04/2020 | São Paulo |
| EPI_ISL_524465 | 17/04/2020 | São Paulo |
| EPI_ISL_534319 | 06/05/2020 | São Paulo |
| EPI_ISL_541355 | 13/04/2020 | Rio de Janeiro |
| EPI_ISL_541359 | 20/04/2020 | Rio de Janeiro |
| EPI_ISL_541386 | 24/04/2020 | Aracaju |
| EPI_ISL_572371 | 06/05/2020 | Recife |
| EPI_ISL_574577 | 16/04/2020 | São Paulo |
| EPI_ISL_574579 | 24/04/2020 | São Paulo |
| EPI_ISL_574580 | 20/04/2020 | São Paulo |
| EPI_ISL_583501 | 08/07/2020 | São Paulo |
| EPI_ISL_603037 | 20/07/2020 | São Paulo |
| EPI_ISL_6633655 | 15/07/2020 | Campo Grande |
| EPI_ISL_6633718 | 21/08/2020 | Campo Grande |
| EPI_ISL_6633735 | 27/05/2020 | Campo Grande |

| | | |
|-----------------|------------|----------------|
| EPI_ISL_6633758 | 22/07/2020 | Campo Grande |
| EPI_ISL_6854857 | 20/03/2020 | São Paulo |
| EPI_ISL_693196 | 02/05/2020 | São Paulo |
| EPI_ISL_693203 | 21/04/2020 | São Paulo |
| EPI_ISL_693232 | 30/05/2020 | São Paulo |
| EPI_ISL_693236 | 02/07/2020 | São Paulo |
| EPI_ISL_717810 | 14/04/2020 | Rio de Janeiro |
| EPI_ISL_717811 | 16/04/2020 | Rio de Janeiro |
| EPI_ISL_717812 | 01/06/2020 | Rio de Janeiro |
| EPI_ISL_717813 | 01/06/2020 | Rio de Janeiro |
| EPI_ISL_717815 | 03/09/2020 | Rio de Janeiro |
| EPI_ISL_717818 | 08/10/2020 | Rio de Janeiro |
| EPI_ISL_729854 | 14/08/2020 | Porto Alegre |
| EPI_ISL_729861 | 16/08/2020 | Porto Alegre |
| EPI_ISL_735398 | 09/07/2020 | São Paulo |
| EPI_ISL_735399 | 06/04/2020 | São Paulo |
| EPI_ISL_735412 | 15/06/2020 | São Paulo |
| EPI_ISL_735413 | 17/06/2020 | São Paulo |
| EPI_ISL_735428 | 02/07/2020 | São Paulo |
| EPI_ISL_735429 | 01/07/2020 | São Paulo |
| EPI_ISL_735431 | 02/07/2020 | São Paulo |
| EPI_ISL_7743948 | 22/07/2020 | Florianópolis |
| EPI_ISL_7743949 | 23/06/2020 | Florianópolis |
| EPI_ISL_7743963 | 19/06/2020 | Florianópolis |

| | | |
|-----------------|------------|---------------|
| EPI_ISL_7743964 | 14/07/2020 | Florianópolis |
| EPI_ISL_7743965 | 16/07/2020 | Florianópolis |
| EPI_ISL_792114 | 03/05/2020 | São Paulo |
| EPI_ISL_8005116 | 12/07/2020 | Curitiba |
| EPI_ISL_8005121 | 21/07/2020 | Curitiba |
| EPI_ISL_8005134 | 15/08/2020 | Curitiba |
| EPI_ISL_8005148 | 24/09/2020 | Curitiba |
| EPI_ISL_8005443 | 01/07/2020 | Curitiba |
| EPI_ISL_8005446 | 09/07/2020 | Curitiba |
| EPI_ISL_8005448 | 16/08/2020 | Curitiba |
| EPI_ISL_8005451 | 08/09/2020 | Curitiba |
| EPI_ISL_8005454 | 16/09/2020 | Curitiba |
| EPI_ISL_801386 | 24/09/2020 | Manaus |
| EPI_ISL_801390 | 23/10/2020 | Manaus |
| EPI_ISL_801396 | 12/11/2020 | Manaus |
| EPI_ISL_833152 | 23/03/2020 | São Paulo |
| EPI_ISL_861630 | 18/04/2020 | São Paulo |
| EPI_ISL_861631 | 19/04/2020 | São Paulo |
| EPI_ISL_861632 | 18/04/2020 | São Paulo |
| EPI_ISL_861639 | 23/04/2020 | São Paulo |
| EPI_ISL_861640 | 20/04/2020 | São Paulo |
| EPI_ISL_861644 | 05/05/2020 | São Paulo |
| EPI_ISL_861645 | 07/05/2020 | São Paulo |
| EPI_ISL_861646 | 21/05/2020 | São Paulo |

| | | |
|------------------|------------|-----------------------|
| EPI_ISL_861652 | 09/05/2020 | São Paulo |
| EPI_ISL_861655 | 12/05/2020 | São Paulo |
| EPI_ISL_861682 | 20/12/2020 | São Paulo |
| EPI_ISL_906065 | 17/04/2020 | São Paulo |
| EPI_ISL_943979 | 10/10/2020 | Palmas |
| EPI_ISL_9571649 | 17/08/2020 | Rio de Janeiro |
| EPI_ISL_9571727 | 03/07/2020 | Rio de Janeiro |
| EPI_ISL_9754646 | 18/09/2020 | Rio de Janeiro |
| EPI_ISL_9754674 | 21/09/2020 | Rio de Janeiro |
| EPI_ISL_977474 | 14/08/2020 | São Paulo |
| EPI_ISL_977483 | 08/08/2020 | São Paulo |
| EPI_ISL_984242 | 13/08/2020 | São Paulo |
| EPI_ISL_984245 | 17/08/2020 | São Paulo |
| EPI_ISL_985175 | 17/08/2020 | São Paulo |
| EPI_ISL_18631974 | 30/03/2020 | São José do Rio Preto |
| EPI_ISL_18631976 | 06/04/2020 | São José do Rio Preto |
| EPI_ISL_18631977 | 13/04/2020 | São José do Rio Preto |
| EPI_ISL_18631983 | 23/04/2020 | São José do Rio Preto |
| EPI_ISL_18631984 | 27/04/2020 | São José do Rio Preto |
| EPI_ISL_18631985 | 27/04/2020 | São José do Rio Preto |
| EPI_ISL_18631988 | 28/04/2020 | São José do Rio Preto |
| EPI_ISL_18631997 | 30/04/2020 | São José do Rio Preto |
| EPI_ISL_18632001 | 08/05/2020 | São José do Rio Preto |
| EPI_ISL_18632002 | 07/05/2020 | São José do Rio Preto |

| | | |
|------------------|------------|-----------------------|
| EPI_ISL_18632007 | 07/05/2020 | São José do Rio Preto |
| EPI_ISL_18632010 | 10/05/2020 | São José do Rio Preto |
| EPI_ISL_18632011 | 10/05/2020 | São José do Rio Preto |
| EPI_ISL_18632013 | 11/05/2020 | São José do Rio Preto |
| EPI_ISL_18632015 | 15/05/2020 | São José do Rio Preto |
| EPI_ISL_18632016 | 15/05/2020 | São José do Rio Preto |
| EPI_ISL_18632017 | 15/05/2020 | São José do Rio Preto |
| EPI_ISL_18632019 | 19/05/2020 | São José do Rio Preto |
| EPI_ISL_18632021 | 18/05/2020 | São José do Rio Preto |
| EPI_ISL_18632022 | 19/05/2020 | São José do Rio Preto |
| EPI_ISL_18632023 | 19/05/2020 | São José do Rio Preto |
| EPI_ISL_18632024 | 19/05/2020 | São José do Rio Preto |
| EPI_ISL_18632025 | 19/05/2020 | São José do Rio Preto |
| EPI_ISL_18632028 | 21/05/2020 | São José do Rio Preto |
| EPI_ISL_18632029 | 21/05/2020 | São José do Rio Preto |
| EPI_ISL_18632030 | 21/05/2020 | São José do Rio Preto |
| EPI_ISL_18632031 | 21/05/2020 | São José do Rio Preto |
| EPI_ISL_18632032 | 30/05/2020 | São José do Rio Preto |
| EPI_ISL_18632033 | 30/05/2020 | São José do Rio Preto |
| EPI_ISL_18632034 | 01/06/2020 | São José do Rio Preto |
| EPI_ISL_18632036 | 02/06/2020 | São José do Rio Preto |
| EPI_ISL_18632037 | 02/06/2020 | São José do Rio Preto |
| EPI_ISL_18632038 | 02/06/2020 | São José do Rio Preto |
| EPI_ISL_18632039 | 03/06/2020 | São José do Rio Preto |

| | | |
|------------------|------------|-----------------------|
| EPI_ISL_18632040 | 02/06/2020 | São José do Rio Preto |
| EPI_ISL_18632041 | 03/06/2020 | São José do Rio Preto |
| EPI_ISL_18632042 | 01/06/2020 | São José do Rio Preto |
| EPI_ISL_18632043 | 04/06/2020 | São José do Rio Preto |
| EPI_ISL_18632044 | 04/06/2020 | São José do Rio Preto |
| EPI_ISL_18632045 | 04/06/2020 | São José do Rio Preto |
| EPI_ISL_18632046 | 06/06/2020 | São José do Rio Preto |
| EPI_ISL_18632048 | 07/06/2020 | São José do Rio Preto |
| EPI_ISL_18632049 | 07/06/2020 | São José do Rio Preto |
| EPI_ISL_18632050 | 07/06/2020 | São José do Rio Preto |
| EPI_ISL_18632051 | 07/06/2020 | São José do Rio Preto |
| EPI_ISL_18632053 | 08/06/2020 | São José do Rio Preto |
| EPI_ISL_18632054 | 08/06/2020 | São José do Rio Preto |
| EPI_ISL_18632057 | 08/06/2020 | São José do Rio Preto |
| EPI_ISL_18632058 | 08/06/2020 | São José do Rio Preto |
| EPI_ISL_18632059 | 08/06/2020 | São José do Rio Preto |
| EPI_ISL_18632061 | 08/06/2020 | São José do Rio Preto |
| EPI_ISL_18632062 | 08/06/2020 | São José do Rio Preto |
| EPI_ISL_18632063 | 09/06/2020 | São José do Rio Preto |
| EPI_ISL_18632064 | 08/06/2020 | São José do Rio Preto |
| EPI_ISL_18632065 | 08/06/2020 | São José do Rio Preto |
| EPI_ISL_18632066 | 09/06/2020 | São José do Rio Preto |
| EPI_ISL_18632070 | 09/06/2020 | São José do Rio Preto |
| EPI_ISL_18632071 | 10/06/2020 | São José do Rio Preto |

| | | |
|------------------|------------|-----------------------|
| EPI_ISL_18632072 | 10/06/2020 | São José do Rio Preto |
| EPI_ISL_18632073 | 16/06/2020 | São José do Rio Preto |
| EPI_ISL_18632074 | 11/06/2020 | São José do Rio Preto |
| EPI_ISL_18632075 | 11/06/2020 | São José do Rio Preto |
| EPI_ISL_18632077 | 11/06/2020 | São José do Rio Preto |
| EPI_ISL_18632080 | 12/06/2020 | São José do Rio Preto |
| EPI_ISL_18632081 | 12/06/2020 | São José do Rio Preto |
| EPI_ISL_18632082 | 13/06/2020 | São José do Rio Preto |
| EPI_ISL_18632083 | 15/06/2020 | São José do Rio Preto |
| EPI_ISL_18632084 | 14/06/2020 | São José do Rio Preto |
| EPI_ISL_18632085 | 14/06/2020 | São José do Rio Preto |
| EPI_ISL_18632088 | 15/06/2020 | São José do Rio Preto |
| EPI_ISL_18632089 | 15/06/2020 | São José do Rio Preto |
| EPI_ISL_18632090 | 16/06/2020 | São José do Rio Preto |
| EPI_ISL_18632092 | 16/06/2020 | São José do Rio Preto |
| EPI_ISL_18632093 | 17/06/2020 | São José do Rio Preto |
| EPI_ISL_18632096 | 17/06/2020 | São José do Rio Preto |
| EPI_ISL_18632097 | 17/06/2020 | São José do Rio Preto |
| EPI_ISL_18632098 | 17/06/2020 | São José do Rio Preto |
| EPI_ISL_18632099 | 17/06/2020 | São José do Rio Preto |
| EPI_ISL_18632100 | 18/06/2020 | São José do Rio Preto |
| EPI_ISL_18632101 | 18/06/2020 | São José do Rio Preto |
| EPI_ISL_18632102 | 18/06/2020 | São José do Rio Preto |
| EPI_ISL_18632103 | 18/06/2020 | São José do Rio Preto |

| | | |
|------------------|------------|-----------------------|
| EPI_ISL_18632104 | 18/06/2020 | São José do Rio Preto |
| EPI_ISL_18632105 | 18/06/2020 | São José do Rio Preto |
| EPI_ISL_18632106 | 18/06/2020 | São José do Rio Preto |
| EPI_ISL_18632107 | 18/06/2020 | São José do Rio Preto |
| EPI_ISL_18632108 | 19/06/2020 | São José do Rio Preto |
| EPI_ISL_18632109 | 20/06/2020 | São José do Rio Preto |
| EPI_ISL_18632110 | 20/06/2020 | São José do Rio Preto |
| EPI_ISL_18632112 | 19/06/2020 | São José do Rio Preto |
| EPI_ISL_18632114 | 19/06/2020 | São José do Rio Preto |
| EPI_ISL_18632115 | 21/06/2020 | São José do Rio Preto |
| EPI_ISL_18632116 | 20/06/2020 | São José do Rio Preto |
| EPI_ISL_18632117 | 20/06/2020 | São José do Rio Preto |
| EPI_ISL_18632118 | 22/06/2020 | São José do Rio Preto |
| EPI_ISL_18632120 | 22/06/2020 | São José do Rio Preto |
| EPI_ISL_18632121 | 22/06/2020 | São José do Rio Preto |
| EPI_ISL_18632122 | 22/06/2020 | São José do Rio Preto |
| EPI_ISL_18632124 | 22/06/2020 | São José do Rio Preto |
| EPI_ISL_18632125 | 22/06/2020 | São José do Rio Preto |
| EPI_ISL_18632128 | 23/06/2020 | São José do Rio Preto |
| EPI_ISL_18632130 | 23/06/2020 | São José do Rio Preto |
| EPI_ISL_18632131 | 23/06/2020 | São José do Rio Preto |
| EPI_ISL_18632133 | 23/06/2020 | São José do Rio Preto |
| EPI_ISL_18632134 | 06/08/2020 | São José do Rio Preto |
| EPI_ISL_18632135 | 24/06/2020 | São José do Rio Preto |

| | | |
|------------------|------------|-----------------------|
| EPI_ISL_18632136 | 24/06/2020 | São José do Rio Preto |
| EPI_ISL_18632137 | 24/06/2020 | São José do Rio Preto |
| EPI_ISL_18632138 | 24/06/2020 | São José do Rio Preto |
| EPI_ISL_18632141 | 24/06/2020 | São José do Rio Preto |
| EPI_ISL_18632142 | 25/06/2020 | São José do Rio Preto |
| EPI_ISL_18632143 | 25/06/2020 | São José do Rio Preto |
| EPI_ISL_18632144 | 25/06/2020 | São José do Rio Preto |
| EPI_ISL_18632145 | 26/06/2020 | São José do Rio Preto |
| EPI_ISL_18632147 | 25/06/2020 | São José do Rio Preto |
| EPI_ISL_18632148 | 25/06/2020 | São José do Rio Preto |
| EPI_ISL_18632149 | 25/06/2020 | São José do Rio Preto |
| EPI_ISL_18632151 | 26/06/2020 | São José do Rio Preto |
| EPI_ISL_18632152 | 26/06/2020 | São José do Rio Preto |
| EPI_ISL_18632153 | 26/06/2020 | São José do Rio Preto |
| EPI_ISL_18632156 | 28/06/2020 | São José do Rio Preto |
| EPI_ISL_18632157 | 28/06/2020 | São José do Rio Preto |
| EPI_ISL_18632158 | 28/06/2020 | São José do Rio Preto |
| EPI_ISL_18632159 | 27/06/2020 | São José do Rio Preto |
| EPI_ISL_18632160 | 28/06/2020 | São José do Rio Preto |
| EPI_ISL_18632163 | 28/06/2020 | São José do Rio Preto |
| EPI_ISL_18632164 | 28/06/2020 | São José do Rio Preto |
| EPI_ISL_18632165 | 27/06/2020 | São José do Rio Preto |
| EPI_ISL_18632167 | 27/06/2020 | São José do Rio Preto |
| EPI_ISL_18632169 | 27/06/2020 | São José do Rio Preto |

| | | |
|------------------|------------|-----------------------|
| EPI_ISL_18632170 | 29/06/2020 | São José do Rio Preto |
| EPI_ISL_18632172 | 29/06/2020 | São José do Rio Preto |
| EPI_ISL_18632173 | 30/06/2020 | São José do Rio Preto |
| EPI_ISL_18632175 | 29/06/2020 | São José do Rio Preto |
| EPI_ISL_18637328 | 29/06/2020 | São José do Rio Preto |
| EPI_ISL_18632176 | 01/07/2020 | São José do Rio Preto |
| EPI_ISL_18632177 | 01/07/2020 | São José do Rio Preto |
| EPI_ISL_18632178 | 01/07/2020 | São José do Rio Preto |
| EPI_ISL_18632179 | 01/07/2020 | São José do Rio Preto |
| EPI_ISL_18632180 | 01/07/2020 | São José do Rio Preto |
| EPI_ISL_18632181 | 02/07/2020 | São José do Rio Preto |
| EPI_ISL_18632182 | 05/07/2020 | São José do Rio Preto |
| EPI_ISL_18632183 | 06/07/2020 | São José do Rio Preto |
| EPI_ISL_18632185 | 06/07/2020 | São José do Rio Preto |
| EPI_ISL_18632186 | 06/07/2020 | São José do Rio Preto |
| EPI_ISL_18632187 | 06/07/2020 | São José do Rio Preto |
| EPI_ISL_18632189 | 08/07/2020 | São José do Rio Preto |
| EPI_ISL_18632190 | 08/07/2020 | São José do Rio Preto |
| EPI_ISL_18632191 | 08/07/2020 | São José do Rio Preto |
| EPI_ISL_18632193 | 09/07/2020 | São José do Rio Preto |
| EPI_ISL_18632200 | 12/07/2020 | São José do Rio Preto |
| EPI_ISL_18632202 | 11/07/2020 | São José do Rio Preto |
| EPI_ISL_18632203 | 13/07/2020 | São José do Rio Preto |
| EPI_ISL_18632204 | 13/07/2020 | São José do Rio Preto |

| | | |
|------------------|------------|-----------------------|
| EPI_ISL_18632206 | 13/07/2020 | São José do Rio Preto |
| EPI_ISL_18632207 | 08/07/2020 | São José do Rio Preto |
| EPI_ISL_18632209 | 13/07/2020 | São José do Rio Preto |
| EPI_ISL_18632210 | 13/07/2020 | São José do Rio Preto |
| EPI_ISL_18632211 | 15/07/2020 | São José do Rio Preto |
| EPI_ISL_18632212 | 12/07/2020 | São José do Rio Preto |
| EPI_ISL_18632213 | 14/07/2020 | São José do Rio Preto |
| EPI_ISL_18632214 | 14/07/2020 | São José do Rio Preto |
| EPI_ISL_18632217 | 15/07/2020 | São José do Rio Preto |
| EPI_ISL_18632220 | 16/07/2020 | São José do Rio Preto |
| EPI_ISL_18632221 | 16/07/2020 | São José do Rio Preto |
| EPI_ISL_18632222 | 17/07/2020 | São José do Rio Preto |
| EPI_ISL_18632223 | 19/07/2020 | São José do Rio Preto |
| EPI_ISL_18632224 | 20/07/2020 | São José do Rio Preto |
| EPI_ISL_18632225 | 20/07/2020 | São José do Rio Preto |
| EPI_ISL_18632226 | 20/07/2020 | São José do Rio Preto |
| EPI_ISL_18632227 | 20/07/2020 | São José do Rio Preto |
| EPI_ISL_18632228 | 20/07/2020 | São José do Rio Preto |
| EPI_ISL_18632229 | 20/07/2020 | São José do Rio Preto |
| EPI_ISL_18632230 | 20/07/2020 | São José do Rio Preto |
| EPI_ISL_18632231 | 21/07/2020 | São José do Rio Preto |
| EPI_ISL_18632233 | 21/07/2020 | São José do Rio Preto |
| EPI_ISL_18632235 | 21/07/2020 | São José do Rio Preto |
| EPI_ISL_18632236 | 21/07/2020 | São José do Rio Preto |

| | | |
|------------------|------------|-----------------------|
| EPI_ISL_18632238 | 22/07/2020 | São José do Rio Preto |
| EPI_ISL_18632243 | 24/07/2020 | São José do Rio Preto |
| EPI_ISL_18632245 | 26/07/2020 | São José do Rio Preto |
| EPI_ISL_18632248 | 26/07/2020 | São José do Rio Preto |
| EPI_ISL_18632250 | 28/07/2020 | São José do Rio Preto |
| EPI_ISL_18632254 | 29/07/2020 | São José do Rio Preto |
| EPI_ISL_18632258 | 29/07/2020 | São José do Rio Preto |
| EPI_ISL_18632259 | 29/07/2020 | São José do Rio Preto |
| EPI_ISL_18632261 | 02/08/2020 | São José do Rio Preto |
| EPI_ISL_18632262 | 02/08/2020 | São José do Rio Preto |
| EPI_ISL_18632264 | 03/08/2020 | São José do Rio Preto |
| EPI_ISL_18632266 | 04/08/2020 | São José do Rio Preto |
| EPI_ISL_18632268 | 03/08/2020 | São José do Rio Preto |
| EPI_ISL_18632269 | 04/08/2020 | São José do Rio Preto |
| EPI_ISL_18632270 | 31/07/2020 | São José do Rio Preto |
| EPI_ISL_18632273 | 05/08/2020 | São José do Rio Preto |
| EPI_ISL_18632274 | 05/08/2020 | São José do Rio Preto |
| EPI_ISL_18632275 | 05/08/2020 | São José do Rio Preto |
| EPI_ISL_18632276 | 06/08/2020 | São José do Rio Preto |
| EPI_ISL_18632277 | 06/08/2020 | São José do Rio Preto |
| EPI_ISL_18632278 | 06/08/2020 | São José do Rio Preto |
| EPI_ISL_18632279 | 07/08/2020 | São José do Rio Preto |
| EPI_ISL_18632280 | 07/08/2020 | São José do Rio Preto |
| EPI_ISL_18632286 | 10/08/2020 | São José do Rio Preto |

| | | |
|------------------|------------|-----------------------|
| EPI_ISL_18632289 | 10/08/2020 | São José do Rio Preto |
| EPI_ISL_18632290 | 11/08/2020 | São José do Rio Preto |
| EPI_ISL_18632291 | 12/08/2020 | São José do Rio Preto |
| EPI_ISL_18632292 | 12/08/2020 | São José do Rio Preto |
| EPI_ISL_18632293 | 12/08/2020 | São José do Rio Preto |
| EPI_ISL_18632296 | 13/08/2020 | São José do Rio Preto |
| EPI_ISL_18632297 | 13/08/2020 | São José do Rio Preto |
| EPI_ISL_18632299 | 17/08/2020 | São José do Rio Preto |
| EPI_ISL_18632301 | 17/08/2020 | São José do Rio Preto |
| EPI_ISL_18632302 | 17/08/2020 | São José do Rio Preto |
| EPI_ISL_18632303 | 17/08/2020 | São José do Rio Preto |
| EPI_ISL_18632304 | 18/08/2020 | São José do Rio Preto |
| EPI_ISL_18632305 | 18/08/2020 | São José do Rio Preto |
| EPI_ISL_18632306 | 18/08/2020 | São José do Rio Preto |
| EPI_ISL_18632307 | 18/08/2020 | São José do Rio Preto |
| EPI_ISL_18632310 | 18/08/2020 | São José do Rio Preto |
| EPI_ISL_18632311 | 18/08/2020 | São José do Rio Preto |
| EPI_ISL_18632313 | 18/08/2020 | São José do Rio Preto |
| EPI_ISL_18632314 | 18/08/2020 | São José do Rio Preto |
| EPI_ISL_18632315 | 18/08/2020 | São José do Rio Preto |
| EPI_ISL_18632316 | 18/08/2020 | São José do Rio Preto |
| EPI_ISL_18632317 | 18/08/2020 | São José do Rio Preto |
| EPI_ISL_18632319 | 19/08/2020 | São José do Rio Preto |
| EPI_ISL_18632320 | 19/08/2020 | São José do Rio Preto |

| | | |
|------------------|------------|-----------------------|
| EPI_ISL_18632321 | 19/08/2020 | São José do Rio Preto |
| EPI_ISL_18632322 | 19/08/2020 | São José do Rio Preto |
| EPI_ISL_18632323 | 19/08/2020 | São José do Rio Preto |
| EPI_ISL_18637329 | 19/08/2020 | São José do Rio Preto |
| EPI_ISL_18632324 | 19/08/2020 | São José do Rio Preto |
| EPI_ISL_18632325 | 19/08/2020 | São José do Rio Preto |
| EPI_ISL_18632326 | 19/08/2020 | São José do Rio Preto |
| EPI_ISL_18632328 | 20/08/2020 | São José do Rio Preto |
| EPI_ISL_18632330 | 20/08/2020 | São José do Rio Preto |
| EPI_ISL_18632334 | 22/08/2020 | São José do Rio Preto |
| EPI_ISL_18632335 | 22/08/2020 | São José do Rio Preto |
| EPI_ISL_18632336 | 22/08/2020 | São José do Rio Preto |
| EPI_ISL_18632337 | 22/08/2020 | São José do Rio Preto |
| EPI_ISL_18632338 | 24/08/2020 | São José do Rio Preto |
| EPI_ISL_18632340 | 24/08/2020 | São José do Rio Preto |
| EPI_ISL_18632341 | 24/08/2020 | São José do Rio Preto |
| EPI_ISL_18632343 | 26/08/2020 | São José do Rio Preto |
| EPI_ISL_18632344 | 26/08/2020 | São José do Rio Preto |
| EPI_ISL_18637330 | 26/08/2020 | São José do Rio Preto |
| EPI_ISL_18632345 | 26/08/2020 | São José do Rio Preto |
| EPI_ISL_18632347 | 28/08/2020 | São José do Rio Preto |
| EPI_ISL_18632354 | 31/08/2020 | São José do Rio Preto |
| EPI_ISL_18632355 | 31/08/2020 | São José do Rio Preto |
| EPI_ISL_18632356 | 31/08/2020 | São José do Rio Preto |

| | | |
|------------------|------------|-----------------------|
| EPI_ISL_18632357 | 31/08/2020 | São José do Rio Preto |
| EPI_ISL_18632359 | 31/08/2020 | São José do Rio Preto |
| EPI_ISL_18632360 | 31/08/2020 | São José do Rio Preto |
| EPI_ISL_18632361 | 31/08/2020 | São José do Rio Preto |
| EPI_ISL_18632362 | 31/08/2020 | São José do Rio Preto |
| EPI_ISL_18632363 | 31/08/2020 | São José do Rio Preto |
| EPI_ISL_18632367 | 01/09/2020 | São José do Rio Preto |
| EPI_ISL_18632372 | 03/09/2020 | São José do Rio Preto |
| EPI_ISL_18632374 | 03/09/2020 | São José do Rio Preto |
| EPI_ISL_18632375 | 17/09/2020 | São José do Rio Preto |
| EPI_ISL_18632377 | 05/09/2020 | São José do Rio Preto |
| EPI_ISL_18632378 | 05/09/2020 | São José do Rio Preto |
| EPI_ISL_18632379 | 05/09/2020 | São José do Rio Preto |
| EPI_ISL_18632380 | 08/09/2020 | São José do Rio Preto |
| EPI_ISL_18632381 | 07/09/2020 | São José do Rio Preto |
| EPI_ISL_18632382 | 07/09/2020 | São José do Rio Preto |
| EPI_ISL_18632383 | 07/09/2020 | São José do Rio Preto |
| EPI_ISL_18632384 | 07/09/2020 | São José do Rio Preto |
| EPI_ISL_18632385 | 07/09/2020 | São José do Rio Preto |
| EPI_ISL_18632386 | 09/09/2020 | São José do Rio Preto |
| EPI_ISL_18632387 | 08/09/2020 | São José do Rio Preto |
| EPI_ISL_18632388 | 08/09/2020 | São José do Rio Preto |
| EPI_ISL_18632390 | 08/09/2020 | São José do Rio Preto |
| EPI_ISL_18632391 | 08/09/2020 | São José do Rio Preto |

| | | |
|------------------|------------|-----------------------|
| EPI_ISL_18632393 | 08/09/2020 | São José do Rio Preto |
| EPI_ISL_18632395 | 09/09/2020 | São José do Rio Preto |
| EPI_ISL_18632396 | 09/09/2020 | São José do Rio Preto |
| EPI_ISL_18632397 | 09/09/2020 | São José do Rio Preto |
| EPI_ISL_18632399 | 11/09/2020 | São José do Rio Preto |
| EPI_ISL_18632402 | 11/09/2020 | São José do Rio Preto |
| EPI_ISL_18632403 | 13/09/2020 | São José do Rio Preto |
| EPI_ISL_18632404 | 13/09/2020 | São José do Rio Preto |
| EPI_ISL_18632405 | 12/09/2020 | São José do Rio Preto |
| EPI_ISL_18632409 | 13/09/2020 | São José do Rio Preto |
| EPI_ISL_18632412 | 12/09/2020 | São José do Rio Preto |
| EPI_ISL_18632413 | 12/09/2020 | São José do Rio Preto |
| EPI_ISL_18632415 | 14/09/2020 | São José do Rio Preto |
| EPI_ISL_18632416 | 14/09/2020 | São José do Rio Preto |
| EPI_ISL_18632417 | 14/09/2020 | São José do Rio Preto |
| EPI_ISL_18632418 | 14/09/2020 | São José do Rio Preto |
| EPI_ISL_18632420 | 14/09/2020 | São José do Rio Preto |
| EPI_ISL_18632422 | 17/09/2020 | São José do Rio Preto |
| EPI_ISL_18632423 | 17/09/2020 | São José do Rio Preto |
| EPI_ISL_18632424 | 17/09/2020 | São José do Rio Preto |
| EPI_ISL_18632425 | 18/09/2020 | São José do Rio Preto |
| EPI_ISL_18632428 | 19/09/2020 | São José do Rio Preto |
| EPI_ISL_18632429 | 20/09/2020 | São José do Rio Preto |
| EPI_ISL_18632430 | 20/09/2020 | São José do Rio Preto |

| | | |
|------------------|------------|-----------------------|
| EPI_ISL_18632432 | 21/09/2020 | São José do Rio Preto |
| EPI_ISL_18632434 | 21/09/2020 | São José do Rio Preto |
| EPI_ISL_18632435 | 21/09/2020 | São José do Rio Preto |
| EPI_ISL_18632438 | 21/09/2020 | São José do Rio Preto |
| EPI_ISL_18632439 | 21/09/2020 | São José do Rio Preto |
| EPI_ISL_18632442 | 22/09/2020 | São José do Rio Preto |
| EPI_ISL_18632446 | 23/09/2020 | São José do Rio Preto |
| EPI_ISL_18632447 | 23/09/2020 | São José do Rio Preto |
| EPI_ISL_18632448 | 23/09/2020 | São José do Rio Preto |
| EPI_ISL_18632450 | 02/10/2020 | São José do Rio Preto |
| EPI_ISL_18632453 | 05/10/2020 | São José do Rio Preto |
| EPI_ISL_18632455 | 05/10/2020 | São José do Rio Preto |
| EPI_ISL_18632456 | 05/10/2020 | São José do Rio Preto |
| EPI_ISL_18632458 | 08/10/2020 | São José do Rio Preto |
| EPI_ISL_18632459 | 05/10/2020 | São José do Rio Preto |
| EPI_ISL_18632461 | 07/10/2020 | São José do Rio Preto |
| EPI_ISL_18632463 | 07/10/2020 | São José do Rio Preto |
| EPI_ISL_18632464 | 08/10/2020 | São José do Rio Preto |
| EPI_ISL_18632466 | 09/10/2020 | São José do Rio Preto |
| EPI_ISL_18632468 | 09/10/2020 | São José do Rio Preto |
| EPI_ISL_18632469 | 09/10/2020 | São José do Rio Preto |
| EPI_ISL_18632473 | 12/10/2020 | São José do Rio Preto |
| EPI_ISL_18632474 | 11/10/2020 | São José do Rio Preto |
| EPI_ISL_18632476 | 12/10/2020 | São José do Rio Preto |

| | | |
|------------------|------------|-----------------------|
| EPI_ISL_18632477 | 12/10/2020 | São José do Rio Preto |
| EPI_ISL_18632480 | 14/10/2020 | São José do Rio Preto |
| EPI_ISL_18632481 | 13/10/2020 | São José do Rio Preto |
| EPI_ISL_18632483 | 13/10/2020 | São José do Rio Preto |
| EPI_ISL_18632485 | 13/10/2020 | São José do Rio Preto |
| EPI_ISL_18632486 | 27/10/2020 | São José do Rio Preto |
| EPI_ISL_18632487 | 13/10/2020 | São José do Rio Preto |
| EPI_ISL_18632488 | 13/10/2020 | São José do Rio Preto |
| EPI_ISL_18632489 | 15/10/2020 | São José do Rio Preto |
| EPI_ISL_18632490 | 15/10/2020 | São José do Rio Preto |
| EPI_ISL_18632492 | 16/10/2020 | São José do Rio Preto |
| EPI_ISL_18632493 | 16/10/2020 | São José do Rio Preto |
| EPI_ISL_18632497 | 18/10/2020 | São José do Rio Preto |
| EPI_ISL_18632500 | 18/10/2020 | São José do Rio Preto |
| EPI_ISL_18632501 | 20/10/2020 | São José do Rio Preto |
| EPI_ISL_18632502 | 19/10/2020 | São José do Rio Preto |
| EPI_ISL_18632504 | 19/10/2020 | São José do Rio Preto |
| EPI_ISL_18632505 | 19/10/2020 | São José do Rio Preto |
| EPI_ISL_18632508 | 20/10/2020 | São José do Rio Preto |
| EPI_ISL_18632509 | 20/10/2020 | São José do Rio Preto |
| EPI_ISL_18632511 | 21/10/2020 | São José do Rio Preto |
| EPI_ISL_18632514 | 21/10/2020 | São José do Rio Preto |
| EPI_ISL_18632515 | 23/10/2020 | São José do Rio Preto |
| EPI_ISL_18632517 | 23/10/2020 | São José do Rio Preto |

| | | |
|------------------|------------|-----------------------|
| EPI_ISL_18632518 | 23/10/2020 | São José do Rio Preto |
| EPI_ISL_18632520 | 27/10/2020 | São José do Rio Preto |
| EPI_ISL_18632522 | 26/10/2020 | São José do Rio Preto |
| EPI_ISL_18632529 | 17/10/2020 | São José do Rio Preto |
| EPI_ISL_18632531 | 29/10/2020 | São José do Rio Preto |
| EPI_ISL_18632532 | 30/10/2020 | São José do Rio Preto |
| EPI_ISL_18632533 | 30/10/2020 | São José do Rio Preto |
| EPI_ISL_18632534 | 01/11/2020 | São José do Rio Preto |
| EPI_ISL_18632536 | 01/11/2020 | São José do Rio Preto |
| EPI_ISL_18632537 | 02/11/2020 | São José do Rio Preto |
| EPI_ISL_18632540 | 04/11/2020 | São José do Rio Preto |
| EPI_ISL_18632544 | 05/11/2020 | São José do Rio Preto |
| EPI_ISL_18632545 | 17/11/2020 | São José do Rio Preto |
| EPI_ISL_18632546 | 05/11/2020 | São José do Rio Preto |
| EPI_ISL_18632547 | 09/11/2020 | São José do Rio Preto |
| EPI_ISL_18632549 | 11/11/2020 | São José do Rio Preto |
| EPI_ISL_18632550 | 11/11/2020 | São José do Rio Preto |
| EPI_ISL_18632551 | 11/11/2020 | São José do Rio Preto |
| EPI_ISL_18632553 | 12/11/2020 | São José do Rio Preto |
| EPI_ISL_18632556 | 13/11/2020 | São José do Rio Preto |
| EPI_ISL_18632557 | 13/11/2020 | São José do Rio Preto |
| EPI_ISL_18632559 | 15/11/2020 | São José do Rio Preto |
| EPI_ISL_18632561 | 15/11/2020 | São José do Rio Preto |
| EPI_ISL_18632563 | 16/11/2020 | São José do Rio Preto |

| | | |
|------------------|------------|-----------------------|
| EPI_ISL_18632565 | 13/10/2020 | São José do Rio Preto |
| EPI_ISL_18632566 | 16/11/2020 | São José do Rio Preto |
| EPI_ISL_18632567 | 17/11/2020 | São José do Rio Preto |
| EPI_ISL_18632570 | 18/11/2020 | São José do Rio Preto |
| EPI_ISL_18632572 | 18/11/2020 | São José do Rio Preto |
| EPI_ISL_18632574 | 18/11/2020 | São José do Rio Preto |
| EPI_ISL_18632576 | 18/11/2020 | São José do Rio Preto |
| EPI_ISL_18632577 | 20/11/2020 | São José do Rio Preto |
| EPI_ISL_18632582 | 20/11/2020 | São José do Rio Preto |
| EPI_ISL_18632588 | 22/11/2020 | São José do Rio Preto |
| EPI_ISL_18632590 | 23/11/2020 | São José do Rio Preto |
| EPI_ISL_18632592 | 23/11/2020 | São José do Rio Preto |

Tabela 4. Dataset utilizado na análise filogeográfica de B.1.1.33.

| ID de acesso GISAID | Data de coleta | Local |
|---------------------|----------------|--------------|
| EPI_ISL_1040831 | 02/10/2020 | Campo Grande |
| EPI_ISL_1040835 | 19/09/2020 | Campo Grande |
| EPI_ISL_1040836 | 18/09/2020 | Campo Grande |
| EPI_ISL_1040848 | 31/07/2020 | Campo Grande |
| EPI_ISL_1060910 | 16/12/2020 | Manaus |
| EPI_ISL_1068083 | 22/04/2020 | Manaus |
| EPI_ISL_1068094 | 04/09/2020 | Manaus |
| EPI_ISL_1068097 | 18/09/2020 | Manaus |
| EPI_ISL_1068098 | 24/09/2020 | Manaus |

| | | |
|-----------------|------------|----------------|
| EPI_ISL_1068099 | 29/09/2020 | Manaus |
| EPI_ISL_1068103 | 15/10/2020 | Manaus |
| EPI_ISL_1068120 | 02/09/2020 | Manaus |
| EPI_ISL_1068122 | 17/09/2020 | Manaus |
| EPI_ISL_1068139 | 24/11/2020 | Manaus |
| EPI_ISL_1068144 | 09/12/2020 | Manaus |
| EPI_ISL_1068189 | 27/07/2020 | Manaus |
| EPI_ISL_1068216 | 19/05/2020 | Manaus |
| EPI_ISL_1068228 | 27/07/2020 | Manaus |
| EPI_ISL_1068229 | 20/07/2020 | Manaus |
| EPI_ISL_1068230 | 20/07/2020 | Manaus |
| EPI_ISL_1068234 | 28/07/2020 | Manaus |
| EPI_ISL_1068240 | 12/05/2020 | Manaus |
| EPI_ISL_1117417 | 03/06/2020 | Recife |
| EPI_ISL_1121327 | 31/07/2020 | Campo Grande |
| EPI_ISL_1139061 | 08/04/2020 | Campo Grande |
| EPI_ISL_1139063 | 24/04/2020 | Campo Grande |
| EPI_ISL_1181354 | 13/07/2020 | Salvador |
| EPI_ISL_1181355 | 28/09/2020 | Salvador |
| EPI_ISL_1181356 | 25/04/2020 | Fortaleza |
| EPI_ISL_1181361 | 30/07/2020 | Rio de Janeiro |
| EPI_ISL_1181363 | 10/07/2020 | Rio de Janeiro |
| EPI_ISL_1181367 | 01/09/2020 | Rio de Janeiro |
| EPI_ISL_1181372 | 13/10/2020 | Rio de Janeiro |

| | | |
|-----------------|------------|----------------|
| EPI_ISL_1181379 | 27/10/2020 | Salvador |
| EPI_ISL_1181387 | 06/08/2020 | Rio de Janeiro |
| EPI_ISL_1181415 | 29/12/2020 | Rio de Janeiro |
| EPI_ISL_1181424 | 10/11/2020 | Salvador |
| EPI_ISL_1181425 | 07/11/2020 | Rio de Janeiro |
| EPI_ISL_1181429 | 23/10/2020 | Salvador |
| EPI_ISL_1181430 | 21/10/2020 | Rio de Janeiro |
| EPI_ISL_1181431 | 14/10/2020 | Rio de Janeiro |
| EPI_ISL_1181437 | 29/09/2020 | Rio de Janeiro |
| EPI_ISL_1181439 | 29/09/2020 | Rio de Janeiro |
| EPI_ISL_1181440 | 28/09/2020 | Salvador |
| EPI_ISL_1181441 | 24/09/2020 | Salvador |
| EPI_ISL_1181444 | 21/09/2020 | Salvador |
| EPI_ISL_1181445 | 21/09/2020 | Salvador |
| EPI_ISL_1181446 | 21/09/2020 | Rio de Janeiro |
| EPI_ISL_1181447 | 21/09/2020 | Rio de Janeiro |
| EPI_ISL_1181448 | 17/09/2020 | Rio de Janeiro |
| EPI_ISL_1181449 | 14/09/2020 | Salvador |
| EPI_ISL_1181457 | 31/08/2020 | Rio de Janeiro |
| EPI_ISL_1181458 | 31/08/2020 | Rio de Janeiro |
| EPI_ISL_1181465 | 26/08/2020 | Rio de Janeiro |
| EPI_ISL_1181466 | 25/08/2020 | Rio de Janeiro |
| EPI_ISL_1181476 | 14/08/2020 | Rio de Janeiro |
| EPI_ISL_1181481 | 07/08/2020 | Rio de Janeiro |

| | | |
|-----------------|------------|----------------|
| EPI_ISL_1181482 | 05/08/2020 | Rio de Janeiro |
| EPI_ISL_1181483 | 04/08/2020 | Rio de Janeiro |
| EPI_ISL_1181484 | 03/08/2020 | Salvador |
| EPI_ISL_1181485 | 03/08/2020 | Salvador |
| EPI_ISL_1181486 | 03/08/2020 | Rio de Janeiro |
| EPI_ISL_1181488 | 31/07/2020 | Rio de Janeiro |
| EPI_ISL_1181490 | 30/07/2020 | Rio de Janeiro |
| EPI_ISL_1181491 | 30/07/2020 | Rio de Janeiro |
| EPI_ISL_1181492 | 29/07/2020 | Goiânia |
| EPI_ISL_1181493 | 29/07/2020 | Rio de Janeiro |
| EPI_ISL_1181499 | 21/07/2020 | Rio de Janeiro |
| EPI_ISL_1181500 | 20/07/2020 | Rio de Janeiro |
| EPI_ISL_1181501 | 17/07/2020 | Rio de Janeiro |
| EPI_ISL_1181502 | 10/07/2020 | Rio de Janeiro |
| EPI_ISL_1181503 | 10/07/2020 | Rio de Janeiro |
| EPI_ISL_1181507 | 06/07/2020 | Rio de Janeiro |
| EPI_ISL_1181508 | 06/07/2020 | Rio de Janeiro |
| EPI_ISL_1181515 | 01/07/2020 | Rio de Janeiro |
| EPI_ISL_1181520 | 27/04/2020 | Fortaleza |
| EPI_ISL_1181522 | 16/05/2020 | Fortaleza |
| EPI_ISL_1181531 | 12/06/2020 | Rio de Janeiro |
| EPI_ISL_1181535 | 10/06/2020 | Goiânia |
| EPI_ISL_1181560 | 03/06/2020 | Rio de Janeiro |
| EPI_ISL_1181561 | 03/06/2020 | Rio de Janeiro |

| | | |
|------------------|------------|----------------|
| EPI_ISL_1181569 | 29/05/2020 | Goiânia |
| EPI_ISL_1181571 | 28/05/2020 | Rio de Janeiro |
| EPI_ISL_1181572 | 21/05/2020 | Rio de Janeiro |
| EPI_ISL_1181575 | 19/05/2020 | Fortaleza |
| EPI_ISL_1181577 | 17/06/2020 | Fortaleza |
| EPI_ISL_1181578 | 15/05/2020 | Rio de Janeiro |
| EPI_ISL_1181584 | 04/05/2020 | Curitiba |
| EPI_ISL_1181586 | 21/06/2020 | Fortaleza |
| EPI_ISL_1181587 | 28/04/2020 | Rio de Janeiro |
| EPI_ISL_1181588 | 10/04/2020 | Fortaleza |
| EPI_ISL_1181589 | 27/04/2020 | Rio de Janeiro |
| EPI_ISL_1181592 | 22/04/2020 | Maceió |
| EPI_ISL_1181593 | 28/04/2020 | Fortaleza |
| EPI_ISL_1181595 | 20/04/2020 | Aracaju |
| EPI_ISL_1181596 | 28/04/2020 | Fortaleza |
| EPI_ISL_1181598 | 05/08/2020 | Fortaleza |
| EPI_ISL_1181599 | 15/04/2020 | Rio de Janeiro |
| EPI_ISL_1181604 | 16/04/2020 | Fortaleza |
| EPI_ISL_1181607 | 04/04/2020 | Rio de Janeiro |
| EPI_ISL_1181608 | 30/03/2020 | Rio de Janeiro |
| EPI_ISL_1181621 | 18/04/2020 | Fortaleza |
| EPI_ISL_1196286 | 28/09/2020 | Brasília |
| EPI_ISL_1201883 | 19/03/2020 | Campo Grande |
| EPI_ISL_12173808 | 07/08/2020 | Salvador |

| | | |
|------------------|------------|------------|
| EPI_ISL_12173820 | 27/07/2020 | Salvador |
| EPI_ISL_12173822 | 02/12/2020 | Salvador |
| EPI_ISL_12173826 | 10/07/2020 | Salvador |
| EPI_ISL_12173836 | 26/04/2020 | Salvador |
| EPI_ISL_12173837 | 13/07/2020 | Salvador |
| EPI_ISL_12173845 | 15/09/2020 | Salvador |
| EPI_ISL_12173862 | 21/09/2020 | Salvador |
| EPI_ISL_12173865 | 20/07/2020 | Salvador |
| EPI_ISL_12838743 | 16/09/2020 | Salvador |
| EPI_ISL_12838752 | 09/09/2020 | Salvador |
| EPI_ISL_12838753 | 14/09/2020 | Salvador |
| EPI_ISL_12838755 | 23/10/2020 | Salvador |
| EPI_ISL_12838757 | 17/11/2020 | Salvador |
| EPI_ISL_12838760 | 10/07/2020 | Salvador |
| EPI_ISL_13229337 | 15/07/2020 | Salvador |
| EPI_ISL_13229338 | 12/07/2020 | Salvador |
| EPI_ISL_13229341 | 08/07/2020 | Salvador |
| EPI_ISL_13229346 | 13/07/2020 | Salvador |
| EPI_ISL_13229352 | 31/07/2020 | Salvador |
| EPI_ISL_13229355 | 19/04/2020 | Salvador |
| EPI_ISL_13229382 | 12/08/2020 | Salvador |
| EPI_ISL_13229388 | 16/07/2020 | Salvador |
| EPI_ISL_13497916 | 09/08/2020 | Rio Branco |
| EPI_ISL_13497950 | 29/09/2020 | Rio Branco |

| | | |
|------------------|------------|------------|
| EPI_ISL_13497954 | 30/09/2020 | Rio Branco |
| EPI_ISL_13497965 | 30/04/2020 | Rio Branco |
| EPI_ISL_13497966 | 27/04/2020 | Rio Branco |
| EPI_ISL_13497993 | 27/09/2020 | Rio Branco |
| EPI_ISL_13497996 | 03/11/2020 | Rio Branco |
| EPI_ISL_13498017 | 05/11/2020 | Rio Branco |
| EPI_ISL_13498063 | 10/11/2020 | Rio Branco |
| EPI_ISL_13498065 | 13/06/2020 | Rio Branco |
| EPI_ISL_13498103 | 07/11/2020 | Rio Branco |
| EPI_ISL_13498121 | 16/07/2020 | Rio Branco |
| EPI_ISL_13498126 | 18/07/2020 | Rio Branco |
| EPI_ISL_13498133 | 18/07/2020 | Rio Branco |
| EPI_ISL_13498134 | 17/07/2020 | Rio Branco |
| EPI_ISL_13498142 | 21/07/2020 | Rio Branco |
| EPI_ISL_13498148 | 15/07/2020 | Rio Branco |
| EPI_ISL_13498149 | 14/07/2020 | Rio Branco |
| EPI_ISL_13498153 | 17/07/2020 | Rio Branco |
| EPI_ISL_13498154 | 20/07/2020 | Rio Branco |
| EPI_ISL_13498155 | 17/07/2020 | Rio Branco |
| EPI_ISL_13498157 | 19/07/2020 | Rio Branco |
| EPI_ISL_13498158 | 25/04/2020 | Rio Branco |
| EPI_ISL_13498159 | 26/04/2020 | Rio Branco |
| EPI_ISL_13498160 | 21/04/2020 | Rio Branco |
| EPI_ISL_13498162 | 25/04/2020 | Rio Branco |

| | | |
|------------------|------------|------------|
| EPI_ISL_13498163 | 26/04/2020 | Rio Branco |
| EPI_ISL_13498165 | 26/04/2020 | Rio Branco |
| EPI_ISL_13498167 | 26/04/2020 | Rio Branco |
| EPI_ISL_13498179 | 21/04/2020 | Rio Branco |
| EPI_ISL_13498180 | 26/04/2020 | Rio Branco |
| EPI_ISL_13498182 | 22/04/2020 | Rio Branco |
| EPI_ISL_13498183 | 22/04/2020 | Rio Branco |
| EPI_ISL_13498193 | 28/04/2020 | Rio Branco |
| EPI_ISL_13498196 | 21/11/2020 | Rio Branco |
| EPI_ISL_13498200 | 10/11/2020 | Rio Branco |
| EPI_ISL_13498204 | 09/11/2020 | Rio Branco |
| EPI_ISL_13498207 | 25/04/2020 | Rio Branco |
| EPI_ISL_13498210 | 30/09/2020 | Rio Branco |
| EPI_ISL_13498211 | 29/07/2020 | Rio Branco |
| EPI_ISL_13498212 | 23/11/2020 | Rio Branco |
| EPI_ISL_13498215 | 25/04/2020 | Rio Branco |
| EPI_ISL_13498216 | 05/11/2020 | Rio Branco |
| EPI_ISL_13498218 | 22/04/2020 | Rio Branco |
| EPI_ISL_13498224 | 08/09/2020 | Rio Branco |
| EPI_ISL_13498227 | 26/04/2020 | Rio Branco |
| EPI_ISL_13498232 | 03/11/2020 | Rio Branco |
| EPI_ISL_13498233 | 29/09/2020 | Rio Branco |
| EPI_ISL_13498240 | 08/09/2020 | Rio Branco |
| EPI_ISL_13498242 | 28/09/2020 | Rio Branco |

| | | |
|------------------|------------|----------------|
| EPI_ISL_13498243 | 05/09/2020 | Rio Branco |
| EPI_ISL_13498244 | 05/09/2020 | Rio Branco |
| EPI_ISL_13833490 | 04/11/2020 | Vitória |
| EPI_ISL_13833494 | 08/11/2020 | Vitória |
| EPI_ISL_13833501 | 09/11/2020 | Vitória |
| EPI_ISL_13833507 | 13/11/2020 | Vitória |
| EPI_ISL_14253346 | 28/12/2020 | Rio de Janeiro |
| EPI_ISL_1469592 | 23/09/2020 | Porto Alegre |
| EPI_ISL_1469605 | 19/08/2020 | Porto Alegre |
| EPI_ISL_1469618 | 11/08/2020 | Porto Alegre |
| EPI_ISL_1469635 | 09/10/2020 | Porto Alegre |
| EPI_ISL_1469672 | 24/06/2020 | Porto Alegre |
| EPI_ISL_1469699 | 10/11/2020 | Porto Alegre |
| EPI_ISL_1469700 | 16/07/2020 | Porto Alegre |
| EPI_ISL_1469756 | 23/08/2020 | Porto Alegre |
| EPI_ISL_1469764 | 08/11/2020 | Porto Alegre |
| EPI_ISL_1469766 | 09/10/2020 | Porto Alegre |
| EPI_ISL_1469769 | 01/08/2020 | Porto Alegre |
| EPI_ISL_1469772 | 05/11/2020 | Porto Alegre |
| EPI_ISL_1469773 | 06/05/2020 | Porto Alegre |
| EPI_ISL_1469793 | 17/08/2020 | Porto Alegre |
| EPI_ISL_1469809 | 07/08/2020 | Porto Alegre |
| EPI_ISL_1469826 | 11/06/2020 | Porto Alegre |
| EPI_ISL_1479120 | 09/08/2020 | Porto Alegre |

| | | |
|------------------|------------|-----------------------|
| EPI_ISL_1499201 | 09/11/2020 | Salvador |
| EPI_ISL_15045748 | 07/09/2020 | Rio Branco |
| EPI_ISL_1533980 | 20/07/2020 | Rio de Janeiro |
| EPI_ISL_1533983 | 17/10/2020 | Rio de Janeiro |
| EPI_ISL_15436495 | 24/08/2020 | Rio de Janeiro |
| EPI_ISL_16083953 | 21/08/2020 | Rio de Janeiro |
| EPI_ISL_2008943 | 09/11/2020 | São José do Rio Preto |
| EPI_ISL_2248771 | 03/12/2020 | São Luís |
| EPI_ISL_2249336 | 28/12/2020 | Vitória |
| EPI_ISL_2249339 | 18/12/2020 | Vitória |
| EPI_ISL_2298869 | 25/12/2020 | Manaus |
| EPI_ISL_2344232 | 15/12/2020 | Cuiabá |
| EPI_ISL_2344238 | 01/12/2020 | Belo Horizonte |
| EPI_ISL_2344259 | 25/11/2020 | Curitiba |
| EPI_ISL_2344455 | 15/09/2020 | Curitiba |
| EPI_ISL_2348616 | 18/09/2020 | Goiânia |
| EPI_ISL_2443599 | 30/09/2020 | Rio de Janeiro |
| EPI_ISL_2443600 | 30/09/2020 | Rio de Janeiro |
| EPI_ISL_2443602 | 26/10/2020 | Rio de Janeiro |
| EPI_ISL_2443603 | 26/10/2020 | Rio de Janeiro |
| EPI_ISL_2443612 | 05/11/2020 | Rio de Janeiro |
| EPI_ISL_2466147 | 01/11/2020 | Natal |
| EPI_ISL_2466149 | 01/11/2020 | Natal |
| EPI_ISL_2466170 | 01/09/2020 | Natal |

| | | |
|-----------------|------------|-----------------------|
| EPI_ISL_2544887 | 20/11/2020 | São José do Rio Preto |
| EPI_ISL_2557396 | 13/10/2020 | Rio de Janeiro |
| EPI_ISL_2557397 | 09/10/2020 | Rio de Janeiro |
| EPI_ISL_2557398 | 14/10/2020 | Rio de Janeiro |
| EPI_ISL_2557399 | 16/10/2020 | Rio de Janeiro |
| EPI_ISL_2557401 | 15/10/2020 | Rio de Janeiro |
| EPI_ISL_2557402 | 20/10/2020 | Rio de Janeiro |
| EPI_ISL_2557408 | 03/12/2020 | Rio de Janeiro |
| EPI_ISL_2557415 | 17/11/2020 | Florianópolis |
| EPI_ISL_2603474 | 22/10/2020 | Rio de Janeiro |
| EPI_ISL_2603489 | 28/12/2020 | Rio de Janeiro |
| EPI_ISL_2603500 | 08/10/2020 | Rio de Janeiro |
| EPI_ISL_2603503 | 25/09/2020 | Rio de Janeiro |
| EPI_ISL_2603506 | 21/09/2020 | Rio de Janeiro |
| EPI_ISL_2603508 | 18/09/2020 | Rio de Janeiro |
| EPI_ISL_2603510 | 17/09/2020 | Rio de Janeiro |
| EPI_ISL_2603511 | 17/09/2020 | Rio de Janeiro |
| EPI_ISL_2603513 | 16/09/2020 | Rio de Janeiro |
| EPI_ISL_2603514 | 14/09/2020 | Rio de Janeiro |
| EPI_ISL_2603518 | 30/07/2020 | Rio de Janeiro |
| EPI_ISL_2603521 | 10/07/2020 | Porto Alegre |
| EPI_ISL_2603525 | 18/06/2020 | Porto Alegre |
| EPI_ISL_2603527 | 08/06/2020 | Porto Alegre |
| EPI_ISL_2603528 | 13/04/2020 | Porto Alegre |

| | | |
|-----------------|------------|----------------|
| EPI_ISL_2614093 | 07/10/2020 | Rio de Janeiro |
| EPI_ISL_2614101 | 05/11/2020 | Rio de Janeiro |
| EPI_ISL_2614381 | 18/11/2020 | Rio de Janeiro |
| EPI_ISL_2614540 | 09/11/2020 | São Paulo |
| EPI_ISL_2627738 | 13/10/2020 | Belo Horizonte |
| EPI_ISL_2645531 | 04/09/2020 | Vitória |
| EPI_ISL_2645532 | 04/09/2020 | Vitória |
| EPI_ISL_2645533 | 04/09/2020 | Vitória |
| EPI_ISL_2645534 | 04/09/2020 | Vitória |
| EPI_ISL_2645535 | 04/09/2020 | Vitória |
| EPI_ISL_2645541 | 16/09/2020 | Vitória |
| EPI_ISL_2645542 | 16/09/2020 | Vitória |
| EPI_ISL_2645548 | 15/10/2020 | Vitória |
| EPI_ISL_2645550 | 15/10/2020 | Vitória |
| EPI_ISL_2645556 | 07/11/2020 | Vitória |
| EPI_ISL_2645568 | 28/12/2020 | Vitória |
| EPI_ISL_2645645 | 29/05/2020 | Maceió |
| EPI_ISL_2661874 | 13/11/2020 | Fortaleza |
| EPI_ISL_2661875 | 16/11/2020 | Fortaleza |
| EPI_ISL_2661877 | 19/11/2020 | Fortaleza |
| EPI_ISL_2661881 | 23/11/2020 | Fortaleza |
| EPI_ISL_2661887 | 17/12/2020 | Fortaleza |
| EPI_ISL_2661890 | 17/12/2020 | Fortaleza |
| EPI_ISL_2661895 | 26/12/2020 | Fortaleza |

| | | |
|-----------------|------------|----------------|
| EPI_ISL_2661899 | 27/12/2020 | Fortaleza |
| EPI_ISL_2661905 | 30/12/2020 | Fortaleza |
| EPI_ISL_2661906 | 30/12/2020 | Fortaleza |
| EPI_ISL_2677309 | 31/07/2020 | Florianópolis |
| EPI_ISL_2677310 | 15/06/2020 | Florianópolis |
| EPI_ISL_2677311 | 23/05/2020 | Florianópolis |
| EPI_ISL_2677312 | 21/05/2020 | Florianópolis |
| EPI_ISL_2731475 | 23/07/2020 | Rio de Janeiro |
| EPI_ISL_2731492 | 27/08/2020 | Rio de Janeiro |
| EPI_ISL_2731504 | 28/09/2020 | Rio de Janeiro |
| EPI_ISL_2758773 | 04/11/2020 | Curitiba |
| EPI_ISL_2758797 | 02/07/2020 | Curitiba |
| EPI_ISL_2777367 | 13/11/2020 | Manaus |
| EPI_ISL_2777372 | 04/12/2020 | Manaus |
| EPI_ISL_2821312 | 09/08/2020 | Recife |
| EPI_ISL_2983309 | 03/12/2020 | São Luís |
| EPI_ISL_2983314 | 13/12/2020 | São Luís |
| EPI_ISL_3031321 | 19/11/2020 | Belo Horizonte |
| EPI_ISL_3031325 | 26/11/2020 | Belo Horizonte |
| EPI_ISL_3031330 | 18/12/2020 | Belo Horizonte |
| EPI_ISL_3046127 | 19/11/2020 | Recife |
| EPI_ISL_3048790 | 28/07/2020 | Porto Alegre |
| EPI_ISL_3048806 | 14/08/2020 | Porto Alegre |
| EPI_ISL_3048830 | 14/12/2020 | Porto Alegre |

| | | |
|-----------------|------------|-----------------------|
| EPI_ISL_3048947 | 03/10/2020 | São José do Rio Preto |
| EPI_ISL_3048953 | 22/10/2020 | São José do Rio Preto |
| EPI_ISL_3061856 | 20/10/2020 | Belo Horizonte |
| EPI_ISL_3061902 | 26/10/2020 | Florianópolis |
| EPI_ISL_3061903 | 04/08/2020 | Florianópolis |
| EPI_ISL_3190273 | 08/06/2020 | Rio de Janeiro |
| EPI_ISL_3190274 | 16/06/2020 | Rio de Janeiro |
| EPI_ISL_3190278 | 17/09/2020 | Rio de Janeiro |
| EPI_ISL_3190281 | 09/10/2020 | Rio de Janeiro |
| EPI_ISL_3190282 | 26/10/2020 | Rio de Janeiro |
| EPI_ISL_3190286 | 24/11/2020 | Rio de Janeiro |
| EPI_ISL_3190294 | 08/12/2020 | Rio de Janeiro |
| EPI_ISL_3769304 | 16/08/2020 | Goiânia |
| EPI_ISL_3769334 | 22/10/2020 | Goiânia |
| EPI_ISL_3769414 | 10/10/2020 | Goiânia |
| EPI_ISL_427294 | 13/03/2020 | Brasília |
| EPI_ISL_4297877 | 30/03/2020 | São Paulo |
| EPI_ISL_4463723 | 23/04/2020 | São Paulo |
| EPI_ISL_468310 | 22/03/2020 | São Paulo |
| EPI_ISL_471551 | 10/04/2020 | São Paulo |
| EPI_ISL_492033 | 29/04/2020 | Rio de Janeiro |
| EPI_ISL_492040 | 30/04/2020 | Rio de Janeiro |
| EPI_ISL_492043 | 25/05/2020 | Rio de Janeiro |
| EPI_ISL_492045 | 27/05/2020 | Rio de Janeiro |

| | | |
|----------------|------------|----------------|
| EPI_ISL_492046 | 29/05/2020 | São Paulo |
| EPI_ISL_492047 | 29/05/2020 | São Paulo |
| EPI_ISL_492048 | 01/06/2020 | Rio de Janeiro |
| EPI_ISL_492101 | 29/05/2020 | São Paulo |
| EPI_ISL_492102 | 29/05/2020 | São Paulo |
| EPI_ISL_510535 | 08/05/2020 | Curitiba |
| EPI_ISL_515525 | 30/06/2020 | São Paulo |
| EPI_ISL_515527 | 18/03/2020 | São Paulo |
| EPI_ISL_515550 | 25/03/2020 | São Paulo |
| EPI_ISL_515557 | 15/04/2020 | São Paulo |
| EPI_ISL_523959 | 15/08/2020 | São Paulo |
| EPI_ISL_523961 | 17/04/2020 | São Paulo |
| EPI_ISL_523973 | 03/04/2020 | São Paulo |
| EPI_ISL_523976 | 10/04/2020 | São Paulo |
| EPI_ISL_524467 | 22/04/2020 | São Paulo |
| EPI_ISL_524470 | 06/05/2020 | São Paulo |
| EPI_ISL_527864 | 24/04/2020 | São Paulo |
| EPI_ISL_527867 | 22/04/2020 | São Paulo |
| EPI_ISL_527869 | 22/04/2020 | São Paulo |
| EPI_ISL_534313 | 02/04/2020 | São Paulo |
| EPI_ISL_534323 | 25/04/2020 | São Paulo |
| EPI_ISL_541356 | 17/04/2020 | Rio de Janeiro |
| EPI_ISL_541362 | 28/04/2020 | Rio de Janeiro |
| EPI_ISL_541363 | 28/04/2020 | Rio de Janeiro |

| | | |
|-----------------|------------|----------------|
| EPI_ISL_541365 | 29/04/2020 | Rio de Janeiro |
| EPI_ISL_541367 | 29/04/2020 | Rio de Janeiro |
| EPI_ISL_541369 | 30/04/2020 | Rio de Janeiro |
| EPI_ISL_541385 | 26/04/2020 | Aracaju |
| EPI_ISL_541388 | 20/04/2020 | Aracaju |
| EPI_ISL_547570 | 30/04/2020 | São Paulo |
| EPI_ISL_6633638 | 13/07/2020 | Campo Grande |
| EPI_ISL_6633649 | 04/09/2020 | Campo Grande |
| EPI_ISL_6633743 | 24/09/2020 | Campo Grande |
| EPI_ISL_6633764 | 17/07/2020 | Campo Grande |
| EPI_ISL_6633777 | 20/08/2020 | Campo Grande |
| EPI_ISL_6633788 | 08/12/2020 | Campo Grande |
| EPI_ISL_6633806 | 15/12/2020 | Campo Grande |
| EPI_ISL_6633811 | 30/11/2020 | Campo Grande |
| EPI_ISL_6633815 | 17/11/2020 | Campo Grande |
| EPI_ISL_6633834 | 30/07/2020 | Campo Grande |
| EPI_ISL_717837 | 07/04/2020 | Rio de Janeiro |
| EPI_ISL_717839 | 08/04/2020 | Rio de Janeiro |
| EPI_ISL_717843 | 20/04/2020 | Rio de Janeiro |
| EPI_ISL_717854 | 01/07/2020 | Rio de Janeiro |
| EPI_ISL_717856 | 02/07/2020 | Rio de Janeiro |
| EPI_ISL_717857 | 02/07/2020 | Rio de Janeiro |
| EPI_ISL_717859 | 03/07/2020 | Rio de Janeiro |
| EPI_ISL_717860 | 06/07/2020 | Rio de Janeiro |

| | | |
|----------------|------------|----------------|
| EPI_ISL_717861 | 08/07/2020 | Rio de Janeiro |
| EPI_ISL_717862 | 08/07/2020 | Rio de Janeiro |
| EPI_ISL_717869 | 03/09/2020 | Rio de Janeiro |
| EPI_ISL_717871 | 04/09/2020 | Rio de Janeiro |
| EPI_ISL_717873 | 08/09/2020 | Rio de Janeiro |
| EPI_ISL_717876 | 09/10/2020 | Rio de Janeiro |
| EPI_ISL_717878 | 26/10/2020 | Rio de Janeiro |
| EPI_ISL_717887 | 29/10/2020 | Rio de Janeiro |
| EPI_ISL_717890 | 03/11/2020 | Rio de Janeiro |
| EPI_ISL_717892 | 03/11/2020 | Rio de Janeiro |
| EPI_ISL_717895 | 04/11/2020 | Rio de Janeiro |
| EPI_ISL_717896 | 04/11/2020 | Rio de Janeiro |
| EPI_ISL_717897 | 04/11/2020 | Rio de Janeiro |
| EPI_ISL_717898 | 05/11/2020 | Rio de Janeiro |
| EPI_ISL_717920 | 29/10/2020 | Rio de Janeiro |
| EPI_ISL_717961 | 05/11/2020 | Rio de Janeiro |
| EPI_ISL_729795 | 27/05/2020 | Porto Alegre |
| EPI_ISL_729796 | 27/05/2020 | Porto Alegre |
| EPI_ISL_729802 | 09/08/2020 | Porto Alegre |
| EPI_ISL_729810 | 20/03/2020 | Porto Alegre |
| EPI_ISL_729814 | 25/03/2020 | Porto Alegre |
| EPI_ISL_729816 | 03/04/2020 | Porto Alegre |
| EPI_ISL_729817 | 03/04/2020 | Porto Alegre |
| EPI_ISL_729818 | 06/04/2020 | Porto Alegre |

| | | |
|-----------------|------------|----------------|
| EPI_ISL_729851 | 28/07/2020 | Porto Alegre |
| EPI_ISL_7455336 | 09/11/2020 | Rio de Janeiro |
| EPI_ISL_7743959 | 24/06/2020 | Florianópolis |
| EPI_ISL_7743962 | 10/07/2020 | Florianópolis |
| EPI_ISL_7743966 | 20/06/2020 | Florianópolis |
| EPI_ISL_7744122 | 22/06/2020 | Florianópolis |
| EPI_ISL_776751 | 24/03/2020 | São Paulo |
| EPI_ISL_776754 | 31/03/2020 | São Paulo |
| EPI_ISL_776759 | 30/04/2020 | São Paulo |
| EPI_ISL_776762 | 23/03/2020 | São Paulo |
| EPI_ISL_792105 | 27/03/2020 | São Paulo |
| EPI_ISL_8005109 | 17/06/2020 | Curitiba |
| EPI_ISL_8005113 | 28/06/2020 | Curitiba |
| EPI_ISL_8005117 | 16/07/2020 | Curitiba |
| EPI_ISL_8005118 | 16/07/2020 | Curitiba |
| EPI_ISL_8005119 | 16/07/2020 | Curitiba |
| EPI_ISL_8005128 | 06/08/2020 | Curitiba |
| EPI_ISL_8005132 | 12/08/2020 | Curitiba |
| EPI_ISL_8005146 | 11/09/2020 | Curitiba |
| EPI_ISL_8005159 | 10/11/2020 | Curitiba |
| EPI_ISL_8005195 | 18/12/2020 | Curitiba |
| EPI_ISL_8005445 | 08/07/2020 | Curitiba |
| EPI_ISL_8005447 | 30/07/2020 | Curitiba |
| EPI_ISL_8005459 | 06/10/2020 | Curitiba |

| | | |
|------------------|------------|-----------------------|
| EPI_ISL_833155 | 27/04/2020 | São Paulo |
| EPI_ISL_861638 | 22/04/2020 | São Paulo |
| EPI_ISL_861642 | 26/04/2020 | São Paulo |
| EPI_ISL_861651 | 10/05/2020 | São Paulo |
| EPI_ISL_861653 | 13/05/2020 | São Paulo |
| EPI_ISL_942407 | 23/07/2020 | Porto Alegre |
| EPI_ISL_943601 | 28/07/2020 | Porto Alegre |
| EPI_ISL_944081 | 28/07/2020 | Porto Alegre |
| EPI_ISL_9571652 | 18/08/2020 | Rio de Janeiro |
| EPI_ISL_9571733 | 10/07/2020 | Rio de Janeiro |
| EPI_ISL_9754632 | 02/10/2020 | Rio de Janeiro |
| EPI_ISL_9754635 | 05/10/2020 | Rio de Janeiro |
| EPI_ISL_9754650 | 16/09/2020 | Rio de Janeiro |
| EPI_ISL_9754659 | 08/09/2020 | Rio de Janeiro |
| EPI_ISL_9754663 | 19/10/2020 | Rio de Janeiro |
| EPI_ISL_9754665 | 23/09/2020 | Rio de Janeiro |
| EPI_ISL_977479 | 09/08/2020 | São Paulo |
| EPI_ISL_985176 | 17/08/2020 | São Paulo |
| EPI_ISL_18631972 | 27/03/2020 | São José do Rio Preto |
| EPI_ISL_18631973 | 30/03/2020 | São José do Rio Preto |
| EPI_ISL_18631975 | 05/04/2020 | São José do Rio Preto |
| EPI_ISL_18631978 | 14/04/2020 | São José do Rio Preto |
| EPI_ISL_18631979 | 14/04/2020 | São José do Rio Preto |
| EPI_ISL_18631981 | 21/04/2020 | São José do Rio Preto |

| | | |
|------------------|------------|-----------------------|
| EPI_ISL_18631982 | 22/04/2020 | São José do Rio Preto |
| EPI_ISL_18631986 | 28/04/2020 | São José do Rio Preto |
| EPI_ISL_18631987 | 28/04/2020 | São José do Rio Preto |
| EPI_ISL_18631990 | 28/04/2020 | São José do Rio Preto |
| EPI_ISL_18631994 | 30/04/2020 | São José do Rio Preto |
| EPI_ISL_18631995 | 30/04/2020 | São José do Rio Preto |
| EPI_ISL_18631996 | 29/04/2020 | São José do Rio Preto |
| EPI_ISL_18631998 | 30/04/2020 | São José do Rio Preto |
| EPI_ISL_18631999 | 30/04/2020 | São José do Rio Preto |
| EPI_ISL_18632000 | 01/05/2020 | São José do Rio Preto |
| EPI_ISL_18632004 | 07/05/2020 | São José do Rio Preto |
| EPI_ISL_18632005 | 07/05/2020 | São José do Rio Preto |
| EPI_ISL_18632006 | 07/05/2020 | São José do Rio Preto |
| EPI_ISL_18632008 | 10/05/2020 | São José do Rio Preto |
| EPI_ISL_18632009 | 10/05/2020 | São José do Rio Preto |
| EPI_ISL_18632018 | 15/05/2020 | São José do Rio Preto |
| EPI_ISL_18632047 | 06/06/2020 | São José do Rio Preto |
| EPI_ISL_18632052 | 07/06/2020 | São José do Rio Preto |
| EPI_ISL_18632056 | 08/06/2020 | São José do Rio Preto |
| EPI_ISL_18632060 | 08/06/2020 | São José do Rio Preto |
| EPI_ISL_18632067 | 09/06/2020 | São José do Rio Preto |
| EPI_ISL_18632068 | 09/06/2020 | São José do Rio Preto |
| EPI_ISL_18632069 | 09/06/2020 | São José do Rio Preto |
| EPI_ISL_18632079 | 12/06/2020 | São José do Rio Preto |

| | | |
|------------------|------------|-----------------------|
| EPI_ISL_18632086 | 13/06/2020 | São José do Rio Preto |
| EPI_ISL_18632091 | 16/06/2020 | São José do Rio Preto |
| EPI_ISL_18632094 | 17/06/2020 | São José do Rio Preto |
| EPI_ISL_18637327 | 20/06/2020 | São José do Rio Preto |
| EPI_ISL_18632119 | 22/06/2020 | São José do Rio Preto |
| EPI_ISL_18632123 | 22/06/2020 | São José do Rio Preto |
| EPI_ISL_18632126 | 22/06/2020 | São José do Rio Preto |
| EPI_ISL_18632127 | 22/06/2020 | São José do Rio Preto |
| EPI_ISL_18632139 | 24/06/2020 | São José do Rio Preto |
| EPI_ISL_18632140 | 24/06/2020 | São José do Rio Preto |
| EPI_ISL_18632150 | 26/06/2020 | São José do Rio Preto |
| EPI_ISL_18632154 | 26/06/2020 | São José do Rio Preto |
| EPI_ISL_18632161 | 28/06/2020 | São José do Rio Preto |
| EPI_ISL_18632162 | 28/06/2020 | São José do Rio Preto |
| EPI_ISL_18632166 | 27/06/2020 | São José do Rio Preto |
| EPI_ISL_18632168 | 28/06/2020 | São José do Rio Preto |
| EPI_ISL_18632171 | 29/06/2020 | São José do Rio Preto |
| EPI_ISL_18632174 | 29/06/2020 | São José do Rio Preto |
| EPI_ISL_18632184 | 06/07/2020 | São José do Rio Preto |
| EPI_ISL_18632188 | 08/07/2020 | São José do Rio Preto |
| EPI_ISL_18632192 | 09/07/2020 | São José do Rio Preto |
| EPI_ISL_18632195 | 10/07/2020 | São José do Rio Preto |
| EPI_ISL_18632198 | 12/07/2020 | São José do Rio Preto |
| EPI_ISL_18632199 | 12/07/2020 | São José do Rio Preto |

| | | |
|------------------|------------|-----------------------|
| EPI_ISL_18632208 | 13/07/2020 | São José do Rio Preto |
| EPI_ISL_18632216 | 15/07/2020 | São José do Rio Preto |
| EPI_ISL_18632218 | 15/07/2020 | São José do Rio Preto |
| EPI_ISL_18632219 | 15/07/2020 | São José do Rio Preto |
| EPI_ISL_18632234 | 21/07/2020 | São José do Rio Preto |
| EPI_ISL_18632239 | 23/07/2020 | São José do Rio Preto |
| EPI_ISL_18632241 | 25/07/2020 | São José do Rio Preto |
| EPI_ISL_18632246 | 24/07/2020 | São José do Rio Preto |
| EPI_ISL_18632247 | 26/07/2020 | São José do Rio Preto |
| EPI_ISL_18632252 | 28/07/2020 | São José do Rio Preto |
| EPI_ISL_18632255 | 29/07/2020 | São José do Rio Preto |
| EPI_ISL_18632256 | 29/07/2020 | São José do Rio Preto |
| EPI_ISL_18632257 | 29/07/2020 | São José do Rio Preto |
| EPI_ISL_18632260 | 02/08/2020 | São José do Rio Preto |
| EPI_ISL_18632263 | 02/08/2020 | São José do Rio Preto |
| EPI_ISL_18632267 | 03/08/2020 | São José do Rio Preto |
| EPI_ISL_18632272 | 05/08/2020 | São José do Rio Preto |
| EPI_ISL_18632281 | 07/08/2020 | São José do Rio Preto |
| EPI_ISL_18632282 | 07/08/2020 | São José do Rio Preto |
| EPI_ISL_18632283 | 07/08/2020 | São José do Rio Preto |
| EPI_ISL_18632284 | 07/08/2020 | São José do Rio Preto |
| EPI_ISL_18632287 | 09/08/2020 | São José do Rio Preto |
| EPI_ISL_18632288 | 10/08/2020 | São José do Rio Preto |
| EPI_ISL_18632294 | 12/08/2020 | São José do Rio Preto |

| | | |
|------------------|------------|-----------------------|
| EPI_ISL_18632295 | 12/08/2020 | São José do Rio Preto |
| EPI_ISL_18632300 | 17/08/2020 | São José do Rio Preto |
| EPI_ISL_18632309 | 18/08/2020 | São José do Rio Preto |
| EPI_ISL_18632312 | 18/08/2020 | São José do Rio Preto |
| EPI_ISL_18632327 | 19/08/2020 | São José do Rio Preto |
| EPI_ISL_18632329 | 20/08/2020 | São José do Rio Preto |
| EPI_ISL_18632331 | 20/08/2020 | São José do Rio Preto |
| EPI_ISL_18632332 | 21/08/2020 | São José do Rio Preto |
| EPI_ISL_18632333 | 22/08/2020 | São José do Rio Preto |
| EPI_ISL_18632339 | 24/08/2020 | São José do Rio Preto |
| EPI_ISL_18632342 | 26/08/2020 | São José do Rio Preto |
| EPI_ISL_18632346 | 28/08/2020 | São José do Rio Preto |
| EPI_ISL_18632348 | 28/08/2020 | São José do Rio Preto |
| EPI_ISL_18632349 | 29/09/2020 | São José do Rio Preto |
| EPI_ISL_18632350 | 29/09/2020 | São José do Rio Preto |
| EPI_ISL_18632352 | 31/08/2020 | São José do Rio Preto |
| EPI_ISL_18632353 | 31/08/2020 | São José do Rio Preto |
| EPI_ISL_18632358 | 31/08/2020 | São José do Rio Preto |
| EPI_ISL_18632365 | 01/09/2020 | São José do Rio Preto |
| EPI_ISL_18632368 | 01/09/2020 | São José do Rio Preto |
| EPI_ISL_18632369 | 02/09/2020 | São José do Rio Preto |
| EPI_ISL_18632370 | 03/09/2020 | São José do Rio Preto |
| EPI_ISL_18632371 | 03/09/2020 | São José do Rio Preto |
| EPI_ISL_18632373 | 03/09/2020 | São José do Rio Preto |

| | | |
|------------------|------------|-----------------------|
| EPI_ISL_18632389 | 08/09/2020 | São José do Rio Preto |
| EPI_ISL_18632398 | 11/09/2020 | São José do Rio Preto |
| EPI_ISL_18632400 | 10/09/2020 | São José do Rio Preto |
| EPI_ISL_18632401 | 11/09/2020 | São José do Rio Preto |
| EPI_ISL_18632406 | 12/09/2020 | São José do Rio Preto |
| EPI_ISL_18632407 | 12/09/2020 | São José do Rio Preto |
| EPI_ISL_18632408 | 12/09/2020 | São José do Rio Preto |
| EPI_ISL_18632410 | 13/09/2020 | São José do Rio Preto |
| EPI_ISL_18632414 | 14/09/2020 | São José do Rio Preto |
| EPI_ISL_18632419 | 14/09/2020 | São José do Rio Preto |
| EPI_ISL_18632421 | 16/09/2020 | São José do Rio Preto |
| EPI_ISL_18632427 | 19/09/2020 | São José do Rio Preto |
| EPI_ISL_18632431 | 20/09/2020 | São José do Rio Preto |
| EPI_ISL_18632433 | 21/09/2020 | São José do Rio Preto |
| EPI_ISL_18632436 | 21/09/2020 | São José do Rio Preto |
| EPI_ISL_18632440 | 23/09/2020 | São José do Rio Preto |
| EPI_ISL_18632441 | 22/09/2020 | São José do Rio Preto |
| EPI_ISL_18632443 | 22/09/2020 | São José do Rio Preto |
| EPI_ISL_18632445 | 24/09/2020 | São José do Rio Preto |
| EPI_ISL_18632449 | 23/09/2020 | São José do Rio Preto |
| EPI_ISL_18632452 | 02/10/2020 | São José do Rio Preto |
| EPI_ISL_18632460 | 06/10/2020 | São José do Rio Preto |
| EPI_ISL_18632462 | 07/10/2020 | São José do Rio Preto |
| EPI_ISL_18632465 | 08/10/2020 | São José do Rio Preto |

| | | |
|------------------|------------|-----------------------|
| EPI_ISL_18632467 | 09/10/2020 | São José do Rio Preto |
| EPI_ISL_18632470 | 09/10/2020 | São José do Rio Preto |
| EPI_ISL_18632471 | 11/10/2020 | São José do Rio Preto |
| EPI_ISL_18632475 | 11/10/2020 | São José do Rio Preto |
| EPI_ISL_18632478 | 12/10/2020 | São José do Rio Preto |
| EPI_ISL_18632479 | 12/10/2020 | São José do Rio Preto |
| EPI_ISL_18632482 | 08/10/2020 | São José do Rio Preto |
| EPI_ISL_18632484 | 13/10/2020 | São José do Rio Preto |
| EPI_ISL_18632491 | 15/10/2020 | São José do Rio Preto |
| EPI_ISL_18632494 | 16/10/2020 | São José do Rio Preto |
| EPI_ISL_18632498 | 17/10/2020 | São José do Rio Preto |
| EPI_ISL_18632503 | 19/10/2020 | São José do Rio Preto |
| EPI_ISL_18632506 | 19/10/2020 | São José do Rio Preto |
| EPI_ISL_18632510 | 20/10/2020 | São José do Rio Preto |
| EPI_ISL_18632512 | 21/10/2020 | São José do Rio Preto |
| EPI_ISL_18632513 | 21/10/2020 | São José do Rio Preto |
| EPI_ISL_18632516 | 23/10/2020 | São José do Rio Preto |
| EPI_ISL_18632519 | 25/10/2020 | São José do Rio Preto |
| EPI_ISL_18632523 | 26/10/2020 | São José do Rio Preto |
| EPI_ISL_18632524 | 26/10/2020 | São José do Rio Preto |
| EPI_ISL_18632525 | 26/10/2020 | São José do Rio Preto |
| EPI_ISL_18632526 | 26/10/2020 | São José do Rio Preto |
| EPI_ISL_18632530 | 28/10/2020 | São José do Rio Preto |
| EPI_ISL_18632539 | 03/11/2020 | São José do Rio Preto |

| | | |
|------------------|------------|-----------------------|
| EPI_ISL_18632541 | 04/11/2020 | São José do Rio Preto |
| EPI_ISL_18632542 | 04/11/2020 | São José do Rio Preto |
| EPI_ISL_18632543 | 04/11/2020 | São José do Rio Preto |
| EPI_ISL_18632554 | 12/11/2020 | São José do Rio Preto |
| EPI_ISL_18632562 | 15/11/2020 | São José do Rio Preto |
| EPI_ISL_18632568 | 17/11/2020 | São José do Rio Preto |
| EPI_ISL_18632569 | 18/11/2020 | São José do Rio Preto |
| EPI_ISL_18632573 | 18/11/2020 | São José do Rio Preto |
| EPI_ISL_18632575 | 18/11/2020 | São José do Rio Preto |
| EPI_ISL_18632584 | 22/11/2020 | São José do Rio Preto |
| EPI_ISL_18632585 | 21/11/2020 | São José do Rio Preto |
| EPI_ISL_18632587 | 22/11/2020 | São José do Rio Preto |
| EPI_ISL_18632589 | 23/11/2020 | São José do Rio Preto |

Tabela 5. Dataset utilizado na análise filogeográfica de Zeta.

| | | |
|------------------|------------|----------------|
| EPI_ISL_12402053 | 09/12/2020 | Salvador |
| EPI_ISL_2241499 | 18/12/2020 | João Pessoa |
| EPI_ISL_2241530 | 21/12/2020 | Recife |
| EPI_ISL_1499299 | 02/11/2020 | Belém |
| EPI_ISL_2245070 | 17/12/2020 | Macapá |
| EPI_ISL_2248776 | 21/12/2020 | São Luís |
| EPI_ISL_2614114 | 21/12/2020 | Rio de Janeiro |
| EPI_ISL_2614126 | 28/12/2020 | Rio de Janeiro |
| EPI_ISL_2614383 | 09/12/2020 | Rio de Janeiro |

| | | |
|------------------|------------|----------------|
| EPI_ISL_2629610 | 11/12/2020 | Rio de Janeiro |
| EPI_ISL_2629628 | 17/12/2020 | Rio de Janeiro |
| EPI_ISL_3190290 | 01/12/2020 | Rio de Janeiro |
| EPI_ISL_3190287 | 25/11/2020 | Rio de Janeiro |
| EPI_ISL_3190292 | 03/12/2020 | Rio de Janeiro |
| EPI_ISL_3190295 | 28/12/2020 | Rio de Janeiro |
| EPI_ISL_3190288 | 01/12/2020 | Rio de Janeiro |
| EPI_ISL_2248775 | 20/12/2020 | São Luís |
| EPI_ISL_1239126 | 18/12/2020 | Vitória |
| EPI_ISL_1239115 | 27/12/2020 | Vitória |
| EPI_ISL_11356603 | 22/12/2020 | Belém |
| EPI_ISL_717953 | 04/11/2020 | Rio de Janeiro |
| EPI_ISL_13131776 | 14/12/2020 | Salvador |
| EPI_ISL_1068223 | 21/12/2020 | Manaus |
| EPI_ISL_13229344 | 30/12/2020 | Salvador |
| EPI_ISL_2308418 | 23/11/2020 | Maceió |
| EPI_ISL_2308422 | 06/12/2020 | Maceió |
| EPI_ISL_3434808 | 31/12/2020 | Maceió |
| EPI_ISL_3434812 | 09/12/2020 | Maceió |
| EPI_ISL_3434807 | 26/12/2020 | Maceió |
| EPI_ISL_2344275 | 17/11/2020 | Curitiba |
| EPI_ISL_2344236 | 10/12/2020 | Curitiba |
| EPI_ISL_833161 | 26/11/2020 | São Paulo |
| EPI_ISL_13833484 | 11/09/2020 | Vitória |

| | | |
|------------------|------------|----------------|
| EPI_ISL_13833485 | 03/11/2020 | Vitória |
| EPI_ISL_717951 | 04/11/2020 | Rio de Janeiro |
| EPI_ISL_2645646 | 30/12/2020 | Maceió |
| EPI_ISL_12173804 | 15/12/2020 | Salvador |
| EPI_ISL_12173811 | 08/12/2020 | Salvador |
| EPI_ISL_12173810 | 15/12/2020 | Salvador |
| EPI_ISL_12173817 | 15/12/2020 | Salvador |
| EPI_ISL_12173823 | 15/12/2020 | Salvador |
| EPI_ISL_2677266 | 12/12/2020 | Florianópolis |
| EPI_ISL_2677276 | 26/12/2020 | Florianópolis |
| EPI_ISL_2677297 | 16/12/2020 | Florianópolis |
| EPI_ISL_2157575 | 16/12/2020 | Rio de Janeiro |
| EPI_ISL_6208349 | 02/11/2020 | Rio de Janeiro |
| EPI_ISL_6208348 | 30/10/2020 | Rio de Janeiro |
| EPI_ISL_717922 | 29/10/2020 | Rio de Janeiro |
| EPI_ISL_2245086 | 31/12/2020 | São Luís |
| EPI_ISL_2245071 | 26/12/2020 | Macapá |
| EPI_ISL_2245072 | 28/12/2020 | Macapá |
| EPI_ISL_2245067 | 05/12/2020 | Macapá |
| EPI_ISL_2245068 | 05/12/2020 | Macapá |
| EPI_ISL_2245065 | 19/11/2020 | Macapá |
| EPI_ISL_2245066 | 19/11/2020 | Macapá |
| EPI_ISL_2248784 | 22/11/2020 | Macapá |
| EPI_ISL_2248786 | 15/12/2020 | Macapá |

| | | |
|-----------------|------------|----------------|
| EPI_ISL_2308408 | 02/12/2020 | Maceió |
| EPI_ISL_2308440 | 22/12/2020 | Maceió |
| EPI_ISL_2308431 | 01/12/2020 | Maceió |
| EPI_ISL_2308435 | 29/11/2020 | Maceió |
| EPI_ISL_2308425 | 14/12/2020 | Maceió |
| EPI_ISL_2308419 | 23/11/2020 | Maceió |
| EPI_ISL_2344251 | 04/12/2020 | Campo Grande |
| EPI_ISL_2344273 | 26/09/2020 | Curitiba |
| EPI_ISL_2344237 | 29/12/2020 | Cuiabá |
| EPI_ISL_2344235 | 22/10/2020 | Curitiba |
| EPI_ISL_2344234 | 15/12/2020 | Campo Grande |
| EPI_ISL_2344246 | 12/12/2020 | São Paulo |
| EPI_ISL_2344425 | 01/09/2020 | Curitiba |
| EPI_ISL_2344440 | 04/12/2020 | Curitiba |
| EPI_ISL_2344461 | 01/12/2020 | Porto Alegre |
| EPI_ISL_2443608 | 26/10/2020 | Rio de Janeiro |
| EPI_ISL_2443669 | 18/12/2020 | Rio de Janeiro |
| EPI_ISL_2443668 | 14/12/2020 | Rio de Janeiro |
| EPI_ISL_2443667 | 08/12/2020 | Rio de Janeiro |
| EPI_ISL_2443666 | 04/12/2020 | Rio de Janeiro |
| EPI_ISL_2443663 | 19/11/2020 | Rio de Janeiro |
| EPI_ISL_2443633 | 09/11/2020 | Rio de Janeiro |
| EPI_ISL_2443670 | 28/12/2020 | Rio de Janeiro |
| EPI_ISL_2443674 | 14/11/2020 | Porto Alegre |

| | | |
|-----------------|------------|----------------|
| EPI_ISL_2466123 | 02/12/2020 | Rio de Janeiro |
| EPI_ISL_2466122 | 10/12/2020 | Rio de Janeiro |
| EPI_ISL_717932 | 29/10/2020 | Rio de Janeiro |
| EPI_ISL_2491720 | 15/12/2020 | Salvador |
| EPI_ISL_2491752 | 26/10/2020 | Salvador |
| EPI_ISL_2491764 | 15/12/2020 | Salvador |
| EPI_ISL_2491766 | 09/12/2020 | Salvador |
| EPI_ISL_2491765 | 09/12/2020 | Salvador |
| EPI_ISL_2491719 | 14/12/2020 | Salvador |
| EPI_ISL_7455335 | 05/11/2020 | Rio de Janeiro |
| EPI_ISL_2308448 | 07/12/2020 | Maceió |
| EPI_ISL_717923 | 05/11/2020 | Rio de Janeiro |
| EPI_ISL_717925 | 09/10/2020 | Rio de Janeiro |
| EPI_ISL_717927 | 27/10/2020 | Rio de Janeiro |
| EPI_ISL_717931 | 27/10/2020 | Rio de Janeiro |
| EPI_ISL_717934 | 29/10/2020 | Rio de Janeiro |
| EPI_ISL_717936 | 29/10/2020 | Rio de Janeiro |
| EPI_ISL_717935 | 29/10/2020 | Rio de Janeiro |
| EPI_ISL_717942 | 03/11/2020 | Rio de Janeiro |
| EPI_ISL_717944 | 03/11/2020 | Rio de Janeiro |
| EPI_ISL_717947 | 03/11/2020 | Rio de Janeiro |
| EPI_ISL_717946 | 03/11/2020 | Rio de Janeiro |
| EPI_ISL_717949 | 03/11/2020 | Rio de Janeiro |
| EPI_ISL_717948 | 03/11/2020 | Rio de Janeiro |

| | | |
|-----------------|------------|----------------|
| EPI_ISL_717939 | 29/10/2020 | Rio de Janeiro |
| EPI_ISL_717950 | 03/11/2020 | Rio de Janeiro |
| EPI_ISL_717952 | 04/11/2020 | Rio de Janeiro |
| EPI_ISL_717954 | 04/11/2020 | Rio de Janeiro |
| EPI_ISL_717956 | 05/11/2020 | Rio de Janeiro |
| EPI_ISL_792562 | 13/10/2020 | João Pessoa |
| EPI_ISL_792639 | 21/11/2020 | Maceió |
| EPI_ISL_792642 | 04/12/2020 | Maceió |
| EPI_ISL_2344428 | 18/12/2020 | Curitiba |
| EPI_ISL_2344456 | 19/11/2020 | Curitiba |
| EPI_ISL_2344460 | 10/12/2020 | Porto Alegre |
| EPI_ISL_861677 | 23/12/2020 | São Paulo |
| EPI_ISL_861676 | 23/12/2020 | São Paulo |
| EPI_ISL_943610 | 18/11/2020 | Porto Alegre |
| EPI_ISL_944090 | 18/11/2020 | Porto Alegre |
| EPI_ISL_1060922 | 31/12/2020 | Manaus |
| EPI_ISL_1060923 | 15/12/2020 | Manaus |
| EPI_ISL_1060917 | 21/12/2020 | Manaus |
| EPI_ISL_1060919 | 23/12/2020 | Manaus |
| EPI_ISL_1060886 | 22/12/2020 | Manaus |
| EPI_ISL_1061032 | 16/12/2020 | Manaus |
| EPI_ISL_1068115 | 28/12/2020 | Manaus |
| EPI_ISL_1068153 | 23/12/2020 | Manaus |
| EPI_ISL_1068145 | 09/12/2020 | Manaus |

| | | |
|-----------------|------------|----------------|
| EPI_ISL_2603497 | 29/10/2020 | Rio de Janeiro |
| EPI_ISL_2603490 | 28/12/2020 | Rio de Janeiro |
| EPI_ISL_2603485 | 28/12/2020 | Rio de Janeiro |
| EPI_ISL_2603481 | 29/12/2020 | Rio de Janeiro |
| EPI_ISL_2603483 | 28/12/2020 | Rio de Janeiro |
| EPI_ISL_2603484 | 28/12/2020 | Rio de Janeiro |
| EPI_ISL_2603480 | 29/12/2020 | Rio de Janeiro |
| EPI_ISL_2603478 | 30/12/2020 | Rio de Janeiro |
| EPI_ISL_2614513 | 26/12/2020 | São Paulo |
| EPI_ISL_2614382 | 09/12/2020 | Rio de Janeiro |
| EPI_ISL_2614070 | 21/12/2020 | Rio de Janeiro |
| EPI_ISL_2614098 | 02/11/2020 | Rio de Janeiro |
| EPI_ISL_2614096 | 30/10/2020 | Rio de Janeiro |
| EPI_ISL_2614102 | 06/11/2020 | Rio de Janeiro |
| EPI_ISL_2614100 | 05/11/2020 | Rio de Janeiro |
| EPI_ISL_2614106 | 03/12/2020 | Rio de Janeiro |
| EPI_ISL_2614109 | 18/12/2020 | Rio de Janeiro |
| EPI_ISL_2614108 | 16/12/2020 | Rio de Janeiro |
| EPI_ISL_2614110 | 18/12/2020 | Rio de Janeiro |
| EPI_ISL_2614113 | 21/12/2020 | Rio de Janeiro |
| EPI_ISL_2614112 | 21/12/2020 | Rio de Janeiro |
| EPI_ISL_2614111 | 21/12/2020 | Rio de Janeiro |
| EPI_ISL_2614118 | 23/12/2020 | Rio de Janeiro |
| EPI_ISL_2614117 | 23/12/2020 | Rio de Janeiro |

| | | |
|-----------------|------------|----------------|
| EPI_ISL_2614116 | 22/12/2020 | Rio de Janeiro |
| EPI_ISL_2614119 | 23/12/2020 | Rio de Janeiro |
| EPI_ISL_2614125 | 28/12/2020 | Rio de Janeiro |
| EPI_ISL_2614123 | 28/12/2020 | Rio de Janeiro |
| EPI_ISL_2614128 | 28/12/2020 | Rio de Janeiro |
| EPI_ISL_2614127 | 28/12/2020 | Rio de Janeiro |
| EPI_ISL_2614131 | 30/12/2020 | Rio de Janeiro |
| EPI_ISL_2614130 | 30/12/2020 | Rio de Janeiro |
| EPI_ISL_1213456 | 03/12/2020 | João Pessoa |
| EPI_ISL_1239133 | 28/12/2020 | Vitória |
| EPI_ISL_2443664 | 19/11/2020 | Rio de Janeiro |
| EPI_ISL_2629597 | 11/12/2020 | Rio de Janeiro |
| EPI_ISL_2629639 | 18/12/2020 | Rio de Janeiro |
| EPI_ISL_2629637 | 18/12/2020 | Rio de Janeiro |
| EPI_ISL_2629636 | 18/12/2020 | Rio de Janeiro |
| EPI_ISL_2629633 | 18/12/2020 | Rio de Janeiro |
| EPI_ISL_2629641 | 18/12/2020 | Rio de Janeiro |
| EPI_ISL_2629604 | 11/12/2020 | Rio de Janeiro |
| EPI_ISL_2629609 | 11/12/2020 | Rio de Janeiro |
| EPI_ISL_2629601 | 11/12/2020 | Rio de Janeiro |
| EPI_ISL_2629623 | 24/12/2020 | Rio de Janeiro |
| EPI_ISL_2629622 | 15/12/2020 | Rio de Janeiro |
| EPI_ISL_2645641 | 29/12/2020 | Maceió |
| EPI_ISL_2645635 | 04/12/2020 | Maceió |

| | | |
|-----------------|------------|---------------|
| EPI_ISL_2645576 | 08/12/2020 | Vitória |
| EPI_ISL_2661897 | 26/12/2020 | Fortaleza |
| EPI_ISL_2661900 | 28/12/2020 | Fortaleza |
| EPI_ISL_2661821 | 16/11/2020 | Porto Alegre |
| EPI_ISL_2677281 | 26/12/2020 | Florianópolis |
| EPI_ISL_2677283 | 28/12/2020 | Florianópolis |
| EPI_ISL_2677282 | 28/12/2020 | Florianópolis |
| EPI_ISL_2677270 | 22/12/2020 | Florianópolis |
| EPI_ISL_2677272 | 27/12/2020 | Florianópolis |
| EPI_ISL_2677273 | 28/12/2020 | Florianópolis |
| EPI_ISL_2677277 | 26/12/2020 | Florianópolis |
| EPI_ISL_2677260 | 24/12/2020 | Florianópolis |
| EPI_ISL_2677263 | 31/12/2020 | Florianópolis |
| EPI_ISL_2677262 | 31/12/2020 | Florianópolis |
| EPI_ISL_2677265 | 24/12/2020 | Florianópolis |
| EPI_ISL_2677264 | 29/12/2020 | Florianópolis |
| EPI_ISL_2677267 | 28/12/2020 | Florianópolis |
| EPI_ISL_2677269 | 28/12/2020 | Florianópolis |
| EPI_ISL_2677268 | 24/12/2020 | Florianópolis |
| EPI_ISL_2677258 | 31/12/2020 | Florianópolis |
| EPI_ISL_2677257 | 30/12/2020 | Florianópolis |
| EPI_ISL_2677259 | 26/12/2020 | Florianópolis |
| EPI_ISL_2677233 | 04/11/2020 | Florianópolis |
| EPI_ISL_2677302 | 28/12/2020 | Florianópolis |

| | | |
|-----------------|------------|----------------|
| EPI_ISL_2677301 | 29/12/2020 | Florianópolis |
| EPI_ISL_2677304 | 29/12/2020 | Florianópolis |
| EPI_ISL_2677303 | 28/12/2020 | Florianópolis |
| EPI_ISL_2677306 | 29/12/2020 | Florianópolis |
| EPI_ISL_2677305 | 30/12/2020 | Florianópolis |
| EPI_ISL_2677140 | 20/11/2020 | Florianópolis |
| EPI_ISL_2777369 | 26/11/2020 | Manaus |
| EPI_ISL_2777361 | 03/12/2020 | Manaus |
| EPI_ISL_2777379 | 23/12/2020 | Manaus |
| EPI_ISL_2777386 | 23/12/2020 | Manaus |
| EPI_ISL_2603482 | 29/12/2020 | Rio de Janeiro |
| EPI_ISL_2603486 | 28/12/2020 | Rio de Janeiro |
| EPI_ISL_2603492 | 09/11/2020 | Rio de Janeiro |
| EPI_ISL_2603496 | 29/10/2020 | Rio de Janeiro |
| EPI_ISL_2603491 | 23/12/2020 | Rio de Janeiro |
| EPI_ISL_2614071 | 27/12/2020 | Rio de Janeiro |
| EPI_ISL_2614129 | 29/12/2020 | Rio de Janeiro |
| EPI_ISL_2614107 | 11/12/2020 | Rio de Janeiro |
| EPI_ISL_2614120 | 27/12/2020 | Rio de Janeiro |
| EPI_ISL_2614121 | 27/12/2020 | Rio de Janeiro |
| EPI_ISL_2629598 | 11/12/2020 | Rio de Janeiro |
| EPI_ISL_2629606 | 11/12/2020 | Rio de Janeiro |
| EPI_ISL_2629607 | 11/12/2020 | Rio de Janeiro |
| EPI_ISL_2629620 | 14/12/2020 | Rio de Janeiro |

| | | |
|------------------|------------|----------------|
| EPI_ISL_2629647 | 21/12/2020 | Rio de Janeiro |
| EPI_ISL_2629650 | 22/12/2020 | Rio de Janeiro |
| EPI_ISL_2629638 | 18/12/2020 | Rio de Janeiro |
| EPI_ISL_2629648 | 21/12/2020 | Rio de Janeiro |
| EPI_ISL_2629649 | 22/12/2020 | Rio de Janeiro |
| EPI_ISL_2629651 | 23/12/2020 | Rio de Janeiro |
| EPI_ISL_12402023 | 18/12/2020 | Salvador |
| EPI_ISL_2645640 | 29/12/2020 | Maceió |
| EPI_ISL_2614543 | 29/05/2020 | São Paulo |
| EPI_ISL_2645573 | 18/12/2020 | Vitória |
| EPI_ISL_2645636 | 25/12/2020 | Maceió |
| EPI_ISL_2645643 | 17/12/2020 | Maceió |
| EPI_ISL_2645644 | 15/12/2020 | Maceió |
| EPI_ISL_2645555 | 07/11/2020 | Vitória |
| EPI_ISL_2983311 | 08/12/2020 | São Luís |
| EPI_ISL_2983323 | 28/12/2020 | São Luís |
| EPI_ISL_2983322 | 27/12/2020 | São Luís |
| EPI_ISL_1068108 | 10/12/2020 | Manaus |
| EPI_ISL_2298745 | 23/12/2020 | Fortaleza |
| EPI_ISL_2298760 | 11/12/2020 | Macapá |
| EPI_ISL_3046139 | 05/12/2020 | Recife |
| EPI_ISL_1060891 | 17/12/2020 | Manaus |
| EPI_ISL_1060905 | 23/12/2020 | Manaus |
| EPI_ISL_1060921 | 02/12/2020 | Manaus |

| | | |
|------------------|------------|----------------|
| EPI_ISL_3048837 | 29/12/2020 | Porto Alegre |
| EPI_ISL_3048828 | 11/12/2020 | Porto Alegre |
| EPI_ISL_12402079 | 17/12/2020 | Salvador |
| EPI_ISL_12402088 | 17/12/2020 | Salvador |
| EPI_ISL_12402100 | 22/12/2020 | Salvador |
| EPI_ISL_12402105 | 22/12/2020 | Salvador |
| EPI_ISL_2344253 | 09/10/2020 | Porto Alegre |
| EPI_ISL_2661889 | 17/12/2020 | Fortaleza |
| EPI_ISL_2661803 | 12/12/2020 | Porto Alegre |
| EPI_ISL_2661902 | 28/12/2020 | Fortaleza |
| EPI_ISL_2677280 | 26/12/2020 | Florianópolis |
| EPI_ISL_2677298 | 11/12/2020 | Florianópolis |
| EPI_ISL_2677261 | 28/12/2020 | Florianópolis |
| EPI_ISL_2677295 | 18/12/2020 | Florianópolis |
| EPI_ISL_2677278 | 26/12/2020 | Florianópolis |
| EPI_ISL_2677256 | 22/12/2020 | Florianópolis |
| EPI_ISL_717924 | 29/10/2020 | Rio de Janeiro |
| EPI_ISL_717945 | 03/11/2020 | Rio de Janeiro |
| EPI_ISL_2248785 | 02/12/2020 | Rio de Janeiro |
| EPI_ISL_2241540 | 22/12/2020 | Salvador |
| EPI_ISL_2241525 | 27/11/2020 | João Pessoa |
| EPI_ISL_12173841 | 02/12/2020 | Salvador |
| EPI_ISL_2731468 | 04/12/2020 | Maceió |
| EPI_ISL_6633842 | 21/08/2020 | Campo Grande |

| | | |
|------------------|------------|----------------|
| EPI_ISL_6633748 | 19/11/2020 | Campo Grande |
| EPI_ISL_6633660 | 03/08/2020 | Campo Grande |
| EPI_ISL_6633688 | 09/10/2020 | Campo Grande |
| EPI_ISL_1469782 | 22/10/2020 | Porto Alegre |
| EPI_ISL_1469715 | 22/10/2020 | Porto Alegre |
| EPI_ISL_1499203 | 10/11/2020 | São Paulo |
| EPI_ISL_7743970 | 30/12/2020 | Florianópolis |
| EPI_ISL_7743969 | 29/12/2020 | Florianópolis |
| EPI_ISL_12173852 | 09/12/2020 | Salvador |
| EPI_ISL_2758710 | 13/12/2020 | Curitiba |
| EPI_ISL_8004612 | 16/11/2020 | Rio de Janeiro |
| EPI_ISL_8004613 | 16/11/2020 | Rio de Janeiro |
| EPI_ISL_8004627 | 09/12/2020 | Rio de Janeiro |
| EPI_ISL_8004626 | 08/12/2020 | Rio de Janeiro |
| EPI_ISL_8004619 | 24/11/2020 | Rio de Janeiro |
| EPI_ISL_8004616 | 19/11/2020 | Rio de Janeiro |
| EPI_ISL_8004615 | 17/11/2020 | Rio de Janeiro |
| EPI_ISL_8004618 | 25/11/2020 | Rio de Janeiro |
| EPI_ISL_8004623 | 04/12/2020 | Rio de Janeiro |
| EPI_ISL_8004622 | 04/12/2020 | Rio de Janeiro |
| EPI_ISL_8004625 | 08/12/2020 | Rio de Janeiro |
| EPI_ISL_8004624 | 08/12/2020 | Rio de Janeiro |
| EPI_ISL_8004620 | 24/11/2020 | Rio de Janeiro |
| EPI_ISL_8005465 | 20/11/2020 | Curitiba |

| | | |
|-----------------|------------|----------|
| EPI_ISL_8005467 | 01/12/2020 | Curitiba |
| EPI_ISL_8005472 | 07/12/2020 | Curitiba |
| EPI_ISL_8005479 | 23/12/2020 | Curitiba |
| EPI_ISL_8005200 | 21/12/2020 | Curitiba |
| EPI_ISL_8005206 | 30/12/2020 | Curitiba |
| EPI_ISL_8005205 | 29/12/2020 | Curitiba |
| EPI_ISL_8005202 | 18/12/2020 | Curitiba |
| EPI_ISL_8005203 | 25/12/2020 | Curitiba |
| EPI_ISL_8005169 | 21/11/2020 | Curitiba |
| EPI_ISL_8005180 | 28/11/2020 | Curitiba |
| EPI_ISL_8005170 | 21/11/2020 | Curitiba |
| EPI_ISL_8005197 | 20/12/2020 | Curitiba |
| EPI_ISL_8005199 | 22/12/2020 | Curitiba |
| EPI_ISL_8005194 | 16/12/2020 | Curitiba |
| EPI_ISL_8005196 | 19/12/2020 | Curitiba |
| EPI_ISL_2777389 | 22/12/2020 | Manaus |
| EPI_ISL_8005160 | 11/11/2020 | Curitiba |
| EPI_ISL_8005161 | 12/11/2020 | Curitiba |
| EPI_ISL_8005164 | 15/11/2020 | Curitiba |
| EPI_ISL_8005189 | 05/12/2020 | Curitiba |
| EPI_ISL_8005168 | 19/11/2020 | Curitiba |
| EPI_ISL_8005188 | 05/12/2020 | Curitiba |
| EPI_ISL_8005163 | 14/11/2020 | Curitiba |
| EPI_ISL_8005171 | 23/11/2020 | Curitiba |

| | | |
|------------------|------------|----------------|
| EPI_ISL_8005172 | 23/11/2020 | Curitiba |
| EPI_ISL_8005175 | 24/11/2020 | Curitiba |
| EPI_ISL_8005157 | 05/11/2020 | Curitiba |
| EPI_ISL_8005178 | 26/11/2020 | Curitiba |
| EPI_ISL_8005478 | 22/12/2020 | Curitiba |
| EPI_ISL_9754679 | 26/10/2020 | Rio de Janeiro |
| EPI_ISL_8005179 | 28/11/2020 | Curitiba |
| EPI_ISL_8005480 | 29/12/2020 | Curitiba |
| EPI_ISL_2645642 | 17/12/2020 | Maceió |
| EPI_ISL_2603488 | 28/12/2020 | Rio de Janeiro |
| EPI_ISL_2661901 | 28/12/2020 | Fortaleza |
| EPI_ISL_2466124 | 27/11/2020 | Rio de Janeiro |
| EPI_ISL_2614105 | 14/11/2020 | Rio de Janeiro |
| EPI_ISL_2614122 | 28/12/2020 | Rio de Janeiro |
| EPI_ISL_2443671 | 28/12/2020 | Rio de Janeiro |
| EPI_ISL_2983313 | 10/12/2020 | São Luís |
| EPI_ISL_8004621 | 03/12/2020 | Rio de Janeiro |
| EPI_ISL_1060878 | 23/12/2020 | Manaus |
| EPI_ISL_2344442 | 05/11/2020 | Rio de Janeiro |
| EPI_ISL_12838758 | 04/12/2020 | Salvador |
| EPI_ISL_12838750 | 07/12/2020 | Salvador |
| EPI_ISL_14253344 | 05/11/2020 | Rio de Janeiro |
| EPI_ISL_14316915 | 16/11/2020 | Rio de Janeiro |
| EPI_ISL_8005463 | 09/11/2020 | Curitiba |

| | | |
|------------------|------------|----------------|
| EPI_ISL_8005181 | 28/11/2020 | Curitiba |
| EPI_ISL_8005464 | 17/11/2020 | Curitiba |
| EPI_ISL_3190291 | 01/12/2020 | Rio de Janeiro |
| EPI_ISL_3190289 | 01/12/2020 | Rio de Janeiro |
| EPI_ISL_8005190 | 05/12/2020 | Curitiba |
| EPI_ISL_7743971 | 30/12/2020 | Florianópolis |
| EPI_ISL_7743968 | 28/12/2020 | Florianópolis |
| EPI_ISL_16893921 | 29/10/2020 | Belém |
| EPI_ISL_16893922 | 12/11/2020 | Belém |
| EPI_ISL_7743972 | 30/12/2020 | Florianópolis |
| EPI_ISL_7743967 | 28/12/2020 | Florianópolis |
| EPI_ISL_2603479 | 29/12/2020 | Rio de Janeiro |
| EPI_ISL_8005192 | 07/12/2020 | Curitiba |
| EPI_ISL_2614097 | 30/10/2020 | Rio de Janeiro |
| EPI_ISL_2614115 | 22/12/2020 | Rio de Janeiro |
| EPI_ISL_2614124 | 28/12/2020 | Rio de Janeiro |
| EPI_ISL_7803800 | 15/10/2020 | Florianópolis |
| EPI_ISL_8005468 | 02/12/2020 | Curitiba |
| EPI_ISL_8005184 | 30/11/2020 | Curitiba |
| EPI_ISL_4675979 | 29/12/2020 | Florianópolis |
| EPI_ISL_12402111 | 23/12/2020 | Salvador |
| EPI_ISL_8005173 | 23/11/2020 | Curitiba |
| EPI_ISL_717930 | 27/10/2020 | Rio de Janeiro |
| EPI_ISL_717943 | 03/11/2020 | Rio de Janeiro |

| | | |
|------------------|------------|----------------|
| EPI_ISL_717928 | 27/10/2020 | Rio de Janeiro |
| EPI_ISL_717941 | 30/10/2020 | Rio de Janeiro |
| EPI_ISL_717933 | 29/10/2020 | Rio de Janeiro |
| EPI_ISL_717955 | 05/11/2020 | Rio de Janeiro |
| EPI_ISL_717957 | 05/11/2020 | Rio de Janeiro |
| EPI_ISL_3369438 | 22/12/2020 | Belém |
| EPI_ISL_1469735 | 22/10/2020 | Porto Alegre |
| EPI_ISL_792560 | 06/11/2020 | Manaus |
| EPI_ISL_2157573 | 03/12/2020 | Rio de Janeiro |
| EPI_ISL_3190283 | 09/11/2020 | Rio de Janeiro |
| EPI_ISL_3190285 | 13/11/2020 | Rio de Janeiro |
| EPI_ISL_6633631 | 09/09/2020 | Campo Grande |
| EPI_ISL_6633694 | 10/07/2020 | Campo Grande |
| EPI_ISL_6633714 | 04/09/2020 | Campo Grande |
| EPI_ISL_6633771 | 09/12/2020 | Campo Grande |
| EPI_ISL_6633732 | 11/12/2020 | Campo Grande |
| EPI_ISL_6633746 | 02/12/2020 | Campo Grande |
| EPI_ISL_3434805 | 10/12/2020 | Maceió |
| EPI_ISL_3434806 | 11/12/2020 | Maceió |
| EPI_ISL_6633701 | 16/11/2020 | Campo Grande |
| EPI_ISL_13498034 | 09/11/2020 | Rio Branco |
| EPI_ISL_2677279 | 27/12/2020 | Florianópolis |
| EPI_ISL_2661886 | 15/12/2020 | Fortaleza |
| EPI_ISL_2661878 | 20/11/2020 | Fortaleza |

| | | |
|------------------|------------|-----------------------|
| EPI_ISL_8005477 | 18/12/2020 | Curitiba |
| EPI_ISL_2677296 | 07/12/2020 | Florianópolis |
| EPI_ISL_18631971 | 25/03/2020 | São José do Rio Preto |
| EPI_ISL_18632020 | 18/05/2020 | São José do Rio Preto |
| EPI_ISL_18632242 | 24/07/2020 | São José do Rio Preto |
| EPI_ISL_18632364 | 31/08/2020 | São José do Rio Preto |
| EPI_ISL_18632394 | 09/09/2020 | São José do Rio Preto |
| EPI_ISL_18637331 | 23/10/2020 | São José do Rio Preto |
| EPI_ISL_18632548 | 11/11/2020 | São José do Rio Preto |
| EPI_ISL_18632555 | 13/11/2020 | São José do Rio Preto |
| EPI_ISL_18632558 | 15/11/2020 | São José do Rio Preto |
| EPI_ISL_18632571 | 18/11/2020 | São José do Rio Preto |
| EPI_ISL_18632591 | 23/11/2020 | São José do Rio Preto |
| EPI_ISL_1785613 | 16/01/2021 | São José do Rio Preto |
| EPI_ISL_2008942 | 09/11/2020 | São José do Rio Preto |
| EPI_ISL_2013854 | 16/01/2021 | São José do Rio Preto |
| EPI_ISL_2156152 | 16/01/2021 | São José do Rio Preto |
| EPI_ISL_2156261 | 16/01/2021 | São José do Rio Preto |
| EPI_ISL_2344289 | 27/11/2020 | São José do Rio Preto |
| EPI_ISL_2344321 | 16/11/2020 | São José do Rio Preto |
| EPI_ISL_2344449 | 25/01/2021 | São José do Rio Preto |
| EPI_ISL_2543759 | 16/01/2021 | São José do Rio Preto |
| EPI_ISL_2544839 | 16/01/2021 | São José do Rio Preto |
| EPI_ISL_2544840 | 16/01/2021 | São José do Rio Preto |

| | | |
|------------------|------------|-----------------------|
| EPI_ISL_2544843 | 16/01/2021 | São José do Rio Preto |
| EPI_ISL_2544844 | 16/01/2021 | São José do Rio Preto |
| EPI_ISL_2544845 | 16/01/2021 | São José do Rio Preto |
| EPI_ISL_2544846 | 16/01/2021 | São José do Rio Preto |
| EPI_ISL_2544847 | 16/01/2021 | São José do Rio Preto |
| EPI_ISL_2544850 | 16/01/2021 | São José do Rio Preto |
| EPI_ISL_2544852 | 16/01/2021 | São José do Rio Preto |
| EPI_ISL_2544861 | 26/01/2021 | São José do Rio Preto |
| EPI_ISL_2544863 | 26/01/2021 | São José do Rio Preto |
| EPI_ISL_2544865 | 26/01/2021 | São José do Rio Preto |
| EPI_ISL_2544866 | 26/01/2021 | São José do Rio Preto |
| EPI_ISL_2544867 | 26/01/2021 | São José do Rio Preto |
| EPI_ISL_2544868 | 26/01/2021 | São José do Rio Preto |
| EPI_ISL_2544869 | 26/01/2021 | São José do Rio Preto |
| EPI_ISL_2544872 | 26/01/2021 | São José do Rio Preto |
| EPI_ISL_2544883 | 20/11/2020 | São José do Rio Preto |
| EPI_ISL_2544886 | 20/11/2020 | São José do Rio Preto |
| EPI_ISL_2544898 | 24/11/2020 | São José do Rio Preto |
| EPI_ISL_1068259 | 04/01/2021 | Manaus |
| EPI_ISL_11396739 | 29/01/2021 | Macapá |
| EPI_ISL_1182555 | 30/01/2021 | Belo Horizonte |
| EPI_ISL_1182561 | 18/01/2021 | Belo Horizonte |
| EPI_ISL_1182563 | 17/01/2021 | Curitiba |
| EPI_ISL_1182574 | 04/01/2021 | Belo Horizonte |

| | | |
|------------------|------------|----------------|
| EPI_ISL_1182575 | 03/01/2021 | Curitiba |
| EPI_ISL_1213310 | 29/01/2021 | Rio de Janeiro |
| EPI_ISL_1213312 | 29/01/2021 | Rio de Janeiro |
| EPI_ISL_1213314 | 29/01/2021 | Rio de Janeiro |
| EPI_ISL_1213315 | 29/01/2021 | Natal |
| EPI_ISL_1213319 | 29/01/2021 | Natal |
| EPI_ISL_1213320 | 29/01/2021 | Natal |
| EPI_ISL_1213322 | 29/01/2021 | Natal |
| EPI_ISL_1213329 | 28/01/2021 | Natal |
| EPI_ISL_1213424 | 18/01/2021 | Rio de Janeiro |
| EPI_ISL_1213425 | 18/01/2021 | Rio de Janeiro |
| EPI_ISL_12140047 | 04/01/2021 | João Pessoa |
| EPI_ISL_1239139 | 15/01/2021 | Belo Horizonte |
| EPI_ISL_1465257 | 31/01/2021 | São Luís |
| EPI_ISL_1465264 | 15/01/2021 | São Luís |
| EPI_ISL_1465275 | 02/01/2021 | São Luís |
| EPI_ISL_1493596 | 18/01/2021 | Porto Velho |
| EPI_ISL_1493600 | 04/01/2021 | Porto Velho |
| EPI_ISL_1494966 | 28/01/2021 | Belo Horizonte |
| EPI_ISL_1533995 | 29/01/2021 | Rio de Janeiro |
| EPI_ISL_16960173 | 16/01/2021 | Recife |
| EPI_ISL_16960220 | 28/01/2021 | Recife |
| EPI_ISL_16960221 | 28/01/2021 | Recife |
| EPI_ISL_16960224 | 29/01/2021 | Recife |

| | | |
|------------------|------------|----------------|
| EPI_ISL_16981114 | 01/01/2021 | São Paulo |
| EPI_ISL_16981115 | 01/01/2021 | Rio de Janeiro |
| EPI_ISL_16981132 | 16/01/2021 | Recife |
| EPI_ISL_16981136 | 16/01/2021 | São Paulo |
| EPI_ISL_16981179 | 28/01/2021 | Recife |
| EPI_ISL_16981180 | 28/01/2021 | Recife |
| EPI_ISL_16981181 | 28/01/2021 | São Paulo |
| EPI_ISL_16981182 | 28/01/2021 | Rio de Janeiro |
| EPI_ISL_16981183 | 29/01/2021 | Recife |
| EPI_ISL_16981184 | 29/01/2021 | Rio de Janeiro |
| EPI_ISL_16981185 | 29/01/2021 | Rio de Janeiro |
| EPI_ISL_17997135 | 15/01/2021 | Porto Alegre |
| EPI_ISL_2221860 | 03/01/2021 | Recife |
| EPI_ISL_2241573 | 15/01/2021 | João Pessoa |
| EPI_ISL_2241584 | 15/01/2021 | Aracaju |
| EPI_ISL_2245073 | 02/01/2021 | Macapá |
| EPI_ISL_2248779 | 01/01/2021 | São Luís |
| EPI_ISL_2248787 | 04/01/2021 | Macapá |
| EPI_ISL_2249360 | 15/01/2021 | Porto Alegre |
| EPI_ISL_2249372 | 18/01/2021 | Porto Alegre |
| EPI_ISL_2249374 | 17/01/2021 | Porto Alegre |
| EPI_ISL_2249377 | 31/01/2021 | Rio de Janeiro |
| EPI_ISL_2298793 | 16/01/2021 | Macapá |
| EPI_ISL_2298799 | 18/01/2021 | Macapá |

| | | |
|-----------------|------------|----------------|
| EPI_ISL_2298800 | 28/01/2021 | Macapá |
| EPI_ISL_2298803 | 30/01/2021 | Macapá |
| EPI_ISL_2308410 | 18/01/2021 | Maceió |
| EPI_ISL_2308412 | 02/01/2021 | Maceió |
| EPI_ISL_2308420 | 31/01/2021 | Maceió |
| EPI_ISL_2308423 | 01/01/2021 | Maceió |
| EPI_ISL_2308430 | 02/01/2021 | Maceió |
| EPI_ISL_2308441 | 31/01/2021 | Maceió |
| EPI_ISL_2308449 | 02/01/2021 | Maceió |
| EPI_ISL_2308461 | 04/01/2021 | Maceió |
| EPI_ISL_2348595 | 04/01/2021 | Goiânia |
| EPI_ISL_2443578 | 04/01/2021 | Rio de Janeiro |
| EPI_ISL_2443580 | 15/01/2021 | Rio de Janeiro |
| EPI_ISL_2466227 | 01/01/2021 | Natal |
| EPI_ISL_2491744 | 29/01/2021 | Salvador |
| EPI_ISL_2491750 | 28/01/2021 | Salvador |
| EPI_ISL_2491776 | 28/01/2021 | Salvador |
| EPI_ISL_2491777 | 29/01/2021 | Salvador |
| EPI_ISL_2614132 | 02/01/2021 | Rio de Janeiro |
| EPI_ISL_2614133 | 03/01/2021 | Rio de Janeiro |
| EPI_ISL_2614134 | 03/01/2021 | Rio de Janeiro |
| EPI_ISL_2614135 | 04/01/2021 | Rio de Janeiro |
| EPI_ISL_2614136 | 04/01/2021 | Rio de Janeiro |
| EPI_ISL_2614137 | 04/01/2021 | Rio de Janeiro |

| | | |
|-----------------|------------|----------------|
| EPI_ISL_2614138 | 04/01/2021 | Rio de Janeiro |
| EPI_ISL_2614170 | 18/01/2021 | Rio de Janeiro |
| EPI_ISL_2614171 | 18/01/2021 | Rio de Janeiro |
| EPI_ISL_2614172 | 18/01/2021 | Rio de Janeiro |
| EPI_ISL_2614188 | 28/01/2021 | Rio de Janeiro |
| EPI_ISL_2614190 | 29/01/2021 | Rio de Janeiro |
| EPI_ISL_2629625 | 02/01/2021 | Rio de Janeiro |
| EPI_ISL_2629654 | 04/01/2021 | Rio de Janeiro |
| EPI_ISL_2629655 | 04/01/2021 | Rio de Janeiro |
| EPI_ISL_2629657 | 04/01/2021 | Rio de Janeiro |
| EPI_ISL_2629683 | 18/01/2021 | Rio de Janeiro |
| EPI_ISL_2629684 | 18/01/2021 | Rio de Janeiro |
| EPI_ISL_2629692 | 29/01/2021 | Rio de Janeiro |
| EPI_ISL_2629693 | 29/01/2021 | Rio de Janeiro |
| EPI_ISL_2629694 | 29/01/2021 | Rio de Janeiro |
| EPI_ISL_2629695 | 29/01/2021 | Rio de Janeiro |
| EPI_ISL_2677109 | 28/01/2021 | Florianópolis |
| EPI_ISL_2677110 | 30/01/2021 | Florianópolis |
| EPI_ISL_2677111 | 31/01/2021 | Florianópolis |
| EPI_ISL_2677112 | 31/01/2021 | Florianópolis |
| EPI_ISL_2677230 | 02/01/2021 | Florianópolis |
| EPI_ISL_2677231 | 04/01/2021 | Florianópolis |
| EPI_ISL_2677232 | 02/01/2021 | Florianópolis |
| EPI_ISL_2677246 | 01/01/2021 | Florianópolis |

| | | |
|-----------------|------------|---------------|
| EPI_ISL_2677247 | 02/01/2021 | Florianópolis |
| EPI_ISL_2677249 | 02/01/2021 | Florianópolis |
| EPI_ISL_2677250 | 01/01/2021 | Florianópolis |
| EPI_ISL_2677251 | 01/01/2021 | Florianópolis |
| EPI_ISL_2677315 | 15/01/2021 | Florianópolis |
| EPI_ISL_2677316 | 18/01/2021 | Florianópolis |
| EPI_ISL_2677317 | 18/01/2021 | Florianópolis |
| EPI_ISL_2777497 | 02/01/2021 | Manaus |
| EPI_ISL_2777500 | 02/01/2021 | Manaus |
| EPI_ISL_2983086 | 03/01/2021 | Macapá |
| EPI_ISL_2983087 | 03/01/2021 | Macapá |
| EPI_ISL_2983088 | 04/01/2021 | Macapá |
| EPI_ISL_2983113 | 15/01/2021 | Macapá |
| EPI_ISL_2983115 | 15/01/2021 | Macapá |
| EPI_ISL_2983116 | 15/01/2021 | Macapá |
| EPI_ISL_2983118 | 16/01/2021 | Macapá |
| EPI_ISL_2983119 | 16/01/2021 | Macapá |
| EPI_ISL_2983120 | 17/01/2021 | Macapá |
| EPI_ISL_2983121 | 17/01/2021 | Macapá |
| EPI_ISL_2983122 | 18/01/2021 | Macapá |
| EPI_ISL_2983123 | 18/01/2021 | Macapá |
| EPI_ISL_2983124 | 18/01/2021 | Macapá |
| EPI_ISL_2983128 | 29/01/2021 | Macapá |
| EPI_ISL_2983129 | 30/01/2021 | Macapá |

| | | |
|------------------|------------|----------------|
| EPI_ISL_2983130 | 30/01/2021 | Macapá |
| EPI_ISL_3031282 | 15/01/2021 | Belo Horizonte |
| EPI_ISL_3031283 | 15/01/2021 | Belo Horizonte |
| EPI_ISL_3031284 | 15/01/2021 | Belo Horizonte |
| EPI_ISL_3031285 | 18/01/2021 | Belo Horizonte |
| EPI_ISL_3031286 | 18/01/2021 | Belo Horizonte |
| EPI_ISL_3031287 | 18/01/2021 | Belo Horizonte |
| EPI_ISL_3031288 | 18/01/2021 | Belo Horizonte |
| EPI_ISL_3031289 | 18/01/2021 | Belo Horizonte |
| EPI_ISL_3031296 | 18/01/2021 | Belo Horizonte |
| EPI_ISL_3061898 | 29/01/2021 | Florianópolis |
| EPI_ISL_3434801 | 04/01/2021 | Maceió |
| EPI_ISL_5104483 | 02/01/2021 | Goiânia |
| EPI_ISL_8005482 | 04/01/2021 | Curitiba |
| EPI_ISL_8005487 | 15/01/2021 | Curitiba |
| EPI_ISL_8005491 | 18/01/2021 | Curitiba |
| EPI_ISL_8005494 | 30/01/2021 | Curitiba |
| EPI_ISL_8005495 | 31/01/2021 | Curitiba |
| EPI_ISL_861684 | 02/01/2021 | São Paulo |
| EPI_ISL_861685 | 02/01/2021 | São Paulo |
| EPI_ISL_906070 | 18/01/2021 | Manaus |
| EPI_ISL_12402053 | 09/12/2020 | Salvador |

Apêndice 2

- **Genomas de SARS-CoV-2 gerados neste estudo**

Tabela 6. Genomas completos de SARS-CoV-2 gerados no presente trabalho.

| ID de acesso GISAID | Data de coleta | Local |
|---------------------|----------------|-----------------------|
| EPI_ISL_18631971 | 25/03/2020 | São José do Rio Preto |
| EPI_ISL_18631972 | 27/03/2020 | São José do Rio Preto |
| EPI_ISL_18631973 | 30/03/2020 | São José do Rio Preto |
| EPI_ISL_18631974 | 30/03/2020 | São José do Rio Preto |
| EPI_ISL_18631975 | 05/04/2020 | São José do Rio Preto |
| EPI_ISL_18631976 | 06/04/2020 | São José do Rio Preto |
| EPI_ISL_18631977 | 13/04/2020 | São José do Rio Preto |
| EPI_ISL_18631978 | 14/04/2020 | São José do Rio Preto |
| EPI_ISL_18631979 | 14/04/2020 | São José do Rio Preto |
| EPI_ISL_18631980 | 17/04/2020 | São José do Rio Preto |
| EPI_ISL_18631981 | 21/04/2020 | São José do Rio Preto |
| EPI_ISL_18631982 | 22/04/2020 | São José do Rio Preto |
| EPI_ISL_18631983 | 23/04/2020 | São José do Rio Preto |
| EPI_ISL_18631984 | 27/04/2020 | São José do Rio Preto |
| EPI_ISL_18631985 | 27/04/2020 | São José do Rio Preto |
| EPI_ISL_18631986 | 28/04/2020 | São José do Rio Preto |
| EPI_ISL_18631987 | 28/04/2020 | São José do Rio Preto |
| EPI_ISL_18631988 | 28/04/2020 | São José do Rio Preto |
| EPI_ISL_18631989 | 28/04/2020 | São José do Rio Preto |
| EPI_ISL_18631990 | 28/04/2020 | São José do Rio Preto |

| | | |
|------------------|------------|-----------------------|
| EPI_ISL_18631991 | 29/04/2020 | São José do Rio Preto |
| EPI_ISL_18631992 | 30/04/2020 | São José do Rio Preto |
| EPI_ISL_18631993 | 30/04/2020 | São José do Rio Preto |
| EPI_ISL_18631994 | 30/04/2020 | São José do Rio Preto |
| EPI_ISL_18631995 | 30/04/2020 | São José do Rio Preto |
| EPI_ISL_18631996 | 29/04/2020 | São José do Rio Preto |
| EPI_ISL_18631997 | 30/04/2020 | São José do Rio Preto |
| EPI_ISL_18631998 | 30/04/2020 | São José do Rio Preto |
| EPI_ISL_18631999 | 30/04/2020 | São José do Rio Preto |
| EPI_ISL_18632000 | 01/05/2020 | São José do Rio Preto |
| EPI_ISL_18632001 | 08/05/2020 | São José do Rio Preto |
| EPI_ISL_18632002 | 07/05/2020 | São José do Rio Preto |
| EPI_ISL_18632003 | 07/05/2020 | São José do Rio Preto |
| EPI_ISL_18632004 | 07/05/2020 | São José do Rio Preto |
| EPI_ISL_18632005 | 07/05/2020 | São José do Rio Preto |
| EPI_ISL_18632006 | 07/05/2020 | São José do Rio Preto |
| EPI_ISL_18632007 | 07/05/2020 | São José do Rio Preto |
| EPI_ISL_18632008 | 10/05/2020 | São José do Rio Preto |
| EPI_ISL_18632009 | 10/05/2020 | São José do Rio Preto |
| EPI_ISL_18632010 | 10/05/2020 | São José do Rio Preto |
| EPI_ISL_18632011 | 10/05/2020 | São José do Rio Preto |
| EPI_ISL_18632012 | 10/05/2020 | São José do Rio Preto |
| EPI_ISL_18632013 | 11/05/2020 | São José do Rio Preto |
| EPI_ISL_18632014 | 15/05/2020 | São José do Rio Preto |

| | | |
|------------------|------------|-----------------------|
| EPI_ISL_18632015 | 15/05/2020 | São José do Rio Preto |
| EPI_ISL_18632016 | 15/05/2020 | São José do Rio Preto |
| EPI_ISL_18632017 | 15/05/2020 | São José do Rio Preto |
| EPI_ISL_18632018 | 15/05/2020 | São José do Rio Preto |
| EPI_ISL_18632019 | 19/05/2020 | São José do Rio Preto |
| EPI_ISL_18632020 | 18/05/2020 | São José do Rio Preto |
| EPI_ISL_18632021 | 18/05/2020 | São José do Rio Preto |
| EPI_ISL_18632022 | 19/05/2020 | São José do Rio Preto |
| EPI_ISL_18632023 | 19/05/2020 | São José do Rio Preto |
| EPI_ISL_18632024 | 19/05/2020 | São José do Rio Preto |
| EPI_ISL_18632025 | 19/05/2020 | São José do Rio Preto |
| EPI_ISL_18632026 | 20/05/2020 | São José do Rio Preto |
| EPI_ISL_18632027 | 22/05/2020 | São José do Rio Preto |
| EPI_ISL_18632028 | 21/05/2020 | São José do Rio Preto |
| EPI_ISL_18632029 | 21/05/2020 | São José do Rio Preto |
| EPI_ISL_18632030 | 21/05/2020 | São José do Rio Preto |
| EPI_ISL_18632031 | 21/05/2020 | São José do Rio Preto |
| EPI_ISL_18632032 | 30/05/2020 | São José do Rio Preto |
| EPI_ISL_18632033 | 30/05/2020 | São José do Rio Preto |
| EPI_ISL_18632034 | 01/06/2020 | São José do Rio Preto |
| EPI_ISL_18632035 | 01/06/2020 | São José do Rio Preto |
| EPI_ISL_18632036 | 02/06/2020 | São José do Rio Preto |
| EPI_ISL_18632037 | 02/06/2020 | São José do Rio Preto |
| EPI_ISL_18632038 | 02/06/2020 | São José do Rio Preto |

| | | |
|------------------|------------|-----------------------|
| EPI_ISL_18632039 | 03/06/2020 | São José do Rio Preto |
| EPI_ISL_18632040 | 02/06/2020 | São José do Rio Preto |
| EPI_ISL_18632041 | 03/06/2020 | São José do Rio Preto |
| EPI_ISL_18632042 | 01/06/2020 | São José do Rio Preto |
| EPI_ISL_18632043 | 04/06/2020 | São José do Rio Preto |
| EPI_ISL_18632044 | 04/06/2020 | São José do Rio Preto |
| EPI_ISL_18632045 | 04/06/2020 | São José do Rio Preto |
| EPI_ISL_18632046 | 06/06/2020 | São José do Rio Preto |
| EPI_ISL_18632047 | 06/06/2020 | São José do Rio Preto |
| EPI_ISL_18632048 | 07/06/2020 | São José do Rio Preto |
| EPI_ISL_18632049 | 07/06/2020 | São José do Rio Preto |
| EPI_ISL_18632050 | 07/06/2020 | São José do Rio Preto |
| EPI_ISL_18632051 | 07/06/2020 | São José do Rio Preto |
| EPI_ISL_18632052 | 07/06/2020 | São José do Rio Preto |
| EPI_ISL_18632053 | 08/06/2020 | São José do Rio Preto |
| EPI_ISL_18632054 | 08/06/2020 | São José do Rio Preto |
| EPI_ISL_18632055 | 05/06/2020 | São José do Rio Preto |
| EPI_ISL_18632056 | 08/06/2020 | São José do Rio Preto |
| EPI_ISL_18632057 | 08/06/2020 | São José do Rio Preto |
| EPI_ISL_18632058 | 08/06/2020 | São José do Rio Preto |
| EPI_ISL_18632059 | 08/06/2020 | São José do Rio Preto |
| EPI_ISL_18632060 | 08/06/2020 | São José do Rio Preto |
| EPI_ISL_18632061 | 08/06/2020 | São José do Rio Preto |
| EPI_ISL_18632062 | 08/06/2020 | São José do Rio Preto |

| | | |
|------------------|------------|-----------------------|
| EPI_ISL_18632063 | 09/06/2020 | São José do Rio Preto |
| EPI_ISL_18632064 | 08/06/2020 | São José do Rio Preto |
| EPI_ISL_18632065 | 08/06/2020 | São José do Rio Preto |
| EPI_ISL_18632066 | 09/06/2020 | São José do Rio Preto |
| EPI_ISL_18632067 | 09/06/2020 | São José do Rio Preto |
| EPI_ISL_18632068 | 09/06/2020 | São José do Rio Preto |
| EPI_ISL_18632069 | 09/06/2020 | São José do Rio Preto |
| EPI_ISL_18632070 | 09/06/2020 | São José do Rio Preto |
| EPI_ISL_18632071 | 10/06/2020 | São José do Rio Preto |
| EPI_ISL_18632072 | 10/06/2020 | São José do Rio Preto |
| EPI_ISL_18632073 | 16/06/2020 | São José do Rio Preto |
| EPI_ISL_18632074 | 11/06/2020 | São José do Rio Preto |
| EPI_ISL_18632075 | 11/06/2020 | São José do Rio Preto |
| EPI_ISL_18632076 | 12/06/2020 | São José do Rio Preto |
| EPI_ISL_18632077 | 11/06/2020 | São José do Rio Preto |
| EPI_ISL_18632078 | 12/06/2020 | São José do Rio Preto |
| EPI_ISL_18632079 | 12/06/2020 | São José do Rio Preto |
| EPI_ISL_18632080 | 12/06/2020 | São José do Rio Preto |
| EPI_ISL_18632081 | 12/06/2020 | São José do Rio Preto |
| EPI_ISL_18632082 | 13/06/2020 | São José do Rio Preto |
| EPI_ISL_18632083 | 15/06/2020 | São José do Rio Preto |
| EPI_ISL_18632084 | 14/06/2020 | São José do Rio Preto |
| EPI_ISL_18632085 | 14/06/2020 | São José do Rio Preto |
| EPI_ISL_18632086 | 13/06/2020 | São José do Rio Preto |

| | | |
|------------------|------------|-----------------------|
| EPI_ISL_18632087 | 14/06/2020 | São José do Rio Preto |
| EPI_ISL_18632088 | 15/06/2020 | São José do Rio Preto |
| EPI_ISL_18632089 | 15/06/2020 | São José do Rio Preto |
| EPI_ISL_18632090 | 16/06/2020 | São José do Rio Preto |
| EPI_ISL_18632091 | 16/06/2020 | São José do Rio Preto |
| EPI_ISL_18632092 | 16/06/2020 | São José do Rio Preto |
| EPI_ISL_18632093 | 17/06/2020 | São José do Rio Preto |
| EPI_ISL_18632094 | 17/06/2020 | São José do Rio Preto |
| EPI_ISL_18632095 | 17/06/2020 | São José do Rio Preto |
| EPI_ISL_18632096 | 17/06/2020 | São José do Rio Preto |
| EPI_ISL_18632097 | 17/06/2020 | São José do Rio Preto |
| EPI_ISL_18632098 | 17/06/2020 | São José do Rio Preto |
| EPI_ISL_18632099 | 17/06/2020 | São José do Rio Preto |
| EPI_ISL_18632100 | 18/06/2020 | São José do Rio Preto |
| EPI_ISL_18632101 | 18/06/2020 | São José do Rio Preto |
| EPI_ISL_18632102 | 18/06/2020 | São José do Rio Preto |
| EPI_ISL_18632103 | 18/06/2020 | São José do Rio Preto |
| EPI_ISL_18632104 | 18/06/2020 | São José do Rio Preto |
| EPI_ISL_18632105 | 18/06/2020 | São José do Rio Preto |
| EPI_ISL_18632106 | 18/06/2020 | São José do Rio Preto |
| EPI_ISL_18632107 | 18/06/2020 | São José do Rio Preto |
| EPI_ISL_18632108 | 19/06/2020 | São José do Rio Preto |
| EPI_ISL_18632109 | 20/06/2020 | São José do Rio Preto |
| EPI_ISL_18632110 | 20/06/2020 | São José do Rio Preto |

| | | |
|------------------|------------|-----------------------|
| EPI_ISL_18632111 | 19/06/2020 | São José do Rio Preto |
| EPI_ISL_18632112 | 19/06/2020 | São José do Rio Preto |
| EPI_ISL_18632113 | 19/06/2020 | São José do Rio Preto |
| EPI_ISL_18632114 | 19/06/2020 | São José do Rio Preto |
| EPI_ISL_18632115 | 21/06/2020 | São José do Rio Preto |
| EPI_ISL_18632116 | 20/06/2020 | São José do Rio Preto |
| EPI_ISL_18637327 | 20/06/2020 | São José do Rio Preto |
| EPI_ISL_18632117 | 20/06/2020 | São José do Rio Preto |
| EPI_ISL_18632118 | 22/06/2020 | São José do Rio Preto |
| EPI_ISL_18632119 | 22/06/2020 | São José do Rio Preto |
| EPI_ISL_18632120 | 22/06/2020 | São José do Rio Preto |
| EPI_ISL_18632121 | 22/06/2020 | São José do Rio Preto |
| EPI_ISL_18632122 | 22/06/2020 | São José do Rio Preto |
| EPI_ISL_18632123 | 22/06/2020 | São José do Rio Preto |
| EPI_ISL_18632124 | 22/06/2020 | São José do Rio Preto |
| EPI_ISL_18632125 | 22/06/2020 | São José do Rio Preto |
| EPI_ISL_18632126 | 22/06/2020 | São José do Rio Preto |
| EPI_ISL_18632127 | 22/06/2020 | São José do Rio Preto |
| EPI_ISL_18632128 | 23/06/2020 | São José do Rio Preto |
| EPI_ISL_18632129 | 24/06/2020 | São José do Rio Preto |
| EPI_ISL_18632130 | 23/06/2020 | São José do Rio Preto |
| EPI_ISL_18632131 | 23/06/2020 | São José do Rio Preto |
| EPI_ISL_18632132 | 19/06/2020 | São José do Rio Preto |
| EPI_ISL_18632133 | 23/06/2020 | São José do Rio Preto |

| | | |
|------------------|------------|-----------------------|
| EPI_ISL_18632134 | 06/08/2020 | São José do Rio Preto |
| EPI_ISL_18632135 | 24/06/2020 | São José do Rio Preto |
| EPI_ISL_18632136 | 24/06/2020 | São José do Rio Preto |
| EPI_ISL_18632137 | 24/06/2020 | São José do Rio Preto |
| EPI_ISL_18632138 | 24/06/2020 | São José do Rio Preto |
| EPI_ISL_18632139 | 24/06/2020 | São José do Rio Preto |
| EPI_ISL_18632140 | 24/06/2020 | São José do Rio Preto |
| EPI_ISL_18632141 | 24/06/2020 | São José do Rio Preto |
| EPI_ISL_18632142 | 25/06/2020 | São José do Rio Preto |
| EPI_ISL_18632143 | 25/06/2020 | São José do Rio Preto |
| EPI_ISL_18632144 | 25/06/2020 | São José do Rio Preto |
| EPI_ISL_18632145 | 26/06/2020 | São José do Rio Preto |
| EPI_ISL_18632146 | 25/06/2020 | São José do Rio Preto |
| EPI_ISL_18632147 | 25/06/2020 | São José do Rio Preto |
| EPI_ISL_18632148 | 25/06/2020 | São José do Rio Preto |
| EPI_ISL_18632149 | 25/06/2020 | São José do Rio Preto |
| EPI_ISL_18632150 | 26/06/2020 | São José do Rio Preto |
| EPI_ISL_18632151 | 26/06/2020 | São José do Rio Preto |
| EPI_ISL_18632152 | 26/06/2020 | São José do Rio Preto |
| EPI_ISL_18632153 | 26/06/2020 | São José do Rio Preto |
| EPI_ISL_18632154 | 26/06/2020 | São José do Rio Preto |
| EPI_ISL_18632155 | 26/06/2020 | São José do Rio Preto |
| EPI_ISL_18632156 | 28/06/2020 | São José do Rio Preto |
| EPI_ISL_18632157 | 28/06/2020 | São José do Rio Preto |

| | | |
|------------------|------------|-----------------------|
| EPI_ISL_18632158 | 28/06/2020 | São José do Rio Preto |
| EPI_ISL_18632159 | 27/06/2020 | São José do Rio Preto |
| EPI_ISL_18632160 | 28/06/2020 | São José do Rio Preto |
| EPI_ISL_18632161 | 28/06/2020 | São José do Rio Preto |
| EPI_ISL_18632162 | 28/06/2020 | São José do Rio Preto |
| EPI_ISL_18632163 | 28/06/2020 | São José do Rio Preto |
| EPI_ISL_18632164 | 28/06/2020 | São José do Rio Preto |
| EPI_ISL_18632165 | 27/06/2020 | São José do Rio Preto |
| EPI_ISL_18632166 | 27/06/2020 | São José do Rio Preto |
| EPI_ISL_18632167 | 27/06/2020 | São José do Rio Preto |
| EPI_ISL_18632168 | 28/06/2020 | São José do Rio Preto |
| EPI_ISL_18632169 | 27/06/2020 | São José do Rio Preto |
| EPI_ISL_18632170 | 29/06/2020 | São José do Rio Preto |
| EPI_ISL_18632171 | 29/06/2020 | São José do Rio Preto |
| EPI_ISL_18632172 | 29/06/2020 | São José do Rio Preto |
| EPI_ISL_18632173 | 30/06/2020 | São José do Rio Preto |
| EPI_ISL_18632174 | 29/06/2020 | São José do Rio Preto |
| EPI_ISL_18632175 | 29/06/2020 | São José do Rio Preto |
| EPI_ISL_18637328 | 29/06/2020 | São José do Rio Preto |
| EPI_ISL_18632176 | 01/07/2020 | São José do Rio Preto |
| EPI_ISL_18632177 | 01/07/2020 | São José do Rio Preto |
| EPI_ISL_18632178 | 01/07/2020 | São José do Rio Preto |
| EPI_ISL_18632179 | 01/07/2020 | São José do Rio Preto |
| EPI_ISL_18632180 | 01/07/2020 | São José do Rio Preto |

| | | |
|------------------|------------|-----------------------|
| EPI_ISL_18632181 | 02/07/2020 | São José do Rio Preto |
| EPI_ISL_18632182 | 05/07/2020 | São José do Rio Preto |
| EPI_ISL_18632183 | 06/07/2020 | São José do Rio Preto |
| EPI_ISL_18632184 | 06/07/2020 | São José do Rio Preto |
| EPI_ISL_18632185 | 06/07/2020 | São José do Rio Preto |
| EPI_ISL_18632186 | 06/07/2020 | São José do Rio Preto |
| EPI_ISL_18632187 | 06/07/2020 | São José do Rio Preto |
| EPI_ISL_18632188 | 08/07/2020 | São José do Rio Preto |
| EPI_ISL_18632189 | 08/07/2020 | São José do Rio Preto |
| EPI_ISL_18632190 | 08/07/2020 | São José do Rio Preto |
| EPI_ISL_18632191 | 08/07/2020 | São José do Rio Preto |
| EPI_ISL_18632192 | 09/07/2020 | São José do Rio Preto |
| EPI_ISL_18632193 | 09/07/2020 | São José do Rio Preto |
| EPI_ISL_18632194 | 10/07/2020 | São José do Rio Preto |
| EPI_ISL_18632195 | 10/07/2020 | São José do Rio Preto |
| EPI_ISL_18632196 | 11/07/2020 | São José do Rio Preto |
| EPI_ISL_18632197 | 13/07/2020 | São José do Rio Preto |
| EPI_ISL_18632198 | 12/07/2020 | São José do Rio Preto |
| EPI_ISL_18632199 | 12/07/2020 | São José do Rio Preto |
| EPI_ISL_18632200 | 12/07/2020 | São José do Rio Preto |
| EPI_ISL_18632201 | 11/07/2020 | São José do Rio Preto |
| EPI_ISL_18632202 | 11/07/2020 | São José do Rio Preto |
| EPI_ISL_18632203 | 13/07/2020 | São José do Rio Preto |
| EPI_ISL_18632204 | 13/07/2020 | São José do Rio Preto |

| | | |
|------------------|------------|-----------------------|
| EPI_ISL_18632205 | 13/07/2020 | São José do Rio Preto |
| EPI_ISL_18632206 | 13/07/2020 | São José do Rio Preto |
| EPI_ISL_18632207 | 08/07/2020 | São José do Rio Preto |
| EPI_ISL_18632208 | 13/07/2020 | São José do Rio Preto |
| EPI_ISL_18632209 | 13/07/2020 | São José do Rio Preto |
| EPI_ISL_18632210 | 13/07/2020 | São José do Rio Preto |
| EPI_ISL_18632211 | 15/07/2020 | São José do Rio Preto |
| EPI_ISL_18632212 | 12/07/2020 | São José do Rio Preto |
| EPI_ISL_18632213 | 14/07/2020 | São José do Rio Preto |
| EPI_ISL_18632214 | 14/07/2020 | São José do Rio Preto |
| EPI_ISL_18632215 | 14/07/2020 | São José do Rio Preto |
| EPI_ISL_18632216 | 15/07/2020 | São José do Rio Preto |
| EPI_ISL_18632217 | 15/07/2020 | São José do Rio Preto |
| EPI_ISL_18632218 | 15/07/2020 | São José do Rio Preto |
| EPI_ISL_18632219 | 15/07/2020 | São José do Rio Preto |
| EPI_ISL_18632220 | 16/07/2020 | São José do Rio Preto |
| EPI_ISL_18632221 | 16/07/2020 | São José do Rio Preto |
| EPI_ISL_18632222 | 17/07/2020 | São José do Rio Preto |
| EPI_ISL_18632223 | 19/07/2020 | São José do Rio Preto |
| EPI_ISL_18632224 | 20/07/2020 | São José do Rio Preto |
| EPI_ISL_18632225 | 20/07/2020 | São José do Rio Preto |
| EPI_ISL_18632226 | 20/07/2020 | São José do Rio Preto |
| EPI_ISL_18632227 | 20/07/2020 | São José do Rio Preto |
| EPI_ISL_18632228 | 20/07/2020 | São José do Rio Preto |

| | | |
|------------------|------------|-----------------------|
| EPI_ISL_18632229 | 20/07/2020 | São José do Rio Preto |
| EPI_ISL_18632230 | 20/07/2020 | São José do Rio Preto |
| EPI_ISL_18632231 | 21/07/2020 | São José do Rio Preto |
| EPI_ISL_18632232 | 21/07/2020 | São José do Rio Preto |
| EPI_ISL_18632233 | 21/07/2020 | São José do Rio Preto |
| EPI_ISL_18632234 | 21/07/2020 | São José do Rio Preto |
| EPI_ISL_18632235 | 21/07/2020 | São José do Rio Preto |
| EPI_ISL_18632236 | 21/07/2020 | São José do Rio Preto |
| EPI_ISL_18632237 | 21/07/2020 | São José do Rio Preto |
| EPI_ISL_18632238 | 22/07/2020 | São José do Rio Preto |
| EPI_ISL_18632239 | 23/07/2020 | São José do Rio Preto |
| EPI_ISL_18632240 | 23/07/2020 | São José do Rio Preto |
| EPI_ISL_18632241 | 25/07/2020 | São José do Rio Preto |
| EPI_ISL_18632242 | 24/07/2020 | São José do Rio Preto |
| EPI_ISL_18632243 | 24/07/2020 | São José do Rio Preto |
| EPI_ISL_18632244 | 24/07/2020 | São José do Rio Preto |
| EPI_ISL_18632245 | 26/07/2020 | São José do Rio Preto |
| EPI_ISL_18632246 | 24/07/2020 | São José do Rio Preto |
| EPI_ISL_18632247 | 26/07/2020 | São José do Rio Preto |
| EPI_ISL_18632248 | 26/07/2020 | São José do Rio Preto |
| EPI_ISL_18632249 | 28/07/2020 | São José do Rio Preto |
| EPI_ISL_18632250 | 28/07/2020 | São José do Rio Preto |
| EPI_ISL_18632251 | 28/07/2020 | São José do Rio Preto |
| EPI_ISL_18632252 | 28/07/2020 | São José do Rio Preto |

| | | |
|------------------|------------|-----------------------|
| EPI_ISL_18632253 | 29/07/2020 | São José do Rio Preto |
| EPI_ISL_18632254 | 29/07/2020 | São José do Rio Preto |
| EPI_ISL_18632255 | 29/07/2020 | São José do Rio Preto |
| EPI_ISL_18632256 | 29/07/2020 | São José do Rio Preto |
| EPI_ISL_18632257 | 29/07/2020 | São José do Rio Preto |
| EPI_ISL_18632258 | 29/07/2020 | São José do Rio Preto |
| EPI_ISL_18632259 | 29/07/2020 | São José do Rio Preto |
| EPI_ISL_18632260 | 02/08/2020 | São José do Rio Preto |
| EPI_ISL_18632261 | 02/08/2020 | São José do Rio Preto |
| EPI_ISL_18632262 | 02/08/2020 | São José do Rio Preto |
| EPI_ISL_18632263 | 02/08/2020 | São José do Rio Preto |
| EPI_ISL_18632264 | 03/08/2020 | São José do Rio Preto |
| EPI_ISL_18632265 | 03/08/2020 | São José do Rio Preto |
| EPI_ISL_18632266 | 04/08/2020 | São José do Rio Preto |
| EPI_ISL_18632267 | 03/08/2020 | São José do Rio Preto |
| EPI_ISL_18632268 | 03/08/2020 | São José do Rio Preto |
| EPI_ISL_18632269 | 04/08/2020 | São José do Rio Preto |
| EPI_ISL_18632270 | 31/07/2020 | São José do Rio Preto |
| EPI_ISL_18632271 | 03/08/2020 | São José do Rio Preto |
| EPI_ISL_18632272 | 05/08/2020 | São José do Rio Preto |
| EPI_ISL_18632273 | 05/08/2020 | São José do Rio Preto |
| EPI_ISL_18632274 | 05/08/2020 | São José do Rio Preto |
| EPI_ISL_18632275 | 05/08/2020 | São José do Rio Preto |
| EPI_ISL_18632276 | 06/08/2020 | São José do Rio Preto |

| | | |
|------------------|------------|-----------------------|
| EPI_ISL_18632277 | 06/08/2020 | São José do Rio Preto |
| EPI_ISL_18632278 | 06/08/2020 | São José do Rio Preto |
| EPI_ISL_18632279 | 07/08/2020 | São José do Rio Preto |
| EPI_ISL_18632280 | 07/08/2020 | São José do Rio Preto |
| EPI_ISL_18632281 | 07/08/2020 | São José do Rio Preto |
| EPI_ISL_18632282 | 07/08/2020 | São José do Rio Preto |
| EPI_ISL_18632283 | 07/08/2020 | São José do Rio Preto |
| EPI_ISL_18632284 | 07/08/2020 | São José do Rio Preto |
| EPI_ISL_18632285 | 09/08/2020 | São José do Rio Preto |
| EPI_ISL_18632286 | 10/08/2020 | São José do Rio Preto |
| EPI_ISL_18632287 | 09/08/2020 | São José do Rio Preto |
| EPI_ISL_18632288 | 10/08/2020 | São José do Rio Preto |
| EPI_ISL_18632289 | 10/08/2020 | São José do Rio Preto |
| EPI_ISL_18632290 | 11/08/2020 | São José do Rio Preto |
| EPI_ISL_18632291 | 12/08/2020 | São José do Rio Preto |
| EPI_ISL_18632292 | 12/08/2020 | São José do Rio Preto |
| EPI_ISL_18632293 | 12/08/2020 | São José do Rio Preto |
| EPI_ISL_18632294 | 12/08/2020 | São José do Rio Preto |
| EPI_ISL_18632295 | 12/08/2020 | São José do Rio Preto |
| EPI_ISL_18632296 | 13/08/2020 | São José do Rio Preto |
| EPI_ISL_18632297 | 13/08/2020 | São José do Rio Preto |
| EPI_ISL_18632298 | 13/08/2020 | São José do Rio Preto |
| EPI_ISL_18632299 | 17/08/2020 | São José do Rio Preto |
| EPI_ISL_18632300 | 17/08/2020 | São José do Rio Preto |

| | | |
|------------------|------------|-----------------------|
| EPI_ISL_18632301 | 17/08/2020 | São José do Rio Preto |
| EPI_ISL_18632302 | 17/08/2020 | São José do Rio Preto |
| EPI_ISL_18632303 | 17/08/2020 | São José do Rio Preto |
| EPI_ISL_18632304 | 18/08/2020 | São José do Rio Preto |
| EPI_ISL_18632305 | 18/08/2020 | São José do Rio Preto |
| EPI_ISL_18632306 | 18/08/2020 | São José do Rio Preto |
| EPI_ISL_18632307 | 18/08/2020 | São José do Rio Preto |
| EPI_ISL_18632308 | 18/08/2020 | São José do Rio Preto |
| EPI_ISL_18632309 | 18/08/2020 | São José do Rio Preto |
| EPI_ISL_18632310 | 18/08/2020 | São José do Rio Preto |
| EPI_ISL_18632311 | 18/08/2020 | São José do Rio Preto |
| EPI_ISL_18632312 | 18/08/2020 | São José do Rio Preto |
| EPI_ISL_18632313 | 18/08/2020 | São José do Rio Preto |
| EPI_ISL_18632314 | 18/08/2020 | São José do Rio Preto |
| EPI_ISL_18632315 | 18/08/2020 | São José do Rio Preto |
| EPI_ISL_18632316 | 18/08/2020 | São José do Rio Preto |
| EPI_ISL_18632317 | 18/08/2020 | São José do Rio Preto |
| EPI_ISL_18632318 | 19/08/2020 | São José do Rio Preto |
| EPI_ISL_18632319 | 19/08/2020 | São José do Rio Preto |
| EPI_ISL_18632320 | 19/08/2020 | São José do Rio Preto |
| EPI_ISL_18632321 | 19/08/2020 | São José do Rio Preto |
| EPI_ISL_18632322 | 19/08/2020 | São José do Rio Preto |
| EPI_ISL_18632323 | 19/08/2020 | São José do Rio Preto |
| EPI_ISL_18637329 | 19/08/2020 | São José do Rio Preto |

| | | |
|------------------|------------|-----------------------|
| EPI_ISL_18632324 | 19/08/2020 | São José do Rio Preto |
| EPI_ISL_18632325 | 19/08/2020 | São José do Rio Preto |
| EPI_ISL_18632326 | 19/08/2020 | São José do Rio Preto |
| EPI_ISL_18632327 | 19/08/2020 | São José do Rio Preto |
| EPI_ISL_18632328 | 20/08/2020 | São José do Rio Preto |
| EPI_ISL_18632329 | 20/08/2020 | São José do Rio Preto |
| EPI_ISL_18632330 | 20/08/2020 | São José do Rio Preto |
| EPI_ISL_18632331 | 20/08/2020 | São José do Rio Preto |
| EPI_ISL_18632332 | 21/08/2020 | São José do Rio Preto |
| EPI_ISL_18632333 | 22/08/2020 | São José do Rio Preto |
| EPI_ISL_18632334 | 22/08/2020 | São José do Rio Preto |
| EPI_ISL_18632335 | 22/08/2020 | São José do Rio Preto |
| EPI_ISL_18632336 | 22/08/2020 | São José do Rio Preto |
| EPI_ISL_18632337 | 22/08/2020 | São José do Rio Preto |
| EPI_ISL_18632338 | 24/08/2020 | São José do Rio Preto |
| EPI_ISL_18632339 | 24/08/2020 | São José do Rio Preto |
| EPI_ISL_18632340 | 24/08/2020 | São José do Rio Preto |
| EPI_ISL_18632341 | 24/08/2020 | São José do Rio Preto |
| EPI_ISL_18632342 | 26/08/2020 | São José do Rio Preto |
| EPI_ISL_18632343 | 26/08/2020 | São José do Rio Preto |
| EPI_ISL_18632344 | 26/08/2020 | São José do Rio Preto |
| EPI_ISL_18637330 | 26/08/2020 | São José do Rio Preto |
| EPI_ISL_18632345 | 26/08/2020 | São José do Rio Preto |
| EPI_ISL_18632346 | 28/08/2020 | São José do Rio Preto |

| | | |
|------------------|------------|-----------------------|
| EPI_ISL_18632347 | 28/08/2020 | São José do Rio Preto |
| EPI_ISL_18632348 | 28/08/2020 | São José do Rio Preto |
| EPI_ISL_18632349 | 29/09/2020 | São José do Rio Preto |
| EPI_ISL_18632350 | 29/09/2020 | São José do Rio Preto |
| EPI_ISL_18632351 | 29/09/2020 | São José do Rio Preto |
| EPI_ISL_18632352 | 31/08/2020 | São José do Rio Preto |
| EPI_ISL_18632353 | 31/08/2020 | São José do Rio Preto |
| EPI_ISL_18632354 | 31/08/2020 | São José do Rio Preto |
| EPI_ISL_18632355 | 31/08/2020 | São José do Rio Preto |
| EPI_ISL_18632356 | 31/08/2020 | São José do Rio Preto |
| EPI_ISL_18632357 | 31/08/2020 | São José do Rio Preto |
| EPI_ISL_18632358 | 31/08/2020 | São José do Rio Preto |
| EPI_ISL_18632359 | 31/08/2020 | São José do Rio Preto |
| EPI_ISL_18632360 | 31/08/2020 | São José do Rio Preto |
| EPI_ISL_18632361 | 31/08/2020 | São José do Rio Preto |
| EPI_ISL_18632362 | 31/08/2020 | São José do Rio Preto |
| EPI_ISL_18632363 | 31/08/2020 | São José do Rio Preto |
| EPI_ISL_18632364 | 31/08/2020 | São José do Rio Preto |
| EPI_ISL_18632365 | 01/09/2020 | São José do Rio Preto |
| EPI_ISL_18632366 | 01/09/2020 | São José do Rio Preto |
| EPI_ISL_18632367 | 01/09/2020 | São José do Rio Preto |
| EPI_ISL_18632368 | 01/09/2020 | São José do Rio Preto |
| EPI_ISL_18632369 | 02/09/2020 | São José do Rio Preto |
| EPI_ISL_18632370 | 03/09/2020 | São José do Rio Preto |

| | | |
|------------------|------------|-----------------------|
| EPI_ISL_18632371 | 03/09/2020 | São José do Rio Preto |
| EPI_ISL_18632372 | 03/09/2020 | São José do Rio Preto |
| EPI_ISL_18632373 | 03/09/2020 | São José do Rio Preto |
| EPI_ISL_18632374 | 03/09/2020 | São José do Rio Preto |
| EPI_ISL_18632375 | 17/09/2020 | São José do Rio Preto |
| EPI_ISL_18632376 | 03/09/2020 | São José do Rio Preto |
| EPI_ISL_18632377 | 05/09/2020 | São José do Rio Preto |
| EPI_ISL_18632378 | 05/09/2020 | São José do Rio Preto |
| EPI_ISL_18632379 | 05/09/2020 | São José do Rio Preto |
| EPI_ISL_18632380 | 08/09/2020 | São José do Rio Preto |
| EPI_ISL_18632381 | 07/09/2020 | São José do Rio Preto |
| EPI_ISL_18632382 | 07/09/2020 | São José do Rio Preto |
| EPI_ISL_18632383 | 07/09/2020 | São José do Rio Preto |
| EPI_ISL_18632384 | 07/09/2020 | São José do Rio Preto |
| EPI_ISL_18632385 | 07/09/2020 | São José do Rio Preto |
| EPI_ISL_18632386 | 09/09/2020 | São José do Rio Preto |
| EPI_ISL_18632387 | 08/09/2020 | São José do Rio Preto |
| EPI_ISL_18632388 | 08/09/2020 | São José do Rio Preto |
| EPI_ISL_18632389 | 08/09/2020 | São José do Rio Preto |
| EPI_ISL_18632390 | 08/09/2020 | São José do Rio Preto |
| EPI_ISL_18632391 | 08/09/2020 | São José do Rio Preto |
| EPI_ISL_18632392 | 08/09/2020 | São José do Rio Preto |
| EPI_ISL_18632393 | 08/09/2020 | São José do Rio Preto |
| EPI_ISL_18632394 | 09/09/2020 | São José do Rio Preto |

| | | |
|------------------|------------|-----------------------|
| EPI_ISL_18632395 | 09/09/2020 | São José do Rio Preto |
| EPI_ISL_18632396 | 09/09/2020 | São José do Rio Preto |
| EPI_ISL_18632397 | 09/09/2020 | São José do Rio Preto |
| EPI_ISL_18632398 | 11/09/2020 | São José do Rio Preto |
| EPI_ISL_18632399 | 11/09/2020 | São José do Rio Preto |
| EPI_ISL_18632400 | 10/09/2020 | São José do Rio Preto |
| EPI_ISL_18632401 | 11/09/2020 | São José do Rio Preto |
| EPI_ISL_18632402 | 11/09/2020 | São José do Rio Preto |
| EPI_ISL_18632403 | 13/09/2020 | São José do Rio Preto |
| EPI_ISL_18632404 | 13/09/2020 | São José do Rio Preto |
| EPI_ISL_18632405 | 12/09/2020 | São José do Rio Preto |
| EPI_ISL_18632406 | 12/09/2020 | São José do Rio Preto |
| EPI_ISL_18632407 | 12/09/2020 | São José do Rio Preto |
| EPI_ISL_18632408 | 12/09/2020 | São José do Rio Preto |
| EPI_ISL_18632409 | 13/09/2020 | São José do Rio Preto |
| EPI_ISL_18632410 | 13/09/2020 | São José do Rio Preto |
| EPI_ISL_18632411 | 13/09/2020 | São José do Rio Preto |
| EPI_ISL_18632412 | 12/09/2020 | São José do Rio Preto |
| EPI_ISL_18632413 | 12/09/2020 | São José do Rio Preto |
| EPI_ISL_18632414 | 14/09/2020 | São José do Rio Preto |
| EPI_ISL_18632415 | 14/09/2020 | São José do Rio Preto |
| EPI_ISL_18632416 | 14/09/2020 | São José do Rio Preto |
| EPI_ISL_18632417 | 14/09/2020 | São José do Rio Preto |
| EPI_ISL_18632418 | 14/09/2020 | São José do Rio Preto |

| | | |
|------------------|------------|-----------------------|
| EPI_ISL_18632419 | 14/09/2020 | São José do Rio Preto |
| EPI_ISL_18632420 | 14/09/2020 | São José do Rio Preto |
| EPI_ISL_18632421 | 16/09/2020 | São José do Rio Preto |
| EPI_ISL_18632422 | 17/09/2020 | São José do Rio Preto |
| EPI_ISL_18632423 | 17/09/2020 | São José do Rio Preto |
| EPI_ISL_18632424 | 17/09/2020 | São José do Rio Preto |
| EPI_ISL_18632425 | 18/09/2020 | São José do Rio Preto |
| EPI_ISL_18632426 | 18/09/2020 | São José do Rio Preto |
| EPI_ISL_18632427 | 19/09/2020 | São José do Rio Preto |
| EPI_ISL_18632428 | 19/09/2020 | São José do Rio Preto |
| EPI_ISL_18632429 | 20/09/2020 | São José do Rio Preto |
| EPI_ISL_18632430 | 20/09/2020 | São José do Rio Preto |
| EPI_ISL_18632431 | 20/09/2020 | São José do Rio Preto |
| EPI_ISL_18632432 | 21/09/2020 | São José do Rio Preto |
| EPI_ISL_18632433 | 21/09/2020 | São José do Rio Preto |
| EPI_ISL_18632434 | 21/09/2020 | São José do Rio Preto |
| EPI_ISL_18632435 | 21/09/2020 | São José do Rio Preto |
| EPI_ISL_18632436 | 21/09/2020 | São José do Rio Preto |
| EPI_ISL_18632437 | 21/09/2020 | São José do Rio Preto |
| EPI_ISL_18632438 | 21/09/2020 | São José do Rio Preto |
| EPI_ISL_18632439 | 21/09/2020 | São José do Rio Preto |
| EPI_ISL_18632440 | 23/09/2020 | São José do Rio Preto |
| EPI_ISL_18632441 | 22/09/2020 | São José do Rio Preto |
| EPI_ISL_18632442 | 22/09/2020 | São José do Rio Preto |

| | | |
|------------------|------------|-----------------------|
| EPI_ISL_18632443 | 22/09/2020 | São José do Rio Preto |
| EPI_ISL_18632444 | 23/09/2020 | São José do Rio Preto |
| EPI_ISL_18632445 | 24/09/2020 | São José do Rio Preto |
| EPI_ISL_18632446 | 23/09/2020 | São José do Rio Preto |
| EPI_ISL_18632447 | 23/09/2020 | São José do Rio Preto |
| EPI_ISL_18632448 | 23/09/2020 | São José do Rio Preto |
| EPI_ISL_18632449 | 23/09/2020 | São José do Rio Preto |
| EPI_ISL_18632450 | 02/10/2020 | São José do Rio Preto |
| EPI_ISL_18632451 | 02/10/2020 | São José do Rio Preto |
| EPI_ISL_18632452 | 02/10/2020 | São José do Rio Preto |
| EPI_ISL_18632453 | 05/10/2020 | São José do Rio Preto |
| EPI_ISL_18632454 | 05/10/2020 | São José do Rio Preto |
| EPI_ISL_18632455 | 05/10/2020 | São José do Rio Preto |
| EPI_ISL_18632456 | 05/10/2020 | São José do Rio Preto |
| EPI_ISL_18632457 | 05/10/2020 | São José do Rio Preto |
| EPI_ISL_18632458 | 08/10/2020 | São José do Rio Preto |
| EPI_ISL_18632459 | 05/10/2020 | São José do Rio Preto |
| EPI_ISL_18632460 | 06/10/2020 | São José do Rio Preto |
| EPI_ISL_18632461 | 07/10/2020 | São José do Rio Preto |
| EPI_ISL_18632462 | 07/10/2020 | São José do Rio Preto |
| EPI_ISL_18632463 | 07/10/2020 | São José do Rio Preto |
| EPI_ISL_18632464 | 08/10/2020 | São José do Rio Preto |
| EPI_ISL_18632465 | 08/10/2020 | São José do Rio Preto |
| EPI_ISL_18632466 | 09/10/2020 | São José do Rio Preto |

| | | |
|------------------|------------|-----------------------|
| EPI_ISL_18632467 | 09/10/2020 | São José do Rio Preto |
| EPI_ISL_18632468 | 09/10/2020 | São José do Rio Preto |
| EPI_ISL_18632469 | 09/10/2020 | São José do Rio Preto |
| EPI_ISL_18632470 | 09/10/2020 | São José do Rio Preto |
| EPI_ISL_18632471 | 11/10/2020 | São José do Rio Preto |
| EPI_ISL_18632472 | 11/10/2020 | São José do Rio Preto |
| EPI_ISL_18632473 | 12/10/2020 | São José do Rio Preto |
| EPI_ISL_18632474 | 11/10/2020 | São José do Rio Preto |
| EPI_ISL_18632475 | 11/10/2020 | São José do Rio Preto |
| EPI_ISL_18632476 | 12/10/2020 | São José do Rio Preto |
| EPI_ISL_18632477 | 12/10/2020 | São José do Rio Preto |
| EPI_ISL_18632478 | 12/10/2020 | São José do Rio Preto |
| EPI_ISL_18632479 | 12/10/2020 | São José do Rio Preto |
| EPI_ISL_18632480 | 14/10/2020 | São José do Rio Preto |
| EPI_ISL_18632481 | 13/10/2020 | São José do Rio Preto |
| EPI_ISL_18632482 | 08/10/2020 | São José do Rio Preto |
| EPI_ISL_18632483 | 13/10/2020 | São José do Rio Preto |
| EPI_ISL_18632484 | 13/10/2020 | São José do Rio Preto |
| EPI_ISL_18632485 | 13/10/2020 | São José do Rio Preto |
| EPI_ISL_18632486 | 27/10/2020 | São José do Rio Preto |
| EPI_ISL_18632487 | 13/10/2020 | São José do Rio Preto |
| EPI_ISL_18632488 | 13/10/2020 | São José do Rio Preto |
| EPI_ISL_18632489 | 15/10/2020 | São José do Rio Preto |
| EPI_ISL_18632490 | 15/10/2020 | São José do Rio Preto |

| | | |
|------------------|------------|-----------------------|
| EPI_ISL_18632491 | 15/10/2020 | São José do Rio Preto |
| EPI_ISL_18632492 | 16/10/2020 | São José do Rio Preto |
| EPI_ISL_18632493 | 16/10/2020 | São José do Rio Preto |
| EPI_ISL_18632494 | 16/10/2020 | São José do Rio Preto |
| EPI_ISL_18632495 | 17/10/2020 | São José do Rio Preto |
| EPI_ISL_18632496 | 16/10/2020 | São José do Rio Preto |
| EPI_ISL_18632497 | 18/10/2020 | São José do Rio Preto |
| EPI_ISL_18632498 | 17/10/2020 | São José do Rio Preto |
| EPI_ISL_18632499 | 17/10/2020 | São José do Rio Preto |
| EPI_ISL_18632500 | 18/10/2020 | São José do Rio Preto |
| EPI_ISL_18632501 | 20/10/2020 | São José do Rio Preto |
| EPI_ISL_18632502 | 19/10/2020 | São José do Rio Preto |
| EPI_ISL_18632503 | 19/10/2020 | São José do Rio Preto |
| EPI_ISL_18632504 | 19/10/2020 | São José do Rio Preto |
| EPI_ISL_18632505 | 19/10/2020 | São José do Rio Preto |
| EPI_ISL_18632506 | 19/10/2020 | São José do Rio Preto |
| EPI_ISL_18632507 | 20/10/2020 | São José do Rio Preto |
| EPI_ISL_18632508 | 20/10/2020 | São José do Rio Preto |
| EPI_ISL_18632509 | 20/10/2020 | São José do Rio Preto |
| EPI_ISL_18632510 | 20/10/2020 | São José do Rio Preto |
| EPI_ISL_18632511 | 21/10/2020 | São José do Rio Preto |
| EPI_ISL_18632512 | 21/10/2020 | São José do Rio Preto |
| EPI_ISL_18632513 | 21/10/2020 | São José do Rio Preto |
| EPI_ISL_18632514 | 21/10/2020 | São José do Rio Preto |

| | | |
|------------------|------------|-----------------------|
| EPI_ISL_18637331 | 23/10/2020 | São José do Rio Preto |
| EPI_ISL_18632515 | 23/10/2020 | São José do Rio Preto |
| EPI_ISL_18632516 | 23/10/2020 | São José do Rio Preto |
| EPI_ISL_18632517 | 23/10/2020 | São José do Rio Preto |
| EPI_ISL_18632518 | 23/10/2020 | São José do Rio Preto |
| EPI_ISL_18632519 | 25/10/2020 | São José do Rio Preto |
| EPI_ISL_18632520 | 27/10/2020 | São José do Rio Preto |
| EPI_ISL_18632521 | 26/10/2020 | São José do Rio Preto |
| EPI_ISL_18632522 | 26/10/2020 | São José do Rio Preto |
| EPI_ISL_18632523 | 26/10/2020 | São José do Rio Preto |
| EPI_ISL_18632524 | 26/10/2020 | São José do Rio Preto |
| EPI_ISL_18632525 | 26/10/2020 | São José do Rio Preto |
| EPI_ISL_18632526 | 26/10/2020 | São José do Rio Preto |
| EPI_ISL_18632527 | 27/10/2020 | São José do Rio Preto |
| EPI_ISL_18632528 | 27/10/2020 | São José do Rio Preto |
| EPI_ISL_18632529 | 17/10/2020 | São José do Rio Preto |
| EPI_ISL_18632530 | 28/10/2020 | São José do Rio Preto |
| EPI_ISL_18632531 | 29/10/2020 | São José do Rio Preto |
| EPI_ISL_18632532 | 30/10/2020 | São José do Rio Preto |
| EPI_ISL_18632533 | 30/10/2020 | São José do Rio Preto |
| EPI_ISL_18632534 | 01/11/2020 | São José do Rio Preto |
| EPI_ISL_18632535 | 01/11/2020 | São José do Rio Preto |
| EPI_ISL_18632536 | 01/11/2020 | São José do Rio Preto |
| EPI_ISL_18632537 | 02/11/2020 | São José do Rio Preto |

| | | |
|------------------|------------|-----------------------|
| EPI_ISL_18632538 | 02/11/2020 | São José do Rio Preto |
| EPI_ISL_18632539 | 03/11/2020 | São José do Rio Preto |
| EPI_ISL_18632540 | 04/11/2020 | São José do Rio Preto |
| EPI_ISL_18632541 | 04/11/2020 | São José do Rio Preto |
| EPI_ISL_18632542 | 04/11/2020 | São José do Rio Preto |
| EPI_ISL_18632543 | 04/11/2020 | São José do Rio Preto |
| EPI_ISL_18632544 | 05/11/2020 | São José do Rio Preto |
| EPI_ISL_18632545 | 17/11/2020 | São José do Rio Preto |
| EPI_ISL_18632546 | 05/11/2020 | São José do Rio Preto |
| EPI_ISL_18632547 | 09/11/2020 | São José do Rio Preto |
| EPI_ISL_18632548 | 11/11/2020 | São José do Rio Preto |
| EPI_ISL_18632549 | 11/11/2020 | São José do Rio Preto |
| EPI_ISL_18632550 | 11/11/2020 | São José do Rio Preto |
| EPI_ISL_18632551 | 11/11/2020 | São José do Rio Preto |
| EPI_ISL_18632552 | 11/11/2020 | São José do Rio Preto |
| EPI_ISL_18632553 | 12/11/2020 | São José do Rio Preto |
| EPI_ISL_18632554 | 12/11/2020 | São José do Rio Preto |
| EPI_ISL_18632555 | 13/11/2020 | São José do Rio Preto |
| EPI_ISL_18632556 | 13/11/2020 | São José do Rio Preto |
| EPI_ISL_18632557 | 13/11/2020 | São José do Rio Preto |
| EPI_ISL_18632558 | 15/11/2020 | São José do Rio Preto |
| EPI_ISL_18632559 | 15/11/2020 | São José do Rio Preto |
| EPI_ISL_18632560 | 14/11/2020 | São José do Rio Preto |
| EPI_ISL_18632561 | 15/11/2020 | São José do Rio Preto |

| | | |
|------------------|------------|-----------------------|
| EPI_ISL_18632562 | 15/11/2020 | São José do Rio Preto |
| EPI_ISL_18632563 | 16/11/2020 | São José do Rio Preto |
| EPI_ISL_18632564 | 16/11/2020 | São José do Rio Preto |
| EPI_ISL_18632565 | 13/10/2020 | São José do Rio Preto |
| EPI_ISL_18632566 | 16/11/2020 | São José do Rio Preto |
| EPI_ISL_18632567 | 17/11/2020 | São José do Rio Preto |
| EPI_ISL_18632568 | 17/11/2020 | São José do Rio Preto |
| EPI_ISL_18632569 | 18/11/2020 | São José do Rio Preto |
| EPI_ISL_18632570 | 18/11/2020 | São José do Rio Preto |
| EPI_ISL_18632571 | 18/11/2020 | São José do Rio Preto |
| EPI_ISL_18632572 | 18/11/2020 | São José do Rio Preto |
| EPI_ISL_18632573 | 18/11/2020 | São José do Rio Preto |
| EPI_ISL_18632574 | 18/11/2020 | São José do Rio Preto |
| EPI_ISL_18632575 | 18/11/2020 | São José do Rio Preto |
| EPI_ISL_18632576 | 18/11/2020 | São José do Rio Preto |
| EPI_ISL_18632577 | 20/11/2020 | São José do Rio Preto |
| EPI_ISL_18632578 | 20/11/2020 | São José do Rio Preto |
| EPI_ISL_18632579 | 20/11/2020 | São José do Rio Preto |
| EPI_ISL_18632580 | 20/11/2020 | São José do Rio Preto |
| EPI_ISL_18632581 | 20/11/2020 | São José do Rio Preto |
| EPI_ISL_18632582 | 20/11/2020 | São José do Rio Preto |
| EPI_ISL_18632583 | 20/11/2020 | São José do Rio Preto |
| EPI_ISL_18632584 | 22/11/2020 | São José do Rio Preto |
| EPI_ISL_18632585 | 21/11/2020 | São José do Rio Preto |

| | | |
|------------------|------------|-----------------------|
| EPI_ISL_18632586 | 21/11/2020 | São José do Rio Preto |
| EPI_ISL_18632587 | 22/11/2020 | São José do Rio Preto |
| EPI_ISL_18632588 | 22/11/2020 | São José do Rio Preto |
| EPI_ISL_18632589 | 23/11/2020 | São José do Rio Preto |
| EPI_ISL_18632590 | 23/11/2020 | São José do Rio Preto |
| EPI_ISL_18632591 | 23/11/2020 | São José do Rio Preto |
| EPI_ISL_18632592 | 23/11/2020 | São José do Rio Preto |

Apêndice 3

○ Artigos publicados ao longo do doutorado



Communication

Retrospective Insights of the COVID-19 Epidemic in the Major Latin American City, São Paulo, Southeastern Brazil

Patricia Akemi Assato ^{1,†}, Luan Gaspar Clemente ^{2,‡}, Marta Giovanetti ^{3,4,5}, Gabriela Ribeiro ⁶, Alex Ranieri Jeronimo Lima ⁶, Melissa Palmieri ⁷, Leonardo Nazario de Moraes ¹, Simone Kashima ⁸, Heidge Fukumasu ⁹, Mauricio Lacorda Nogueira ¹⁰, Luiz Carlos Junior Alcantara ^{3,4}, Aline Lais Nicolodelli ¹¹, Antonio Jorge Martins ⁶, Bruna Petry ², Cecilia Artico Banho ¹⁰, Claudia Renata Dos Santos Barros ⁶, Cristina Tschorny Moncau-Gadbem ², Debora Botequio Moretti ⁶, Debora Glenda Lima De La Roque ⁸, Elaine Cristina Marquezze ⁶, Elisangela Chicaroni Mattos ⁹, Fabiana Erica Vilanova Da Silva ¹¹, Felipe Allan Da Silva Da Costa ¹, Giselle Cacherik ¹¹, Jardelina De Souza Todao Bernardino ⁶, Jessika Cristina Chagas Lesbon ⁹, Livia Sacchetto ¹⁰, Loyze Paola Oliveira De Lima ⁶, Luiz Artur Vieira Caldeira ⁷, Maiara Martinighi ⁷, Marilia Mazzi Moraes ¹⁰, Mirele Daiana Poletti ⁹, Pedro De Queiroz Cattany Neto ⁶, Raquel De Lello Rocha Campos Cassano ², Ricardo Augusto Brassaloti ², Svetoslav Nanew Slavov ⁶, Vincent Louis Viala ⁶, Luiz Lehmann Coutinho ², Rejane Maria Tommasini Grotto ^{1,12}, Raul Machado Neto ⁶, Dimas Tadeu Covas ^{6,8}, Sandra Coccuzzo Sampaio ^{6,*}, Maria Carolina Elias ^{6,*} and Jayme A. Souza-Neto ^{1,12,*‡}

¹ School of Agricultural Sciences, São Paulo State University (UNESP), Botucatu 18610-034, Brazil

² Centro de Genômica Funcional da ESALQ, University of São Paulo, Piracicaba 13418-900, Brazil

³ Instituto Oswaldo Cruz, FIOCRUZ, Rio de Janeiro 21040-360, Brazil

⁴ Instituto de Ciências Biológicas, Universidade Federal de Minas Gerais, Belo Horizonte 31270-901, Brazil

⁵ Department of Science and Technology for Humans and the Environment, University of Campus Bio-Medico di Roma, 00128 Rome, Italy

⁶ Butantan Institute, São Paulo 05050-040, Brazil

⁷ Health Surveillance Coordination, São Paulo Municipal Health Department—Coordenação de Vigilância em Saúde—Secretaria Municipal de São Paulo, São Paulo 05579-000, Brazil

⁸ Ribeirão Preto Medical School, Blood Center of Ribeirão Preto, University of São Paulo, Ribeirão Preto 14051-140, Brazil

⁹ Department of Veterinary Medicine, School of Animal Science and Food Engineering, University of São Paulo, Pirassununga 13635-900, Brazil

¹⁰ Faculdade de Medicina de São José do Rio Preto (FAMERP), São José do Rio Preto 15090-000, Brazil

¹¹ Primary Care Coordination/São Paulo Municipal Health Department—Coordenação de Atenção Básica—Secretaria Municipal de São Paulo, São Paulo 05579-000, Brazil

¹² Genomic Surveillance Network, São Paulo State University (UNESP), São Paulo 01049-010, Brazil

* Correspondence: sandra.coccuzzo@butantan.gov.br (S.C.S.); carolina.eliasabbaga@butantan.gov.br (M.C.E.); jsouzaneito@vet.k-state.edu (J.A.S.-N.)

† These authors contributed equally to this work.

‡ Current Address: Department of Diagnostic Medicine/Pathobiology, College of Veterinary Medicine, Kansas State University, Manhattan, KS 66506, USA.



Citation: Assato, P.A.; Clemente, L.G.; Giovanetti, M.; Ribeiro, G.; Lima, A.R.J.; Palmieri, M.; de Moraes, I.N.; Kashima, S.; Fukumasu, H.; Nogueira, M.L.; et al. Retrospective Insights of the COVID-19 Epidemic in the Major Latin American City, São Paulo, Southeastern Brazil. *Viruses* **2023**, *15*, 327. <https://doi.org/10.3390/v15020327>

Academic Editor: Luis Martinez-Sobrido

Received: 14 November 2022

Revised: 11 January 2023

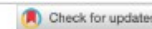
Accepted: 12 January 2023

Published: 24 January 2023



Copyright: © 2023 by the authors. Licensee MDPI, Basel, Switzerland. This article is an open access article distributed under the terms and conditions of the Creative Commons Attribution (CC BY) license (<https://creativecommons.org/licenses/by/4.0/>).

Abstract São Paulo is the financial center of Brazil, with a population of over 12 million, that receives travelers from all over the world for business and tourism. It was the first city in Brazil to report a case of COVID-19 that rapidly spread across the city despite the implementation of the restriction measures. Despite many reports, much is still unknown regarding the genomic diversity and transmission dynamics of this virus in the city of São Paulo. Thus, in this study, we provide a retrospective overview of the COVID-19 epidemic in São Paulo City, Southeastern, Brazil, by generating a total of 9995 near-complete genome sequences from all the city's different macro-regions (North, West, Central, East, South, and Southeast). Our analysis revealed that multiple independent introduction events of different variants (mainly Gamma, Delta, and Omicron) occurred throughout time. Additionally, our estimates of viral movement within the different macro-regions further suggested that the East and the Southeast regions were the largest contributors to the Gamma and Delta viral exchanges to other regions. Meanwhile, the North region had a higher contribution to the dispersion of the Omicron variant. Together, our results reinforce the importance of increasing



Received: 10 December 2021 | Accepted: 21 February 2022
 DOI: 10.1002/jmv.27674

SHORT COMMUNICATION

JOURNAL OF
 MEDICAL VIROLOGY WILEY

SARS-COV-2 genomic monitoring in the state of São Paulo unveils two emerging AY.43 sublineages

Alex Ranieri Jerônimo Lima¹ | Gabriela Ribeiro¹ | Vincent Louis Viala¹ |
 Loyze Paola Oliveira de Lima¹ | Antonio Jorge Martins¹ |
 Claudia Renata dos Santos Barros¹ | Elaine Cristina Marquez¹ |
 Jardelina de Souza Todao Bernardino¹ | Debora Botequio Moretti¹ |
 Evandra Strazza Rodrigues² | Elaine Vieira Santos² | Ricardo Augusto Brassaloti³ |
 Raquel de Lello Rocha Campos Cassano³ | Pilar Drummond Sampaio Corrêa Mariani⁴ |
 Luan Gaspar Clemente³ | Patricia Akemi Assato⁵ | Felipe Allan da Silva da Costa⁵ |
 Mirele Daiana Poletti⁶ | Jessika Cristina Chagas Lesbon⁶ | Elisangela Chicaroni Mattos⁶ |
 Cecilia Artico Banho⁷ | Lívia Sacchetto⁷ | Marília Mazzi Moraes⁷ | Melissa Palmieri⁸ |
 Maiara Martinighi⁹ | Luiz Artur Vieira Caldeira⁹ | Fabiana Erica Vilanova da Silva⁹ |
 Rejane Maria Tommasini Grotto^{5,10} | Jayme A. Souza-Neto⁵ | Marta Giovanetti^{11,12} |
 Luiz Carlos Junior Alcantara^{11,12} | Maurício Lacerda Nogueira⁷ | Heidge Fukumasu⁶ |
 Luiz Lehmann Coutinho³ | Simone Kashima² | Raul Machado Neto¹ |
 Dimas Tadeu Covas^{1,2} | Svetoslav Nanev Slavov² | Sandra Coccuzzo Sampaio¹ |
 Maria Carolina Elias¹

¹Center of Scientific Development, Butantan Institute, São Paulo, Brazil

²Blood Center of Ribeirão Preto, Ribeirão Preto Medical School, University of São Paulo, Ribeirão Preto, São Paulo, Brazil

³Centro de Genómica Funcional da ESALQ, University of São Paulo, Piracicaba, São Paulo, Brazil

⁴NGS Soluções Genômicas, Piracicaba, São Paulo, Brazil

⁵Department of Bioprocesses and Biotechnology, School of Agricultural Sciences, São Paulo State University (UNESP), Botucatu, São Paulo, Brazil

⁶Department of Veterinary Medicine, School of Animal Science and Food Engineering, University of São Paulo, Pirassununga, São Paulo, Brazil

⁷Medicine School of São José do Rio Preto (FAMERP), São José do Rio Preto, São Paulo, Brazil

⁸Coordenação de Vigilância em Saúde—Secretaria Municipal da Saúde, São Paulo, Brazil

⁹Secretaria Municipal da Saúde, São Paulo, Brazil

¹⁰Molecular Biology Laboratory, Applied Biotechnology Laboratory, Clinical Hospital of the Botucatu Medical School, Botucatu, São Paulo, Brazil

¹¹Laboratório de Genética Celular e Molecular, Instituto de Ciências Biológicas, Universidade Federal de Minas Gerais, Belo Horizonte, Minas Gerais, Brazil

¹²Laboratório de Flavivírus, Instituto Oswaldo Cruz, FIOCRUZ, Rio de Janeiro, Brazil

Correspondence

Svetoslav Nanev Slavov, Blood Center of Ribeirão Preto, Ribeirão Preto Medical School, University of São Paulo, Ribeirão Preto, São Paulo 05503-000, Brazil.
 Email: svetoslav.slavov@hemocentro.fmrp.usp.br

Abstract

Delta VOC is highly diverse with more than 120 sublineages already described as of November 30, 2021. In this study, through active monitoring of circulating severe acute

Alex Ranieri Jerônimo Lima and Gabriela Ribeiro authors contributed equally to this study.

communications

medicine

ARTICLE



<https://doi.org/10.1038/s43856-022-00108-5> OPEN

Impact of SARS-CoV-2 Gamma lineage introduction and COVID-19 vaccination on the epidemiological landscape of a Brazilian city

Cecília Artico Banho^{1,15}, Lívia Sacchetto^{1,15}, Guilherme Rodrigues Fernandes Campos¹, Cíntia Bittar², Fábio Sossai Possebon^{1,3}, Leila Sabrina Ullmann³, Beatriz de Carvalho Marques¹, Gislaine Ceslestino Dutra da Silva¹, Marilia Mazzi Moraes¹, Maisa Carla Pereira Parra¹, Andreia Franceschi Negril⁴, Ana Carolina Boldrin⁴, Michela Dias Barcelos⁴, Thayza M. I. L. dos Santos¹, Bruno H. G. A. Milhim¹, Leonardo Cecilio Rocha¹, Fernanda Simões Dourado¹, Andresa Lopes dos Santos¹, Victoria Bernardi Ciconi¹, Caio Patuto¹, Alice Freitas Versiani¹, Rafael Alves da Silva¹, Edoardo Estevam de Oliveira Lobl¹, Victor Miranda Hernandes¹, Nathalia Zini¹, Carolina Colombelli Pacca^{1,5}, Cássia Fernanda Estofolete¹, Helena Lage Ferreira⁶, Paula Rahal², João Pessoa Araújo Jr³, Jamie A. Cohen^{1,7}, Cliff C. Kerr^{1,7}, Benjamin M. Althouse^{1,7,8,9}, Nikos Vasilakis^{10,11,12,13,14} & Mauricio Lacerda Nogueira^{1,10}

Abstract

Background: The emergence of the Brazilian variant of concern, Gamma lineage (P.1), impacted the epidemiological profile of COVID-19 cases due to its higher transmissibility rate and immune evasion ability.

Methods: We sequenced 305 SARS-CoV-2 whole-genomes and performed phylogenetic analyses to identify introduction events and the circulating lineages. Additionally, we use epidemiological data of COVID-19 cases, severe cases, and deaths to measure the impact of vaccination coverage and mortality risk.

Results: Here we show that Gamma introduction in São José do Rio Preto, São Paulo, Brazil, was followed by the displacement of seven circulating SARS-CoV-2 variants and a rapid increase in prevalence two months after its first detection in January 2021. Moreover, Gamma variant is associated with increased mortality risk and severity of COVID-19 cases in younger age groups, which corresponds to the unvaccinated population at the time.

Conclusions: Our findings highlight the beneficial effects of vaccination indicated by a pronounced reduction of severe cases and deaths in immunized individuals, reinforcing the need for rapid and massive vaccination.

Plain language summary

SARS-CoV-2, the virus responsible for COVID-19, has evolved into different variants, virus lineages with a slightly different genetic material. Here, we evaluated the introductions of SARS-CoV-2 lineages in a Brazilian city with the third-highest number of confirmed COVID-19 cases in the state of São Paulo. Our analyses revealed several SARS-CoV-2 lineages first detected in the city, but after the introduction of the Gamma lineage, the majority of them were replaced by this variant that became the most common. At the same time, there was an increase in the number of infections, severe disease cases, and deaths, mainly in individuals under 70 years old, the age group that was not fully vaccinated at the time. Our findings further support the evidence that vaccination effectively decreases SARS-CoV-2 spread and transmission.

A full list of author affiliations appears at the end of the paper.

ANALYSIS

<https://doi.org/10.1038/s41564-022-01191-z>nature
microbiology

Check for updates

OPEN

Genomic epidemiology of the SARS-CoV-2 epidemic in Brazil

The high numbers of COVID-19 cases and deaths in Brazil have made Latin America an epicentre of the pandemic. SARS-CoV-2 established sustained transmission in Brazil early in the pandemic, but important gaps remain in our understanding of virus transmission dynamics at a national scale. We use 17,135 near-complete genomes sampled from 27 Brazilian states and bordering country Paraguay. From March to November 2020, we detected co-circulation of multiple viral lineages that were linked to multiple importations (predominantly from Europe). After November 2020, we detected large, local transmission clusters within the country. In the absence of effective restriction measures, the epidemic progressed, and in January 2021 there was emergence and onward spread, both within and abroad, of variants of concern and variants under monitoring, including Gamma (P.1) and Zeta (P.2). We also characterized a genomic overview of the epidemic in Paraguay and detected evidence of importation of SARS-CoV-2 ancestor lineages and variants of concern from Brazil. Our findings show that genomic surveillance in Brazil enabled assessment of the real-time spread of emerging SARS-CoV-2 variants.

At the end of 2019, a respiratory pathogen designated the Severe Acute Respiratory Syndrome Coronavirus 2 (SARS-CoV-2) emerged in the city of Wuhan, China. Since its identification, the virus has spread rapidly around the world, causing the Coronavirus disease 2019 (COVID-19) pandemic (declared on 11 March 2020), with infected patients overwhelming many healthcare systems¹. By mid-February 2022, more than 415 million cases of COVID-19 with more than 5.84 million associated deaths, had been reported globally². Brazil is the epicentre of the COVID-19 epidemic in the Americas, with more than 21.2 million cases and a death toll of 591,000 reported cases (September 2021). Brazil is one of the countries hit hardest by COVID-19³. Crucially, a lack of genome sequence data from Brazil has limited our ability to fully understand transmission dynamics at the national scale.

We present a phylogenetic and phylogeographic analysis of genomic data from 27 Brazilian states and one neighbouring country, Paraguay, collected up to September 2021. We evaluate the genomic epidemiology of SARS-CoV-2 in Brazil, including the emergence and spread of key viral variants of concern (VOCs; for example, Gamma) and variants under monitoring (VUMs; for example, Zeta), to assess how their emergence may have contributed to a more severe second wave in the country.

Results

COVID-19 transmission dynamics in Brazil. The first confirmed infection of SARS-CoV-2 in Brazil was on 26 February 2020 in the State of São Paulo (SP), in a traveller returning from Italy (Fig. 1a). On 17 March 2020, the first COVID-19-related death, a 61-year-old male, was reported in the same state^{4,5}. Four days later, all Brazilian states reported at least one confirmed case of COVID-19 and the Brazilian Ministry of Health (BRMoH) declared an outbreak of large-scale community transmission of the virus⁶. By 10 April 2020, the virus had already reached remote locations, such as the Yanomami indigenous community located in the state of Roraima in northern Brazil⁶ (Fig. 1a).

After the World Health Organization (WHO) declared the outbreak of SARS-CoV-2 as a public health emergency of international concern on 30 January 2020, the Brazilian government introduced restriction measures to mitigate viral spread (Fig. 1a)⁷. The primary measure involved social isolation, followed by the closure of schools,

universities and non-essential businesses⁸. Additional measures included the mandatory use of personal protective masks⁹, the cancellation of events expected to attract large numbers of people and tourists, and opening only of services considered as essential such as markets and pharmacies¹⁰. However, while the epidemic was growing, restriction measures were progressively eased to mitigate negative impacts on the economy. Notably, even during periods of restriction, travel between Brazilian states largely remained possible, enabling SARS-CoV-2 transmission throughout the country¹¹. Travel was probably linked to the emergence of more contagious viral lineages, such as VOC Gamma (lineage P.1) and VUM Zeta (lineage P.2). Notably, these variants may have contributed to a second wave that was more severe in terms of infections and deaths than the first wave (Fig. 1b)^{11,12–14}.

The COVID-19 death toll in Brazil rose steadily after March 2021. It reached a daily total of 4,250 deaths on April 2021, the highest number of daily fatalities from COVID-19 worldwide (Fig. 1b). Signs of collapse of the health system were reported in numerous cities around the country. The situation worsened after multiple VOCs and VUMs emerged during a slow vaccination campaign¹⁵. Vaccination in Brazil began on 17 January 2021, when the Instituto Butantan imported the first 6 million doses of CoronaVac (a whole-virus inactivated vaccine) from Sinovac Biotech (Fig. 1a)^{16,17}. As of 16 February 2022, approximately 71.8% of the Brazilian population had been vaccinated with the first dose of any of the vaccines available (CoronaVac, AstraZeneca, Pfizer and Janssen), but only 22% were fully vaccinated (with a single dose of Janssen or two doses of any other vaccine)¹⁸.

By analysing the total number of COVID-19 notified cases to the end of September 2021, we observed that the Brazilian region with the highest population density (Southeast) also contained the highest number of the cases registered in the country, with the state of São Paulo documenting the largest number of cases ($n=4,369,410$) in that period (Fig. 1c). However, when we considered the incidence rate (number of reported cases per population) by state, we found that the Midwest, the least populated region in Brazil, had the highest incidence rate, with 13,604.23 cases per 100,000 inhabitants¹.

SARS-CoV-2 genomic data. A total of 3,866 near-full genome sequences from SARS-CoV-2 RT-qPCR positive samples were obtained as part of this study. SARS-CoV-2 sequencing spanned

A full list of authors and affiliations appears at the end of the paper.



Letter to the Editor

Predictors of death in COVID-19 vaccine breakthrough infections in Brazil

Dear editor,

Recently, Whitaker and coworkers reported in the Journal evidences of the COVID-19 vaccine effectiveness in most clinical risk groups, with care to highlight the heterogeneity of seropositivity after 1 or 2 doses in individuals with diabetes, chronic heart disease, chronic liver, severe asthma, morbid obesity, and especially immunosuppressed, in which they observed a reduced S-antibody response and vaccine effectiveness.¹ We read with interest the article, especially because we believe in impact of vaccination against COVID-19 in groups with comorbidities.

Through a retrospective, cross-sectional study, based on data from the SIVEP-Gripe Database, the COVID-19 Immunization State Database, and the local medical reporting system, our analysis

identified characteristics that may be associated with increased risk of death in vaccines hospitalized with COVID-19 in a reference health care center. Our outcome of interest was COVID-19-related death in patients with SARS-CoV-2 infection confirmed by RT-PCR with signs/symptoms appearing 15 days or more after vaccine series completion, a period considered reasonable to establish immunity. Vaccine breakthrough infections are defined as the detection of SARS-CoV-2 RNA or antigen in a respiratory specimen collected from a person ≥14 days after they completed all recommended doses.² Following these definitions, the patients were divided into two groups upon admission, confirmation of COVID-19 infection via RT-PCR and completed information about COVID-19 vaccination status: i) breakthrough infection and ii) unvaccinated. All variables were subjected to binary logistic regression to define variables that might predict the different clinical outcomes. To select the variables that would comprise the final model, discriminant analysis was performed with $p < 0.1$, estimated by Rao's score

Table 1
Characteristics of 2777 patients with COVID-19 admitted to hospital between January 5, 2021 and September 12, 2021, according to COVID-19 immunization status.

| | Unvaccinated patients | | Vaccine Breakthrough Infection* | | P-value | O.R. CI 95% | Min | Max |
|---------------------------------------|-----------------------|-----------|---------------------------------|-----------|---------|-------------------|--------|--------|
| | N responses | % or s.d. | N responses | % or s.d. | | | | |
| Sex | | | | | | | | |
| Male | 2518 | 1426 | 56.6% | 259 | 140 | 54.1% | – | |
| Female | 2518 | 1092 | 43.4% | 259 | 119 | 45.9% | 0.426 | 1.1 |
| Age | | | | | | | | |
| 2518 | 51.08 | 15.56 | 259 | 73.64 | 12.21 | <0.001 | – | – |
| > 60 years | 2518 | 727 | 28.9% | 259 | 230 | 88.8% | <0.001 | 19.538 |
| | | | | | | | | 13.153 |
| Comorbidities | | | | | | | | |
| Recent childbirth | 1801 | 1801 | 71.5% | 259 | 247 | 95.4% | <0.001 | 8.194 |
| Cardiopathy | 1801 | 10 | 0.6% | 247 | 1 | 0.4% | 0.762 | 0.728 |
| Hematological disorder | 1801 | 1089 | 60.5% | 247 | 214 | 86.6% | <0.001 | 4.24 |
| Liver disorder | 1801 | 31 | 1.7% | 247 | 2 | 0.8% | 0.286 | 0.466 |
| Asthma | 1801 | 31 | 1.7% | 247 | 3 | 1.2% | 0.559 | 0.702 |
| Diabetes | 1801 | 74 | 4.1% | 247 | 10 | 4.0% | 0.964 | 0.985 |
| Neurological disorder | 1801 | 584 | 32.4% | 247 | 108 | 43.7% | <0.001 | 1.619 |
| Pneumopathy | 1801 | 84 | 4.7% | 247 | 22 | 8.9% | <0.001 | 3.152 |
| Immunocompromised status | 1801 | 76 | 4.2% | 247 | 21 | 8.5% | 0.001 | 2.219 |
| Kidney disorder | 1801 | 95 | 5.3% | 247 | 35 | 14.2% | 0.04 | 1.669 |
| Obesity | 1801 | 623 | 34.6% | 247 | 45 | 18.2% | <0.001 | 0.421 |
| Symptoms at hospital admission | | | | | | | | |
| Fever | 2518 | 1340 | 53.2% | 259 | 107 | 41.3% | <0.001 | 0.619 |
| Cough | 2518 | 1716 | 68.1% | 259 | 166 | 64.1% | 0.183 | 0.834 |
| Sore throat | 2518 | 353 | 14.0% | 259 | 33 | 12.7% | 0.571 | 0.896 |
| Dyspnea | 2518 | 2299 | 91.3% | 259 | 230 | 88.8% | 0.179 | 0.756 |
| Respiratory distress | 2518 | 1743 | 69.2% | 259 | 177 | 68.3% | 0.77 | 0.960 |
| Low oxygen saturation | 2518 | 2394 | 95.1% | 259 | 252 | 97.3% | 0.108 | 1.865 |
| Diarrhea | 2518 | 315 | 12.5% | 259 | 27 | 10.4% | 0.331 | 0.814 |
| Vomiting | 2518 | 138 | 5.5% | 258 | 20 | 7.8% | 0.134 | 1.449 |
| Abdominal pain | 2518 | 80 | 3.2% | 259 | 7 | 2.7% | 0.676 | 0.847 |
| Fatigue | 2518 | 1052 | 41.8% | 259 | 140 | 54.1% | <0.001 | 1.639 |
| Anosmia | 2518 | 149 | 5.9% | 259 | 5 | 1.9% | 0.008 | 0.313 |
| Ageusia | 2518 | 140 | 5.6% | 258 | 6 | 2.3% | 0.027 | 0.404 |
| ICU care required | 2518 | 1390 | 55.2% | 259 | 137 | 52.9% | 0.477 | 0.911 |
| Death | 2485 | 647 | 26.0% | 245 | 112 | 45.7% | 0.777 | – |
| Vaccinated | 2518 | 0 | 0 | 259 | 259 | 100% | NA | – |



OPEN ACCESS Freely available online

Validating and Modeling the Impact of High-Frequency Rapid Antigen Screening on Covid-19 Spread and Outcomes

Beatrice Nash^{1,2*}, Anthony Badea^{1,3*}, Ankita Reddy^{1,4*}, Miguel Bosch^{1,5}, Nol Salcedo¹, Adam R. Gomez¹, Alice Versiani⁶, Gislaine Celestino Dutra Silva⁶, Thayza Maria Izabel Lopes dos Santos⁶, Bruno H. G. A. Milhim⁶, Marilia M. Moraes⁶, Guilherme Rodrigues Fernandes Campos⁶, Flávia Quieroz⁶, Andreia Francesli Negri Reis⁶, Mauricio L. Nogueira⁶, Elena N. Naumova⁷, Irene Bosch⁸, Bobby Brooke Herrera^{1,9†},

¹E25Bio, Inc., Cambridge, MA, USA; ²Department of Computer Science, Harvard University School of Engineering and Applied Sciences, Cambridge, MA, USA; ³Department of Physics, Harvard University, Cambridge, MA, USA; ⁴Perelman School of Medicine, University of Pennsylvania, Philadelphia, PA, USA; ⁵InfoGeosciences LLC, Houston, TX, USA; ⁶Faculdade de Medicina de São José do Rio Preto (FAMERP), São José do Rio Preto, Brazil; ⁷Division of the Nutrition Epidemiology and Data Science, Friedman School of Nutrition Science and Policy, Tufts University, Boston, MA, USA; ⁸Department of Medicine, Mount Sinai School of Medicine, New York, NY, USA; ⁹Department of Immunology and Infectious Diseases, Harvard T.H. Chan School of Public Health, Boston, MA, USA

ABSTRACT

High frequency screening of populations has been proposed as a strategy in facilitating control of the COVID-19 pandemic. We use computational modeling, coupled with clinical data from rapid antigen tests, to predict the impact of frequent viral antigen rapid testing on COVID-19 spread and outcomes. Using patient nasal or nasopharyngeal swab specimens, we demonstrate that the sensitivity/specificity of two rapid antigen tests compared to quantitative real-time polymerase chain reaction (qRT-PCR) are 82.0%/100% and 84.7%/85.7%, respectively, moreover, sensitivity correlates directly with viral load. Based on COVID-19 data from three regions in the United States and São José do Rio Preto, Brazil, we show that high frequency, strategic population-wide rapid testing, even at varied accuracy levels, diminishes COVID-19 infections, hospitalizations, and deaths at a fraction of the cost of nucleic acid detection via qRT-PCR. We propose large-scale antigen-based surveillance as a viable strategy to control SARS-CoV-2 spread and to enable societal re-opening.

Keywords: COVID-19; Nasopharyngeal; Hospitalizations; qRT-PCR; Glycoprotein

INTRODUCTION

The COVID-19 pandemic has taken an unprecedented toll on lives, wellbeing, healthcare systems, and global economies. As of 13 April 2021, there have been more than 136.2 million confirmed cases globally with over 2.9 million confirmed deaths [1]. However, these statistics and the current mapping of disease spread present an incomplete picture of the outbreak largely due to the lack of adequate testing, particularly as undetected infected cases are the main source of disease spread [2–7]. It is estimated that the number of infected cases is more than 6 times greater than the cases reported [8]. As of April 2021, the United States, India, and Brazil remain the top three countries with the highest number of COVID-19 cases and deaths worldwide. As countries begin to re-open their economies, a method for

accessible and frequent surveillance of COVID-19, with the necessary rapid quarantine measures, is crucial to prevent the multiple resurgences of the disease.

The current standard of care rightfully places a strong focus on the diagnostic limit of detection, yet frequently at the expense of cost and turnaround time. This approach has contributed to limited population testing largely due to a dearth of diagnostic resources. Quantitative real-time polymerase chain reaction (qRT-PCR) is the gold-standard method for clinical diagnosis, with high sensitivity and specificity, but these tests require trained personnel, expensive reagents and instrumentation, and significant time to execute [9,10].

*Correspondence to: Bobby Brooke Herrera, E25Bio, Inc., Cambridge, Department of Immunology and Infectious Diseases, Harvard T.H. Chan School of Public Health, Boston, MA, USA. E-mail: bherrera@e25bio.com

Received date: September 21, 2021; Accepted date: October 04, 2021; Published date: October 11, 2021

Citation: Moraes MM, Badea A, Reddy A, Bosch M, Salcedo N, Gomez AR, et al. (2021) Validating and Modeling the Impact of High-Frequency Rapid Antigen Screening on Covid-19 Spread and Outcomes. *J Clin Trials*. 11:483.

Copyright: © 2021 Moraes MM, et al. This is an open access article distributed under the terms of the Creative Commons Attribution License, which permits unrestricted use, distribution, and reproduction in any medium, provided the original author and source are credited.



The Emergence of the New P.4 Lineage of SARS-CoV-2 With Spike L452R Mutation in Brazil

Cintia Bittar^{1*}, Fábio Sossai Possebon², Leila Sabrina Ullmann², Dayla Bott Geraldini¹, Vivaldo G. da Costa¹, Luiz G. P. de Almeida³, Paulo Ricardo da S. Sanches⁴, Nailton M. Nascimento-Júnior⁵, Eduardo M. Cilli⁴, Cecília Artico Banho⁶, Guilherme R. F. Campos⁶, Helena Lage Ferreira⁷, Lívia Sacchetto⁶, Gislaine C. D. da Silva⁸, Maisa C. P. Parra⁶, Marliza M. Moraes⁶, Paulo Inácio da Costa⁹, Ana Tereza R. Vasconcelos³, Fernando Rosado Spilki⁹, Mauricio L. Nogueira⁶, Paula Rahal¹ and João Pessoa Araújo Jr²

OPEN ACCESS

Edited by:
 Sanjay Kumar,
 Armed Forces Medical College,
 Pune, India

Reviewed by:
 Pietro Hiram Guzzl,
 University of Calanaro, Italy
 Andres Moreira-Soto,
 Charité – Universitätsmedizin
 Berlin, Germany

*Correspondence:
 Cintia Bittar
 cbittar@gmail.com

Specialty section:
 This article was submitted to
*Infectious Diseases - Surveillance,
 Prevention and Treatment*,
 a section of the journal
Frontiers in Public Health

Received: 21 July 2021
 Accepted: 07 September 2021
 Published: 01 October 2021

Citation:

Bittar C, Possebon FS, Ullmann LS, Geraldini DB, da Costa VG, de Almeida LGR, da S. Sanches PR, Nascimento-Júnior NM, Cilli EM, Artico Banho C, Campos GRF, Ferreira HL, Sacchetto L, da Silva GCD, Parra MCP, Moraes MM, da Costa PI, Vasconcelos ATR, Spilki FR, Nogueira ML, Rahal P and Araújo Jr JP (2021) The Emergence of the New P.4 Lineage of SARS-CoV-2 With Spike L452R Mutation in Brazil. *Front. Public Health* 9:745310. doi: 10.3389/fpubh.2021.745310

The emergence of several SARS-CoV-2 lineages presenting adaptive mutations is a matter of concern worldwide due to their potential ability to increase transmission and/or evade the immune response. While performing epidemiological and genomic surveillance of SARS-CoV-2 in samples from Porto Ferreira–São Paulo–Brazil, we identified sequences classified by pangolin as B.1.1.28 harboring Spike L452R mutation, in the RBD region. Phylogenetic analysis revealed that these sequences grouped into a monophyletic branch, with others from Brazil, mainly from the state of São Paulo. The sequences had a set of 15 clade defining amino acid mutations, of which six were in the Spike protein. A new lineage was proposed to Pango and it was accepted and designated P.4. In samples from the city of Porto Ferreira, P.4 lineage has been increasing in frequency since it was first detected in March 2021, corresponding to 34.7% of the samples sequenced in June, the second in prevalence after P.1. Also, it is circulating in 30 cities from the state of São Paulo, and it was also detected in one sample from the state of Sergipe and two from the state of Rio de Janeiro. Further studies are needed to understand whether P.4 should be considered a new threat.

Keywords: SARS-CoV-2, COVID-19, lineage P.4, Spike L452R, variants



Genomic monitoring of the SARS-CoV-2 B1.1.7 (WHO VOC Alpha) in the São Paulo state, Brazil

Svetoslav Nanev Slavov^{a,b,*}, Rafael dos Santos Bezerra^a, Evandra Strazza Rodrigues^a, Elaine Vieira Santos^a, Joseane Serrano Borges^a, Débora Glenda Lima de la Roque^a, José Salvatore Leister Patané^b, Alex Ranieri Jerônimo Lima^b, Gabriela Ribeiro^b, Vincent Louis Viala^b, Loyze Paola Oliveira de Lima^b, Antonio Jorge Martins^b, Claudia Renata dos Santos Barros^b, Elaine Cristina Marquezze^b, Jardelina de Souza Todão Bernardino^b, Debora Botequio Moretti^b, Ricardo Augusto Brassaloti^c, Raquel de Lello Rocha Campos Cassano^c, Pilar Drummond Sampaio Corrêa Marianni^d, João Paulo Kitajima^e, Bibiana Santos^e, Patricia Akemi Assato^f, Felipe Allan da Silva da Costa^f, Mirela Daiana Poletti^g, Jessika Cristina Chagas Lesbon^g, Elisangela Chicaroni Mattos^g, Cecilia Artico Banho^h, Lívia Sacchetto^h, Marília Mazzi Moraes^h, Rejane Maria Tommasini Grotto^{i,j}, Jayme A. Souza-Netoⁱ, Marta Giovanetti^{j,k}, Luiz Carlos Junior de Alcantara^{j,k}, Maurício Lacerda Nogueira^h, Heidge Fukumasu^g, Luiz Lehmann Coutinho^d, Rodrigo Tocantins Calado^{a,l}, Raul Machado Neto^b, Dimas Tadeu Covas^{a,b,l}, Sandra Coccuzzo Sampaio^b, Maria Carolina Elias^b, Simone Kashima^a

^a University of São Paulo, Ribeirão Preto Medical School, Blood Center of Ribeirão Preto, Ribeirão Preto, SP, Brazil

^b Butantan Institute, São Paulo, Brazil

^c University of São Paulo, Centro de Genômica Funcional da ESALQ, Piracicaba, SP, Brazil

^d NGS Soluções Genômicas, Piracicaba, SP, Brazil

^e Mendelica Análise Genômica SA, São Paulo, Brazil

^f São Paulo State University (UNESP), School of Agricultural Sciences, Department of Bioprocesses and Biotechnology, Bonsucesso, Brazil

^g Department of Veterinary Medicine, School of Animal Science and Food Engineering, University of São Paulo, Pirassununga, São Paulo, Brazil

^h Medicina School of São José do Rio Preto (FAMERP), São José do Rio Preto, São Paulo 15090-000, Brazil

ⁱ Molecular Biology Laboratory, Applied Biochemistry Laboratory, Clinical Hospital of the Bonsucesso Medical School, Brazil

^j Instituto de Ciências Biológicas, Universidade Federal de Minas Gerais, Belo Horizonte, Minas Gerais, Brazil

^k Instituto Oswaldo Cruz, FIOCRUZ, Rio de Janeiro, Brazil

^l University of São Paulo, Ribeirão Preto Medical School, Ribeirão Preto, SP, Brazil

ARTICLE INFO

Keywords:

Genomic surveillance

SARS-CoV-2

Alpha VOC

B.1.1.7

São Paulo

Brazil

ABSTRACT

The SARS-CoV-2 alpha VOC (also known as lineage B.1.1.7) initially described in the autumn, 2020 in UK, rapidly became the dominant lineage across much of Europe. Despite multiple studies reporting molecular evidence suggestive of its circulation in Brazil, much is still unknown about its genomic diversity in the state of São Paulo, the main Brazilian economic and transportation hub. To get more insight regarding its transmission dynamics into the State we performed phylogenetic analysis on all alpha VOC strains obtained between February and August 2021 from the *São Paulo State Network for Pandemic Alert of Emerging SARS-CoV-2 variants*. The performed phylogenetic analysis showed that most of the alpha VOC genomes were interspersed with viral strains sampled from different Brazilian states and other countries suggesting that multiple independent Alpha VOC introductions from Brazil and overseas have occurred in the São Paulo State over time. Nevertheless, large monophyletic clusters were also observed especially from the Central-West part of the São Paulo State (the city of

* Corresponding author at: Butantan Institute, Avenida Vital Brasil, 1500, CEP 05503-900, São Paulo-São Paulo and Blood Center of Ribeirão Preto, Faculty of Medicine of Ribeirão Preto; Rua Tenente Catão Roxo 2501, CEP 14051-060.

E-mail address: svetoslav.slavov@hemocentro.fmrp.usp.br (S.N. Slavov).


Communication

Nucleocapsid (N) Gene Mutations of SARS-CoV-2 Can Affect Real-Time RT-PCR Diagnostic and Impact False-Negative Results

Jessika Cristina Chagas Lesbon ¹, Mirela Daiana Poleti ¹, Elisângela Chicaroni da Mattos Oliveira ¹, José Salvatore Leister Patane ², Luan Gaspar Clemente ³, Vincent Louis Viala ², Gabriela Ribeiro ², Marta Giovanetti ^{4,5}, Luiz Carlos Junior de Alcantara ⁴, Olivia Teixeira ⁶, Maria Cristina Nonato ⁶, Loyze Paola Oliveira de Lima ², Antonio Jorge Martins ², Claudia Renata dos Santos Barros ², Elaine Cristina Marquez ², Jardelina de Souza Todão Bernardino ², Debora Botequio Moretti ², Ricardo Augusto Brassaloti ³, Raquel de Lello Rocha Campos Cassano ³, Pilar Drummond Sampaio Comea Mariani ⁷, Svetoslav Nanev Slavov ⁸, Rafael Bezerra dos Santos ⁸, Evandro Strazza Rodrigues ⁸, Elaine Vieira Santos ⁸, Josiane Serrano Borges ⁸, Débora Glenda Lima de La Roque ⁸, João Paulo Kitajima ⁹, Bibiana Santos ⁹, Patricia Akemi Assato ¹⁰, Felipe Allan da Silva da Costa ¹⁰, Cecília Artico Banho ¹¹, Lívia Sacchetto ¹¹, Marilia Mazzi Moraes ¹¹, Melissa Palmieri ¹², Fabiana Erica Vilanova da Silva ¹³, Rejane Maria Tommasini Grotto ¹⁰, Jayme A. Souza-Neto ¹⁰, Mauricio Lacerda Nogueira ¹¹, Luiz Lehman Coutinho ³, Rodrigo Tocantins Calado ⁸, Raul Machado Neto ², Dimas Tadeu Covas ^{2,8}, Simone Kashima ⁸, Maria Carolina Elias ², Sandra Cozzuzzo Sampaio ² and Heidge Fukumasu ^{1,*}



Citation: Lesbon, J.C.C.; Poleti, M.D.; de Mattos Oliveira, E.C.; Patane, J.S.L.; Clemente, L.G.; Viala, V.L.; Ribeiro, G.; Giovanetti, M.; de Alcantara, L.C.J.; Teixeira, O.; et al. Nucleocapsid (N) Gene Mutations of SARS-CoV-2 Can Affect Real-Time RT-PCR Diagnostic and Impact False-Negative Results. *Viruses* **2021**, *13*, 2474. <https://doi.org/10.3390/v13122474>

Academic Editors: Fabricio S. Campos, Luciana Barros de Arruda and Maite ES. Vaslin

Received: 27 October 2021

Accepted: 1 December 2021

Published: 10 December 2021

Corrected: 5 September 2022

Publisher's Note: MDPI stays neutral with regard to jurisdictional claims in published maps and institutional affiliations.

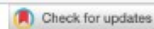


Copyright: © 2021 by the authors. Licensee MDPI, Basel, Switzerland. This article is an open access article distributed under the terms and conditions of the Creative Commons Attribution (CC BY) license (<https://creativecommons.org/licenses/by/4.0/>).

- ¹ Laboratory of Comparative and Translational Oncology, Department of Veterinary Medicine, School of Animal Science and Food Engineering, University of São Paulo, Pirassununga 13635-900, São Paulo, Brazil; jessika.chagas@usp.br (J.C.C.); mirelep@usp.br (M.D.P.); limattos@usp.br (E.C.d.M.O.)
- ² Butantan Institute, São Paulo 05503-000, São Paulo, Brazil; jose.patane@butantan.gov.br (J.S.L.P.); vincent.viala@butantan.gov.br (V.L.V.); gabriela.ribeiro.br@gmail.com (G.R.); loyze.lima@butantan.gov.br (L.P.O.d.L.); antonio.martins@butantan.gov.br (A.J.M.); claudia.barros@butantan.gov.br (C.R.d.S.B.); elaine.marquez@butantan.gov.br (E.C.M.); jardelina.bernardino@butantan.gov.br (J.d.S.T.B.); debora.moretti@butantan.gov.br (D.B.M.); raul.machado@butantan.gov.br (R.M.N.); dimas.covas@butantan.gov.br (D.T.C.); carolina.eliasabbaga@butantan.gov.br (M.C.E.); sandra.cozzuzzo@butantan.gov.br (S.C.S.)
- ³ Functional Genomic Center, Department of Animal Science, Luiz de Queiroz School of Agriculture, University of São Paulo, Piracicaba 13418-900, São Paulo, Brazil; luan.clemente@usp.br (L.G.C.); ricardo.brasseloti@usp.br (R.A.B.); raquel_lello@yahoo.com.br (R.d.L.R.C.C.); llcoutinho@usp.br (L.L.C.)
- ⁴ Fundação Oswaldo Cruz, FIOCRUZ, Manguinhos 21040-900, Rio de Janeiro, Brazil; maria.giovanetti@soc.fiocruz.br (M.G.); alcantaraluzia42@gmail.com (L.C.J.d.A.)
- ⁵ Institute of Biological Sciences, Federal University of Minas Gerais, Belo Horizonte 31270-901, Minas Gerais, Brazil
- ⁶ Ribeirão Preto Protein Crystallography Laboratory, School of Pharmaceutical Sciences, University of São Paulo, Ribeirão Preto 14040-903, São Paulo, Brazil; olivia.teixeira@usp.br (O.T.); cristy@ccfrp.usp.br (M.C.N.)
- ⁷ NGS Soluções Genômicas, Piracicaba 13416-030, São Paulo, Brazil; pilarmariani@hotmail.com
- ⁸ Blood Center of Ribeirão Preto, Ribeirão Preto Medical School, University of São Paulo, Ribeirão Preto 14051-060, São Paulo, Brazil; svetoslav.slavov@hemocentro.fmrp.usp.br (S.N.S.); rafael.bezerra@usp.br (R.B.d.S.); evandra@hemocentro.fmrp.usp.br (E.S.R.); elainevs@alumni.usp.br (E.V.S.); josiane.borges@hemocentro.fmrp.usp.br (J.S.B.); debora.laroque@gmail.com (D.G.L.d.I.R.); ricalado@usp.br (R.T.C.); skashima@hemocentro.fmrp.usp.br (S.K.)
- ⁹ Mendelics Genomic Analysis, São Paulo 02511-000, São Paulo, Brazil; joao.kitajima@mendelics.com.br (J.P.K.); bibiana.santos@mendelics.com.br (B.S.)
- ¹⁰ School of Agricultural Sciences, São Paulo State University, Botucatu 18618-970, São Paulo, Brazil; p.assato@unesp.br (P.A.A.); felipe.allan@unesp.br (F.A.d.S.d.C.); rejane.grotto@unesp.br (R.M.T.G.); jayne.souza-neto@unesp.br (J.A.S.-N.)
- ¹¹ Laboratório de Pesquisas em Virologia, Departamento de Doenças Dermatológicas, Infecciosas e Parasitárias, Faculdade de Medicina de São José do Rio Preto, São José do Rio Preto 15090-000, São Paulo, Brazil; ceci.abanho@gmail.com (C.A.B.); viviasacchetto@gmail.com (L.S.); mariliamazzi@hotmail.com (M.M.M.); mauricio.nogueira@edu.famerp.br (M.L.N.)
- ¹² Coordenação de Vigilância em Saúde-Secretaria Municipal da Saúde, São Paulo 01223-906, São Paulo, Brazil; melissapalmieri@prefeitura.sp.gov.br
- ¹³ Laboratory Assistance, Coordination of Primary Care, Municipal Health Department, São Paulo 01223-906, São Paulo, Brazil; fevilanova@prefeitura.sp.gov.br

Abstract: The current COVID-19 pandemic demands massive testing by Real-time RT-PCR (Reverse Transcription Polymerase Chain Reaction), which is considered the gold standard diagnostic test for

* Correspondence: fukumasu@usp.br; Tel.: +55-19-35656864



Received: 27 July 2020 | Revised: 27 August 2020 | Accepted: 1 September 2020
 DOI: 10.1002/jmv.26476

SHORT COMMUNICATION

JOURNAL OF
 MEDICAL VIROLOGY WILEY

Presentation of fatal stroke due to SARS-CoV-2 and dengue virus coinfection

Cassia F. Estofolete^{1,2} | Luana F. Machado² | Nathalia Zini¹ |
 Graziela D. Luckemeyer² | Marilia M. Moraes¹ | Thaysa M. I. L. dos Santos¹ |
 Bárbara F. dos Santos² | Leonardo G. P. Ruiz² | Nikos Vasilakis^{3,4,5,6} |
 Suzana M. A. Lobo² | Mauricio L. Nogueira^{1,2}

¹Laboratório de Pesquisas em Virologia (LPV), Faculdade de Medicina de São José do Rio Preto (FAMERP), São Paulo State, Brazil

²Hospital de Base, São José do Rio Preto, São Paulo State, Brazil

³Department of Pathology, University of Texas Medical Branch, Galveston, Texas, USA

⁴Center for Biodefense and Emerging Infectious Diseases, University of Texas Medical Branch, Galveston, Texas, USA

⁵Center for Tropical Diseases, University of Texas Medical Branch, Galveston, Texas, USA

⁶Institute for Human Infection and Immunity, University of Texas Medical Branch, Galveston, Texas, USA

Correspondence

Mauricio L. Nogueira, Faculdade de Medicina de São José do Rio Preto, FAMERP, Brigadeiro Faria Lima Ave, 5544, 15090-000, São José do Rio Preto, SP, Brazil.
 Email: mauricio.nogueira@edu.famerp.br

Funding information

National Institute of Allergy and Infectious Diseases, Grant/Award Numbers: U01AI115577, U01AI1151807; Fundação de Amparo à Pesquisa do Estado de São Paulo, Grant/Award Number: 2020/04836-0; Coordenação de Aperfeiçoamento de Pessoal de Nível Superior, Grant/Award Number: 001

Abstract

Herein, we report a case of severe acute respiratory syndrome coronavirus 2 (SARS-CoV-2) and dengue coinfection, presented as a fatal stroke in our hospital, in São José do Rio Preto, São Paulo State, a Brazilian city hyperendemic for dengue viruses and other arthropod-borne viruses (arboviruses) and currently facing a surge of SARS-CoV-2 cases. This case is the first described in the literature and contributes to the better understanding of clinical presentations of two important diseases in a tropical setting.

KEY WORDS

arbovirosis, coinfection, COVID-19, dengue, stroke

1 | INTRODUCTION

The identification of severe acute respiratory syndrome coronavirus 2 (SARS-CoV-2) in Wuhan, Province of Hubei, China, in December 2019¹ marked its emergence as a new life-threatening pathogen with the potential to become pandemic in an accelerated time frame. Consequently, on January 30, 2020, the World Health Organization (WHO) declared the disease as a public health

emergency of international concern (PHEIC),² and in March 11, 2020, a pandemic.³

Although the global concern is currently focused on the severe clinical outcomes (currently addressed as 'coronavirus disease 2019' [COVID-19] associated with SARS-CoV-2 infections, arbovirus infections continue to be spreading, especially in tropical settings.⁴ Given the rapid and uncontrolled spread of SARS-CoV-2 throughout South America, the chances of arbovirus co-infection have significantly